

Universidade de Lisboa
Faculdade de Medicina Dentária



**Estimativa Médico-Legal da Idade pelo Índice de Regressão
Dentária: Pontos de Corte para uma População dos 6 aos 15 anos**

Carla Sofia Gonçalves Belo

Orientadores:

Professora Doutora Cristiana Maria Palmela Pereira

Professor Doutor Rui Filipe Vargas de Sousa Santos

Dissertação

Mestrado Integrado em Medicina Dentária

2020

Universidade de Lisboa
Faculdade de Medicina Dentária



**Estimativa Médico-Legal da Idade pelo Índice de Regressão
Dentária: Pontos de Corte para uma População dos 6 aos 15 anos**

Carla Sofia Gonçalves Belo

Orientadores:

Professora Doutora Cristiana Maria Palmela Pereira

Professor Doutor Rui Filipe Vargas de Sousa Santos

Dissertação

Mestrado Integrado em Medicina Dentária

2020

Agradecimentos

“No one who achieves success does so without acknowledging the help of others. The wise and confident acknowledge this help with gratitude.” – Alfred North Whitehead

Em primeiro gostaria de agradecer à minha Orientadora, a Professora Doutora Cristiana Palmela Pereira, pelo apoio incansável, paciência e dedicação, disponibilidade e empenho. Agradeço-lhe profundamente por mesmo nos piores momentos ter sido a luz ao fundo do túnel que eu precisava. Obrigada. Não seria possível ter tido uma melhor orientadora.

Seguidamente, agradeço ao meu Co-orientador, o Professor Doutor Rui Santos, investigador integrado CEAUL, pelas inúmeras horas dedicadas a este trabalho e trabalho estatístico absolutamente excecional.

Agradeço ao Professor Doutor Francisco Salvado e Silva, diretor do Serviço de Estomatologia do CHLN, pela sua disponibilidade e amabilidade durante todas as tardes e fins-de-semana em que estivemos no serviço para a recolha dos dados e ortopantomografias necessários para a realização desta dissertação.

Às minhas colegas Joana Sardinha, Adriana Santos, Diana Augusto e Ana Rodrigues, por todos os momentos passados nas recolhas dos dados, as dúvidas estatísticas, a amizade e presença, bem estar e diversão (quando havia tempo).

Aos meus amigos do Colégio Moderno, por terem estado sempre lá para mim. Pelo apoio incondicional, por ouvirem os meus desabafos, me incentivarem quando o cansaço acumulado já era muito, por me tentarem ajudar mesmo não sendo da área.

Aos meus pais por estarem sempre ao meu lado a apoiar-me para eu poder dar o meu melhor. Por serem os meus pilares, o meu porto seguro. Por me ajudarem e aturarem. Por tudo.

Resumo

Introdução: Ao nível da Medicina Dentária Forense, a estimativa da idade de indivíduos é de grande relevância para a identificação destes, bem como na definição de responsabilidades legais e criminais. Um de vários métodos utilizados para este propósito é a fórmula de regressão dentária Europeia, desenvolvida por Cameriere. Esta, utiliza a dimensão dos ápices abertos dividida pelo comprimento de cada respetivo dente para estimar a idade de um indivíduo, sendo este método aplicado a sete dentes permanentes (do Incisivo Central ao Segundo Molar).

Objetivo: O objetivo deste estudo foi estabelecer para a população portuguesa os pontos de corte para a fórmula de regressão europeia para a estimativa das idades legais nacionais compreendidas no intervalo dos 6 aos 15 anos de idade.

Materiais e Métodos: Seleccionaram-se 483 ortopantomografias nas quais, através do programa ImageJ, se realizaram as medições necessárias, com recurso do método de Cameriere. Todos os sete dentes permanentes do 3.º Quadrante foram também classificados de A a H, segundo os estádios de Demirjian.

Resultados: Os resultados das validações intra e inter-observador bem como da correlação das variáveis em estudo foram excelentes (quase todos superiores a 0,7). Para cada ponto de corte foram obtidos os valores de 2,09 aos 8 anos de idade, 1,34 aos 9 anos, 0,87 aos 10 anos, 0,52 aos 11 anos e 0,28 aos 12 anos. Estes valores demonstraram poder ser extrapolados para a população portuguesa em 87,33-94,05% dos casos, dependendo da idade em questão.

Conclusão: Os pontos de corte determinados para as respetivas idades legais incluídas no intervalo de idades dos 6 anos aos 15 anos de idade pela fórmula de regressão dentária europeia apresentam valores de precisão compatíveis com a sua utilização na população portuguesa, no âmbito forense.

Palavras-Chave: Regressão Linear; Curvas ROC; Radiografias Panorâmicas; Determinação da Idade por Dentes; Medicina Dentária Forense.

Abstract

Introduction: In regards to Forensic Dentistry, the estimation of the age of individuals is of great relevance in identifying them, as well as in defining legal and criminal responsibilities. One of several methods used for this purpose is the European dental regression formula developed by Cameriere. This method uses the size of the open apexes divided by the length of each respective tooth to estimate the age of an individual. This method is applied to seven permanent teeth (from the Central Incisor to the Second Molar).

Objective: The objective of this study was to establish for the Portuguese population the cut-off points for the European regression formula for the estimation of the national legal ages ranging from 6 to 15 years of age.

Materials and Methods: 483 orthopantomographies were selected in which, through the ImageJ program, the necessary measurements were made, using the Cameriere method. All seven permanent teeth in the 3rd Quadrant were also classified from A to H, according to the Demirjian stages.

Results: The results of the intra- and interobserver validations as well as the correlation of the variables under study were excellent (almost all higher than 0.7). For each cut-off point the obtained values were of 2.09 at 8 years of age, 1.34 at 9 years, 0.87 at 10 years, 0.52 at 11 years and 0.28 at 12 years. These values showed that they can be extrapolated to the Portuguese population in 87.33-94.05% of cases, depending on the age in question.

Conclusion: The cut-off points determined for the respective legal ages included in the age range of 6 to 15 years of age by the European dental regression formula present values of precision compatible with their use in the Portuguese population, in the forensic field.

Key-words: Linear Regression; ROC Curves; Panoramic Radiographies; Age Determination by Teeth; Forensic Dentistry.

Índice

Agradecimentos	v
Resumo	vi
Palavras-Chave	vi
Abstract.....	vii
Key-words	vii
Índice de Tabelas	ix
Índice de Gráficos.....	ix
Lista de Abreviaturas.....	x
I. Introdução.....	1
II. Objetivos	2
III. Metodologia.....	3
IV. Resultados.....	7
V. Discussão.....	15
VI. Conclusões.....	22
Referências Bibliográficas.....	24
Anexos	27
Anexo 1 – Cartas de pedido de autorização	27
Anexo 2 – Dados do Estudo: Abreviaturas e Códigos de Registo	33
Anexo 3 – Métodos de medição	34
Anexo 4 – Lista de abreviatutas e Base de dados inserida no <i>IBM SPSS®</i>	37
Anexo 5 – Caracterização da Amostra	139
Anexo 6 – Validação de dados	148
Anexo 7 – Correlação entre idade, género e variáveis	173
Anexo 8 – Ponto de Corte aos 8 anos	179
Anexo 9 – Ponto de Corte aos 9 anos	182
Anexo 10 – Ponto de Corte aos 10 anos	185
Anexo 11 – Ponto de Corte aos 11 anos	188
Anexo 12 – Ponto de Corte aos 12 anos	191
Anexo 13 – Tabelas do INE para cálculo do PPB	194

Índice de Tabelas

Tabela 1 - Coeficiente de Correlação Intraclassa: Resultados Intra e Inter-observador para o 3.º Quadrante

Tabela 2 - Coeficiente de Correlação Intraclassa: Resultados Intra e Inter-observador para o 4.º Quadrante

Tabela 3 - Ponto de corte e parâmetros analisados para os 8 anos

Tabela 4 - Ponto de corte e parâmetros analisados para os 9 anos

Tabela 5 - Ponto de corte e parâmetros analisados para os 10 anos

Tabela 6 - Ponto de corte e parâmetros analisados para os 11 anos

Tabela 7 - Ponto de corte e parâmetros analisados para os 12 anos

Índice de Gráficos

Gráfico 1 - Distribuição de Género de 483 Ortopantomografias

Gráfico 2 – Pirâmide de população da “Contagem número de ortopantomografias por idade, em anos” por “Género”

Gráfico 3 - Gráfico de dispersão da “Estimativa em meses de Demirjian” pela “Idade em meses” por “Género”

Gráfico 4 - Comparação da Probabilidade a Posteriori de Bayes por ponto de corte entre a Fórmula de Regressão Dentária Europeia e o Método por Estádios de Demirjian

Lista de Abreviaturas

FRDE – Fórmula de Regressão Dentária Europeia = Índice de Regressão Dentária

CHLN – Centro Hospitalar Lisboa Norte

FMDUL – Faculdade de Medicina Dentária da Universidade de Lisboa

s – Somatório de todos os ratios de 7 dentes permanentes da mandíbula do lado esquerdo

x_5 – Medições do segundo pré-molar

NIH – National Institutes of Health

mm – Milímetros

CCI – Coeficiente de correlação intraclass

SPSS – Statistical Package for the Social Sciences

VPP – Valor Preditivo Positivo

VPN – Valor Preditivo Negativo

Curva ROC – Característica de Operação do Recetor

M.Dem. – Método de estádios de Demirjian

Comp. Vert. – Comprimento Vertical

Ápex M. – Ápex Mesial

Ápex D. – Ápex Distal

CCP – Coeficiente de correlação de Pearson

CCS – Coeficiente de correlação de Spearman

PPB – Probabilidade a posteriori de Bayes

INE – Instituto Nacional de Estatística

I. Introdução

A Medicina Dentária Forense é uma de várias áreas das Ciências Forenses, considerada essencial em múltiplas circunstâncias da prática pericial.⁽¹⁾

A estimativa de idade é importante na identificação de cadáveres e na definição de responsabilidades legais e criminais. Esta estimativa é geralmente obtida através da observação da idade dentária, sendo este processo o mais universalmente aceite para este mesmo propósito por ser um método confiável de aplicação forense.^(2, 3)

Para além das suas aplicações em áreas como as ciências forenses e a arqueologia, a estimativa de idade vai ter relevância em ramos da prática médica e clínica, como são exemplo a ortodontia e ortopedia, bem como ao nível legal e de investigação criminal, em casos de agressões ou relacionado com a imigração ilegal, devido ao aumento do número de indivíduos sem documentos de identificação.^(4 - 6)

Ao longo do tempo foram desenvolvidos vários métodos para a avaliação da idade, baseados nos ossos do crânio, nos ossos longos, na sínfise púbica, nas mãos ou na dentição permanente observada nas radiografias.⁽⁷⁾ No entanto, considera-se que existe uma maior precisão na utilização da dentição para a estimativa de idade relativamente aos restantes métodos, já que, apesar de poder haver certas variações no progresso ou atraso no tempo de mineralização, a maturação dentária é um processo uniforme.⁽⁸⁾ O desenvolvimento dentário, a deposição de dentina e de cemento e alterações pulpares podem ser utilizados com este intuito.⁽⁹⁾

Embora métodos de estimativa de idade válidos devam ser precisos e exatos, qualquer método de estimativa de idade irá subestimar ou superestimar a idade cronológica em diferentes graus.⁽¹⁰⁾

Em 2006, Cameriere *et al.* apresentaram um novo método para estimar a idade cronológica de crianças através da medição das dimensões dos dentes permanentes com ápices abertos.⁽¹¹⁾ Este método apresentou bons resultados para a população inicial de 455 crianças Italianas em que foi aplicado⁽¹¹⁾, sendo que, em 2007, a fórmula foi aplicada a crianças de vários países Europeus com o intuito de a refinar, tendo-se chegado à Fórmula de Regressão Dentária Europeia (FRDE)⁽¹²⁾ que irá ser utilizada neste presente estudo. Sendo o objetivo final obter uma fórmula passível de ser utilizada no maior número possível de crianças Europeias, este

estudo vem verificar a compatibilidade da FRDE com a população portuguesa, dando-se assim mais um passo para o desenvolvimento e validação desta fórmula.

Considerações Finais:

Com este propósito em mente, o objetivo da presente investigação é estabelecer pontos de corte nas idades compreendidas dos 6 aos 15 anos através da aplicação do índice de regressão dentária aos 7 dentes inferiores esquerdos, recorrendo, para tal, a ortopantomografias.

II. Objetivos

1. Objetivo principal

O objetivo principal desta investigação passará por avaliar a sensibilidade e a especificidade da fórmula de regressão dentária Europeia para os sete dentes permanentes do lado esquerdo da mandíbula. Para este efeito serão determinados:

- 1.1.**Ponto de corte para a idade dos 8 anos;
- 1.2.**Ponto de corte para a idade dos 9 anos;
- 1.3.**Ponto de corte para a idade dos 10 anos;
- 1.4.**Ponto de corte para a idade dos 11 anos;
- 1.5.**Ponto de corte para a idade dos 12 anos.

2. Objetivo secundário

O objetivo secundário desta investigação passará por avaliar a sensibilidade e a especificidade do método de Demirjian para os sete dentes permanentes do lado esquerdo da mandíbula para utilizar como termo de comparação com a fórmula de regressão dentária Europeia. Para este efeito serão determinados:

- 2.1.**Ponto de corte para a idade dos 8 anos;
- 2.2.**Ponto de corte para a idade dos 9 anos;
- 2.3.**Ponto de corte para a idade dos 10 anos;
- 2.4.**Ponto de corte para a idade dos 11 anos;
- 2.5.**Ponto de corte para a idade dos 12 anos.

3. Objetivo final

O objetivo final é estabelecer para a população portuguesa os pontos de corte para a fórmula de regressão europeia para a estimativa das idades legais nacionais compreendidas no intervalo dos 6 aos 15 anos de idade.

III. Metodologia

1. Delineamento experimental

O estudo foi realizado no Hospital Universitário de Santa Maria, parte integrante do Centro Hospitalar Lisboa Norte (CHLN) – Serviço de Estomatologia, com uma população alvo constituída por pacientes do Centro Hospitalar Universitário Lisboa Norte que apresentavam associado ao seu processo um exame complementar de diagnóstico – ortopantomografia, e que tenham estado presentes numa consulta de estomatologia entre 01/01/2018 e 10/03/2020.

O protocolo experimental foi elaborado e enviado para o Diretor do Serviço de Estomatologia do Hospital Santa Maria, parte integrante do CHLN, Diretor Clínico da Faculdade de Medicina Dentária da Universidade de Lisboa (FMDUL), Presidente da Comissão de Ética para a Saúde da FMDUL e Presidente do Concelho Científico da FMDUL – juntamente com as cartas de pedido de autorização (Anexos 1.I, 1.II, 1.III e 1.IV), que receberam parecer favorável (Anexo 1.V).

2. Amostra populacional

O objetivo era selecionar uma amostra populacional que compreendesse cerca de 700 ortopantomografias, de ambos os géneros, sendo que, devido ao estado de emergência em que o país se encontrou causado pela pandemia do Covid-19, não foi possível recolher o número total de radiografias originalmente planeado e indicado no protocolo. A seleção das ortopantomografias baseou-se nos seguintes critérios de inclusão:

2.1. Parâmetros dentários:

- Presença dos 7 dentes permanentes no lado esquerdo da mandíbula;
- Ausência de tratamento endodôntico prévio realizado na dentição permanente no lado esquerdo da mandíbula;
- Ausência de lesões de cárie ou restaurações na dentição permanente no lado esquerdo da mandíbula;
- Ausência de anomalias dentárias congénitas de forma e de posição no lado esquerdo da mandíbula;
- Ausência de sobreposições dentárias radiograficamente no lado esquerdo da mandíbula;
- Ausência de tratamento ortodôntico na mandíbula no momento da realização da ortopantomografia.

2.2. Parâmetros identificativos:

- Idade compreendida entre os 6 e os 15 anos.

2.3. Parâmetros sistémicos:

- Ausência de patologias sistémicas e/ou síndromes.

3. Metodologia de Recolha de dados

A listagem de pacientes Centro Hospitalar Universitário Lisboa Norte, EPE, com exames imagiológicos associados ao processo foi consultada através do programa informático SECTRA[®]. Foram selecionadas 483 ortopantomografias, correspondentes a 318 pacientes, de ambos os géneros. Foram recolhidos do programa informático SECTRA[®] os dados dos pacientes incluídos, referentes a:

- Número do processo;
- Idade;
- Género;

- Data de Nascimento;
- Data da realização da Ortopantomografia;
- Idade respetiva aquando da realização da mesma.

Não foram recolhidos quaisquer outros dados identificativos dos pacientes.

Após a recolha dos casos, as ortopantomografias foram analisadas e a idade dentária estimada, por dois observadores, de acordo com a fórmula de regressão dentária europeia de 7 dentes permanentes mandibulares esquerdos⁽¹²⁾ (do Incisivo Central ao 2.º Molar, inclusive), para o cálculo dos pontos de corte para as idades do estudo; utilizando as variáveis da respetiva fórmula (variável s – somatório de todos os ratios de 7 dentes permanentes da mandíbula do lado esquerdo; e, variável x_5 – medições do 2.º Pré-molar). De seguida os 7 dentes foram classificados por estádios de A a H de Demirjian⁽¹³⁾. (Anexos 2, 3 e 4)

De modo a realizar estas medições foi utilizado o programa *ImageJ (Image Processing and Analysis in Java)*, desenvolvido pelo National Institutes of Health (NIH), Bethesda, Maryland, USA. A realização de medições usando este programa requer uma escala base para se converter as medições de píxeis para milímetros (mm). A escala utilizada foi a do próprio sistema do ortopantomógrafo em uso no CHLN que já vinha associada às radiografias.

Seguidamente passou-se ao registo dos dados em questão em três folhas de Excel: uma primeira folha onde constou o número do processo e o número da amostra correspondente, que se eliminou após a conclusão da investigação; uma segunda folha onde se encontra o número da amostra, o género e a idade no momento de realização da ortopantomografia; e uma terceira folha onde se registaram os dados recolhidos após a aplicação do método de regressão dentária Europeia e os estádios de Demirjian.^(12, 13)

4. Metodologia de validação dos dados

As observações deste estudo consistiram em diversas medições de larguras e comprimentos. Existindo múltiplos fatores que podem levar à inclusão de erros experimentais aquando estas medições (podendo comprometer a veracidade dos resultados obtidos), tais como a introdução de vícios durante a recolha de dados.

Deste modo, e tendo em conta que houve dois observadores a recolher os dados e a realizar as medições, foi necessário testar a validade dos resultados através da validação intra e inter-observador.

Na validação de dados foi utilizado o coeficiente de correlação intraclass (CCI), medida de validação e concordância de variáveis quantitativas. Segundo Fleiss⁽¹⁴⁾, este coeficiente pode ser interpretado da seguinte forma:

- $\leq 0,39$ - Concordância fraca;
- Entre 0,40 e 0,74 - Concordância satisfatória a boa;
- $\geq 0,75$ - Concordância excelente.

4.1. Validação inter-observador:

A variabilidade inter-observador consiste na não reprodutibilidade dos dados devido à diferença subjetiva de observação e realização do procedimento entre diferentes observadores.

Os dados foram recolhidos e analisados por dois observadores distintos, pelo que se realizou posteriormente uma avaliação e validação dos resultados num segundo tempo para verificar o grau de variabilidade inter-observador. Obteve-se, assim, a concordância entre os resultados dos dois observadores, sendo esta medida através do CCI.⁽¹⁴⁾

4.2. Validação intra-observador:

A variabilidade intra-observador consiste na não reprodutibilidade dos dados devido à alteração involuntária da aplicação dos critérios previamente definidos ao longo do tempo. Tal alteração leva à introdução de erros.

Com o intuito de reduzir esse número de erros, a validação dos dados recolhidos foi efetuada através de uma repetição de um número pré-determinado de observações com um período de intervalo suficientemente grande para eliminar o efeito de memória. Este intervalo foi de 3 meses e com 10% de observações repetidas da amostra total. Os valores obtidos na primeira medição foram comparados com os da segunda medição. Obteve-se, assim, a concordância entre os resultados do observador, através do CCI.⁽¹⁴⁾

5. Análise estatística

A análise estatística dos dados foi realizada utilizando o software de análise estatística de dados do *IBM SPSS Statistics (Statistical Package for the Social Sciences)*. Todos os dados foram introduzidos e analisados com recurso ao SPSS versão 27.

Um teste de hipótese avalia duas declarações mutuamente exclusivas em relação a uma população para determinar qual delas está mais bem fundamentada pelos dados amostrais. Um resultado de teste é estatisticamente significativo quando a estatística da amostra é atípica o suficiente em relação à hipótese nula para que possamos rejeitar a hipótese nula para toda a população. O nível de significância escolhido nos testes realizados foi de 5%. Desta forma, quanto menor o *p-value* obtido nos testes realizados, mais forte é a evidência contra a hipótese nula, devendo-se rejeitá-la quando o *p-value* é inferior a 0,05.⁽¹⁵⁾

Depois da realização da análise descritiva realizou-se a análise estatística dos dados. Na validação intra e inter-observador, foi utilizado o CCI⁽¹⁴⁾, medida de validação e da concordância de variáveis quantitativas.

Foram calculados os Valores Preditivos Positivos e Negativos (VPP e VPN), para demonstrar a probabilidade de um resultado positivo ou de um resultado negativo serem realmente verdadeiros. A precisão preditiva do modelo foi avaliada pela determinação da área sob a curva ROC (Característica de Operação do Recetor).

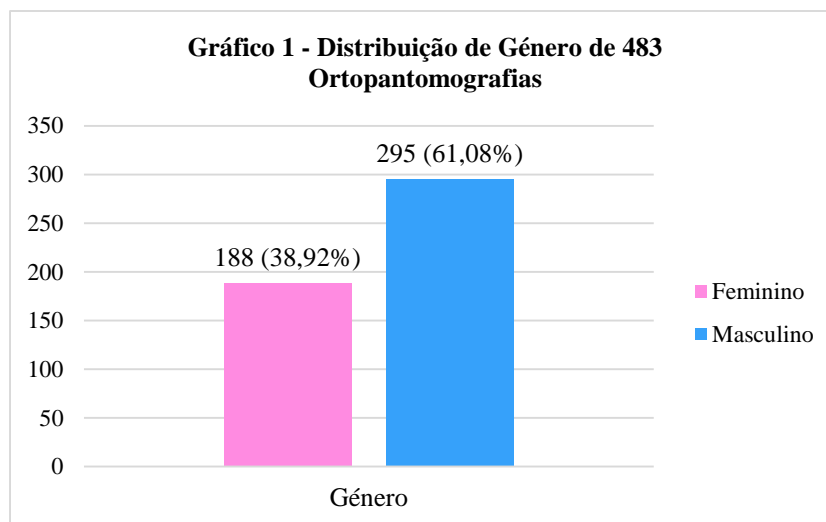
Todas as variáveis significativas foram utilizadas para testar a questão médico-legal se o indivíduo tem pelo menos a idade estimada ou tem menos que a idade estimada. O teste foi realizado para identificar um ponto de corte que pudesse ser usado para classificar um indivíduo numa daquelas duas classes.

IV. Resultados

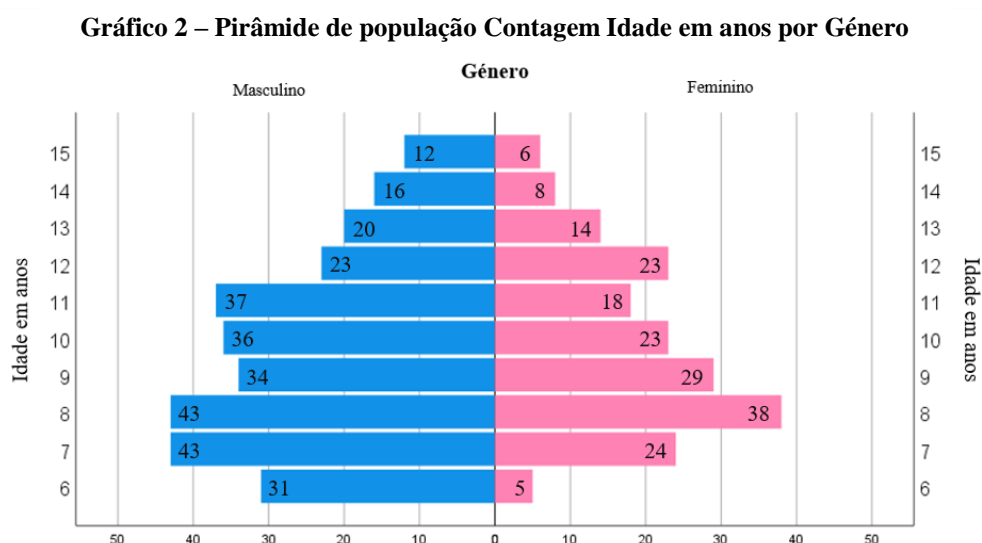
1. Análise Descritiva

O estudo consistiu em 318 pacientes, sendo que a dimensão da amostra recolhida corresponde a um total de 483 radiografias. Dos 318 pacientes incluídos, de idades entre os 6 e os 15 anos inclusive, pertencendo a ambos os géneros, 125 (39,31%) são do género feminino e 193 (60,69%) são do género masculino. (Anexo 5.I)

Relativamente às ortopantomografias recolhidas destes pacientes (483), 188 (38,92%) pertencem ao género feminino e 295 (61,08%) pertencem ao género masculino. (Anexo 5.II)



A distribuição do número de radiografias por idade e género encontra-se representada no Gráfico 2. (Anexo 5.III)



Em relação aos resultados obtidos pelo método de Demirjian (M.Dem.), os estádios de Demirjian presentes na amostra, por dente, foram: dente 31 – F, G e H; dente 32 – E, F, G e H; dente 33 – D, E, F, G e H; dente 34 – D, E, F, G e H; dente 35 – C, D, E, F, G e H; dente 36 – E, F, G e H; dente 37 - C, D, E, F, G e H. (Anexo 5.IV)

2. Análise Estatística

2.1. Validação Intra-observador

Foi realizado o coeficiente de correlação intraclasse (CCI) para averiguar a reprodutibilidade do estudo, ao se observar a variabilidade total de medidas devido a variações de medição em tempos distintos (primeiro e segundo tempo de medição do mesmo observador – resultados intra-observador), tendo este sido aplicado às medições da amostra de 10%. (Anexo 6.I)

Os resultados obtidos estão presentes nas tabelas seguintes, para o terceiro e quarto quadrantes. Foram utilizados os intervalos de Fleiss, sendo que, no terceiro quadrante, todos os valores de CCI calculados se encontram no parâmetro excelente (maior ou igual a 0,75), com exceção do comprimento vertical do dente 36 cujo valor se encontra no parâmetro satisfatório (0,40 a 0,74) – Tabela 1.⁽¹⁴⁾

Em relação ao quarto quadrante, dois dos dezoito valores de CCI calculados encontram-se no parâmetro satisfatório (0,40 a 0,74), sendo estes ao nível do ápex do dente 41 e do ápex distal do dente 46 – Tabela 2.⁽¹⁴⁾

2.2. Validação Inter-observador

Numa segunda fase, foi realizado o CCI para averiguar a variabilidade total de medidas devido a variações entre diferentes indivíduos (medições, da mesma porção da amostra total, por dois observadores distintos – resultados inter-observador). O coeficiente foi mais uma vez aplicado às medições da amostra de 10%, comparando os segundos tempos de ambos os observadores. (Anexo 6.II)

Foram novamente utilizados os intervalos de Fleiss, estando dois dos dezoito valores de CCI calculados para o terceiro quadrante no parâmetro satisfatório (0,40 a 0,74), especificamente o comprimento vertical do dente 31 e o ápex mesial do dente 37, encontrando-se os restantes dezasseis valores dentro do parâmetro excelente (maior ou igual a 0,75) – Tabela 1.⁽¹⁴⁾

Por outro lado, no quarto quadrante, todos os valores estão no parâmetro excelente (maior ou igual a 0,75), com exceção do valor do ápex do dente 41, que é satisfatório (0,40 a 0,74) – Tabela 2.⁽¹⁴⁾

Tabela 1 – CCI: Resultados Intra e Inter-observador para o 3.º Quadrante

Variável analisada (3.º Quadrante)	Correlação intraclassa (Intra-observador)	Correlação intraclassa (Inter-observadores)
Dente 31, Ápex	0,879	0,825
Dente 31, Comp. Vert.	0,931	0,591
Dente 32, Ápex	0,944	0,959
Dente 32, Comp. Vert.	0,986	0,980
Dente 33, Ápex	0,963	0,927
Dente 33, Comp. Vert.	0,988	0,977
Dente 34, Ápex	0,980	0,951
Dente 34, Comp. Vert.	0,988	0,979
Dente 35, Ápex	0,984	0,981
Dente 35, Comp. Vert.	0,996	0,993
Dente 36, Ápex M.	0,864	0,815
Dente 36, Ápex D.	0,910	0,761
Dente 36, Comp. Vert.	0,642	0,955
Dente 37, Ápex M.	0,909	0,664
Dente 37, Ápex D.	0,931	0,832
Dente 37, Comp. Vert.	0,960	0,985
Dente 37 (mono), Ápex	0,944	0,900
Dente 37 (mono), Comp. Vert.	0,932	0,949

Tabela 2 – CCI: Resultados Intra e Inter-observador para o 4.º Quadrante

Variável analisada (4.º Quadrante)	Correlação intraclassa (Intra-observador)	Correlação intraclassa (Inter-observadores)
Dente 41, Ápex	0,710	0,523
Dente 41, Comp. Vert.	0,926	0,818
Dente 42, Ápex	0,852	0,890
Dente 42, Comp. Vert.	0,978	0,963
Dente 43, Ápex	0,971	0,962
Dente 43, Comp. Vert.	0,976	0,932
Dente 44, Ápex	0,970	0,927
Dente 44, Comp. Vert.	0,988	0,982
Dente 45, Ápex	0,986	0,976
Dente 45, Comp. Vert.	0,995	0,996
Dente 46, Ápex M.	0,789	0,802
Dente 46, Ápex D.	0,603	0,779
Dente 46, Comp. Vert.	0,963	0,976
Dente 47, Ápex M.	0,902	0,854
Dente 47, Ápex D.	0,933	0,930
Dente 47, Comp. Vert.	0,970	0,988
Dente 47 (mono), Ápex	0,932	0,815
Dente 47 (mono), Comp. Vert.	0,976	0,964

2.3. Correlação entre as variáveis de Cameriere e a idade

Calcularam-se os valores das correlações entre as medições efetuadas através da FRDE e a idade cronológica dos pacientes, para o terceiro e o quarto quadrante. Consideraram-se valores superiores 0,700, em valor absoluto, como muito significativos, ou seja, demonstrativos de uma forte correlação.

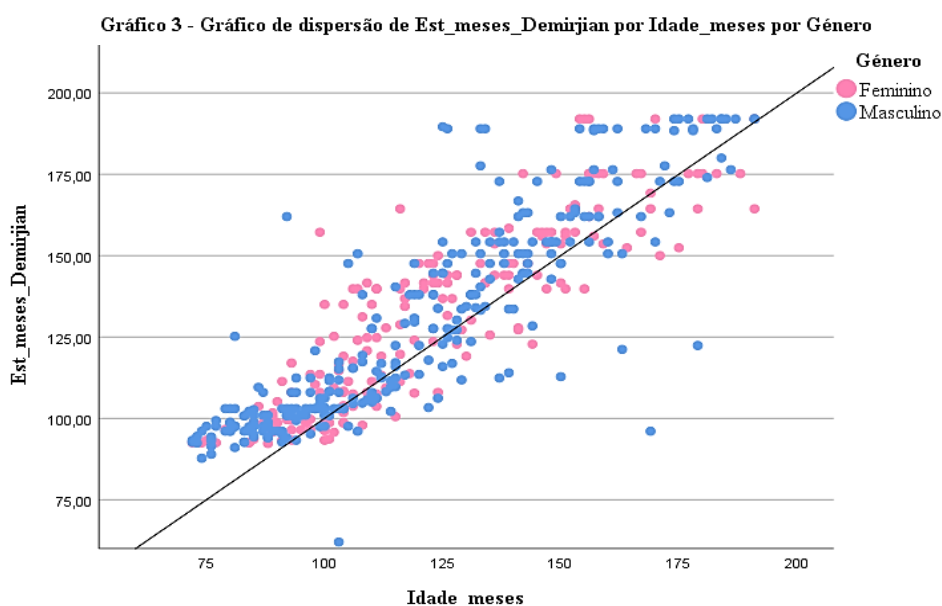
No que toca ao terceiro quadrante, os coeficientes de correlação a ter em conta foram os das variáveis x_3 (-0,763), x_4 (-0,807), x_7 (-0,813), s (-0,829) e $N0$ (0,858). Relativamente ao quarto quadrante as variáveis mais significativas foram as x_4 (-0,739), x_5 (-0,722), x_7 (-0,749), s (-0,765) e $N0$ (0,850). Foi assim possível observar que os quadrantes foram bastante semelhantes entre si, sendo que as variáveis do terceiro quadrante apresentaram valores ligeiramente superiores. (Anexo 7.I)

2.4. Correlação entre as variáveis de Demirjian e a idade e o género

Foi calculado o valor das correlações entre as medições efetuadas pelo método de Demirjian e a idade cronológica dos pacientes de duas formas:

- o coeficiente de correlação de Pearson (CCP), ou R de Pearson, que varia entre -1 e 1, sendo que -1 significa que as variáveis são inversamente dependentes uma da outra (quando uma aumenta a outra diminui), 0 indica a inexistência de correlação entre as variáveis e 1 indica uma correlação direta perfeita; O valor do CCP entre as variáveis “Idade” (em meses) e “Soma dos 7 dentes” foi de 0,748. (Anexo 7.II)
- o coeficiente de correlação de Spearman (CCS), ou Ró (ρ) de Spearman, que avalia qual a intensidade da relação entre duas variáveis. Utilizada em correlações não paramétricas, mais uma vez se o valor desta for 0 indica a inexistência de correlação, e se, em termos absolutos, igual 1 indica uma correlação perfeita entre as variáveis estudadas. O valor do CCS entre as variáveis “Idade” (em meses) e “Soma dos 7 dentes” foi de 0,880. (Anexo 7.II)

Foi seguidamente avaliada a correlação entre idade, género e as variáveis de Demirjian, sendo que apesar do desvio observado na dispersão, este gráfico (Gráfico 3) permite-nos aferir que não existem diferenças significativas entre o género feminino e masculino.



2.5. Pontos de Corte

Para cada idade em análise, pretende-se distinguir os indivíduos que têm pelo menos essa idade dos que ainda não atingiram essa idade. Para classificar cada indivíduo numa destas duas classes serão utilizados dois métodos. No primeiro será utilizada a variável s (somatório de todos os ratios de 7 dentes permanentes da mandíbula do lado esquerdo) de Cameriere e iremos denominar por método FRDE. No segundo método será utilizada a variável $soma7dentes$ (somatório dos valores de conversão de Demirjian dos 7 dentes) e iremos denominar por método de Demirjian (M.Dem). Assim, pretende-se avaliar se estes métodos permitem classificar com fiabilidade um indivíduo num dos dois grupos etários e, por outro lado, identificar o valor a partir do qual a classificação de um indivíduo passa de um grupo para o outro (ponto de corte). A precisão preditiva de ambos os métodos foi avaliada pela determinação da área sob a curva ROC. A curva ROC, além de avaliar a fiabilidade da metodologia de classificação utilizada, permite avaliar a sensibilidade e a especificidade para cada ponto de corte, uma vez que quando alteramos o valor do ponto de corte, uma destas medidas aumenta e a outra diminui. Assim, todos os pontos de corte apresentados neste trabalho foram obtidos pela utilização da regressão logística, podendo-se alterar caso se pretenda privilegiar uma destas medidas de fiabilidade em relação à outra.

Além disso, para cada ponto de corte obtido foi avaliada a sensibilidade (proporção de indivíduos que o método identificou corretamente entre os que têm pelo menos a idade em análise) e a especificidade (proporção de indivíduos que o método identificou corretamente entre os que não atingiram a idade em análise).

Foram também determinados a acurácia (proporção de indivíduos bem classificados), o valor preditivo positivo - VPP (proporção de indivíduos corretamente identificados entre os que foram indicados como tendo pelo menos a idade em análise) e o valor preditivo negativo - VPN (proporção de indivíduos corretamente identificados entre os que foram indicados como não tendo a idade em análise, ou seja, como mais novos que a idade em análise) de cada ponto de corte.

2.5.1. Ponto de corte para a idade dos 8 anos

Executando a divisão da amostra em dois grupos, um primeiro grupo com idade inferior a 8 anos (103) e o segundo com pelo menos 8 anos de idade (380), foi determinado o ponto de

corte, utilizando a regressão logística. Deste modo, concluiu-se que para a FRDE o ponto de corte é igual a 2,09 com uma área sob a curva ROC de 0,946, e para o M.Dem. o ponto de corte é igual a 78,5 com uma área sob a curva ROC de 0,944. (Anexo 8)

A sensibilidade, acurácia e VPN do M.Dem. foram superiores aos da FRDE, sendo que nos restantes parâmetros a FRDE obteve os valores mais elevados (Tabela 3).

Tabela 3 – Ponto de corte e parâmetros analisados para os 8 anos

Método	Ponto de Corte	Sensibilidade	Especificidade	Acurácia	VPP	VPN	PPB
FRDE	2,09	94,21%	70,87%	89,23%	92,27%	76,84%	93,72%
M.Dem.	78,5	96,58%	65,05%	89,86%	91,07%	83,75%	92,73%

2.5.2. Ponto de corte para a idade dos 9 anos

Executando a divisão da amostra em dois grupos, o primeiro grupo com idade inferior a 9 anos (184) e o segundo com pelo menos 9 anos de idade (299), foi determinado o ponto de corte, utilizando a regressão logística. Para a FRDE o ponto de corte é igual a 1,34 com uma área sob a curva ROC de 0,955, e para o M.Dem. o ponto de corte é igual a 86 com uma área sob a curva ROC de 0,948. (Anexo 9)

A sensibilidade e VPN do M.Dem. foram superiores aos da FRDE, sendo que nos restantes parâmetros a FRDE obteve os valores mais elevados (Tabela 4).

Tabela 4 – Ponto de corte e parâmetros analisados para os 9 anos

Método	Ponto de Corte	Sensibilidade	Especificidade	Acurácia	VPP	VPN	PPB
FRDE	1,34	91,97%	84,78%	89,23%	90,76%	86,67%	94,05%
M.Dem.	86	92,31%	82,07%	88,41%	89,32%	86,78%	93,08%

2.5.3. Ponto de corte para a idade dos 10 anos

Executando a divisão da amostra em dois grupos, o primeiro grupo com idade inferior a 10 anos (247) e o segundo com pelo menos 10 anos de idade (236), foi determinado o ponto de corte, utilizando a regressão logística. Para a FRDE o ponto de corte é igual a 0,87 com uma

área sob a curva ROC de 0,957, e para o M.Dem. o ponto de corte é igual a 90,75 com uma área sob a curva ROC de 0,947. (Anexo 10)

A sensibilidade, acurácia e VPN do M.Dem. foram superiores aos da FRDE, sendo que nos restantes parâmetros a FRDE obteve os valores mais elevados (Tabela 5).

Tabela 5 – Ponto de corte e parâmetros analisados para os 10 anos

Método	Ponto de Corte	Sensibilidade	Especificidade	Acurácia	VPP	VPN	PPB
FRDE	0,87	90,25%	85,02%	87,58%	85,20%	90,13%	90,80%
M.Dem.	90,75	92,37%	83,40%	87,78%	84,17%	91,96%	90,11%

2.5.4. Ponto de corte para a idade dos 11 anos

Executando a divisão da amostra em dois grupos, o primeiro grupo com idade inferior a 11 anos (306) e o segundo com pelo menos 11 anos de idade (177), foi determinado o ponto de corte, utilizando a regressão logística. Para a FRDE o ponto de corte é igual a 0,52 com uma área sob a curva ROC de 0,954, e para o M.Dem. o ponto de corte é igual a 94 com uma área sob a curva ROC de 0,938. (Anexo 11)

A sensibilidade e VPN do M.Dem. foram superiores aos da FRDE, sendo que nos restantes parâmetros a FRDE obteve os valores mais elevados (Tabela 6).

Tabela 6 – Ponto de corte e parâmetros analisados para os 11 anos

Método	Ponto de Corte	Sensibilidade	Especificidade	Acurácia	VPP	VPN	PPB
FRDE	0,52	87,57%	87,91%	87,78%	80,73%	92,44%	88,78%
M.Dem.	94	88,14%	85,29%	86,34%	77,61%	92,55%	86,75%

2.5.5. Ponto de corte para a idade dos 12 anos

Executando a divisão da amostra em dois grupos, o primeiro grupo com idade inferior a 12 anos (361) e o segundo com pelo menos 12 anos de idade (122), foi determinado o ponto de corte, utilizando a regressão logística. Para a FRDE o ponto de corte é igual a 0,28 com uma área sob a curva ROC de 0,948, e para o M.Dem. o ponto de corte é igual a 96,2 com uma área sob a curva ROC de 0,932. (Anexo 12)

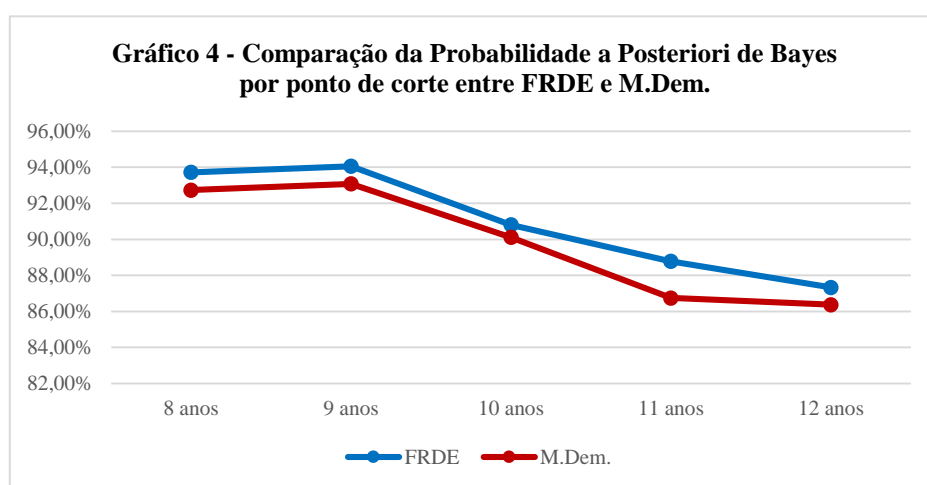
Apenas a especificidade do M.Dem. foi superior à da FRDE, sendo que nos restantes parâmetros a FRDE obteve os valores mais elevados, existindo uma discrepância bastante elevada entre os valores de sensibilidade dos dois métodos: 11,48 (Tabela 7).

Tabela 7 – Ponto de corte e parâmetros analisados para os 12 anos

Método	Ponto de Corte	Sensibilidade	Especificidade	Acurácia	VPP	VPN	PPB
FRDE	0,28	81,97%	91,41%	89,03%	76,34%	93,75%	87,33%
M.Dem.	96,2	70,49%	91,97%	86,54%	74,78%	90,22%	86,37%

2.5.6. Probabilidade *a posteriori* de Bayes

Finalmente, foi calculado o valor da probabilidade *a posteriori* de Bayes (PPB) para cada método e em cada ponto de corte, valor este que permite extrapolar dos dados da amostra deste estudo para a população portuguesa (Gráfico 4), sendo que para tal foram utilizados os dados demográficos de 2019, retirados do Instituto Nacional de Estatística (INE). (Anexo 13)



V. Discussão

1. Integridade da Metodologia Experimental

Apesar do alvo para dimensão da amostra inicial ser de cerca de 700 radiografias, tal não foi possível realizar devido ao estado de emergência em que Portugal se encontrou entre as datas de 18/03/2020 e 02/05/2020 devido à pandemia de Covid-19. Deste modo a recolha de

radiografias teve que se dar por terminada antes do pretendido, resultando numa dimensão inferior para a amostra do que o que era esperado. Esta redução da amostragem acabou por comprometer a realização de dois dos objetivos iniciais desta dissertação, nomeadamente a realização dos pontos de corte nas idades dos 13 e 14 anos.

A qualidade das ortopantomografias em si, quer ao nível de contraste, focagem ou angulação terá tido algum efeito sobre as medições realizadas, sendo que, em casos como este estudo em que temos medições minuciosas em décimas de mm, qualquer pequena alteração na visibilidade e perceção dos píxeis pode comprometer e alterar as medições efetuadas. Isto é observável ao nível do quinto sextante, em que a natureza tridimensional em forma de ferradura ou U da mandíbula transformada numa imagem bidimensional cria sempre algumas distorções ou zonas desfocadas neste local.

No que toca à metodologia por estádios de Demirjian, foi detetada alguma ambiguidade intrínseca do método relativamente aos dentes que se encontravam entre estádios, levando a alguma subjetividade nas medições pois nem sempre os observadores estavam em concordância em certos dentes. Tal facto poderá ter levado a discrepâncias nestas medições.

2. Análise Descritiva

Nas ortopantomografias recolhidas dos pacientes (483), é possível denotar uma preponderância do género masculino, 295 (61,08%), versus o género feminino, 188 (38,92%), sendo esta mais visível principalmente na faixa etária dos 6 anos.

Ao nível das faixas etárias estudadas, denota-se uma maior concentração de radiografias das faixas etárias dos 8, 9, 10 e 11 anos, existindo um número mais reduzido nas restantes idades.

3. Validação Intra-observador

O valor mais elevado de CCI obtido foi de 0,996 (comprimento vertical do dente 35), tendo o menor sido de 0,603 (ápex distal do dente 46). Tomando por base os parâmetros de Fleiss, considera-se que existe uma boa calibração do observador, visto 33 de 36 valores serem excelentes, sendo que os restantes três apresentam valores considerados como satisfatórios.⁽¹⁴⁾

É no entanto de referir que uma boa calibração do observador não vai igualar verosimilhança dos resultados obtidos com a realidade visto poder existir um viés, constante em ambos os tempos de medição, nas metodologias aplicadas pelo observador.

4. Validação Inter-observador

O valor mais elevado de CCI obtido foi de 0,996 (comprimento vertical do dente 45), tendo o menor sido de 0,523 (ápex do dente 41). Tomando por base os parâmetros de Fleiss, mais uma vez considera-se que existe uma boa calibração do observador, visto existir número igual ao da validação intra-observador de resultados excelentes e satisfatórios (33 e 3, respetivamente).

Ao comparar os valores obtidos no terceiro e quarto quadrantes, tanto no intra como no inter-observador, estes são relativamente semelhantes, tendo sido possível observar que, apesar das semelhanças entre os valores da validação intra e inter-observador, as localizações que apresentaram valores satisfatórios não foram sempre as mesmas, com a exceção do ápex do dente 41. Neste local tanto os valores intra como o inter-observador apresentaram-se igualmente reduzidos, ou seja, com algumas discrepâncias entre observações (valores 0,710 e 0,523, respetivamente). Tal poderá dever-se a múltiplos fatores, entre eles, a título de exemplo, a possibilidade de algumas radiografias poderem apresentar a zona apical dos incisivos inferiores mais desfocada, o que dificulta a realização das medições. Apesar de só o ápex do dente 41 apresentar esta alteração, é de referir que os valores intra e inter-observador do dente 31, apesar de excelentes, são também menores que a maioria dos restantes valores obtidos, podendo este ponto de certa forma potencialmente apoiar a hipótese acima mencionada.

Mais uma vez, é de referir que uma boa calibração inter-observador, apesar de reduzir a variabilidade das medidas e a possibilidade da existência de um viés nas medições, pode ainda ter presente erros que devem ser tidos em consideração.

5. Correlação Cameriere e idade

Os resultados demonstraram a existência de uma forte correlação das variáveis da FRDE com as idades cronológicas da amostra, indicando assim que este método pode ser usado para a estimativa da idade.

6. Correlação Demirjian, idade e gênero

Os resultados demonstraram a existência de uma forte correlação das variáveis do M.Dem. com as idades cronológicas da amostra, indicando assim que este método pode ser usado para a estimativa da idade. Por outro lado, o gráfico indica a inexistência de diferenças significativas para este método entre os gêneros masculino e feminino.

7. Pontos de corte

Após extensa pesquisa em múltiplas bases de dados como o Pubmed e o GoogleScholar, entre outras, não foi possível localizar qualquer outra literatura que tivesse determinado pontos de corte para as variáveis investigadas neste estudo e a sua análise. Assim sendo, prossegue-se com a análise dos resultados em si mesmos e a sua aplicação.

Começando pelas curvas ROC, todas as áreas sob a curva ROC obtidas nos dois métodos e nas diferentes idades apresentaram valores superiores a 0,93, tratando-se de excelentes resultados, visto o quão mais próximo de 1 a área sob a curva ROC se encontrar, melhor e mais precisos serão os resultados.

Na sensibilidade dos dois métodos utilizados, a menor discrepância entre os dois métodos é de 0,34 e ocorre aos 9 anos, sendo a maior discrepância de 11,48 aos 12 anos. A sensibilidade da FRDE encontra-se sempre ligeiramente inferior à do M.Dem., ocorrendo uma inversão da situação aos 12 anos, momento em que a sensibilidade da FRDE se torna bastante superior à do M.Dem. (Tabela 7).

Ao nível da especificidade, a menor discrepância entre os dois métodos é de 0,56 e ocorre aos 12 anos, sendo a maior discrepância de 5,82 aos 6 anos. A especificidade da FRDE manteve-se inicialmente mais elevada que a do M.Dem., sendo a discrepância entre os dois métodos progressivamente menor até que ocorreu uma inversão aos 12 anos, altura em que a especificidade do M.Dem. passou a ser ligeiramente superior à da FRDE (Tabela 7).

Saliente-se que, para os valores do ponto de corte obtidos pela regressão logística, em nenhuma idade o mesmo método tem simultaneamente sensibilidade e especificidade superiores aos do outro método (se tem sensibilidade superior então a especificidade é inferior ou vice-versa). Além disso, o ponto de corte pode ser alterado de forma a aumentar uma destas

medidas prejudicando necessariamente a outra. Assim sendo, estas duas medidas não demonstram superioridade de um método sobre o outro.

A acurácia de ambos os métodos manteve-se sempre bastante semelhante entre estes, sendo que a maior discrepância ocorreu novamente ao nível do ponto de corte dos 12 anos de idade.

Em relação aos valores preditivos calculados, o VPP foi sempre superior no método FRDE do que no M.Dem. em todos os pontos de corte utilizados. Por outro lado, o VPN, nos pontos de corte associados às idades dos 8 aos 11 anos, foi sempre inferior no método FRDE em comparação com o M.Dem., existindo novamente a exceção do ponto de corte dos 12 anos, onde, invertendo-se a situação, o VPN foi superior para a FRDE.

Com base nos resultados obtidos é possível verificar que nos pontos de corte entre os 8 e os 11 anos, ambos os métodos apresentam grandes semelhanças, obtendo ambos muito bons resultados. Por outro lado, no ponto de corte dos 12 anos deparamo-nos com um bom resultado para a FRDE mas uma grande discrepância entre este e o M.Dem. Tal poderá ter ocorrido por o método de Demirjian já não conseguir discriminar idades próximas dos 12 anos, mas também devido a eventuais erros de medição acumulados ao longo dos sete dentes ou talvez pela subjetividade do M.Dem. em si, não sendo no entanto possível dizer com toda a certeza qual o motivo para a grande discrepância encontrada nesta idade em particular.

Como indicado anteriormente, a probabilidade *a posteriori* de Bayes vai permitir-nos extrapolar os resultados da nossa amostra para a população portuguesa (entre os 6 e os 15 anos). Este processo possibilita-nos obter uma melhor perspetiva de qual será o método mais adequado para ser utilizado nesta população em particular.

Pelo gráfico de Bayes (Gráfico 3), é possível observar-se que apesar das variações de idade para idade e método para método das restantes variáveis, a FRDE apresenta os melhores valores para a população portuguesa, quando comparada com o M.Dem, nos pontos de corte obtidos pela aplicação da regressão logística. Salientemos, uma vez mais, que podem ser utilizados outros valores para o ponto de corte em cada método de forma a aumentar o valor de uma destas medidas, penalizando o valor de outra(s) medida(s). Por este motivo não devemos tirar conclusões baseadas numa única medida.

Ao procurar mais literatura sobre o assunto, na dissertação de mestrado integrado em Medicina Dentária de Augusto⁽¹⁶⁾, que também determinou ponto de corte para os 12 anos,

utilizando, no entanto, ao invés da FRDE, o Índice do Segundo Molar (I_{2M}), foi possível observar a existência de um método com resultados ligeiramente superiores aos 12 anos, sendo aqui também visível uma situação semelhante ao nível do PPB.

A autora obteve uma discrepância elevada para a sensibilidade entre o método do I_{2M} e o M.Dem., favorecendo tendencialmente o método do I_{2M} , e apesar dos restantes valores serem relativamente semelhantes entre métodos, a PPB obtida para o I_{2M} (87,90%) foi mais elevada do que a do M.Dem. (83,17%)⁽¹⁶⁾, resultados estes muito semelhantes com os obtidos no presente estudo, particularmente para o ponto de corte dos 12 anos.

Quando comparados a FRDE e o I_{2M} , a PPB dos 12 anos pela FRDE tem um valor de 87,33%, enquanto que pelo I_{2M} a autora obteve um resultado um pouco mais elevado de 87,90%.⁽¹⁶⁾ Apesar da discrepância ser ligeira, tal poderá ser compreensível visto a metodologia do I_{2M} utilizar apenas a medição do segundo molar em si, ao invés de todos os sete dentes da FRDE. Esta alteração poderá reduzir o número de erros que possam ser acumulados nas medições pela diminuição do número destas que é necessário realizar, bem como o número de estruturas que têm que se encontrar focadas na radiografia. Além do mais, existem inúmeras patologias e alterações sistémicas e genéticas que podem alterar a formação e maturação dentária⁽¹⁷⁾, sendo que quanto mais dentes forem necessários analisar para estimar a idade, maior será a probabilidade de algum dente estar alterado ou ter sido afetado, alterando assim os valores obtidos pela FRDE.

Por outro lado, ao se utilizar o I_{2M} , se não forem realizadas medições múltiplas e aferida a média destas, qualquer erro que ocorra pode causar grandes discrepâncias na idade final estimada pois ao se ter um número menor de medições qualquer erro passa a ter grande preponderância nos resultados finais, enquanto que pela FRDE, como se trata de um método que utiliza múltiplos dentes distintos, algum erro que possa surgir será “diluído” nos restantes valores, não afetando o resultado final do mesmo modo que poderá acontecer com o I_{2M} .

Tendo em conta os resultados obtidos neste estudo e no de Augusto⁽¹⁶⁾, bem como ambas as perspectivas acima referidas, considera-se que ambos os métodos são boas opções, sendo que a complementariedade de ambos poderá ser a forma mais precisa de estimar a idade no ponto de corte dos 12 anos.

Todos os pontos de corte calculados permitem averiguar como é que a FRDE se adapta ao ser utilizada na população portuguesa, no entanto, o ponto de corte aos 12 anos tem também

grande relevância ao nível legal em Portugal visto tratar-se da idade de transição ao nível da implementação da Lei Tutelar Educativa no que toca a criminalidade juvenil, bem como ao nível da Lei de Proteção de Crianças e Jovens em Perigo.^(18, 19)

A Lei Tutelar Educativa (Lei nº 166/99, de 14 de Setembro), é a lei em vigor nos casos de crimes cometidos por menores de idade. Nesta, a prática de um crime por jovens de idade compreendida entre os 12 e os 16 anos dá lugar a um processo tutelar e à aplicação de medidas que visam a educação do menor para o direito, e a sua inserção na vida em comunidade, de forma digna e responsável. A idade dos 12 anos é usada como a idade mínima em que esta medida passa a ser aplicada pois esta é considerada como o ponto coincidente do início da puberdade com o limiar da maturidade necessária para a compreensão da intervenção tutelar educativa em si.⁽¹⁸⁾

A Lei de Proteção de Crianças e Jovens em Perigo (Lei nº 147/99, de 1 de Setembro), por outro lado, tem múltiplos artigos que garantem direitos ao menor que só podem ser usufruídos por jovens com pelo menos 12 anos de idade, e excecionalmente, em alguns casos, por crianças de idade inferior quando se comprovar a capacidade da criança para compreender o sentido da intervenção. Deste modo, jovens de 12 anos podem opôr-se à intervenção de entidades com competência em matéria de infância e juventude e de comissões de proteção de crianças e jovens (Artigo 10.º), podem ser ouvidas pela comissão de proteção ou pelo juiz sobre as situações que deram origem à intervenção e sobre medidas de proteção que possam ser aplicadas (Artigo 84.º), bem como requerer elas próprias a intervenção do tribunal em certos casos (Artigo 105.º).⁽¹⁹⁾

De facto, em Portugal, a correta identificação da idade de uma criança, em particular aos 12 anos de idade, tem um grande peso e relevância para o bem-estar e inserção da criança na comunidade, tornando métodos de estimação de idade como a FRDE muito importantes quando nos encontramos na presença de menores sem identificação.

VI. Conclusões

1. Objetivo Principal

A sensibilidade e a especificidade para cada ponto de corte obtido através da Fórmula de Regressão Dentária Europeia foram, respetivamente:

- 1.1.** Aos 8 anos – 94,21% e 70,87%;
- 1.2.** Aos 9 anos – 91,97% e 84,78%;
- 1.3.** Aos 10 anos – 90,25% e 85,02%;
- 1.4.** Aos 11 anos – 87,57% e 87,91%;
- 1.5.** Aos 12 anos – 81,97% e 91,41%.

2. Objetivo Secundário

A sensibilidade e a especificidade para cada ponto de corte obtido através do Método por Estádios de Demirjian foram, respetivamente:

- 2.1.** Aos 8 anos – 96,58% e 65,05%;
- 2.2.** Aos 9 anos – 92,31% e 82,07%;
- 2.3.** Aos 10 anos – 92,37% e 83,40%;
- 2.4.** Aos 11 anos – 88,14% e 85,29%;
- 2.5.** Aos 12 anos – 70,49% e 91,97%.

3. Objetivo Final

Os pontos de corte obtidos para a fórmula ou índice de regressão dentária europeia para a estimativa das idades legais nacionais compreendidas no intervalo dos 6 aos 15 anos de idade foram:

- 3.1.** Aos 8 anos, o valor de 2,09;
- 3.2.** Aos 9 anos, o valor de 1,34;
- 3.3.** Aos 10 anos, o valor de 0,87;
- 3.4.** Aos 11 anos, o valor de 0,52;
- 3.5.** Aos 12 anos, o valor de 0,28.

Ainda assim, foi possível observar no decorrer deste estudo que a FRDE demonstra-se como um bom método para a estimativa da idade entre os 6 e os 15 anos na população portuguesa, nomeadamente para os pontes de corte determinados. Aos 12 anos de idade, outros métodos como o índice do segundo molar apresentam resultados ligeiramente superiores, sendo portanto esse potencialmente o melhor método a aplicar nesta idade para efeitos legais e identificativos, devendo este ser complementado com métodos como a FRDE.

Referências Bibliográficas

- 1). Pereira CP, Medicina Dentária Forense. Lidel (2012)
- 2). Brkic H, Milicevic M, Petroveckii M (2006). “Age estimation methods using anthropological parameters on human teeth”. *Forensic Sci Int*, 162(1-3):13-16.
- 3). Kirzioglu Z, Ceyhan D, Bayraktar C. “Dental age estimation by different methods in patients with amelogenesis imperfect”. *Forensic Sci Int*. 2019; 298:341–4.
- 4). Bagattoni S, D’Alessandro G, Gatto MR, Piana G. “Applicability of Demirjian’s method for age estimation in a sample of Italian children with Down syndrome: A case control retrospective study”. *Forensic Sci Int*. 2019; 298:336–40.
- 5). Focardi M, Pinchi V, De Luca F, Norelli GA. “Age estimation for forensic purposes in Italy: Ethical issues”. *Int J Legal Med*. 2014; 128(3):515–22.
- 6). Kanchan-Talreja P, Acharya AB, Naikmasur VG. An assessment of the versatility of Kvaal’s method of adult dental age estimation in Indians. *Arch Oral Biol*. 2012; 57(3):277-84.
- 7). Chu G, Li M, Han M, Zhou H, Guo Y, Zhang Z, et al. “Third molar maturity index (I3M) for assessing age of majority in northern Chinese population”. *Int J Legal Med*. 2018; 132(6):1759–68.
- 8). Balla SB, Galic I, Karunakar P, Vanin S, De Luca S, Cameriere R. “Validation of third molar maturity index (I 3M) for discrimination of juvenile/adult status in South Indian population”. *J Forensic Leg Med*. 2017; 49:2–7.
- 9). Kumagai A, Takahashi N, Palacio LAV, Giampieri A, Ferrante L, Cameriere R. “Accuracy of the third molar index cut-off value for estimating 18 years of age: Validation in a Japanese samples”. *Leg Med*. 2019 May 1; 38:5–9.
- 10). Ranasinghe S, Perera J, Taylor JA, Tennakoon A, Pallewatte A, Jayasinghe R. Dental age estimation using radiographs: Towards the best method for Sri Lankan children. *Forensic Sci Int*. 2019; 298:64–70.
- 11). Cameriere R, Ferrante L, Cingolani M. Age Estimation in Children by Measurement of Open Apices in Teeth. 2006;120:49–52.
- 12). Cameriere R, Angelis D De, Ferrante L, Scarpino F, Cingolani M. Age Estimation in Children by Measurement of Open Apices in Teeth : A European formula. *Int J Legal Med*. 2007;(Dezembro).

- 13). Demirjian A, Goldstein H, M. Tanner J. A NEW SYSTEM OF DENTAL AGE ASSESSMENT. Hum Biol. 1973;45(2).
- 14). Fleiss J. Design And Analysis Of Clinical Experiments. Hoboken: John Wiley & Sons. 2011.
- 15). Marôco J. Análise Estatística com o SPSS Statistics. 6th ed. Pêro Pinheiro: Report Number; 2014
- 16). Augusto D. Índice de maturidade do Segundo molar numa população dos 7 aos 15 anos: Aplicação médico legal da idade [Dissertação de Mestrado Integrado]. Lisboa: Faculdade de Medicina Dentária da Universidade de Lisboa; 2020.
- 17). Moorrees C, Fanning E, Hunt E, Age Variation of Formation Stages for Ten Permanent Teeth, Journal of Dental Research, 1963, 42: 1490.
- 18). Lei Tutelar Educativa. Lei 166/99 de 14 de setembro. Diário da República, nº 215, (14-09-1999).
- 19). Lei de protecção de crianças e jovens em perigo. Lei 147/99 de 1 de setembro. Diário da República, nº 204, (01-09-1999).

Anexos

Anexo 1 – Cartas de pedido de autorização

I – Carta para o Diretor do Serviço de Estomatologia do Hospital de Santa Maria (SHLN),

II – Carta para o Diretor Clínico da FMDUL

III – Carta para o Presidente do Conselho Científico da FMDUL

IV – Carta para a Comissão de Ética para a Saúde da FMDUL

V – Parecer da Comissão de Ética para a Saúde da FMDUL

I – Carta para o Diretor do Serviço de Estomatologia do CHLN

Exmo. Sr. Diretor Clínico
do Serviço de Estomatologia
do Hospital Santa Maria
Professor Doutor Francisco Salvado

Lisboa, 9 de Setembro de 2019

Venho por este meio solicitar autorização para realizar um estudo intitulado **“Estimativa Médico-Legal da Idade pelo Índice de Regressão Dentária: Pontos de Corte para uma População dos 8 aos 14 anos”**, sob a orientação da Professora Doutora Cristiana Maria Palmela Pereira e do Professor Doutor Rui Filipe Vargas de Sousa Santos.

O referido estudo irá avaliar a sensibilidade e a especificidade da fórmula de Regressão Dentária Europeia de 7 dentes na estimativa médico-legal da idade de uma amostra da população portuguesa, através de sete dentes permanentes (do Incisivo Central ao Segundo Molar, inclusivé), utilizando ortopantomografias.

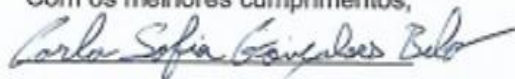
O estudo será realizado durante os próximos meses do ano letivo de 2019/2020 com recurso a ortopantomografias do Centro Universitário de Imagiologia Oro-maxilo-facial e do anterior departamento de Imagiologia de pacientes submetidos a tratamento na Clínica de Pré e Pós-Graduação da Faculdade de Medicina Dentária da Universidade de Lisboa e do Serviço de Estomatologia do Centro Hospitalar Universitário Lisboa Norte, EPE.

Para a realização deste estudo, os dados recolhidos dos respetivos processos clínicos serão: o número de processo, nacionalidade, idade, género e data de realização da ortopantomografia. Sendo que, para este efeito, não serão recolhidos quaisquer outros dados identificativos dos mesmos pacientes.

Em anexo envia-se o protocolo do estudo.

Pede deferimento.

Com os melhores cumprimentos,



(Carla Sofia Gonçalves Belo)

II – Carta para o Diretor Clínico da FMDUL

Exmo. Sr. Diretor Clínico
da Faculdade de Medicina Dentária
da Universidade de Lisboa
Professor Doutor João Aquino Marques

Lisboa, 9 de Setembro de 2019

Venho por este meio solicitar autorização para realizar um estudo intitulado **"Estimativa Médico-Legal da Idade pelo Índice de Regressão Dentária: Pontos de Corte para uma População dos 8 aos 14 anos"**, sob a orientação da Professora Doutora Cristiana Maria Palmela Pereira e do Professor Doutor Rui Filipe Vargas de Sousa Santos.

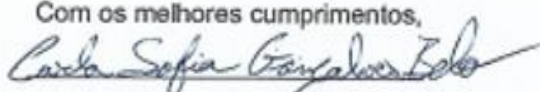
O referido estudo irá avaliar a sensibilidade e a especificidade da fórmula de Regressão Dentária Europeia de 7 dentes na estimativa médico-legal da idade de uma amostra da população portuguesa, através de sete dentes permanentes (do Incisivo Central ao Segundo Molar, inclusivé), utilizando ortopantomografias.

O estudo será realizado durante os próximos meses do ano letivo de 2019/2020 com recurso a ortopantomografias do Centro Universitário de Imagiologia Oro-maxilo-facial e do anterior departamento de Imagiologia de pacientes submetidos a tratamento na Clínica de Pré e Pós-Graduação da Faculdade de Medicina Dentária da Universidade de Lisboa e do Serviço de Estomatologia do Centro Hospitalar Universitário Lisboa Norte, EPE.

Para a realização deste estudo, os dados recolhidos dos respetivos processos clínicos serão: o número de processo, nacionalidade, idade, género e data de realização da ortopantomografia. Sendo que, para este efeito, não serão recolhidos quaisquer outros dados identificativos dos mesmos pacientes.

Em anexo envia-se o protocolo do estudo.

Pede deferimento.

Com os melhores cumprimentos,

(Carla Sofia Gonçalves Belo)

III – Carta para para o Presidente do Conselho Científico da FMDUL

Exmo. Sr. Presidente do Conselho Científico
da Faculdade de Medicina Dentária
da Universidade de Lisboa
Professor Doutor João Manuel Mendes Caramês

Lisboa, 9 de Setembro de 2019

Venho por este meio solicitar autorização para realizar um estudo intitulado **“Estimativa Médico-Legal da Idade pelo Índice de Regressão Dentária: Pontos de Corte para uma População dos 8 aos 14 anos”**, sob a orientação da Professora Doutora Cristiana Maria Palmela Pereira e do Professor Doutor Rui Filipe Vargas de Sousa Santos.

O referido estudo irá avaliar a sensibilidade e a especificidade da fórmula de Regressão Dentária Europeia de 7 dentes na estimativa médico-legal da idade de uma amostra da população portuguesa, através de sete dentes permanentes (do Incisivo Central ao Segundo Molar, inclusivé), utilizando ortopantomografias.

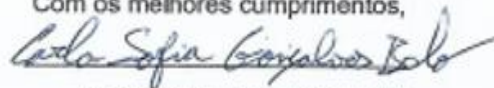
O estudo será realizado durante os próximos meses do ano letivo de 2019/2020 com recurso a ortopantomografias do Centro Universitário de Imagiologia Oro-maxilo-facial e do anterior departamento de Imagiologia de pacientes submetidos a tratamento na Clínica de Pré e Pós-Graduação da Faculdade de Medicina Dentária da Universidade de Lisboa e do Serviço de Estomatologia do Centro Hospitalar Universitário Lisboa Norte, EPE.

Para a realização deste estudo, os dados recolhidos dos respetivos processos clínicos serão: o número de processo, nacionalidade, idade, género e data de realização da ortopantomografia. Sendo que, para este efeito, não serão recolhidos quaisquer outros dados identificativos dos mesmos pacientes.

Em anexo envia-se o protocolo do estudo.

Pede deferimento.

Com os melhores cumprimentos,



(Carla Sofia Gonçalves Belo)

IV – Carta para a Comissão de Ética para a Saúde da FMDUL

Exmo. Sr. Presidente da Comissão de Ética para a Saúde
da Faculdade de Medicina Dentária
da Universidade de Lisboa
Professor Doutor João Aquino Marques

Lisboa, 9 de Setembro de 2019

Venho por este meio solicitar autorização para realizar um estudo intitulado **“Estimativa Médico-Legal da Idade pelo Índice de Regressão Dentária: Pontos de Corte para uma População dos 8 aos 14 anos”**, sob a orientação da Professora Doutora Cristiana Maria Palmela Pereira e do Professor Doutor Rui Filipe Vargas de Sousa Santos.

O referido estudo irá avaliar a sensibilidade e a especificidade da fórmula de Regressão Dentária Europeia de 7 dentes na estimativa médico-legal da idade de uma amostra da população portuguesa, através de sete dentes permanentes (do Incisivo Central ao Segundo Molar, inclusivé), utilizando ortopantomografias.

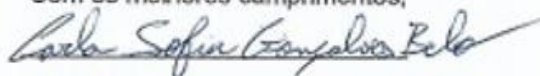
O estudo será realizado durante os próximos meses do ano letivo de 2019/2020 com recurso a ortopantomografias do Centro Universitário de Imagiologia Oro-maxilo-facial e do anterior departamento de Imagiologia de pacientes submetidos a tratamento na Clínica de Pré e Pós-Graduação da Faculdade de Medicina Dentária da Universidade de Lisboa e do Serviço de Estomatologia do Centro Hospitalar Universitário Lisboa Norte, EPE.

Para a realização deste estudo, os dados recolhidos dos respetivos processos clínicos serão: o número de processo, nacionalidade, idade, género e data de realização da ortopantomografia. Sendo que, para este efeito, não serão recolhidos quaisquer outros dados identificativos dos mesmos pacientes.

Em anexo envia-se o protocolo do estudo.

Pede deferimento.

Com os melhores cumprimentos,



(Carla Sofia Gonçalves Belo)

V – Parecer da Comissão de Ética para a Saúde da FMDUL



FACULDADE DE MEDICINA DENTÁRIA UNIVERSIDADE DE LISBOA

Comissão de Ética

A Comissão de Ética da Faculdade de Medicina Dentária da Universidade de Lisboa (CE-FMDUL), em reunião de 20 de novembro de 2019, apreciou o pedido de parecer para um estudo intitulado ***“Estimativa Médico-Legal da Idade pelo Índice de Regressão Dentária: Pontos de Corte para uma População dos 8 aos 14 anos”*** com o número de registo 911103, submetido pela estudante do Mestrado Integrado de Medicina Dentária, Carla Sofia Gonçalves Belo e tendo como orientadores os Professores Doutores Cristiana Palmela Pereira e Rui Santos.

A CE-FMDUL deliberou e decidiu emitir **parecer favorável**.

Lisboa, 21 de novembro de 2019

O presidente da CE-FMDUL

(João Aquino – professor catedrático)

Anexo 2 – Dados do Estudo: Abreviaturas e Códigos de Registro

A – Distância entre os lados internos do ápice aberto nos dentes mororradiculares

An1 + An2 – Soma das distâncias entre os lados internos de cada ápice aberto em dentes multirradiculares

L – Comprimento do dente

X1 – Variável correspondente ao dente incisivo central

X2 – Variável correspondente ao dente incisivo lateral

X3 – Variável correspondente ao dente canino

X4 – Variável correspondente ao dente primeiro pré-molar

X5 – Variável correspondente ao dente segundo pré-molar

X6 – Variável correspondente ao dente primeiro molar

X7 – Variável correspondente ao dente segundo molar

g – Género (se $g = 1$, género masculino; se $g = 0$, género feminino)

s – Soma dos ápices abertos

N₀ – Número de dentes com o desenvolvimento completo da raíz

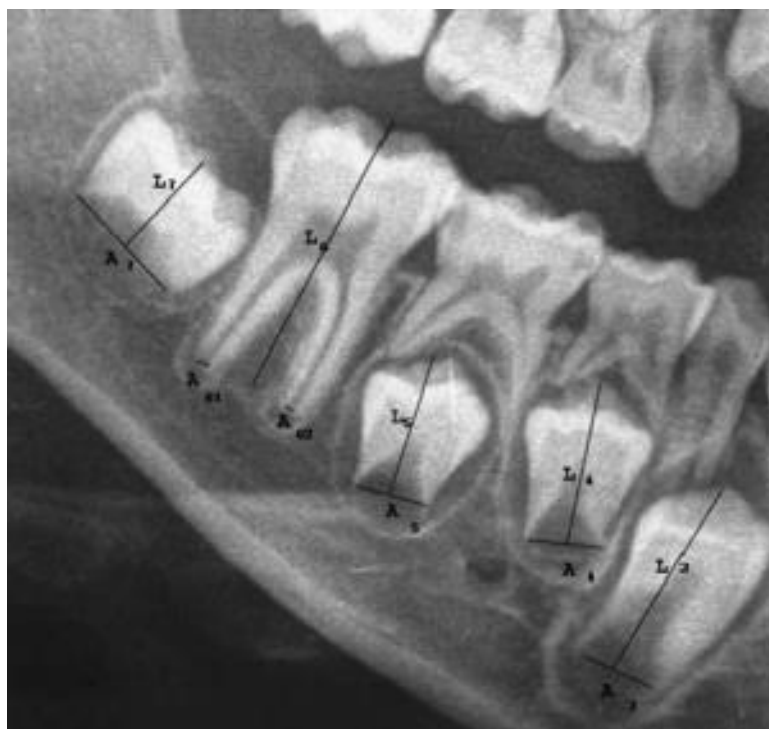
N₀.s – Multiplicação das variáveis N₀ e s

Anexo 3 – Métodos de medição

I – Aplicação do método de medição de Cameriere

II – Estádios dentários do método de Demirjian⁽¹³⁾

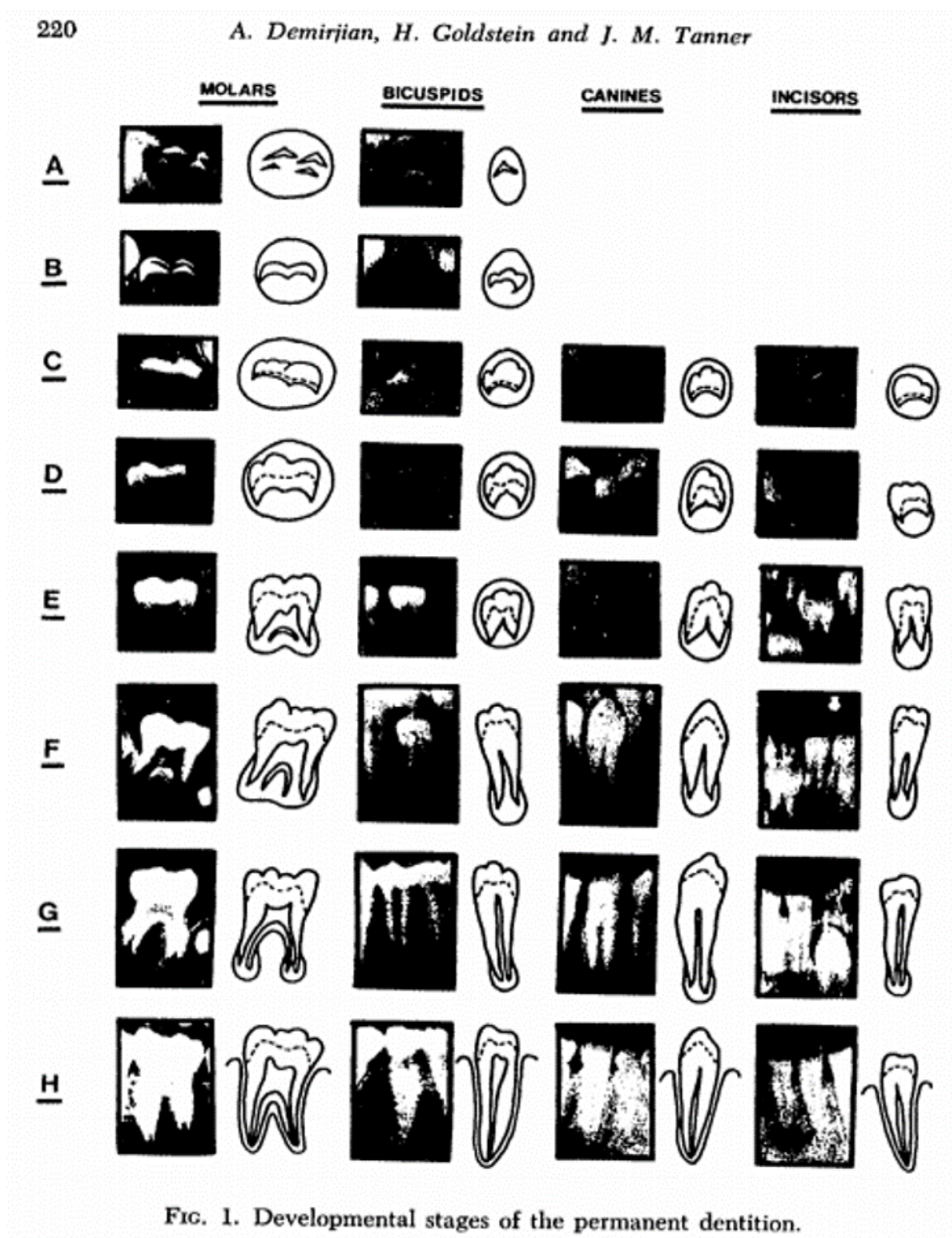
I – Aplicação do método de medição de Cameriere



Representação do método de medição de Cameriere utilizado neste estudo. Imagem retirada do artigo de 2006 de Cameriere *et al.*⁽¹¹⁾ As medições devem ser efetuadas nos sete dentes permanentes do quadrante (Incisivo Central até ao Segundo Molar), em dentes uni e multirradiculares, utilizando o método aqui exemplificado. As variáveis A3, A4, A5, A61, A62 e A7 representam a medição dos ápices abertos e as variáveis L3 a L7 representam a medição do comprimento do dente.

De referir ainda, mais uma vez, que segundo os critérios de exclusão utilizados, qualquer radiografia que apresentasse lesões de cárie, restaurações, aparelhos ortodônticos, agenésias, mal-formações ou qualquer outro sinal de patologia ao nível dos dentes a serem medidos foi excluída, só tendo as medições sido efetuadas em dentes saudáveis.

II – Estádios dentários do método de Demirjian⁽¹³⁾



Representação dos estádios de desenvolvimento dentário utilizados no método de Demirjian.⁽¹³⁾

Anexo 4 – Lista de abreviatutas e Base de dados inserida no *IBM SPSS*®

I – Lista de abreviaturas do IBM SPSS®

II – Base de dados inserida no IBM SPSS®

I – Lista de abreviaturas do IBM SPSS®

N	Número da amostra
Medição	Sequência de radiografias pertencentes ao mesmo paciente
Gênero	Do indivíduo (1 se masculino; 0 se feminino)
Idade_meses	Idade cronológica em meses
Idade_anos	Idade cronológica em anos
x1_31	Medição do dente 31
x2_32	Medição do dente 32
x3_33	Medição do dente 33
x4_34	Medição do dente 34
x5_35	Medição do dente 35
x6_36	Medição do dente 36
x7_37	Medição do dente 37
S_3Q	Somatório das medições do 3º Q.
N0_3Q	Número de dentes com ápex fechado no 3º Q.
s_N0_3Q	Multiplificação das variáveis s e N0 do 3º Q. para utilização na FRDE
x1_41	Medição do dente 41
x2_42	Medição do dente 42
x3_43	Medição do dente 43
x4_44	Medição do dente 44
x5_45	Medição do dente 45
x6_46	Medição do dente 46
x7_47	Medição do dente 47
S_4Q	Somatório das medições do 4º Q.
N0_4Q	Número de dentes com ápex fechado no 4º Q.

s_N0_4Q	Multiplicação das variáveis s e N0 do 4º Q. para utilização na FRDE
Demirjian_Estadio_31	Estádio de Demirjian para o dente 31
Demirjian_Estadio_32	Estádio de Demirjian para o dente 32
Demirjian_Estadio_33	Estádio de Demirjian para o dente 33
Demirjian_Estadio_34	Estádio de Demirjian para o dente 34
Demirjian_Estadio_35	Estádio de Demirjian para o dente 35
Demirjian_Estadio_36	Estádio de Demirjian para o dente 36
Demirjian_Estadio_37	Estádio de Demirjian para o dente 37
medição_apex_31	Medição em mm do ápex do dente 31
comprimento_vertical_31	Medição em mm do comprimento do dente 31
medição_apex_32	Medição em mm do ápex do dente 32
comprimento_vertical_32	Medição em mm do comprimento do dente 32
medição_apex_33	Medição em mm do ápex do dente 33
comprimento_vertical_33	Medição em mm do comprimento do dente 33
medição_apex_34	Medição em mm do ápex do dente 34 unirradicular
comprimento_vertical_34	Medição em mm do comprimento do dente 34 unirradicular
@1_34Bi	Medição em mm do ápex da raiz Vestibular do dente 34 multirradicular
@2_34Bi	Medição em mm do ápex da raiz Distal do dente 34 multirradicular
@3_34Bi	Soma das medições em mm dos ápices do dente 34 multirradicular
@4_34Bi	Medição em mm do comprimento do dente 34 multirradicular
medição_apex_35	Medição em mm do ápex do dente 35 unirradicular
comprimento_vertical_35	Medição em mm do comprimento do dente 35 unirradicular

@1_35Bi	Medição em mm do ápex da raíz Vestibular do dente 35 multirradicular
@2_35Bi	Medição em mm do ápex da raíz Distal do dente 35 multirradicular
@3_35Bi	Soma das medições em mm dos ápices do dente 35 multirradicular
@4_35Bi	Medição em mm do comprimento do dente 35 multirradicular
medição_apexmesial1_36	Medição em mm do ápex da raíz Mesial do dente 36 multirradicular
mediçãoapexdistal2.1_36	Medição em mm do ápex da raíz Distal 1 do dente 36 multirradicular
mediçãoapexdistal2.2_36	Medição em mm do ápex da raíz Distal 2 do dente 36 multirradicular
@3somaapexes_36	Soma das medições em mm dos ápices do dente 36 multirradicular
comprimentovertical4_36	Medição em mm do comprimento do dente 36 multirradicular
Apex_36	Medição em mm do ápex do dente 36 unirradicular
Comp_36	Medição em mm do comprimento do dente 36 unirradicular
medição_apexmesial1_37	Medição em mm do ápex da raíz Mesial do dente 37 multirradicular
mediçãoapexdistal2.1_37	Medição em mm do ápex da raíz Distal 1 do dente 37 multirradicular
mediçãoapexdistal2.2_37	Medição em mm do ápex da raíz Distal 2 do dente 37 multirradicular
@3somaapexes_37	Soma das medições em mm dos ápices do dente 37 multirradicular
comprimentovertical4_37	Medição em mm do comprimento do dente 37 multirradicular
Apex_37	Medição em mm do ápex do dente 37 unirradicular

Comp_37	Medição em mm do comprimento do dente 37 unirradicular
mediçãoapex_41	Medição em mm do ápex do dente 41
comprimentovertical_41	Medição em mm do comprimento do dente 41
mediçãoapex_42	Medição em mm do ápex do dente 42
comprimentovertical_42	Medição em mm do comprimento do dente 42
mediçãoapex_43	Medição em mm do ápex do dente 43
comprimentovertical_43	Medição em mm do comprimento do dente 43
@1_44Bi	Medição em mm do ápex da raiz Vestibular do dente 44 multirradicular
@2_44Bi	Medição em mm do ápex da raiz Distal do dente 44 multirradicular
@3_44Bi	Soma das medições em mm dos ápices do dente 44 multirradicular
@4_44Bi	Medição em mm do comprimento do dente 44 multirradicular
@1_44	Medição em mm do ápex do dente 44 unirradicular
@4_44	Medição em mm do comprimento do dente 44 unirradicular
@1_45Bi	Medição em mm do ápex da raiz Vestibular do dente 45 multirradicular
@2_45Bi	Medição em mm do ápex da raiz Distal do dente 45 multirradicular
@3_45Bi	Soma das medições em mm dos ápices do dente 45 multirradicular
@4_45Bi	Medição em mm do comprimento do dente 45 multirradicular
@1_45	Medição em mm do ápex do dente 45 unirradicular
@4_45	Medição em mm do comprimento do dente 45 unirradicular

mediçãoapexmesial_46	Medição em mm do ápex da raíz Mesial do dente 46 multirradicular
mediçãoapexdistal_46	Medição em mm do ápex da raíz Distal 1 do dente 46 multirradicular
mediçãoapexdistal_46_A	Medição em mm do ápex da raíz Distal 2 do dente 46 multirradicular
somaapexes_46	Soma das medições em mm dos ápices do dente 46 multirradicular
comprimentovertical_46	Medição em mm do comprimento do dente 46 multirradicular
Apex_46	Medição em mm do ápex do dente 46 unirradicular
Comp_46	Medição em mm do comprimento do dente 46 unirradicular
mediçãoapexmesial_47	Medição em mm do ápex da raíz Mesial do dente 47 multirradicular
mediçãoapexdistal_47	Medição em mm do ápex da raíz Distal 1 do dente 47 multirradicular
mediçãoapexdistal_47_A	Medição em mm do ápex da raíz Distal 2 do dente 47 multirradicular
somaapexes_47	Soma das medições em mm dos ápices do dente 47 multirradicular
comprimentovertical_47	Medição em mm do comprimento do dente 47 multirradicular
Apex_47	Medição em mm do ápex do dente 47 unirradicular
Comp_47	Medição em mm do comprimento do dente 47 unirradicular

II – Base de dados inserida no IBM SPSS®

N	Medição	Género	Idade_meses	Idade_anos	x1_31	x2_32	x3_33	x4_34	x5_35	x6_36	x7_37	S_3Q	N0_3Q	s_N0_3Q	x1_41	x2_42	x3_43
1	1	1	185	15	0,0000	0,0000	0,0000	0,0000	0,0000	0,0000	0,0000	0,0000	7	0,00	0,0000	0,0000	0,0000
2	1	1	177	14	0,0000	0,0000	0,0000	0,0000	0,0000	0,0000	0,0000	0,0000	7	0,00	0,0000	0,0000	0,0000
3	1	1	133	11	0,0000	0,0000	0,0000	0,0299	0,0000	0,0000	0,1014	0,1314	5	0,66	0,0000	0,0000	0,0000
4	1	0	129	10	0,0000	0,0000	0,0558	0,1058	0,1733	0,0575	0,2543	0,6467	2	1,29	0,0000	0,0000	0,0587
5	1	0	150	12	0,0000	0,0000	0,0468	0,1142	0,1143	0,1797	0,0000	0,4550	3	1,36	0,0000	0,0000	0,0632
6	2	0	180	15	0,0000	0,0000	0,0000	0,0000	0,0000	0,0000	0,0000	0,0000	7	0,00	0,0000	0,0000	0,0000
7	1	0	117	9	0,0000	0,0000	0,0000	0,0537	0,0546	0,0485	0,4252	0,5821	3	1,75	0,0000	0,0000	0,0000
8	1	1	133	11	0,0000	0,0000	0,0000	0,0000	0,0000	0,0000	0,0638	0,0638	6	0,38	0,0000	0,0000	0,0000
9	1	0	112	9	0,0000	0,0000	0,2063	0,2339	0,1631	0,0510	0,5604	1,2147	2	2,43	0,0000	0,0000	0,0599
10	1	1	117	9	0,0000	0,0000	0,2597	0,4320	0,2285	0,0535	0,8110	1,7847	2	3,57	0,0000	0,0000	0,3587
11	1	0	150	12	0,0000	0,0000	0,0000	0,0392	0,1776	0,0000	0,1504	0,3672	4	1,47	0,0000	0,0000	0,0000
12	2	0	159	13	0,0000	0,0000	0,0000	0,0479	0,0751	0,0000	0,0572	0,1802	4	0,72	0,0000	0,0000	0,0000
13	1	0	156	13	0,0000	0,0000	0,0000	0,0000	0,0000	0,0000	0,0271	0,0271	6	0,16	0,0000	0,0000	0,0000
14	1	1	143	11	0,0000	0,0000	0,0573	0,1278	0,1643	0,0000	0,2169	0,5663	3	1,70	0,0000	0,0000	0,0737
15	2	1	175	14	0,0000	0,0000	0,0000	0,0000	0,0476	0,0000	0,0570	0,1046	5	0,52	0,0000	0,0000	0,0000
16	1	0	141	11	0,0000	0,0000	0,1220	0,1392	0,2335	0,0000	0,1861	0,6808	3	2,04	0,0000	0,0000	0,1442
17	2	0	179	14	0,0000	0,0000	0,0000	0,0000	0,0434	0,0000	0,0699	0,1133	5	0,57	0,0000	0,0000	0,0000
18	1	0	171	14	0,0000	0,0000	0,0000	0,0635	0,0689	0,0000	0,1272	0,2596	4	1,04	0,0000	0,0000	0,0000
19	2	0	180	15	0,0000	0,0000	0,0000	0,0000	0,0000	0,0000	0,0731	0,0731	6	0,44	0,0000	0,0000	0,0000
20	1	1	142	11	0,0000	0,0000	0,0741	0,1267	0,1412	0,0000	0,1604	0,5024	3	1,51	0,0000	0,0000	0,0853
21	2	1	162	13	0,0000	0,0000	0,0000	0,0591	0,0665	0,0000	0,0800	0,2057	4	0,82	0,0000	0,0000	0,0000
22	3	1	173	14	0,0000	0,0000	0,0000	0,0397	0,0235	0,0000	0,0413	0,1045	4	0,42	0,0000	0,0000	0,0000
23	4	1	191	15	0,0000	0,0000	0,0000	0,0000	0,0000	0,0000	0,0000	0,0000	7	0,00	0,0000	0,0000	0,0000
24	1	1	115	9	0,0000	0,0342	0,1988	0,2836	0,3813	0,0504	0,5411	1,4894	1	1,49	0,0000	0,0497	0,1920
25	2	1	128	10	0,0000	0,0000	0,1299	0,0001	0,1652	0,0611	0,3986	0,7548	2	1,51	0,0000	0,0000	0,0000
26	3	1	178	14	0,0000	0,0000	0,0000	0,0000	0,0000	0,0000	0,0334	0,0334	6	0,20	0,0000	0,0000	0,0000
27	1	1	150	12	0,0000	0,0000	0,0565	0,0547	0,1108	0,0000	0,1709	0,3929	3	1,18	0,0000	0,0000	0,0684
28	1	0	191	15	0,0000	0,0000	0,0000	0,0000	0,0000	0,0000	0,0000	0,0000	7	0,00	0,0000	0,0000	0,0000
29	1	0	123	10	0,0000	0,0000	0,0427	0,0160	0,0952	0,0000	0,1109	0,2648	3	0,79	0,0000	0,0000	0,0764
30	1	0	145	12	0,0000	0,0000	0,0000	0,0191	0,0254	0,0000	0,0522	0,0967	4	0,39	0,0000	0,0000	0,0000
31	1	1	105	8	0,0143	0,0573	0,2690	0,2095	0,3437	0,0451	0,5887	1,5277	0	0,00	0,0244	0,0474	0,3773
32	2	1	123	10	0,0000	0,0000	0,1664	0,0864	0,2113	0,0000	0,2099	0,6740	3	2,02	0,0000	0,0000	0,1577

N	Medição	Género	Idade_meses	Idade_anos	x1_31	x2_32	x3_33	x4_34	x5_35	x6_36	x7_37	S_3Q	N0_3Q	s_N0_3Q	x1_41	x2_42	x3_43
33	3	1	141	11	0,0000	0,0000	0,0531	0,0387	0,0903	0,0000	0,0920	0,2742	3	0,82	0,0000	0,0000	0,1604
34	1	1	170	14	0,0000	0,0000	0,0000	0,0000	0,0000	0,0000	0,0725	0,0725	6	0,43	0,0000	0,0000	0,0000
35	1	0	154	12	0,0000	0,0000	0,0000	0,0000	0,0000	0,0000	0,0000	0,0000	7	0,00	0,0000	0,0000	0,0000
36	1	1	162	13	0,0000	0,0000	0,0000	0,0000	0,0573	0,0000	0,0537	0,1111	5	0,56	0,0000	0,0000	0,0000
37	1	0	131	10	0,0000	0,0000	0,0218	0,0377	0,0904	0,0261	0,3066	0,4825	2	0,97	0,0000	0,0000	0,0551
38	1	1	97	8	0,0000	0,0421	0,1761	0,3308	0,4389	0,1316	0,8452	1,9647	1	1,96	0,0000	0,0196	0,1712
39	1	1	85	7	0,0000	0,0579	0,2847	0,3575	0,3810	0,0469	0,8217	1,9497	1	1,95	0,0000	0,0401	0,2382
40	1	1	93	7	0,0000	0,0491	0,2222	0,2806	0,5371	0,1483	1,1712	2,4084	1	2,41	0,0000	0,0428	0,2367
41	2	1	139	11	0,0000	0,0454	0,0673	0,1077	0,1122	0,0771	0,4667	0,8763	1	0,88	0,0000	0,0501	0,1234
42	1	1	76	6	0,0378	0,1208	0,3835	0,4197	0,6553	0,2428	1,1807	3,0406	0	0,00	0,0659	0,1009	0,3988
43	1	0	112	9	0,0000	0,0211	0,1532	0,1798	0,2212	0,0276	0,2463	0,8492	1	0,85	0,0000	0,0000	0,0000
44	2	0	136	11	0,0000	0,0000	0,0787	0,0217	0,1060	0,0000	0,1261	0,3325	3	1,00	0,0000	0,0000	0,0494
45	1	1	135	11	0,0000	0,0000	0,1631	0,0476	0,1568	0,0000	0,0892	0,4567	3	1,37	0,0000	0,0000	0,1863
46	1	1	162	13	0,0000	0,0000	0,0000	0,0000	0,0000	0,0000	0,0336	0,0336	6	0,20	0,0000	0,0000	0,0000
47	1	1	108	9	0,0000	0,0309	0,1373	0,1112	0,1302	0,0381	0,2516	0,6993	1	0,70	0,0000	0,0108	0,0969
48	2	1	154	12	0,0000	0,0000	0,0000	0,0000	0,0000	0,0000	0,0441	0,0441	6	0,26	0,0000	0,0000	0,0000
49	1	1	184	15	0,0000	0,0000	0,0000	0,0000	0,0000	0,0000	0,0000	0,0000	7	0,00	0,0000	0,0000	0,0000
50	1	1	125	10	0,0000	0,0000	0,0546	0,0462	0,0626	0,0000	0,0706	0,2339	3	0,70	0,0000	0,0000	0,0000
51	2	1	137	11	0,0000	0,0000	0,0000	0,0000	0,0240	0,0000	0,0543	0,0783	5	0,39	0,0000	0,0000	0,0000
52	3	1	187	15	0,0000	0,0000	0,0000	0,0000	0,0000	0,0000	0,0000	0,0000	7	0,00	0,0000	0,0000	0,0000
53	1	1	106	8	0,0000	0,0320	0,0860	0,1717	0,4807	0,1017	0,5159	1,3879	1	1,39	0,0000	0,0513	0,1152
54	2	1	148	12	0,0000	0,0000	0,1011	0,0362	0,1035	0,0000	0,1605	0,4013	3	1,20	0,0000	0,0000	0,0472
55	1	1	111	9	0,0000	0,0000	0,1289	0,1154	0,4037	0,0440	0,7280	1,4199	2	2,84	0,0000	0,0000	0,0939
56	2	1	147	12	0,0000	0,0000	0,0396	0,0000	0,0790	0,0000	0,1243	0,2429	4	0,97	0,0000	0,0000	0,0377
57	1	1	123	10	0,0000	0,0302	0,0862	0,0667	0,1048	0,0000	0,2680	0,5558	2	1,11	0,0000	0,0000	0,0000
58	2	1	186	15	0,0000	0,0000	0,0904	0,0000	0,0000	0,0000	0,2143	0,3047	5	1,52	0,0000	0,0000	0,0000
59	1	1	156	13	0,0000	0,0000	0,0000	0,0000	0,0446	0,0000	0,0754	0,1201	5	0,60	0,0000	0,0000	0,0000
60	1	1	163	13	0,0000	0,0000	0,0706	0,0491	0,1320	0,0000	0,1442	0,3959	3	1,19	0,0000	0,0000	0,0000
61	1	1	73	6	0,0172	0,0939	0,4216	0,4736	0,5400	0,1207	0,8431	2,5101	0	0,00	0,0000	0,0000	0,0000
62	2	1	133	11	0,0000	0,0000	0,0290	0,0454	0,0940	0,0000	0,1353	0,3037	3	0,91	0,0000	0,0000	0,0303
63	1	0	88	7	0,0000	0,0198	0,4532	0,3966	1,7377	0,1315	1,0247	3,7635	1	3,76	0,0000	0,0269	0,3001
64	2	0	127	10	0,0000	0,0000	0,0000	0,0424	0,4560	0,0000	0,4140	0,9124	4	3,65	0,0000	0,0000	0,0000

N	Medição	Género	Idade_meses	Idade_anos	x1_31	x2_32	x3_33	x4_34	x5_35	x6_36	x7_37	S_3Q	N0_3Q	s_N0_3Q	x1_41	x2_42	x3_43
65	3	0	156	13	0,0000	0,0000	0,0000	0,0000	0,2247	0,0000	0,1598	0,3845	5	1,92	0,0000	0,0000	0,0000
66	1	1	106	8	0,0000	0,0304	0,2362	0,2511	0,3991	0,0853	0,4472	1,4494	1	1,45	0,0000	0,0396	0,2261
67	2	1	141	11	0,0000	0,0000	0,0657	0,0233	0,0966	0,0000	0,1688	0,3544	3	1,06	0,0000	0,0000	0,0500
68	3	1	152	12	0,0000	0,0000	0,0647	0,0000	0,0498	0,0000	0,0676	0,1821	4	0,73	0,0000	0,0000	0,0293
69	1	0	100	8	0,0000	0,0000	0,0595	0,0555	0,3636	0,0000	0,3723	0,8509	3	2,55	0,0000	0,0000	0,0539
70	2	0	156	13	0,0000	0,0000	0,0000	0,0000	0,0000	0,0000	0,0000	0,0000	7	0,00	0,0000	0,0000	0,0000
71	1	1	115	9	0,0000	0,0000	0,0879	0,1665	0,8096	0,0470	0,6873	1,7984	2	3,60	0,0000	0,0000	0,0000
72	2	1	124	10	0,0000	0,0000	0,0151	0,1183	0,8318	0,0000	0,4095	1,3747	3	4,12	0,0000	0,0000	0,0345
73	1	0	123	10	0,0000	0,0000	0,0996	0,1756	0,2580	0,0000	0,5125	1,0457	3	3,14	0,0000	0,0000	0,1683
74	1	1	128	10	0,0000	0,0000	0,0982	0,1099	0,1633	0,0000	0,7706	1,1421	3	3,43	0,0000	0,0000	0,1346
75	2	1	183	15	0,0000	0,0000	0,0000	0,0000	0,0000	0,0000	0,0390	0,0390	6	0,23	0,0000	0,0000	0,0000
76	1	0	116	9	0,0000	0,0000	0,0286	0,0000	0,0000	0,0000	0,0670	0,0956	5	0,48	0,0000	0,0000	0,0000
77	1	0	89	7	0,0260	0,0469	0,2212	0,4262	0,6298	0,0845	0,9484	2,3830	0	0,00	0,0239	0,0574	0,2944
78	2	0	151	12	0,0000	0,0000	0,0339	0,0000	0,0260	0,0000	0,1165	0,1764	4	0,71	0,0000	0,0000	0,0000
79	1	1	117	9	0,0000	0,0218	0,0930	0,0743	0,2136	0,0000	0,2129	0,6156	2	1,23	0,0000	0,0208	0,1230
80	1	1	74	6	0,1342	0,3261	0,6054	0,7507	0,8548	0,1500	1,2322	4,0532	0	0,00	0,1125	0,3407	0,6020
81	1	0	126	10	0,0000	0,0000	0,1440	0,0980	0,1891	0,0000	0,1973	0,6283	3	1,88	0,0000	0,0000	0,1266
82	1	0	157	13	0,0000	0,0000	0,0000	0,0000	0,0000	0,0000	0,0320	0,0320	6	0,19	0,0000	0,0000	0,0000
83	1	1	91	7	0,0214	0,0625	0,3124	0,5731	0,5634	0,0984	1,1476	2,7788	0	0,00	0,0294	0,0487	0,6498
84	2	1	131	10	0,0000	0,0000	0,2164	0,0933	0,1577	0,0000	0,3562	0,8236	3	2,47	0,0000	0,0000	0,1348
85	1	0	98	8	0,0000	0,0000	0,1134	0,2340	0,4322	0,0484	0,9699	1,7980	2	3,60	0,0000	0,0000	0,1363
86	2	0	111	9	0,0000	0,0000	0,0484	0,0987	0,2893	0,0000	0,8897	1,3261	3	3,98	0,0000	0,0000	0,0868
87	3	0	153	12	0,0000	0,0000	0,0000	0,0000	0,0348	0,0000	0,1592	0,1941	5	0,97	0,0000	0,0000	0,0000
88	4	0	156	13	0,0000	0,0000	0,0000	0,0000	0,0000	0,0000	0,1357	0,1357	6	0,81	0,0000	0,0000	0,0000
89	1	0	92	7	0,0104	0,0540	0,1896	0,3294	0,2188	0,0555	0,8880	1,7458	0	0,00	0,0222	0,0458	0,1399
90	2	0	107	8	0,0000	0,0000	0,0528	0,0918	0,0633	0,0000	0,2629	0,4708	3	1,41	0,0000	0,0000	0,0555
91	3	0	158	13	0,0000	0,0000	0,0000	0,0000	0,0000	0,0000	0,0390	0,0390	6	0,23	0,0000	0,0000	0,0000
92	4	0	170	14	0,0000	0,0000	0,0000	0,0000	0,0000	0,0000	0,0000	0,0000	7	0,00	0,0000	0,0000	0,0000
93	1	1	98	8	0,0000	0,0000	0,1748	0,2032	0,3445	0,0000	0,8482	1,5706	3	4,71	0,0000	0,0000	0,1480
94	2	1	125	10	0,0000	0,0000	0,0322	0,0857	0,0896	0,0000	0,2082	0,4156	3	1,25	0,0000	0,0000	0,0231
95	3	1	159	13	0,0000	0,0000	0,0000	0,0000	0,0000	0,0000	0,0622	0,0622	6	0,37	0,0000	0,0000	0,0000
96	4	1	175	14	0,0000	0,0000	0,0000	0,0000	0,0000	0,0000	0,0000	0,0000	7	0,00	0,0000	0,0000	0,0000

N	Medição	Género	Idade_meses	Idade_anos	x1_31	x2_32	x3_33	x4_34	x5_35	x6_36	x7_37	S_3Q	N0_3Q	s_N0_3Q	x1_41	x2_42	x3_43
97	1	0	110	9	0,0000	0,0130	0,1318	0,1767	0,4257	0,0445	0,3181	1,1098	1	1,11	0,0000	0,0191	0,1278
98	1	1	126	10	0,0000	0,0000	0,0747	0,0748	0,2411	0,0000	0,1640	0,5546	3	1,66	0,0000	0,0000	0,0503
99	1	1	80	6	0,0000	0,0493	0,4238	0,3518	0,5440	0,0587	0,9480	2,3756	1	2,38	0,0000	0,0893	0,4926
100	1	0	109	9	0,0000	0,0000	0,1358	0,2339	0,3905	0,0000	0,4384	1,1987	3	3,60	0,0000	0,0000	0,1345
101	1	0	93	7	0,0000	0,0488	0,3136	0,3032	0,3673	0,0474	0,8662	1,9465	1	1,95	0,0000	0,0303	0,2632
102	1	1	155	12	0,0000	0,0000	0,0000	0,0000	0,0467	0,0000	0,0826	0,1293	5	0,65	0,0000	0,0000	0,0000
103	2	1	156	13	0,0000	0,0000	0,0000	0,0000	0,0447	0,0000	0,0763	0,1210	5	0,61	0,0000	0,0000	0,0000
104	3	1	168	14	0,0000	0,0000	0,0000	0,0000	0,0000	0,0000	0,0354	0,0354	6	0,21	0,0000	0,0000	0,0000
105	1	0	164	13	0,0000	0,0000	0,0000	0,0000	0,4746	0,0000	0,1079	0,5825	5	2,91	0,0000	0,0000	0,0000
106	2	0	175	14	0,0000	0,0000	0,0000	0,0000	0,3321	0,0000	0,0336	0,3657	5	1,83	0,0000	0,0000	0,0000
107	1	1	90	7	0,0211	0,0613	0,4698	0,5894	0,7568	0,0768	1,2069	3,1821	0	0,00	0,0143	0,0572	0,4511
108	1	0	141	11	0,0000	0,0000	0,0463	0,0993	0,1262	0,0694	0,2677	0,6090	2	1,22	0,0000	0,0000	0,0000
109	1	1	94	7	0,0480	0,2737	0,4395	0,5892	0,7064	0,0844	1,0290	3,1702	0	0,00	0,0634	0,1175	0,5660
110	2	1	87	7	0,0000	0,0277	0,2881	0,2991	0,5631	0,0273	0,7170	1,9223	1	1,92	0,0000	0,0346	0,3691
111	3	1	126	10	0,0000	0,0000	0,1830	0,2704	0,3610	0,0000	0,3275	1,1419	3	3,43	0,0000	0,0000	0,1687
112	1	1	169	14	0,0362	0,0871	0,3047	0,2771	0,4982	0,0803	0,9798	2,2632	0	0,00	0,0380	0,0588	0,3620
113	2	1	119	9	0,0000	0,0000	0,0667	0,0743	0,1476	0,0000	0,2051	0,4937	3	1,48	0,0000	0,0000	0,0735
114	1	1	85	7	0,0126	0,0670	0,3187	0,4189	0,4645	0,0483	1,1126	2,4426	0	0,00	0,0000	0,0000	0,0000
115	2	1	119	9	0,0000	0,0000	0,1079	0,0781	0,1299	0,0000	0,1811	0,4970	3	1,49	0,0000	0,0000	0,0749
116	1	1	184	15	0,0000	0,0000	0,0000	0,0394	0,0000	0,0000	0,0000	0,0394	6	0,24	0,0000	0,0000	0,0000
117	1	1	92	7	0,0000	0,0000	0,0377	0,0000	0,0608	0,0000	0,0504	0,1489	4	0,60	0,0000	0,0000	0,0406
118	1	0	117	9	0,0000	0,0000	0,0450	0,0262	0,1116	0,0000	0,1673	0,3502	3	1,05	0,0000	0,0000	0,0434
119	1	0	169	14	0,0000	0,0000	0,0000	0,0000	0,0246	0,0000	0,0420	0,0667	5	0,33	0,0000	0,0000	0,0000
120	2	0	191	15	0,0000	0,0000	0,0000	0,0000	0,0315	0,0000	0,0425	0,0739	5	0,37	0,0000	0,0000	0,0000
121	1	1	92	7	0,0427	0,0786	0,3597	0,4320	0,6855	0,1517	1,0955	2,8458	0	0,00	0,0579	0,0744	0,4164
122	1	1	94	7	0,0000	0,0389	0,4542	0,3126	0,4029	0,0327	0,8749	2,1162	1	2,12	0,0000	0,0261	0,2956
123	1	1	144	12	0,0000	0,0000	0,0227	0,0471	0,0543	0,0000	0,1354	0,2594	3	0,78	0,0000	0,0000	0,0270
124	2	1	139	11	0,0000	0,0000	0,2092	0,1785	0,4377	0,0000	0,3395	1,1649	3	3,49	0,0000	0,0000	0,2473
125	1	1	110	9	0,0000	0,0225	0,5313	0,5171	0,6586	0,0443	0,6334	2,4071	1	2,41	0,0000	0,0209	0,3060
126	1	1	131	10	0,0000	0,0000	0,1103	0,1481	0,1538	0,0000	0,2576	0,6698	3	2,01	0,0000	0,0000	0,0000
127	2	1	158	13	0,0000	0,0000	0,0796	0,0000	0,0387	0,0000	0,0626	0,1809	4	0,72	0,0000	0,0000	0,0449
128	1	0	89	7	0,0000	0,0421	0,1822	0,4302	0,5402	0,0632	1,1438	2,4017	1	2,40	0,0000	0,0420	0,2417

N	Medição	Género	Idade_meses	Idade_anos	x1_31	x2_32	x3_33	x4_34	x5_35	x6_36	x7_37	S_3Q	N0_3Q	s_N0_3Q	x1_41	x2_42	x3_43
129	2	0	139	11	0,0000	0,0000	0,0000	0,0000	0,0683	0,0000	0,1098	0,1781	5	0,89	0,0000	0,0000	0,0000
130	3	0	167	13	0,0000	0,0000	0,0000	0,0000	0,0000	0,0000	0,0318	0,0318	6	0,19	0,0000	0,0000	0,0000
131	1	0	139	11	0,0000	0,0000	0,0305	0,0471	0,0716	0,0000	0,1919	0,3411	3	1,02	0,0000	0,0000	0,0347
132	1	1	81	6	0,0365	0,0977	0,3155	0,3459	0,5284	0,0368	0,9301	2,2911	0	0,00	0,0000	0,0000	0,0000
133	2	1	137	11	0,0000	0,0000	0,0141	0,0000	0,0713	0,0000	0,0591	0,1445	4	0,58	0,0000	0,0000	0,0158
134	1	0	99	8	0,0000	0,0414	0,2035	0,2828	0,3971	0,0000	0,5091	1,4338	2	2,87	0,0000	0,0232	0,2558
135	1	1	127	10	0,0000	0,0000	0,0516	0,0238	0,0685	0,0000	0,1237	0,2675	3	0,80	0,0000	0,0000	0,0344
136	1	1	101	8	0,0000	0,0409	0,2110	0,3339	0,4082	0,0000	0,8874	1,8813	2	3,76	0,0000	0,0382	0,2956
137	1	1	81	6	0,0000	0,0308	0,1390	0,1083	0,0355	0,0000	0,2096	0,5231	2	1,05	0,0000	0,0000	0,0000
138	2	1	141	11	0,0000	0,0000	0,0308	0,0198	0,0000	0,0000	0,1010	0,1516	4	0,61	0,0000	0,0000	0,0669
139	3	1	148	12	0,0000	0,0000	0,0598	0,0000	0,0000	0,0000	0,0473	0,1071	5	0,54	0,0000	0,0000	0,0496
140	1	1	141	11	0,0000	0,0000	0,0748	0,0000	0,0565	0,0000	0,1297	0,2610	4	1,04	0,0000	0,0000	0,0563
141	1	1	133	11	0,0000	0,0000	0,1046	0,0618	0,1700	0,0000	0,1979	0,5342	3	1,60	0,0000	0,0000	0,1430
142	2	1	158	13	0,0000	0,0000	0,0000	0,0000	0,0000	0,0000	0,0445	0,0445	6	0,27	0,0000	0,0000	0,0000
143	1	0	142	11	0,0000	0,0000	0,0000	0,0000	0,0000	0,0000	0,0455	0,0455	6	0,27	0,0000	0,0000	0,0000
144	1	1	127	10	0,0000	0,0000	0,0877	0,5169	0,5998	0,0000	0,6554	1,8598	3	5,58	0,0000	0,0000	0,0000
145	1	1	144	12	0,0000	0,0421	0,0435	0,1842	0,3360	0,0000	0,1430	0,7489	2	1,50	0,0000	0,0000	0,0000
146	1	0	106	8	0,0000	0,0000	0,0399	0,1455	0,1072	0,0000	0,1640	0,4566	3	1,37	0,0000	0,0000	0,0000
147	1	0	111	9	0,0000	0,0000	0,1828	0,2942	0,5142	0,0750	0,6407	1,7069	2	3,41	0,0000	0,0000	0,2095
148	1	1	112	9	0,0000	0,0000	0,1964	0,3010	0,4304	0,0000	1,0517	1,9795	3	5,94	0,0000	0,0000	0,1954
149	1	1	76	6	0,0849	0,2287	0,4780	0,6649	0,7703	0,1939	1,2400	3,6607	0	0,00	0,1156	0,2404	0,5698
150	2	1	135	11	0,0000	0,0000	0,0745	0,0740	0,1273	0,0000	0,1850	0,4608	3	1,38	0,0000	0,0000	0,1162
151	1	1	143	11	0,0000	0,0000	0,0000	0,0513	0,0728	0,0000	0,0503	0,1744	4	0,70	0,0000	0,0000	0,0000
152	1	0	88	7	0,0000	0,0370	0,1545	0,2520	0,5846	0,1276	0,8085	1,9643	1	1,96	0,0000	0,0216	0,1880
153	1	1	181	15	0,0000	0,0000	0,0000	0,0000	0,0578	0,0000	0,0000	0,0578	6	0,35	0,0000	0,0000	0,0000
154	1	1	143	11	0,0000	0,0000	0,0677	0,0319	0,0730	0,0000	0,0403	0,2130	3	0,64	0,0000	0,0000	0,0815
155	1	0	123	10	0,0000	0,0000	0,0554	0,0636	0,0708	0,0000	0,1538	0,3436	3	1,03	0,0000	0,0000	0,0425
156	2	0	131	10	0,0000	0,0000	0,0000	0,0322	0,0229	0,0000	0,0915	0,1466	4	0,59	0,0000	0,0000	0,0000
157	1	0	144	12	0,0000	0,0374	0,1953	0,1583	0,2018	0,0000	0,2198	0,8125	2	1,63	0,0000	0,0000	0,0000
158	2	0	147	12	0,0000	0,0000	0,0562	0,0905	0,1892	0,0000	0,1968	0,5326	3	1,60	0,0000	0,0000	0,0663
159	3	0	151	12	0,0000	0,0000	0,0793	0,1059	0,1279	0,0000	0,1863	0,4994	3	1,50	0,0000	0,0000	0,0727
160	4	0	155	12	0,0000	0,0000	0,0685	0,1056	0,0869	0,0000	0,1903	0,4513	3	1,35	0,0000	0,0000	0,0000

N	Medição	Género	Idade_meses	Idade_anos	x1_31	x2_32	x3_33	x4_34	x5_35	x6_36	x7_37	S_3Q	N0_3Q	s_N0_3Q	x1_41	x2_42	x3_43
161	1	1	110	9	0,0000	0,0000	0,0332	0,1164	0,2037	0,0075	0,0200	0,3809	2	0,76	0,0000	0,0000	0,1241
162	2	1	145	12	0,0000	0,0000	0,0000	0,0000	0,0264	0,0000	0,0954	0,1218	5	0,61	0,0000	0,0000	0,0000
163	3	1	157	13	0,0000	0,0000	0,0000	0,0000	0,0000	0,0000	0,0913	0,0913	6	0,55	0,0000	0,0000	0,0000
164	1	1	123	10	0,0000	0,0231	0,2078	0,1233	0,1097	0,0000	0,1834	0,6473	2	1,29	0,0000	0,0000	0,1940
165	2	1	154	12	0,0000	0,0000	0,0000	0,0000	0,0134	0,0000	0,0651	0,0785	5	0,39	0,0000	0,0000	0,0000
166	1	0	84	7	0,0523	0,0615	0,3242	0,4905	0,6452	0,0600	1,2026	2,8364	0	0,00	0,0129	0,0670	0,3062
167	2	0	122	10	0,0000	0,0000	0,0202	0,0298	0,0249	0,0000	0,0663	0,1413	3	0,42	0,0000	0,0000	0,0132
168	1	0	97	8	0,0000	0,0121	0,3409	0,4875	0,4858	0,0348	0,5231	1,8841	1	1,88	0,0000	0,0000	0,0000
169	1	1	122	10	0,0000	0,0293	0,1208	0,2609	0,2995	0,0000	0,3634	1,0739	2	2,15	0,0000	0,0146	0,1616
170	2	1	142	11	0,0000	0,0000	0,0951	0,1357	0,1927	0,0000	0,1931	0,6166	3	1,85	0,0000	0,0000	0,0739
171	1	0	128	10	0,0000	0,0144	0,1545	0,1276	0,2434	0,0000	0,1624	0,7023	2	1,40	0,0000	0,0000	0,1149
172	2	0	134	11	0,0000	0,0000	0,0927	0,1015	0,1509	0,0000	0,1093	0,4544	3	1,36	0,0000	0,0000	0,0625
173	3	0	145	12	0,0000	0,0000	0,0388	0,0243	0,1316	0,0000	0,0747	0,2695	3	0,81	0,0000	0,0000	0,0260
174	1	0	116	9	0,0000	0,0192	0,1120	0,1952	0,3016	0,0000	0,4012	1,0291	2	2,06	0,0000	0,0000	0,0981
175	1	1	100	8	0,0238	0,0652	0,3860	0,4060	0,7665	0,0656	0,9474	2,6604	0	0,00	0,0215	0,1024	0,7500
176	1	1	129	10	0,0000	0,0000	0,1310	0,2205	0,4037	0,0000	0,2232	0,9785	3	2,94	0,0000	0,0000	0,1852
177	2	1	153	12	0,0000	0,0000	0,0153	0,0416	0,0629	0,0000	0,0000	0,1197	4	0,48	0,0000	0,0000	0,0163
178	1	0	147	12	0,0000	0,0000	0,0000	0,0368	0,1067	0,0000	0,0400	0,1836	4	0,73	0,0000	0,0000	0,0000
179	2	0	153	12	0,0000	0,0000	0,0000	0,0328	0,0685	0,0000	0,0000	0,1013	5	0,51	0,0000	0,0000	0,0000
180	1	1	103	8	0,0000	0,0448	0,3792	0,3616	0,5820	0,0354	0,9377	2,3407	1	2,34	0,0000	0,0263	0,3552
181	2	1	140	11	0,0000	0,0000	0,1417	0,1641	0,2936	0,0000	0,1997	0,7990	3	2,40	0,0000	0,0000	0,2338
182	1	1	83	6	0,0225	0,0929	0,4472	0,5590	0,8629	0,1215	1,2921	3,3982	0	0,00	0,0352	0,1330	0,5965
183	2	1	110	9	0,0000	0,0158	0,3472	0,4342	0,4886	0,0339	0,9514	2,2711	1	2,27	0,0000	0,0229	0,3778
184	3	1	143	11	0,0000	0,0000	0,0752	0,0832	0,2051	0,0000	0,1181	0,4816	3	1,44	0,0000	0,0000	0,0343
185	1	1	79	6	0,0274	0,0820	0,6140	0,5806	0,6860	0,0799	1,1176	3,1875	0	0,00	0,0821	0,0513	0,5041
186	2	1	153	12	0,0000	0,0000	0,0000	0,0244	0,0302	0,0000	0,0759	0,1304	4	0,52	0,0000	0,0000	0,0000
187	1	1	123	10	0,0000	0,0000	0,1591	0,1970	0,2849	0,0000	0,1648	0,8059	3	2,42	0,0000	0,0000	0,1217
188	1	0	93	7	0,0000	0,0185	0,1003	0,3608	0,4957	0,0000	0,8627	1,8380	2	3,68	0,0000	0,0142	0,1217
189	2	0	109	9	0,0000	0,0000	0,0544	0,1571	0,3790	0,0276	0,4504	1,0684	2	2,14	0,0000	0,0000	0,0977
190	3	0	124	10	0,0000	0,0000	0,0000	0,0400	0,1687	0,0000	0,1938	0,4025	4	1,61	0,0000	0,0000	0,0000
191	4	0	136	11	0,0000	0,0000	0,0000	0,0523	0,1105	0,0000	0,1292	0,2919	4	1,17	0,0000	0,0000	0,0000
192	1	1	119	9	0,0000	0,0000	0,1714	0,2479	0,5629	0,0000	0,3372	1,3193	3	3,96	0,0000	0,0000	0,2088

N	Medição	Género	Idade_meses	Idade_anos	x1_31	x2_32	x3_33	x4_34	x5_35	x6_36	x7_37	S_3Q	N0_3Q	s_N0_3Q	x1_41	x2_42	x3_43
193	1	0	101	8	0,0204	0,0412	0,2200	0,3637	0,8074	0,0778	0,7495	2,2801	0	0,00	0,0122	0,0303	0,1740
194	1	1	108	9	0,0112	0,0186	0,0431	0,0723	1,2376	0,0690	0,3436	1,7954	0	0,00	0,0000	0,0000	0,0000
195	1	0	101	8	0,0437	0,1882	0,2631	0,3661	0,5304	0,1477	0,9172	2,4565	0	0,00	0,0232	0,1146	0,8355
196	2	0	115	9	0,0000	0,0074	0,1684	0,2424	0,4205	0,0973	0,5140	1,4500	1	1,45	0,0000	0,0105	0,2823
197	1	0	108	9	0,0418	0,0421	0,4462	0,4077	0,3539	0,0811	0,4924	1,8652	0	0,00	0,0235	0,0135	0,1384
198	1	0	104	8	0,0000	0,0000	0,0734	0,1544	0,3380	0,0286	0,3371	0,9315	2	1,86	0,0000	0,0000	0,1278
199	1	1	107	8	0,0691	0,1644	0,2350	0,2438	0,4713	0,1095	1,2032	2,4963	0	0,00	0,0467	0,0430	0,2899
200	1	1	118	9	0,0000	0,0000	0,1897	0,1370	0,1448	0,0000	0,2257	0,6971	3	2,09	0,0000	0,0000	0,1325
201	2	1	135	11	0,0000	0,0000	0,0578	0,0479	0,0822	0,0000	0,1317	0,3197	3	0,96	0,0000	0,0000	0,0791
202	1	1	125	10	0,0000	0,0000	0,1280	0,2360	0,1957	0,0000	0,2619	0,8215	3	2,46	0,0000	0,0000	0,1239
203	2	1	142	11	0,0000	0,0000	0,0414	0,1471	0,1065	0,0000	0,1895	0,4844	3	1,45	0,0000	0,0000	0,1221
204	1	1	124	10	0,0115	0,0473	0,2770	0,2359	0,3543	0,0800	0,3143	1,3201	0	0,00	0,0076	0,0447	0,2007
205	2	1	150	12	0,0091	0,0084	0,0912	0,0917	0,1406	0,0276	0,2065	0,5751	0	0,00	0,0127	0,0104	0,0966
206	3	1	163	13	0,0038	0,0039	0,0299	0,0687	0,0674	0,0000	0,2192	0,3929	1	0,39	0,0117	0,0029	0,0557
207	4	1	179	14	0,0093	0,0169	0,0610	0,0386	0,0481	0,0000	0,0643	0,2383	1	0,24	0,0137	0,0178	0,0168
208	1	1	112	9	0,0000	0,0189	0,1914	0,2216	0,4352	0,0577	0,3318	1,2566	1	1,26	0,0000	0,0000	0,2084
209	2	1	127	10	0,0000	0,0000	0,1803	0,1004	0,3483	0,0250	0,2368	0,8910	2	1,78	0,0000	0,0000	0,1737
210	3	1	131	10	0,0000	0,0000	0,1929	0,1054	0,3175	0,0150	0,1675	0,7983	2	1,60	0,0000	0,0000	0,1832
211	1	1	148	12	0,0000	0,0000	0,0584	0,0293	0,2028	0,0000	0,0619	0,3523	3	1,06	0,0000	0,0000	0,0219
212	2	1	160	13	0,0000	0,0000	0,0118	0,0078	0,1149	0,0000	0,0518	0,1863	3	0,56	0,0000	0,0000	0,0255
213	1	1	96	8	0,0104	0,0360	0,2275	0,2428	0,4230	0,0547	0,7391	1,7335	0	0,00	0,0219	0,0460	0,2950
214	2	1	137	11	0,0000	0,0000	0,0436	0,0250	0,0952	0,0000	0,1732	0,3370	3	1,01	0,0000	0,0000	0,0372
215	1	0	116	9	0,0000	0,0000	0,0452	0,0500	0,0924	0,0419	0,3386	0,5680	2	1,14	0,0000	0,0000	0,0303
216	1	1	114	9	0,0000	0,0000	0,1617	0,3686	0,3654	0,0584	0,7591	1,7132	2	3,43	0,0000	0,0000	0,1773
217	1	1	115	9	0,0570	0,0492	0,0569	0,0277	0,1112	0,0000	0,1291	0,4311	1	0,43	0,0769	0,0914	0,1030
218	2	1	126	10	0,0000	0,0000	0,0000	0,0000	0,0000	0,0000	0,0347	0,0347	6	0,21	0,0000	0,0000	0,0000
219	3	1	134	11	0,0000	0,0000	0,0000	0,0000	0,0000	0,0000	0,0301	0,0301	6	0,18	0,0000	0,0000	0,0000
220	1	0	104	8	0,0196	0,0047	0,1659	0,1631	0,5071	0,0572	0,3646	1,2823	0	0,00	0,0000	0,0000	0,0000
221	1	0	100	8	0,0238	0,0577	0,5905	0,4837	0,3066	0,1091	1,0076	2,5790	0	0,00	0,0229	0,0500	0,2357
222	1	1	80	6	0,0292	0,1383	0,3172	0,4778	0,8128	0,1384	1,0632	2,9770	0	0,00	0,0238	0,1098	0,2562
223	2	1	100	8	0,0122	0,0062	0,2162	0,3381	0,5667	0,0466	0,5941	1,7801	0	0,00	0,0201	0,0265	0,2000
224	3	1	113	9	0,0000	0,0296	0,0881	0,2720	0,6699	0,0733	0,4180	1,5509	1	1,55	0,0000	0,0361	0,0983

N	Medição	Género	Idade_meses	Idade_anos	x1_31	x2_32	x3_33	x4_34	x5_35	x6_36	x7_37	S_3Q	N0_3Q	s_N0_3Q	x1_41	x2_42	x3_43
225	1	0	126	10	0,0000	0,0000	0,0177	0,0564	0,1438	0,0000	0,2253	0,4433	3	1,33	0,0000	0,0000	0,0000
226	1	1	88	7	0,1093	0,0831	0,3789	0,4960	0,7589	0,1396	0,8808	2,8466	0	0,00	0,0225	0,1232	0,3212
227	2	1	106	8	0,0102	0,0313	0,1799	0,2601	0,3259	0,0675	0,3418	1,2167	0	0,00	0,0136	0,0407	0,2558
228	1	0	72	6	0,0767	0,1107	0,3852	0,5386	0,7059	0,2191	1,2981	3,3343	0	0,00	0,0445	0,1772	0,3620
229	2	0	105	8	0,0000	0,0087	0,0422	0,2104	0,2718	0,0769	0,2669	0,8770	1	0,88	0,0000	0,0240	0,1091
230	1	1	95	7	0,0220	0,0385	0,2152	0,2671	0,4425	0,0520	0,8959	1,9332	0	0,00	0,0130	0,0648	0,3310
231	2	1	111	9	0,0036	0,0274	0,2609	0,1463	0,4500	0,0505	0,5305	1,4692	0	0,00	0,0036	0,0697	0,2387
232	3	1	138	11	0,0000	0,0000	0,1350	0,0231	0,1086	0,0000	0,1887	0,4554	3	1,37	0,0000	0,0000	0,2504
233	1	1	158	13	0,0000	0,0000	0,0454	0,0000	0,0346	0,0000	0,1825	0,2624	4	1,05	0,0000	0,0000	0,0594
234	1	0	93	7	0,0079	0,0891	0,2692	0,3971	0,6582	0,2040	1,3968	3,0224	0	0,00	0,0295	0,0535	0,1764
235	2	0	135	11	0,0000	0,0000	0,0412	0,1163	0,2512	0,0249	0,5382	0,9718	2	1,94	0,0000	0,0000	0,0336
236	1	0	109	9	0,0000	0,0000	0,0557	0,0259	0,1963	0,0000	0,1733	0,4512	3	1,35	0,0000	0,0000	0,0357
237	1	0	95	7	0,0109	0,0159	0,0764	0,3452	0,3678	0,0917	0,9599	1,8678	0	0,00	0,0151	0,0406	0,1523
238	1	0	128	10	0,0000	0,0000	0,0385	0,0448	0,1046	0,0000	0,1611	0,3491	3	1,05	0,0000	0,0000	0,0401
239	1	1	80	6	0,0106	0,0267	0,1922	0,2637	0,3783	0,0865	0,6995	1,6576	0	0,00	0,0169	0,0118	0,4936
240	1	1	86	7	0,0183	0,0246	0,4948	0,1825	0,2525	0,1073	0,5260	1,6060	0	0,00	0,0115	0,1141	0,3822
241	1	0	75	6	0,0201	0,1291	0,4050	0,3942	0,4482	0,1291	1,0569	2,5825	0	0,00	0,0125	0,1788	0,5073
242	1	0	119	9	0,0166	0,0307	0,1283	0,1666	0,4584	0,0628	0,2424	1,1058	0	0,00	0,0121	0,0149	0,1130
243	1	1	101	8	0,0241	0,0128	0,2163	0,1204	0,3480	0,0000	0,5554	1,2769	1	1,28	0,0000	0,0000	0,1222
244	2	1	132	11	0,0000	0,0000	0,0113	0,0174	0,0361	0,0000	0,1814	0,2462	3	0,74	0,0000	0,0000	0,0000
245	1	1	103	8	0,0000	0,0892	0,2980	0,3385	0,4177	0,0625	0,9708	2,1767	1	2,18	0,0000	0,0449	0,1822
246	1	0	100	8	0,0100	0,1299	0,3437	0,4657	0,6015	0,1177	1,2067	2,8752	0	0,00	0,0306	0,0952	0,3620
247	1	0	93	7	0,1138	0,1293	0,2578	0,6205	0,5817	0,1851	1,1261	3,0143	0	0,00	0,0734	0,4201	0,2598
248	2	0	124	10	0,0321	0,0059	0,1514	0,1520	0,2921	0,0507	0,3433	1,0275	0	0,00	0,0043	0,0000	0,0855
249	3	0	147	12	0,0000	0,0000	0,0000	0,1315	0,0746	0,0000	0,2479	0,4540	4	1,82	0,0000	0,0000	0,0000
250	1	1	94	7	0,0000	0,0237	0,2069	0,3252	0,4520	0,0451	0,4766	1,5296	1	1,53	0,0000	0,0383	0,2110
251	2	1	115	9	0,0000	0,0000	0,1289	0,0477	0,1888	0,0000	0,1655	0,5309	3	1,59	0,0000	0,0000	0,1717
252	1	1	77	6	0,0363	0,0666	0,4417	0,4002	0,5484	0,1289	1,1291	2,7512	0	0,00	0,0297	0,0622	0,3679
253	2	1	120	10	0,0000	0,0000	0,1060	0,1563	0,1819	0,0000	0,3118	0,7560	3	2,27	0,0000	0,0000	0,0918
254	1	0	99	8	0,0540	0,0331	0,2113	0,1815	0,2495	0,1440	0,6719	1,5453	0	0,00	0,0508	0,0354	0,2409
255	2	0	113	9	0,0251	0,0241	0,0630	0,1520	0,1626	0,0611	0,3087	0,7966	0	0,00	0,0273	0,0189	0,1022
256	1	1	148	12	0,0000	0,0000	0,0515	0,0482	0,0149	0,0000	0,2088	0,3234	3	0,97	0,0000	0,0000	0,1050

N	Medição	Género	Idade_meses	Idade_anos	x1_31	x2_32	x3_33	x4_34	x5_35	x6_36	x7_37	S_3Q	N0_3Q	s_N0_3Q	x1_41	x2_42	x3_43
257	1	0	89	7	0,0292	0,0482	0,2040	0,3743	0,4038	0,0985	0,7037	1,8616	0	0,00	0,0247	0,0334	0,2599
258	2	0	104	8	0,0177	0,0071	0,1837	0,2096	0,2524	0,0507	0,3845	1,1059	0	0,00	0,0033	0,0123	0,2416
259	3	0	169	14	0,0000	0,0000	0,0535	0,0000	0,0277	0,0000	0,0000	0,0812	5	0,41	0,0000	0,0000	0,0399
260	1	1	106	8	0,0046	0,1369	0,2053	0,1891	0,2929	0,0661	0,6227	1,5175	0	0,00	0,0274	0,0892	0,1876
261	1	1	87	7	0,0579	0,1902	0,3608	0,5340	0,5547	0,2233	1,0099	2,9308	0	0,00	0,0449	0,3382	0,4523
262	1	0	79	6	0,0337	0,0952	0,2540	0,3161	0,4317	0,0936	0,6574	1,8817	0	0,00	0,0352	0,1063	0,3021
263	1	0	146	12	0,0000	0,0000	0,0285	0,0000	0,0570	0,0000	0,0989	0,1843	4	0,74	0,0000	0,0000	0,0414
264	2	0	157	13	0,0000	0,0000	0,0223	0,0000	0,0449	0,0000	0,0000	0,0672	4	0,27	0,0000	0,0000	0,0629
265	1	1	99	8	0,0172	0,0291	0,2991	0,4827	0,4815	0,0209	0,4737	1,8041	0	0,00	0,0059	0,0730	0,2782
266	1	1	112	9	0,0382	0,0152	0,1345	0,1851	0,1758	0,0266	0,2878	0,8633	0	0,00	0,0204	0,0723	0,1243
267	2	1	152	12	0,0000	0,0000	0,0400	0,0101	0,0161	0,0000	0,0393	0,1055	3	0,32	0,0000	0,0000	0,0452
268	1	1	140	11	0,0000	0,0000	0,0655	0,0207	0,0688	0,0000	0,1055	0,2605	3	0,78	0,0000	0,0000	0,0512
269	1	0	99	8	0,0000	0,0000	0,1900	0,4101	0,3255	0,0000	0,4966	1,4221	3	4,27	0,0000	0,0000	0,1731
270	2	0	117	9	0,0000	0,0000	0,0760	0,1620	0,1773	0,0000	0,2505	0,6658	3	2,00	0,0000	0,0000	0,1214
271	1	1	174	14	0,0000	0,0000	0,0000	0,0000	0,0120	0,0000	0,0535	0,0655	5	0,33	0,0000	0,0000	0,0000
272	1	0	77	6	0,0492	0,1547	0,3461	0,5604	0,6711	0,1971	1,2639	3,2425	0	0,00	0,0557	0,1224	0,4191
273	1	1	120	10	0,0396	0,0169	0,2082	0,0548	0,1164	0,0000	0,1303	0,5662	1	0,57	0,0044	0,0080	0,0786
274	2	1	128	10	0,0265	0,0000	0,0726	0,0299	0,0179	0,0000	0,0551	0,2021	2	0,40	0,0000	0,0000	0,0646
275	1	1	95	7	0,0088	0,0493	0,3604	0,4056	0,4390	0,1089	0,8799	2,2521	0	0,00	0,0351	0,0611	0,4246
276	2	1	108	9	0,0000	0,0121	0,2363	0,3827	0,2883	0,0542	0,4609	1,4343	1	1,43	0,0000	0,0166	0,2675
277	1	0	86	7	0,0000	0,0353	0,1721	0,4853	0,3636	0,0581	0,9499	2,0642	1	2,06	0,0000	0,0485	0,1606
278	2	0	134	11	0,0000	0,0000	0,0000	0,0216	0,0122	0,0000	0,0703	0,1041	4	0,42	0,0000	0,0000	0,0000
279	1	0	91	7	0,0188	0,0001	0,2980	0,5304	0,4867	0,0748	1,0268	2,4357	0	0,00	0,0161	0,0685	0,2480
280	2	0	106	8	0,0000	0,0000	0,1422	0,3538	0,3633	0,0727	0,7281	1,6600	2	3,32	0,0000	0,0000	0,2126
281	1	1	93	7	0,0000	0,0055	0,1881	0,2286	0,5418	0,0459	0,9072	1,9170	1	1,92	0,0000	0,0086	0,1757
282	1	0	111	9	0,0000	0,0000	0,1092	0,2036	0,2584	0,0000	0,1847	0,7560	3	2,27	0,0000	0,0000	0,1048
283	2	0	124	10	0,0000	0,0000	0,0564	0,1066	0,1345	0,0000	0,1771	0,4747	3	1,42	0,0000	0,0000	0,0454
284	3	0	152	12	0,0000	0,0000	0,0000	0,0000	0,0183	0,0000	0,0703	0,0886	5	0,44	0,0000	0,0000	0,0000
285	1	1	104	8	0,0126	0,0524	0,3415	0,4028	0,5489	0,1277	0,9234	2,4094	0	0,00	0,0000	0,0000	0,0000
286	1	1	89	7	0,1189	0,1071	0,5344	0,5625	0,6217	0,2885	1,3064	3,5395	0	0,00	0,0852	0,1006	0,4500
287	2	1	122	10	0,0126	0,0280	0,2315	0,2282	0,3328	0,1049	0,4486	1,3867	0	0,00	0,0000	0,0000	0,0000
288	1	1	85	7	0,0052	0,0261	0,4075	0,4296	0,5196	0,0895	0,9519	2,4293	0	0,00	0,0208	0,0230	0,3415

N	Medição	Género	Idade_meses	Idade_anos	x1_31	x2_32	x3_33	x4_34	x5_35	x6_36	x7_37	S_3Q	N0_3Q	s_N0_3Q	x1_41	x2_42	x3_43
289	2	1	115	9	0,0124	0,0055	0,1974	0,1601	0,1969	0,0000	0,2985	0,8709	1	0,87	0,0000	0,0000	0,0000
290	3	1	125	10	0,0262	0,0408	0,2010	0,1861	0,1934	0,0000	0,1888	0,8362	1	0,84	0,0846	0,0308	0,2702
291	4	1	134	11	0,0000	0,0042	0,1753	0,1423	0,1452	0,0000	0,1352	0,6022	2	1,20	0,0000	0,0000	0,1710
292	1	1	81	6	0,0707	0,3784	0,5949	0,6637	0,7798	0,2951	1,0320	3,8145	0	0,00	0,0560	0,3152	0,3731
293	1	1	132	11	0,0000	0,0000	0,1115	0,0933	0,1437	0,0000	0,2975	0,6459	3	1,94	0,0000	0,0000	0,0903
294	1	1	80	6	0,0360	0,4919	0,3523	0,5825	0,5306	0,1065	1,2483	3,3482	0	0,00	0,0375	0,2304	0,4537
295	2	1	104	8	0,0351	0,0983	0,1640	0,3954	0,3658	0,0648	0,8034	1,9267	0	0,00	0,0080	0,0461	0,2360
296	1	1	80	6	0,0237	0,0615	0,3166	0,4230	0,5784	0,1433	0,9428	2,4893	0	0,00	0,0201	0,0545	0,2698
297	2	1	111	9	0,0000	0,0000	0,1297	0,2037	0,3577	0,0323	0,3097	1,0330	2	2,07	0,0000	0,0000	0,0000
298	3	1	119	9	0,0000	0,0000	0,1007	0,0774	0,2165	0,0000	0,2644	0,6590	3	1,98	0,0000	0,0000	0,0000
299	1	0	102	8	0,0000	0,0049	0,1892	0,2033	0,3243	0,0000	0,3358	1,0575	2	2,11	0,0000	0,0324	0,1458
300	2	0	111	9	0,0000	0,0000	0,1042	0,1351	0,2090	0,0000	0,1533	0,6015	3	1,80	0,0000	0,0000	0,1465
301	1	0	110	9	0,0000	0,0000	0,1052	0,2433	0,1787	0,0000	0,3227	0,8500	3	2,55	0,0000	0,0000	0,1475
302	1	0	106	8	0,0000	0,0058	0,1046	0,1177	0,2700	0,0469	0,4147	0,9598	1	0,96	0,0000	0,0000	0,0000
303	1	0	134	11	0,0000	0,0000	0,0496	0,0818	0,1535	0,0000	0,3563	0,6412	3	1,92	0,0000	0,0000	0,0837
304	1	1	133	11	0,0000	0,0000	0,3994	0,1052	0,1649	0,0557	0,1846	0,9097	2	1,82	0,0000	0,0000	0,2564
305	2	1	148	12	0,0000	0,0000	0,0837	0,0510	0,1353	0,0000	0,1075	0,3776	3	1,13	0,0000	0,0000	0,0499
306	1	0	91	7	0,0000	0,0220	0,1544	0,2291	0,4306	0,0413	0,4798	1,3574	1	1,36	0,0000	0,0113	0,1637
307	1	1	83	6	0,0732	0,1843	0,5572	0,6124	0,8709	0,2129	1,5666	4,0776	0	0,00	0,1593	0,1552	0,5361
308	1	1	96	8	0,0498	0,0472	0,3956	0,4325	0,4465	0,0671	1,0551	2,4939	0	0,00	0,0345	0,0382	0,4312
309	1	1	150	12	0,0000	0,0000	0,0551	0,0834	0,1998	0,0000	0,1131	0,4514	3	1,35	0,0000	0,0000	0,0808
310	2	1	171	14	0,0000	0,0000	0,0000	0,0000	0,0910	0,0000	0,0586	0,1496	5	0,75	0,0000	0,0000	0,0000
311	1	1	120	10	0,0094	0,0000	0,2309	0,2126	0,2772	0,0353	0,3627	1,1280	1	1,13	0,0228	0,0091	0,1947
312	1	0	106	8	0,0000	0,0394	0,2546	0,3034	0,5123	0,0739	0,6905	1,8742	1	1,87	0,0000	0,0258	0,3530
313	1	0	102	8	0,0177	0,0356	0,1641	0,1690	0,1538	0,0234	0,2378	0,8014	0	0,00	0,0048	0,0059	0,2142
314	1	0	155	12	0,0000	0,0000	0,0000	0,0000	0,0000	0,0000	0,0000	0,0000	7	0,00	0,0000	0,0000	0,0000
315	1	0	121	10	0,0000	0,0000	0,0366	0,1299	0,2855	0,0000	0,4059	0,8579	3	2,57	0,0000	0,0000	0,0754
316	2	0	136	11	0,0000	0,0000	0,0000	0,0395	0,1237	0,0000	0,1673	0,3305	4	1,32	0,0000	0,0000	0,0000
317	1	0	109	9	0,0258	0,0236	0,1301	0,2239	0,2819	0,0472	0,2959	1,0284	0	0,00	0,0171	0,0790	0,2479
318	1	1	107	8	0,0000	0,0000	0,0894	0,1462	0,2100	0,0000	0,2080	0,6536	3	1,96	0,0000	0,0000	0,2130
319	1	1	84	7	0,0631	0,1447	0,3224	0,4956	0,4475	0,1231	0,9905	2,5869	0	0,00	0,0948	0,0498	0,2894
320	1	0	90	7	0,0040	0,0163	0,1302	0,2211	0,2475	0,0587	0,2857	0,9636	0	0,00	0,0081	0,0253	0,1774

N	Medição	Género	Idade_meses	Idade_anos	x1_31	x2_32	x3_33	x4_34	x5_35	x6_36	x7_37	S_3Q	N0_3Q	s_N0_3Q	x1_41	x2_42	x3_43
321	1	0	153	12	0,0000	0,0000	0,0000	0,0185	0,0979	0,0000	0,1435	0,2599	4	1,04	0,0000	0,0000	0,0000
322	1	0	99	8	0,0000	0,0371	0,1448	0,1637	0,3395	0,0811	0,3661	1,1323	1	1,13	0,0000	0,0045	0,1064
323	2	0	149	12	0,0000	0,0000	0,0000	0,0000	0,0000	0,0000	0,0500	0,0500	6	0,30	0,0000	0,0000	0,0000
324	1	1	91	7	0,0488	0,0825	0,3287	0,4542	0,6083	0,1270	1,1429	2,7924	0	0,00	0,0333	0,0927	0,3726
325	2	1	104	8	0,0087	0,0438	0,2987	0,3802	0,4668	0,0814	0,8802	2,1597	0	0,00	0,0091	0,0596	0,3467
326	1	1	100	8	0,0307	0,0230	0,2727	0,3916	0,5493	0,0522	0,5250	1,8445	0	0,00	0,0096	0,0049	0,3062
327	1	1	115	9	0,0000	0,0000	0,1739	0,3770	0,0003	0,0637	0,5630	1,1779	2	2,36	0,0000	0,0161	0,1553
328	1	1	100	8	0,0034	0,0337	0,3457	0,4222	0,3693	0,0829	0,7978	2,0550	0	0,00	0,0000	0,0469	0,1965
329	1	0	104	8	0,0126	0,0662	0,2180	0,2883	0,2926	0,1017	0,3031	1,2824	0	0,00	0,0294	0,0328	0,2019
330	1	1	98	8	0,0479	0,0044	0,3197	0,4984	0,3860	0,0317	0,9175	2,2055	0	0,00	0,0000	0,0267	0,1660
331	1	0	103	8	0,0000	0,0476	0,0659	0,2338	0,3588	0,0499	0,2102	0,9661	1	0,97	0,0000	0,0000	0,0000
332	1	1	104	8	0,0449	0,0333	0,2445	0,3131	0,3600	0,0567	0,8465	1,8991	0	0,00	0,0281	0,0404	0,2150
333	2	1	130	10	0,0000	0,0119	0,1167	0,1336	0,1162	0,0000	0,2610	0,6394	2	1,28	0,0000	0,0083	0,1626
334	1	1	92	7	0,0270	0,0808	0,5592	0,4800	0,3684	0,1085	0,9035	2,5274	0	0,00	0,0163	0,0865	0,6254
335	1	0	85	7	0,0584	0,0404	0,2086	0,4106	0,3940	0,0553	0,9180	2,0854	0	0,00	0,0128	0,0437	0,4261
336	1	0	89	7	0,0065	0,0521	0,1955	0,2751	0,5866	0,0485	0,4131	1,5775	0	0,00	0,0068	0,0318	0,1991
337	2	0	107	8	0,0000	0,1147	0,2442	0,3426	0,3793	0,0000	0,2292	1,3100	2	2,62	0,0095	0,0000	0,2664
338	1	0	84	7	0,0934	0,1208	0,3136	0,4026	0,3952	0,1976	0,9644	2,4876	0	0,00	0,0916	0,2760	0,5003
339	1	1	97	8	0,0000	0,0125	0,3788	0,3077	0,4570	0,1286	0,7912	2,0757	1	2,08	0,0000	0,0187	0,1958
340	1	0	183	15	0,0000	0,0000	0,0000	0,0000	0,0000	0,0000	0,0803	0,0803	6	0,48	0,0000	0,0000	0,0000
341	1	0	159	13	0,0000	0,0000	0,0000	0,0000	0,0000	0,0000	0,0217	0,0217	6	0,13	0,0000	0,0000	0,0000
342	1	1	85	7	0,0436	0,1311	0,4265	0,5554	0,8714	0,1287	1,0369	3,1936	0	0,00	0,0343	0,0135	0,4514
343	1	0	100	8	0,0374	0,0136	0,2024	0,2253	0,2971	0,0411	0,8487	1,6655	0	0,00	0,0000	0,0000	0,0000
344	1	1	93	7	0,0149	0,0714	0,4251	0,3606	0,5637	0,1009	0,7306	2,2671	0	0,00	0,0325	0,0317	0,4122
345	1	1	105	8	0,0000	0,0000	0,1446	0,0764	0,1381	0,0000	0,2715	0,6305	3	1,89	0,0000	0,0000	0,0000
346	1	1	91	7	0,1128	0,2112	0,4607	0,5577	0,9463	0,1709	1,3546	3,8142	0	0,00	0,1059	0,3830	0,6578
347	1	1	170	14	0,0000	0,0000	0,0405	0,0280	0,0313	0,0000	0,1230	0,2228	3	0,67	0,0000	0,0000	0,0468
348	1	0	90	7	0,0148	0,0601	0,1873	0,4157	0,5223	0,0925	1,3113	2,6040	0	0,00	0,0079	0,0174	0,2023
349	1	0	151	12	0,0000	0,0000	0,0000	0,0319	0,1019	0,0000	0,0622	0,1960	4	0,78	0,0000	0,0000	0,0000
350	1	1	103	8	0,0000	0,0125	0,2221	0,2401	0,4417	0,0000	0,8631	1,7796	2	3,56	0,0000	0,0174	0,1983
351	1	1	92	7	0,0133	0,0396	0,2210	0,3821	0,5095	0,1282	1,0093	2,3030	0	0,00	0,0447	0,0171	0,3384
352	1	0	126	10	0,0000	0,0000	0,0951	0,0764	0,1052	0,0000	0,1994	0,4762	3	1,43	0,0000	0,0000	0,0535

N	Medição	Género	Idade_meses	Idade_anos	x1_31	x2_32	x3_33	x4_34	x5_35	x6_36	x7_37	S_3Q	N0_3Q	s_N0_3Q	x1_41	x2_42	x3_43
353	1	0	87	7	0,0081	0,0180	0,3263	0,2175	0,3023	0,0583	0,6803	1,6108	0	0,00	0,0123	0,0104	0,2215
354	1	1	92	7	0,0068	0,0302	0,2826	0,2571	0,5163	0,0948	0,8858	2,0738	0	0,00	0,0000	0,0190	0,2617
355	1	0	120	10	0,0000	0,0000	0,0494	0,0533	0,0901	0,0000	0,2235	0,4164	3	1,25	0,0000	0,0000	0,1643
356	2	0	148	12	0,0000	0,0000	0,0000	0,1500	0,0492	0,0000	0,0332	0,2324	4	0,93	0,0000	0,0000	0,0000
357	1	1	74	6	0,1571	0,2093	0,6484	0,5002	0,9629	0,1747	1,2953	3,9479	0	0,00	0,0783	0,1547	0,5702
358	1	1	174	14	0,0000	0,0000	0,0000	0,0000	0,0000	0,0000	0,0000	0,0000	7	0,00	0,0000	0,0000	0,0000
359	1	0	188	15	0,0000	0,0000	0,0000	0,0000	0,0000	0,0000	0,0131	0,0131	6	0,08	0,0000	0,0000	0,0000
360	1	1	73	6	0,0299	0,0338	0,3418	0,4618	0,6319	2,7164	1,1728	5,3883	0	0,00	0,0266	0,0350	0,3729
361	1	0	108	9	0,0000	0,0045	0,0782	0,1252	0,1262	0,0000	0,2132	0,5473	2	1,09	0,0000	0,0128	0,0432
362	1	1	75	6	0,0591	0,1628	0,3586	0,5962	0,5948	0,1451	1,2692	3,1858	0	0,00	0,0632	0,1800	0,3471
363	1	1	126	10	0,0000	0,0000	0,1804	0,1661	0,2345	0,0973	0,4661	1,1444	2	2,29	0,0000	0,0000	0,1129
364	1	1	77	6	0,1010	0,2782	0,4277	0,4863	0,4892	0,1177	1,2561	3,1562	0	0,00	0,0694	0,2196	0,5701
365	1	0	90	7	0,0107	0,0534	0,2053	0,3421	0,7659	0,0371	1,1264	2,5409	0	0,00	0,0098	0,0157	0,2089
366	1	0	100	8	0,0041	0,0130	0,3311	0,3109	0,4072	0,1247	1,0317	2,2227	0	0,00	0,0041	0,0338	0,2670
367	2	0	111	9	0,0000	0,0250	0,1089	0,2605	0,3540	0,0641	0,9153	1,7278	1	1,73	0,0000	0,0303	0,2706
368	3	0	130	10	0,0000	0,0000	0,0740	0,1245	0,2380	0,0249	0,4745	0,9358	2	1,87	0,0000	0,0000	0,0000
369	1	0	85	7	0,0339	0,1169	0,3353	0,4199	0,5011	0,1350	1,0378	2,5799	0	0,00	0,0386	0,2100	0,3047
370	1	0	96	8	0,0203	0,0515	0,2254	0,2935	0,3524	0,0744	0,7085	1,7258	0	0,00	0,0188	0,0525	0,3134
371	2	0	139	11	0,0000	0,0000	0,0067	0,0355	0,0417	0,0000	0,0707	0,1546	3	0,46	0,0000	0,0000	0,0616
372	1	1	138	11	0,0000	0,0000	0,0807	0,0341	0,0699	0,0000	0,0345	0,2193	3	0,66	0,0000	0,0000	0,0762
373	1	1	83	6	0,0043	0,0327	0,2873	0,3674	0,8448	0,0780	0,9047	2,5192	0	0,00	0,0336	0,0425	0,2316
374	2	1	92	7	0,0207	0,0207	0,2123	0,2798	0,4242	0,0341	0,4685	1,4602	0	0,00	0,0140	0,0094	0,2077
375	1	0	97	8	0,0000	0,0000	0,1232	0,1338	0,3202	0,0321	0,5972	1,2065	2	2,41	0,0000	0,0000	0,1334
376	1	1	87	7	0,0123	0,0500	0,2847	0,5510	0,6136	0,1456	0,9783	2,6355	0	0,00	0,0188	0,1351	0,2827
377	1	0	167	13	0,0000	0,0000	0,0000	0,0084	0,0121	0,0000	0,0276	0,0480	4	0,19	0,0000	0,0000	0,0000
378	1	1	138	11	0,0000	0,0000	0,0951	0,0691	0,1822	0,0000	0,1672	0,5136	3	1,54	0,0000	0,0000	0,1124
379	2	1	156	13	0,0000	0,0000	0,0181	0,0062	0,0497	0,0000	0,1575	0,2314	3	0,69	0,0000	0,0000	0,0991
380	1	0	96	8	0,0064	0,0355	0,1708	0,2727	0,3846	0,0415	0,7554	1,6670	0	0,00	0,0296	0,0280	0,2760
381	2	0	116	9	0,0000	0,0000	0,0653	0,1011	0,1331	0,0000	0,3672	0,6667	3	2,00	0,0000	0,0000	0,0856
382	3	0	133	11	0,0000	0,0000	0,0288	0,0146	0,0965	0,0000	0,2288	0,3687	3	1,11	0,0000	0,0000	0,0196
383	1	0	97	8	0,0045	0,0264	0,1721	0,3237	0,3269	0,0274	0,4780	1,3590	0	0,00	0,0000	0,0192	0,1311
384	1	1	84	7	0,0500	0,0482	0,2553	0,3553	0,4925	0,1474	0,8734	2,2220	0	0,00	0,0365	0,0730	0,2954

N	Medição	Género	Idade_meses	Idade_anos	x1_31	x2_32	x3_33	x4_34	x5_35	x6_36	x7_37	S_3Q	N0_3Q	s_N0_3Q	x1_41	x2_42	x3_43
385	1	1	103	8	0,0000	0,0141	0,0681	0,2533	0,3644	0,0381	0,4666	1,2046	1	1,20	0,0000	0,0000	0,0954
386	2	1	156	13	0,0000	0,0000	0,0328	0,0000	0,0082	0,0000	0,0154	0,0564	4	0,23	0,0000	0,0000	0,0388
387	1	0	93	7	0,0000	0,0127	0,1541	0,3181	0,4774	0,0000	0,4033	1,3655	2	2,73	0,0000	0,0055	0,2593
388	1	0	116	9	0,0000	0,0133	0,0708	0,0620	0,1771	0,0499	0,6216	0,9946	1	0,99	0,0000	0,0555	0,0943
389	1	1	99	8	0,0460	0,0624	0,3330	0,4444	0,7946	0,0739	1,0440	2,7982	0	0,00	0,0000	0,0000	0,0000
390	2	1	114	9	0,0189	0,0610	0,2153	0,3167	0,4704	0,0302	0,4988	1,6114	0	0,00	0,0000	0,0000	0,0000
391	1	0	113	9	0,0000	0,0000	0,1970	0,1053	0,3582	0,0000	0,3226	0,9831	3	2,95	0,0000	0,0000	0,0824
392	2	0	123	10	0,0000	0,0000	0,0709	0,0397	0,1189	0,0000	0,2653	0,4947	3	1,48	0,0000	0,0000	0,0668
393	1	1	88	7	0,0187	0,0975	0,2988	0,6168	0,5601	0,1640	0,8151	2,5710	0	0,00	0,0268	0,0549	0,2627
394	1	0	179	14	0,0000	0,0000	0,0000	0,0000	0,0000	0,0000	0,0148	0,0148	6	0,09	0,0000	0,0000	0,0000
395	1	1	181	15	0,0000	0,0000	0,0000	0,0000	0,0000	0,0000	0,0000	0,0000	7	0,00	0,0000	0,0000	0,0000
396	1	1	94	7	0,0749	0,1283	0,2130	0,3317	0,4953	0,1276	0,7410	2,1118	0	0,00	0,1172	0,1750	0,2490
397	1	0	104	8	0,0000	0,0041	0,1717	0,2493	0,4603	0,0137	0,5820	1,4812	1	1,48	0,0000	0,0000	0,1224
398	2	0	119	9	0,0000	0,0000	0,1070	0,1429	0,2647	0,0249	0,2145	0,7541	2	1,51	0,0000	0,0000	0,0352
399	3	0	128	10	0,0000	0,0000	0,0387	0,0577	0,1917	0,0000	0,1666	0,4547	3	1,36	0,0000	0,0000	0,0093
400	4	0	138	11	0,0000	0,0000	0,0051	0,0140	0,1186	0,0000	0,1166	0,2544	3	0,76	0,0000	0,0000	0,0000
401	5	0	153	12	0,0000	0,0000	0,0000	0,0000	0,0342	0,0000	0,0261	0,0603	5	0,30	0,0000	0,0000	0,0000
402	1	1	132	11	0,0000	0,0000	0,2287	0,1931	0,2459	0,0000	0,3915	1,0592	3	3,18	0,0000	0,0000	0,2373
403	1	1	129	10	0,0000	0,0000	0,0437	0,0904	0,1345	0,0000	0,2406	0,5092	3	1,53	0,0000	0,0000	0,0045
404	2	1	149	12	0,0000	0,0000	0,0976	0,0113	0,0498	0,0000	0,0780	0,2367	3	0,71	0,0000	0,0000	0,0097
405	3	1	155	12	0,0000	0,0000	0,0243	0,0000	0,0345	0,0000	0,0697	0,1285	4	0,51	0,0000	0,0000	0,0063
406	4	1	174	14	0,0000	0,0000	0,0000	0,0000	0,0000	0,0000	0,0060	0,0060	6	0,04	0,0000	0,0000	0,0000
407	1	1	98	8	0,0062	0,0388	0,1961	0,2894	0,3304	0,0087	0,7108	1,5803	0	0,00	0,0063	0,0433	0,3961
408	2	1	99	8	0,0109	0,0268	0,1757	0,3066	0,3095	0,0057	0,7288	1,5641	0	0,00	0,0057	0,0177	0,3166
409	3	1	103	8	0,0000	0,0158	0,1624	0,2275	0,2695	0,0056	0,6247	1,3055	1	1,31	0,0000	0,0000	0,1793
410	1	1	110	9	0,0202	0,0000	0,3242	0,3280	0,4477	0,0058	1,2743	2,4002	1	2,40	0,0000	0,0060	0,1006
411	1	0	139	11	0,0000	0,0000	0,0276	0,0777	0,1413	0,0000	0,1033	0,3499	3	1,05	0,0000	0,0000	0,0258
412	2	0	143	11	0,0000	0,0000	0,0205	0,0051	0,0661	0,0000	0,0579	0,1495	3	0,45	0,0000	0,0000	0,0087
413	3	0	146	12	0,0000	0,0000	0,0000	0,0212	0,0756	0,0000	0,0673	0,1641	4	0,66	0,0000	0,0000	0,0000
414	4	0	158	13	0,0000	0,0000	0,0000	0,0000	0,0342	0,0000	0,0253	0,0594	5	0,30	0,0000	0,0000	0,0000
415	1	1	88	7	0,0416	0,1680	0,2707	0,2904	0,3974	0,0304	0,7706	1,9691	0	0,00	0,0348	0,1060	0,4486
416	1	1	88	7	0,0727	0,1410	0,4187	0,3827	0,4369	0,1234	0,7237	2,2993	0	0,00	0,0580	0,1195	0,3610

N	Medição	Género	Idade_meses	Idade_anos	x1_31	x2_32	x3_33	x4_34	x5_35	x6_36	x7_37	S_3Q	N0_3Q	s_N0_3Q	x1_41	x2_42	x3_43
417	2	1	132	11	0,0000	0,0000	0,1474	0,1008	0,1260	0,0000	0,1702	0,5444	3	1,63	0,0000	0,0000	0,3063
418	1	0	104	8	0,0000	0,0000	0,0483	0,0344	0,1217	0,0000	0,2804	0,4847	3	1,45	0,0000	0,0000	0,0000
419	1	1	142	11	0,0000	0,0000	0,0000	0,0052	0,0700	0,0000	0,1142	0,1894	4	0,76	0,0000	0,0000	0,0093
420	1	1	79	6	0,0037	0,0424	0,2660	0,5534	0,4719	0,0184	0,7966	2,1524	0	0,00	0,0038	0,0389	0,3449
421	1	1	100	8	0,0207	0,0656	0,3716	0,3851	0,6373	0,0333	0,9568	2,4703	0	0,00	0,0404	0,0940	0,3392
422	2	1	137	11	0,0000	0,0091	0,1649	0,1132	0,3488	0,0082	0,2819	0,9261	1	0,93	0,0167	0,0143	0,1335
423	1	1	110	9	0,0000	0,0000	0,0956	0,1181	0,2302	0,0143	0,3338	0,7919	2	1,58	0,0000	0,0000	0,2912
424	1	0	102	8	0,0105	0,0435	0,2502	0,2596	0,3524	0,0385	0,6785	1,6332	0	0,00	0,0094	0,0279	0,2398
425	1	1	88	7	0,0275	0,1357	0,3434	0,2743	0,4565	0,1406	0,9316	2,3096	0	0,00	0,0262	0,0862	0,2291
426	1	1	81	6	0,0489	0,0551	0,2105	0,2893	0,3923	0,1922	0,8380	2,0264	0	0,00	0,0704	0,0404	0,2477
427	1	1	125	10	0,0000	0,0000	0,0855	0,1832	0,2019	0,0000	0,2889	0,7596	3	2,28	0,0000	0,0000	0,0000
428	1	1	101	8	0,0151	0,0320	0,2725	0,3639	0,4072	0,0572	0,8357	1,9836	0	0,00	0,0161	0,0151	0,2735
429	1	0	140	11	0,0000	0,0000	0,0147	0,0155	0,0398	0,0000	0,0678	0,1378	3	0,41	0,0000	0,0000	0,0258
430	1	1	72	6	0,0518	0,3497	0,2549	0,3703	0,7434	0,1168	0,9902	2,8771	0	0,00	0,0293	0,1112	0,3976
431	1	1	129	10	0,0000	0,0220	0,1430	0,1380	0,2071	0,0209	0,6310	1,1621	1	1,16	0,0045	0,0100	0,1890
432	1	1	85	7	0,0079	0,0251	0,4423	0,2002	0,3815	0,0208	0,6809	1,7587	0	0,00	0,0361	0,0125	0,1500
433	1	1	91	7	0,0881	0,1032	0,3098	0,3400	0,5732	0,0716	0,9747	2,4607	0	0,00	0,0908	0,1428	0,3065
434	2	1	97	8	0,0480	0,0725	0,3157	0,3106	0,6030	0,0638	0,8523	2,2659	0	0,00	0,0606	0,0789	0,2737
435	1	1	157	13	0,0000	0,0000	0,0000	0,0000	0,0000	0,0000	0,0345	0,0345	6	0,21	0,0000	0,0000	0,0000
436	1	1	184	15	0,0000	0,0000	0,0000	0,0000	0,0000	0,0000	0,0000	0,0000	7	0,00	0,0000	0,0000	0,0000
437	1	1	84	7	0,0000	0,0188	0,2896	0,5131	0,4514	0,0420	0,9399	2,2549	1	2,25	0,0000	0,0197	0,3131
438	1	1	167	13	0,0000	0,0000	0,0195	0,0000	0,0034	0,0000	0,0171	0,0400	4	0,16	0,0000	0,0000	0,0098
439	1	0	177	14	0,0000	0,0000	0,0000	0,0000	0,0000	0,0000	0,0313	0,0313	6	0,19	0,0000	0,0000	0,0000
440	1	0	166	13	0,0000	0,0000	0,0000	0,0000	0,0000	0,0000	0,0192	0,0192	6	0,12	0,0000	0,0000	0,0000
441	1	1	76	6	0,0749	0,1659	0,4000	0,6207	0,7123	0,0907	1,2028	3,2673	0	0,00	0,0505	0,1926	0,3405
442	1	0	104	8	0,0114	0,0173	0,3074	0,4003	0,4166	0,0196	0,6730	1,8457	0	0,00	0,0130	0,0295	0,2972
443	1	1	148	12	0,0000	0,0000	0,0103	0,0092	0,0029	0,0000	0,0602	0,0825	3	0,25	0,0000	0,0000	0,0111
444	2	1	150	12	0,0000	0,0000	0,0390	0,0000	0,0115	0,0000	0,0754	0,1260	4	0,50	0,0000	0,0000	0,0123
445	3	1	157	13	0,0000	0,0000	0,0104	0,0000	0,0000	0,0000	0,0245	0,0349	5	0,17	0,0000	0,0000	0,0122
446	4	1	161	13	0,0000	0,0000	0,0106	0,0000	0,0000	0,0000	0,0190	0,0296	5	0,15	0,0000	0,0000	0,0155
447	5	1	178	14	0,0000	0,0000	0,0000	0,0000	0,0000	0,0000	0,0119	0,0119	6	0,07	0,0000	0,0000	0,0000
448	6	1	182	15	0,0000	0,0000	0,0000	0,0000	0,0000	0,0000	0,0000	0,0000	7	0,00	0,0000	0,0000	0,0000

N	Medição	Género	Idade_meses	Idade_anos	x1_31	x2_32	x3_33	x4_34	x5_35	x6_36	x7_37	S_3Q	N0_3Q	s_N0_3Q	x1_41	x2_42	x3_43
449	1	1	81	6	0,1384	0,1024	0,6121	0,4306	0,6218	0,0686	1,0211	2,9950	0	0,00	0,0105	0,0730	0,2403
450	1	1	93	7	0,0168	0,0238	0,1952	0,2716	0,3674	0,0586	0,6500	1,5833	0	0,00	0,0166	0,0450	0,2134
451	2	1	97	8	0,0059	0,0274	0,2157	0,2354	0,4119	0,0373	0,6762	1,6098	0	0,00	0,0119	0,0351	0,1981
452	3	1	99	8	0,0078	0,0056	0,1875	0,2247	0,3381	0,0248	0,5980	1,3865	0	0,00	0,0053	0,0455	0,2795
453	4	1	102	8	0,0089	0,0223	0,1876	0,3410	0,3069	0,0217	0,6556	1,5439	0	0,00	0,0083	0,0523	0,4111
454	5	1	109	9	0,0038	0,0038	0,1175	0,1699	0,2415	0,0283	0,4807	1,0454	0	0,00	0,0038	0,0169	0,2808
455	6	1	123	10	0,0000	0,0000	0,0374	0,0766	0,1569	0,0000	0,2337	0,5047	3	1,51	0,0000	0,0000	0,0980
456	1	1	85	7	0,0204	0,0751	0,3713	0,4070	0,5063	0,0547	0,8352	2,2701	0	0,00	0,0060	0,1524	0,3208
457	1	1	83	6	0,0090	0,0581	0,2511	0,2490	0,7841	0,0463	1,0972	2,4948	0	0,00	0,0214	0,0425	0,3091
458	1	1	85	7	0,0172	0,0549	0,2764	0,3240	0,4516	0,1267	1,1058	2,3567	0	0,00	0,0166	0,0526	0,2588
459	1	1	83	6	0,0763	0,1236	0,3666	0,4102	0,6687	0,1584	1,2077	3,0113	0	0,00	0,0000	0,0000	0,0000
460	1	1	114	9	0,0111	0,0366	0,1368	0,1376	0,1652	0,0606	0,3022	0,8501	0	0,00	0,0117	0,0360	0,2354
461	1	0	104	8	0,0092	0,0196	0,1610	0,1709	0,3333	0,0556	0,6205	1,3700	0	0,00	0,0068	0,0346	0,2018
462	1	1	103	8	0,0091	0,0090	0,1583	0,1999	0,2159	0,0181	0,6785	1,2887	0	0,00	0,0000	0,0091	0,2160
463	1	1	131	10	0,0000	0,0000	0,0923	0,0908	0,1349	0,0000	0,1034	0,4214	3	1,26	0,0000	0,0000	0,0822
464	1	1	191	15	0,0000	0,0000	0,0000	0,0000	0,0000	0,0000	0,0000	0,0000	7	0,00	0,0000	0,0000	0,0000
465	1	1	172	14	0,0000	0,0000	0,0000	0,0265	0,0000	0,0000	0,0583	0,0848	5	0,42	0,0000	0,0000	0,0297
466	1	1	160	13	0,0000	0,0000	0,0120	0,0136	0,0283	0,0000	0,0333	0,0872	3	0,26	0,0000	0,0000	0,0117
467	1	1	125	10	0,0000	0,0000	0,0000	0,0000	0,0000	0,0000	0,0206	0,0206	6	0,12	0,0000	0,0000	0,0582
468	1	1	100	8	0,0118	0,0382	0,3188	0,3061	0,4289	0,0351	1,1111	2,2500	0	0,00	0,0153	0,0384	0,2950
469	1	1	101	8	0,0000	0,0000	0,3793	0,2925	0,5872	0,0000	0,7373	1,9962	3	5,99	0,0000	0,0000	0,0000
470	1	1	111	9	0,0188	0,0237	0,1946	0,2683	0,3357	0,0543	0,4933	1,3887	0	0,00	0,0000	0,0000	0,0000
471	1	0	74	6	0,0166	0,0537	0,4337	0,4088	0,6021	0,0663	0,9547	2,5360	0	0,00	0,0249	0,0757	0,3577
472	1	0	96	8	0,0000	0,0222	0,2007	0,2919	0,9305	0,0372	1,1865	2,6691	1	2,67	0,0526	0,0165	0,2208
473	2	0	118	9	0,0000	0,0000	0,0609	0,1492	0,7148	0,0000	0,6922	1,6171	3	4,85	0,0000	0,0000	0,0000
474	1	1	101	8	0,0200	0,0247	0,2299	0,2176	0,3295	0,0347	0,4780	1,3345	0	0,00	0,0132	0,0393	0,2559
475	1	0	103	8	0,0000	0,0247	0,0739	0,1678	0,3068	0,0135	0,4176	1,0044	1	1,00	0,0000	0,0000	0,0726
476	1	1	87	7	0,0221	0,1720	0,2450	0,3509	0,3747	0,0764	1,1409	2,3819	0	0,00	0,0148	0,0834	0,4025
477	2	1	94	7	0,0154	0,0455	0,2118	0,2758	0,3976	0,0338	0,9695	1,9493	0	0,00	0,0162	0,0712	0,3924
478	1	0	121	10	0,0000	0,0000	0,0453	0,0680	0,0948	0,0000	0,1917	0,3998	3	1,20	0,0000	0,0000	0,0373
479	1	0	125	10	0,0000	0,0000	0,0602	0,0449	0,1590	0,0000	0,2123	0,4764	3	1,43	0,0000	0,0000	0,0000
480	1	1	108	9	0,0000	0,0000	0,1118	0,0583	0,0945	0,0000	0,1832	0,4478	3	1,34	0,0000	0,0000	0,0919

N	Medição	Género	Idade_meses	Idade_anos	x1_31	x2_32	x3_33	x4_34	x5_35	x6_36	x7_37	S_3Q	N0_3Q	s_N0_3Q	x1_41	x2_42	x3_43
481	1	1	76	6	0,1796	0,0912	0,2679	0,4874	0,6420	0,2883	1,4094	3,3658	0	0,00	0,0619	0,1223	0,3691
482	1	1	81	6	0,0323	0,1233	0,3231	0,5526	0,5325	0,0711	1,0796	2,7145	0	0,00	0,0585	0,1034	0,3590
483	1	1	72	6	0,1054	0,1354	0,2165	0,3810	0,5312	0,1558	1,0547	2,5800	0	0,00	0,0346	0,1086	0,1822

N	x4_44	x5_45	x6_46	x7_47	S_4Q	N0_4Q	s_N0_4Q	Demirjian_Estadio_3 1	Demirjian_Estadio_3 2	Demirjian_Estadio_3 3	Demirjian_Estadio_3 4	Demirjian_Estadio_3 5	Demirjian_Estadio_3 6	Demirjian_Estadio_3 7	medição_apex_3 1	comprimento_vertical_3 1
1	0,0000	0,0000	0,0000	0,0000	0,0000	7	0,00	H	H	H	H	H	H	H		
2	0,0000	0,0000	0,0000	0,0000	0,0000	7	0,00	H	H	H	H	H	H	H		
3	0,0000	0,0000	0,0000	0,0000	0,0000	7	0,00	H	H	H	G	H	H	G		
4	0,1868	0,2171	0,0639	0,3125	0,8391	2	1,68	H	H	G	F	F	G	F		
5	0,0582	0,1025	0,0000	0,1640	0,3879	3	1,16	H	H	G	F	F	H	G		
6	0,0000	0,0000	0,0000	0,0000	0,0000	7	0,00	H	H	H	H	H	H	H		
7	0,0000	0,0000	0,0000	0,0000	0,0000		0,00	H	H	H	G	G	G	F		
8	0,0000	0,0000	0,0000	0,0722	0,0722	6	0,43	H	H	H	H	H	H	G		
9	0,2810	0,2705	0,0432	0,5147	1,1693	2	2,34	H	H	F	F	F	G	E		
10	0,3540	0,3814	0,0470	0,7662	1,9073	2	3,81	H	H	F	E	F	G	D		
11	0,0631	0,0694	0,0000	0,1021	0,2346	4	0,94	H	H	H	G	F	H	G		
12	0,0000	0,0895	0,0000	0,0716	0,1611	5	0,81	H	H	H	G	F	H	G		
13	0,0000	0,0000	0,0000	0,0531	0,0531	6	0,32	H	H	H	H	H	H	G		
14	0,1536	0,2130	0,0000	0,1547	0,5950	3	1,79	H	H	G	F	F	H	G		
15	0,0000	0,0497	0,0000	0,0815	0,1312	5	0,66	H	H	H	H	G	H	G		
16	0,0964	0,2805	0,0000	0,3154	0,8366	3	2,51	H	H	F	F	E	H	F		
17	0,0000	0,0326	0,0000	0,0564	0,0890	5	0,44	H	H	H	H	G	H	G		
18	0,0000	0,0000	0,0000	0,0000	0,0000		0,00	H	H	H	F	F	H	G		
19	0,0000	0,0000	0,0000	0,0000	0,0000	7	0,00	H	H	H	H	H	H	G		
20	0,0625	0,1366	0,0000	0,2166	0,5010	3	1,50	H	H	G	F	F	H	F		
21	0,0636	0,0356	0,0000	0,0778	0,1770	4	0,71	H	H	H	G	G	H	G		
22	0,0298	0,0253	0,0000	0,1042	0,1593	4	0,64	H	H	H	G	G	H	G		
23	0,0000	0,0000	0,0000	0,0000	0,0000	7	0,00	H	H	H	H	H	H	H		
24	0,1946	0,3461	0,0700	0,6004	1,4529	1	1,45	H	G	F	E	E	G	E		
25	0,0000	0,0000	0,0000	0,0000	0,0000		0,00	H	H	F	F	F	G	E		
26	0,0000	0,0000	0,0000	0,0000	0,0000	7	0,00	H	H	H	H	H	H	G		
27	0,0775	0,1157	0,0000	0,2806	0,5423	3	1,63	H	H	G	G	F	H	F		
28	0,0000	0,0000	0,0000	0,0000	0,0000	7	0,00	H	H	H	H	H	H	H		
29	0,0323	0,0901	0,0000	0,1840	0,3829	3	1,15	H	H	G	G	F	H	G		
30	0,0524	0,0843	0,0000	0,1186	0,2554	4	1,02	H	H	H	G	G	H	G		
31	0,3174	0,4597	0,0453	0,5469	1,8184	0	0,00	G	F	E	E	E	G	D	0,3450	24,0420
32	0,1176	0,2310	0,0000	0,1820	0,6883	3	2,06	H	H	F	F	F	H	F		

N	x4_44	x5_45	x6_46	x7_47	S_4Q	N0_4Q	s_N0_4Q	Demirjian_Estadio_3 1	Demirjian_Estadio_3 2	Demirjian_Estadio_3 3	Demirjian_Estadio_3 4	Demirjian_Estadio_3 5	Demirjian_Estadio_3 6	Demirjian_Estadio_3 7	medição_apex_3 1	comprimento_vertical_3 1
33	0,0872	0,0757	0,0000	0,0826	0,4059	3	1,22	H	H	F	G	F	H	G		
34	0,0000	0,0000	0,0000	0,0745	0,0745	6	0,45	H	H	H	H	H	H	G		
35	0,0000	0,0000	0,0000	0,0000	0,0000	7	0,00	H	H	H	H	H	H	H		
36	0,0000	0,0000	0,0000	0,0000	0,0000	7	0,00	H	H	H	H	G	H	G		
37	0,0673	0,1720	0,0609	0,2831	0,6384	2	1,28	H	H	G	G	G	G	F		
38	0,2478	0,3107	0,1038	0,8141	1,6672	1	1,67	H	G	F	E	E	G	D		
39	0,5944	0,5643	0,1090	1,0509	2,5969	1	2,60	H	F	F	E	E	G	D		
40	0,4581	0,4951	0,1370	1,2034	2,5731	1	2,57	H	F	F	E	E	G	D		
41	0,1090	0,1710	0,0464	0,5125	1,0123	1	1,01	H	G	G	F	F	G	D		
42	0,5572	0,9728	0,2199	1,0412	3,3567	0	0,00	F	E	E	E	D	F	D	0,8220	21,7650
43	0,0000	0,0000	0,0000	0,0000	0,0000		0,00	H	G	F	F	F	G	E		
44	0,0308	0,0977	0,0000	0,1427	0,3207	3	0,96	H	H	G	G	F	H	G		
45	0,0506	0,0800	0,0000	0,1253	0,4422	3	1,33	H	H	F	G	F	H	G		
46	0,0000	0,0000	0,0000	0,0667	0,0667	6	0,40	H	H	H	H	H	H	G		
47	0,1684	0,1473	0,0422	0,2879	0,7535	1	0,75	H	G	F	F	F	G	F		
48	0,0000	0,0000	0,0000	0,0446	0,0446	6	0,27	H	H	H	H	H	H	G		
49	0,0000	0,0000	0,0000	0,0000	0,0000	7	0,00	H	H	H	H	H	H	H		
50	0,0000	0,0000	0,0000	0,0000	0,0000		0,00	H	H	G	G	G	H	G		
51	0,0000	0,0000	0,0000	0,0000	0,0000	7	0,00	H	H	H	H	G	H	G		
52	0,0000	0,0000	0,0000	0,0000	0,0000	7	0,00	H	H	H	H	H	H	H		
53	0,1810	0,3649	0,0919	0,7311	1,5354	1	1,54	H	G	F	F	E	G	E		
54	0,0406	0,0351	0,0000	0,1325	0,2554	3	0,77	H	H	F	G	F	H	G		
55	0,1332	0,3020	0,0996	0,6299	1,2586	2	2,52	H	H	F	F	E	G	D		
56	0,0512	0,0670	0,0000	0,1415	0,2973	3	0,89	H	H	G	H	F	H	F		
57	0,0000	0,0000	0,0000	0,0000	0,0000		0,00	H	G	F	F	F	H	F		
58	0,0000	0,0000	0,0000	0,1887	0,1887	6	1,13	H	H	G	H	H	H	G		
59	0,0000	0,0000	0,0000	0,0000	0,0000	7	0,00	H	H	H	H	G	H	G		
60	0,0000	0,0000	0,0000	0,0000	0,0000		0,00	H	H	G	G	F	H	G		
61	0,0000	0,0000	0,0000	0,0000	0,0000		0,00	G	F	D	E	D	F	D	0,3860	22,4380
62	0,0267	0,0891	0,0000	0,1290	0,2751	3	0,83	H	H	G	G	F	H	G		
63	0,3417	0,6172	0,0937	1,2108	2,5905	1	2,59	H	G	E	D	C	G	D		
64	0,0325	0,2219	0,0000	0,3338	0,5883	4	2,35	H	H	H	G	E	H	E		

N	x4_44	x5_45	x6_46	x7_47	S_4Q	N0_4Q	s_N0_4Q	Demirjian_Estadio_3 1	Demirjian_Estadio_3 2	Demirjian_Estadio_3 3	Demirjian_Estadio_3 4	Demirjian_Estadio_3 5	Demirjian_Estadio_3 6	Demirjian_Estadio_3 7	medição_apex_3 1	comprimento_vertical_3 1
65	0,0000	0,0533	0,0000	0,1534	0,2068	5	1,03	H	H	H	H	F	H	G		
66	0,2103	0,3033	0,0691	0,4900	1,3385	1	1,34	H	G	F	F	E	G	E		
67	0,0340	0,0772	0,0000	0,1602	0,3215	3	0,96	H	H	G	G	F	H	G		
68	0,0000	0,0605	0,0000	0,1102	0,2001	4	0,80	H	H	G	H	G	H	G		
69	0,2351	0,3591	0,0000	0,4283	1,0764	3	3,23	H	H	G	F	F	H	E		
70	0,0000	0,0000	0,0000	0,0000	0,0000	7	0,00	H	H	H	H	H	H	H		
71	0,0000	0,0000	0,0000	0,0000	0,0000		0,00	H	H	F	F	D	G	D		
72	0,1219	0,6419	0,0000	0,4276	1,2258	3	3,68	H	H	G	F	E	H	E		
73	0,1657	0,2387	0,0000	0,5119	1,0847	3	3,25	H	H	G	F	F	H	D		
74	0,1772	0,2716	0,0000	0,7020	1,2854	3	3,86	H	H	G	F	F	H	D		
75	0,0000	0,0000	0,0000	0,0370	0,0370	6	0,22	H	H	H	H	H	H	G		
76	0,0000	0,0000	0,0000	0,0000	0,0000	7	0,00	H	H	G	H	H	H	G		
77	0,3891	0,6272	0,0892	0,9187	2,3998	0	0,00	G	F	F	F	E	G	D	0,5200	20,0120
78	0,0000	0,0000	0,0000	0,0000	0,0000		0,00	H	H	G	H	G	H	G		
79	0,1303	0,1347	0,0000	0,3079	0,7168	2	1,43	H	G	F	F	F	H	G		
80	0,6833	0,7249	0,1211	1,3857	3,9702	0	0,00	F	E	D	D	C	G	D	2,1740	16,2050
81	0,0975	0,1658	0,0000	0,1955	0,5853	3	1,76	H	H	F	F	F	H	F		
82	0,0000	0,0000	0,0000	0,0428	0,0428	6	0,26	H	H	H	H	H	H	G		
83	0,7816	0,6623	0,1241	1,2302	3,5260	0	0,00	G	F	E	E	D	G	D	0,5130	23,9260
84	0,1244	0,2087	0,0000	0,3598	0,8277	3	2,48	H	H	F	F	F	H	F		
85	0,2011	0,2950	0,0400	0,8445	1,5171	2	3,03	H	H	F	F	E	G	D		
86	0,0915	0,1797	0,0000	0,6514	1,0093	3	3,03	H	H	G	G	F	H	D		
87	0,0000	0,0322	0,0000	0,0862	0,1184	5	0,59	H	H	H	H	G	H	G		
88	0,0000	0,0000	0,0000	0,0876	0,0876	6	0,53	H	H	H	H	H	H	G		
89	0,3726	0,3319	0,0474	0,7697	1,7296	0	0,00	G	G	F	E	F	G	D	0,2380	22,8880
90	0,0952	0,0820	0,0000	0,3599	0,5926	3	1,78	H	H	G	F	F	H	F		
91	0,0000	0,0000	0,0000	0,0323	0,0323	6	0,19	H	H	H	H	H	H	G		
92	0,0000	0,0000	0,0000	0,0000	0,0000	7	0,00	H	H	H	H	H	H	H		
93	0,2779	0,4452	0,0000	0,7945	1,6656	3	5,00	H	H	F	F	E	H	D		
94	0,0301	0,0981	0,0000	0,1747	0,3259	3	0,98	H	H	G	F	F	H	F		
95	0,0000	0,0000	0,0000	0,0497	0,0497	6	0,30	H	H	H	H	H	H	G		
96	0,0000	0,0000	0,0000	0,0000	0,0000	7	0,00	H	H	H	H	H	H	H		

N	x4_44	x5_45	x6_46	x7_47	S_4Q	N0_4Q	s_N0_4Q	Demirjian_Estadio_3 1	Demirjian_Estadio_3 2	Demirjian_Estadio_3 3	Demirjian_Estadio_3 4	Demirjian_Estadio_3 5	Demirjian_Estadio_3 6	Demirjian_Estadio_3 7	medição_apex_3 1	comprimento_vertical_3 1
97	0,2837	0,4188	0,0727	0,5079	1,4299	1	1,43	H	G	F	F	E	G	E		
98	0,0703	0,1021	0,0000	0,2229	0,4456	3	1,34	H	H	G	G	F	H	F		
99	0,5353	0,6950	0,0994	1,1462	3,0577	1	3,06	H	F	E	E	D	G	D		
100	0,1483	0,4018	0,0000	0,4074	1,0921	3	3,28	H	H	F	F	E	H	E		
101	0,4454	0,3807	0,1181	0,8828	2,1205	1	2,12	H	G	E	E	E	G	D		
102	0,0000	0,0272	0,0000	0,1013	0,1285	5	0,64	H	H	H	H	G	H	G		
103	0,0000	0,0322	0,0000	0,0892	0,1214	5	0,61	H	H	H	H	G	H	G		
104	0,0000	0,0000	0,0000	0,0633	0,0633	6	0,38	H	H	H	H	H	H	G		
105	0,0000	0,2168	0,0000	0,0537	0,2705	5	1,35	H	H	H	H	E	H	G		
106	0,0000	0,0927	0,0000	0,0225	0,1152	5	0,58	H	H	H	H	E	H	G		
107	0,5315	0,8489	0,0762	1,0630	3,0423	0	0,00	G	F	E	E	D	G	D	0,3930	18,6670
108	0,0000	0,0000	0,0000	0,0000	0,0000		0,00	H	H	G	F	F	G	F		
109	0,6213	0,7947	0,0655	1,1399	3,3682	0	0,00	G	E	E	D	D	G	D	1,0000	20,8170
110	0,3886	0,5803	0,0234	0,8343	2,2303	1	2,23	H	G	F	E	E	G	D		
111	0,2424	0,3653	0,0000	0,3763	1,1527	3	3,46	H	H	F	E	E	H	E		
112	0,3722	0,5347	0,0384	1,1121	2,5163	0	0,00	G	F	E	E	D	G	D	0,8110	22,4240
113	0,0248	0,0968	0,2168	0,0000	0,4118	4	1,65	H	H	G	G	F	H	F		
114	0,0000	0,0000	0,0000	0,0000	0,0000		0,00	G	F	E	E	E	G	D	0,2700	21,3710
115	0,0620	0,1805	0,0000	0,2264	0,5439	3	1,63	H	H	F	F	F	H	F		
116	0,0000	0,0000	0,0000	0,0000	0,0000	7	0,00	H	H	H	G	H	H	H		
117	0,0000	0,0469	0,0000	0,0000	0,0874	5	0,44	H	H	G	H	G	H	G		
118	0,0351	0,0334	0,0000	0,3020	0,4139	3	1,24	H	H	G	G	F	H	E		
119	0,0000	0,0237	0,0000	0,0562	0,0799	5	0,40	H	H	H	H	G	H	G		
120	0,0000	0,0170	0,0000	0,0424	0,0594	5	0,30	H	H	H	H	G	H	G		
121	0,4963	0,7053	0,1458	1,2076	3,1036	0	0,00	G	F	E	E	D	F	D	0,8110	18,9770
122	0,5033	0,3564	0,0313	0,7788	1,9915	1	1,99	H	G	F	E	E	G	D		
123	0,0295	0,0509	0,0000	0,1045	0,2119	3	0,64	H	H	G	G	G	H	G		
124	0,1372	0,3700	0,0000	0,2868	1,0413	3	3,12	H	H	F	F	E	H	F		
125	0,3490	0,4662	0,0675	0,4764	1,6860	1	1,69	H	G	E	E	D	G	E		
126	0,0000	0,0000	0,0000	0,0000	0,0000		0,00	H	H	F	F	F	H	F		
127	0,0000	0,0432	0,0000	0,0646	0,1527	4	0,61	H	H	G	H	G	H	G		
128	0,3326	0,5945	0,0541	1,2215	2,4865	1	2,49	H	G	F	E	D	G	D		

N	x4_44	x5_45	x6_46	x7_47	S_4Q	N0_4Q	s_N0_4Q	Demirjian_Estadio_3 1	Demirjian_Estadio_3 2	Demirjian_Estadio_3 3	Demirjian_Estadio_3 4	Demirjian_Estadio_3 5	Demirjian_Estadio_3 6	Demirjian_Estadio_3 7	medição_apex_3 1	comprimento_vertical_3 1
129	0,0000	0,0554	0,0000	0,1523	0,2077	5	1,04	H	H	H	H	F	H	F		
130	0,0000	0,0000	0,0000	0,0426	0,0426	6	0,26	H	H	H	H	H	H	G		
131	0,0945	0,0349	0,0000	0,1980	0,3620	3	1,09	H	H	G	F	F	H	F		
132	0,0000	0,0000	0,0000	0,0000	0,0000		0,00	G	F	E	E	E	G	D	0,7490	20,4990
133	0,0304	0,0251	0,0000	0,1315	0,2027	3	0,61	H	H	G	H	F	H	G		
134	0,3097	0,4176	0,0000	0,5716	1,5780	2	3,16	H	G	F	E	E	H	E		
135	0,0525	0,0524	0,0000	0,1652	0,3044	3	0,91	H	H	G	G	F	H	G		
136	0,3403	0,4892	0,0000	0,7794	1,9426	2	3,89	H	G	E	E	E	H	D		
137	0,0000	0,0000	0,0000	0,0000	0,0000		0,00	H	G	F	F	F	H	E		
138	0,0244	0,0386	0,0000	0,0935	0,2234	3	0,67	H	H	G	G	H	H	G		
139	0,0000	0,0222	0,0000	0,0648	0,1366	4	0,55	H	H	G	H	H	H	G		
140	0,0352	0,0632	0,0000	0,1632	0,3179	3	0,95	H	H	G	H	G	H	G		
141	0,1053	0,1463	0,0000	0,3113	0,7059	3	2,12	H	H	F	F	F	H	G		
142	0,0000	0,0000	0,0000	0,0811	0,0811	6	0,49	H	H	H	H	H	H	G		
143	0,0000	0,0000	0,0000	0,0473	0,0473	6	0,28	H	H	H	H	H	H	G		
144	0,0000	0,0000	0,0000	0,0000	0,0000		0,00	H	H	F	E	E	H	D		
145	0,0387	0,2088	0,3249	0,2666	0,8391	3	2,52	H	G	G	F	E	H	F		
146	0,0696	0,1343	0,2527	0,2105	0,6671	3	2,00	H	H	G	F	F	H	F		
147	0,3725	0,5706	0,0765	0,6420	1,8712	2	3,74	H	H	F	E	E	G	D		
148	0,3638	0,3824	0,0000	0,7421	1,6837	3	5,05	H	H	F	E	E	H	D		
149	0,7191	0,7620	0,2187	1,2115	3,8371	0	0,00	F	F	E	D	D	F	C	1,5710	18,4990
150	0,0896	0,1298	0,0000	0,2483	0,5839	3	1,75	H	H	G	G	F	H	F		
151	0,0000	0,0314	0,0000	0,0616	0,0930	5	0,46	H	H	H	G	G	H	G		
152	0,3619	0,7171	0,1981	0,9694	2,4561	1	2,46	H	G	F	E	D	G	D		
153	0,0000	0,0000	0,0000	0,0000	0,0000	7	0,00	H	H	H	H	G	H	H		
154	0,0324	0,0548	0,0000	0,0533	0,2220	3	0,67	H	H	G	G	F	H	G		
155	0,0294	0,0420	0,0000	0,2088	0,3226	3	0,97	H	H	G	G	G	H	G		
156	0,0161	0,0229	0,0000	0,1535	0,1925	4	0,77	H	H	H	G	G	H	G		
157	0,0000	0,0000	0,0000	0,0000	0,0000		0,00	H	G	F	F	F	H	F		
158	0,1580	0,2303	0,0000	0,2248	0,6795	3	2,04	H	H	G	F	F	H	F		
159	0,0948	0,1736	0,0000	0,2572	0,5983	3	1,79	H	H	G	F	F	H	F		
160	0,0000	0,0000	0,0000	0,0000	0,0000		0,00	H	H	G	F	F	H	F		

N	x4_44	x5_45	x6_46	x7_47	S_4Q	N0_4Q	s_N0_4Q	Demirjian_Estadio_3 1	Demirjian_Estadio_3 2	Demirjian_Estadio_3 3	Demirjian_Estadio_3 4	Demirjian_Estadio_3 5	Demirjian_Estadio_3 6	Demirjian_Estadio_3 7	medição_apex_3 1	comprimento_vertical_3 1
161	0,1536	0,2458	0,0000	0,2646	0,7882	3	2,36	H	H	G	F	F	G	E		
162	0,0000	0,0219	0,0000	0,0818	0,1037	5	0,52	H	H	H	H	G	H	G		
163	0,0000	0,0000	0,0000	0,0955	0,0955	6	0,57	H	H	H	H	H	H	G		
164	0,0650	0,1295	0,0000	0,2028	0,5912	3	1,77	H	G	F	F	F	H	F		
165	0,0000	0,0317	0,0000	0,0660	0,0977	5	0,49	H	H	H	H	G	H	G		
166	0,4510	0,6331	0,0534	1,1027	2,6264	0	0,00	G	F	E	E	D	G	D	1,0000	19,1120
167	0,0219	0,0133	0,0000	0,0517	0,1002	3	0,30	H	H	G	G	G	H	G		
168	0,0000	0,0000	0,0000	0,0000	0,0000		0,00	H	G	E	E	D	G	E		
169	0,1774	0,4306	0,0000	0,3329	1,1171	2	2,23	H	G	F	E	E	H	E		
170	0,1261	0,1598	0,0000	0,1044	0,4641	3	1,39	H	H	G	F	F	H	F		
171	0,0735	0,2046	0,0000	0,2321	0,6251	3	1,88	H	G	F	F	F	H	F		
172	0,0416	0,1232	0,0000	0,0936	0,3209	3	0,96	H	H	G	G	F	H	F		
173	0,0188	0,0658	0,0000	0,0668	0,1774	3	0,53	H	H	G	G	F	H	G		
174	0,1422	0,1911	0,0000	0,3579	0,7893	3	2,37	H	G	F	F	F	H	E		
175	0,4869	0,8345	0,0735	1,1377	3,4064	0	0,00	G	F	E	E	E	G	D	0,5000	21,0240
176	0,0981	0,2738	0,0000	0,2373	0,7943	3	2,38	H	H	F	F	E	H	F		
177	0,0382	0,0464	0,0000	0,0000	0,1009	4	0,40	H	H	G	F	F	H	H		
178	0,0403	0,0549	0,0000	0,0859	0,1810	4	0,72	H	H	H	G	F	H	G		
179	0,0239	0,0288	0,0000	0,0465	0,0992	4	0,40	H	H	H	G	F	H	H		
180	0,4478	0,4924	0,0550	1,0130	2,3897	1	2,39	H	G	E	E	D	G	D		
181	0,2588	0,3320	0,0000	0,2731	1,0977	3	3,29	H	H	F	F	E	H	F		
182	0,5739	0,8554	0,1757	1,3611	3,7309	0	0,00	G	F	E	E	D	G	D	0,4550	20,2000
183	0,3558	0,5896	0,0334	0,9011	2,2806	1	2,28	H	G	F	E	E	G	D		
184	0,0413	0,1762	0,0000	0,1991	0,4509	3	1,35	H	H	G	F	F	H	F		
185	0,4818	0,5990	0,0459	1,1110	2,8753	0	0,00	G	F	E	E	D	G	D	0,5000	18,2520
186	0,0232	0,0228	0,0000	0,0862	0,1322	4	0,53	H	H	H	G	G	H	G		
187	0,1581	0,2061	0,0000	0,2201	0,7059	3	2,12	H	H	F	F	F	H	F		
188	0,3462	0,6637	0,0000	0,8149	1,9607	2	3,92	H	G	F	E	E	H	D		
189	0,2950	0,2912	0,0154	0,4061	1,1054	2	2,21	H	H	G	F	E	G	E		
190	0,0481	0,0618	0,0000	0,1702	0,2800	4	1,12	H	H	H	G	F	H	F		
191	0,0000	0,0255	0,0000	0,1395	0,1651	5	0,83	H	H	H	G	G	H	F		
192	0,3469	0,5980	0,0000	0,4985	1,6522	3	4,96	H	H	F	F	E	H	E		

N	x4_44	x5_45	x6_46	x7_47	S_4Q	N0_4Q	s_N0_4Q	Demirjian_Estadio_3 1	Demirjian_Estadio_3 2	Demirjian_Estadio_3 3	Demirjian_Estadio_3 4	Demirjian_Estadio_3 5	Demirjian_Estadio_3 6	Demirjian_Estadio_3 7	medição_apex_3 1	comprimento_vertical_3 1
193	0,3408	0,3801	0,0568	0,8710	1,8652	0	0,00	G	G	F	E	E	G	D	0,5050	24,7470
194	0,0000	0,0000	0,0000	0,0000	0,0000		0,00	G	G	F	F	D	G	E	0,3030	27,1720
195	0,5917	0,7962	0,0790	0,9244	3,3647	0	0,00	G	F	F	E	D	G	D	0,8570	19,6330
196	0,2837	0,4706	0,0219	0,6519	1,7209	1	1,72	H	G	F	E	D	G	D		
197	0,2699	0,2376	0,0573	0,3807	1,1209	0	0,00	G	G	E	E	E	G	E	0,9950	23,8320
198	0,0896	0,1799	0,0000	0,3206	0,7180	3	2,15	H	H	F	F	F	G	E		
199	0,3702	0,8182	0,1811	0,9143	2,6633	0	0,00	G	F	E	E	D	G	D	1,3130	18,9900
200	0,1751	0,1392	0,0000	0,1405	0,5872	3	1,76	H	H	F	F	F	H	F		
201	0,0284	0,0303	0,0000	0,0662	0,2040	3	0,61	H	H	G	G	G	H	G		
202	0,1959	0,2005	0,0000	0,1984	0,7187	3	2,16	H	H	F	F	F	H	E		
203	0,0684	0,1569	0,0000	0,1922	0,5395	3	1,62	H	H	G	G	G	H	F		
204	0,2063	0,3585	0,0533	0,3055	1,1767	0	0,00	G	G	F	E	E	G	E	0,2780	24,2590
205	0,1060	0,2092	0,0674	0,1803	0,6826	0	0,00	G	G	G	F	F	G	F	0,2260	24,7470
206	0,0478	0,1430	0,0213	0,1277	0,4101	0	0,00	G	G	G	G	G	H	F	0,1010	26,2630
207	0,0194	0,0631	0,0330	0,0871	0,2511	0	0,00	G	G	G	G	G	H	G	0,2020	21,6160
208	0,1961	0,4563	0,0418	0,4260	1,3285	2	2,66	H	G	F	E	E	G	E		
209	0,0655	0,2226	0,0176	0,1955	0,6749	2	1,35	H	H	G	F	E	G	F		
210	0,0858	0,2559	0,0201	0,2376	0,7826	2	1,57	H	H	F	F	E	G	F		
211	0,0329	0,0888	0,0000	0,0900	0,2337	3	0,70	H	H	G	G	F	H	G		
212	0,0000	0,0796	0,0000	0,0504	0,1555	4	0,62	H	H	G	G	F	H	G		
213	0,3613	0,3627	0,0573	1,0318	2,1760	0	0,00	G	G	E	E	E	G	D	0,3170	30,4760
214	0,0606	0,0916	0,0000	0,1266	0,3160	3	0,95	H	H	G	G	G	H	G		
215	0,0670	0,0678	0,0379	0,2623	0,4653	2	0,93	H	H	G	G	F	G	F		
216	0,3371	0,2807	0,0543	0,6676	1,5170	2	3,03	H	H	F	E	E	G	D		
217	0,0366	0,0896	0,0000	0,1811	0,5786	3	1,74	G	G	G	G	G	H	G	1,1160	19,5740
218	0,0000	0,0000	0,0000	0,0607	0,0607	6	0,36	H	H	H	H	H	H	G		
219	0,0000	0,0000	0,0000	0,0391	0,0391	6	0,23	H	H	H	H	H	H	G		
220	0,0000	0,0000	0,0000	0,0000	0,0000		0,00	G	G	F	F	E	G	E	0,4760	24,2860
221	0,3313	0,3784	0,0835	0,8744	1,9762	0	0,00	G	G	E	E	F	G	D	0,4950	20,8130
222	0,3176	1,0582	0,2552	1,2606	3,2814	0	0,00	G	F	E	E	D	G	D	0,5950	20,3570
223	0,2779	0,6403	0,1032	0,5327	1,8008	0	0,00	G	G	E	E	E	G	E	0,3030	24,8450
224	0,1549	0,5142	0,1408	0,2955	1,2398	1	1,24	H	G	F	E	D	G	E		

N	x4_44	x5_45	x6_46	x7_47	S_4Q	N0_4Q	s_N0_4Q	Demirjian_Estadio_3 1	Demirjian_Estadio_3 2	Demirjian_Estadio_3 3	Demirjian_Estadio_3 4	Demirjian_Estadio_3 5	Demirjian_Estadio_3 6	Demirjian_Estadio_3 7	medição_apex_3 1	comprimento_vertical_3 1
225	0,0000	0,0000	0,0000	0,0000	0,0000		0,00	H	H	G	G	F	H	F		
226	0,5210	0,3656	0,0863	0,8854	2,3253	0	0,00	G	G	E	E	D	G	D	2,0040	18,3340
227	0,3410	0,3142	0,0100	0,4004	1,3757	0	0,00	G	G	F	E	E	G	E	0,2260	22,1210
228	0,4625	0,5509	0,1747	1,1998	2,9715	0	0,00	G	F	E	E	D	G	D	1,6690	21,7460
229	0,2223	0,2980	0,0443	0,3733	1,0711	1	1,07	H	G	G	E	E	G	E		
230	0,3223	0,3851	0,0822	1,1301	2,3284	0	0,00	G	G	E	E	E	G	D	0,5050	22,9290
231	0,2228	0,2661	0,0254	0,7956	1,6218	0	0,00	G	G	F	E	E	G	E	0,1010	27,8480
232	0,0196	0,0818	0,0000	0,2498	0,6016	3	1,80	H	H	G	G	F	H	G		
233	0,0000	0,0320	0,0000	0,0971	0,1885	4	0,75	H	H	G	H	G	H	G		
234	0,4028	0,6496	0,1652	0,9320	2,4090	0	0,00	G	G	F	E	D	G	D	0,2020	25,5760
235	0,0304	0,2279	0,0214	0,2653	0,5787	2	1,16	H	H	G	G	F	G	E		
236	0,0628	0,1437	0,0000	0,1992	0,4414	3	1,32	H	H	G	G	F	H	F		
237	0,3491	0,4362	0,0662	1,0325	2,0921	0	0,00	G	G	F	E	D	G	D	0,2380	21,7860
238	0,0285	0,0894	0,0000	0,1511	0,3092	3	0,93	H	H	G	G	F	H	G		
239	0,6805	0,6097	0,1472	0,5312	2,4909	0	0,00	G	G	E	E	D	G	D	0,2020	18,9900
240	0,2568	0,3787	0,1470	0,4599	1,7501	0	0,00	G	G	F	F	F	G	E	0,5050	27,5760
241	0,5961	0,5000	0,1057	1,0125	2,9130	0	0,00	G	F	E	E	E	G	D	0,4270	21,2840
242	0,1857	0,4365	0,0794	0,2914	1,1331	0	0,00	G	G	G	F	E	G	F	0,3570	21,5480
243	0,2806	0,4809	0,1104	0,4990	1,4931	2	2,99	G	G	F	F	E	H	E	0,4760	19,7620
244	0,0000	0,0000	0,0000	0,0000	0,0000		0,00	H	H	G	G	G	H	G		
245	0,3490	0,3866	0,0171	0,8854	1,8652	1	1,87	H	G	F	E	E	G	D		
246	0,4830	0,6566	0,1233	1,1151	2,8657	0	0,00	G	F	E	E	E	G	D	0,2020	20,2020
247	0,4047	0,6931	0,0338	0,6891	2,5740	0	0,00	G	F	E	E	E	G	D	2,5310	22,2390
248	0,1148	0,0001	0,0305	0,1606	0,3958	1	0,40	G	G	G	F	F	G	E	0,6740	21,0190
249	0,0136	0,0557	0,0000	0,0542	0,1236	4	0,49	H	H	H	G	G	H	G		
250	0,3871	0,5657	0,0566	0,7626	2,0214	1	2,02	H	G	F	E	E	G	E		
251	0,2393	0,3726	0,0000	0,2673	1,0508	3	3,15	H	H	F	G	F	H	F		
252	0,4418	0,5112	0,2741	1,0186	2,7054	0	0,00	G	F	E	E	E	G	D	0,7710	21,2200
253	0,1611	0,1668	0,0000	0,2162	0,6359	3	1,91	H	H	F	F	F	H	F		
254	0,2417	0,2630	0,1353	0,4511	1,4182	0	0,00	G	G	G	F	F	G	E	1,1410	21,1380
255	0,1308	0,1643	0,0991	0,3055	0,8480	0	0,00	G	G	G	F	F	G	F	0,5560	22,1300
256	0,0000	0,0213	0,0000	0,1441	0,2704	4	1,08	H	H	G	G	G	H	G		

N	x4_44	x5_45	x6_46	x7_47	S_4Q	N0_4Q	s_N0_4Q	Demirjian_Estadio_3 1	Demirjian_Estadio_3 2	Demirjian_Estadio_3 3	Demirjian_Estadio_3 4	Demirjian_Estadio_3 5	Demirjian_Estadio_3 6	Demirjian_Estadio_3 7	medição_apex_3 1	comprimento_vertical_3 1
257	0,3900	0,4662	0,0872	0,5429	1,8042	0	0,00	G	G	F	E	E	G	D	0,5590	19,1470
258	0,2000	0,2708	0,0553	0,3408	1,1242	0	0,00	G	G	G	F	F	G	E	0,3790	21,3640
259	0,0000	0,0182	0,0000	0,0000	0,0581	5	0,29	H	H	G	H	G	H	H		
260	0,3397	0,4320	0,0823	0,5894	1,7476	0	0,00	G	G	F	F	E	G	D	0,1190	25,9520
261	0,5191	0,3924	0,2689	1,0658	3,0816	0	0,00	G	F	E	E	D	G	D	1,3170	22,7270
262	0,2195	0,4424	0,0692	0,8430	2,0176	0	0,00	G	F	F	E	E	G	E	0,7500	22,2500
263	0,0616	0,0817	0,0000	0,0588	0,2436	3	0,73	H	H	G	H	G	H	G		
264	0,0000	0,0162	0,0000	0,0227	0,1017	4	0,41	H	H	G	H	G	H	G		
265	0,2063	0,4255	0,0857	0,4621	1,5366	0	0,00	G	G	F	E	E	G	E	0,4290	24,9490
266	0,2508	0,1965	0,0528	0,2925	1,0096	0	0,00	G	G	G	F	F	G	F	0,7610	19,9250
267	0,0074	0,0044	0,0000	0,0156	0,0726	3	0,22	H	H	G	G	G	H	G		
268	0,0118	0,0789	0,0382	0,0629	0,2431	2	0,49	H	H	G	G	G	H	G		
269	0,3234	0,3041	0,0000	0,5091	1,3098	3	3,93	H	H	F	E	E	H	G		
270	0,1474	0,1481	0,0000	0,2688	0,6858	3	2,06	H	H	G	F	F	H	G		
271	0,0000	0,0000	0,0000	0,0960	0,0960	6	0,58	H	H	H	H	G	H	G		
272	0,6441	0,9414	0,1443	1,0312	3,3581	0	0,00	G	F	E	E	D	G	D	0,8970	18,2140
273	0,0454	0,0812	0,0000	0,1190	0,3367	1	0,34	G	G	G	G	G	H	G	0,4040	10,2020
274	0,0118	0,0215	0,0000	0,1033	0,2012	3	0,60	G	H	G	G	G	H	G	0,6140	23,1820
275	0,3999	0,5184	0,0660	1,0993	2,6044	0	0,00	G	G	E	E	E	G	D	0,2020	22,9290
276	0,3169	0,1941	0,0516	0,5956	1,4423	1	1,44	H	G	F	F	F	G	E		
277	0,2673	0,4431	0,0543	0,7009	1,6747	1	1,67	H	G	F	E	E	G	D		
278	0,0000	0,0106	0,0000	0,0972	0,1078	5	0,54	H	H	H	G	G	H	G		
279	0,5630	0,4170	0,1288	0,9407	2,3821	0	0,00	G	F	E	E	E	G	D	0,5050	26,8690
280	0,2670	0,3443	0,0463	0,5429	1,4130	2	2,83	H	H	F	E	E	G	D		
281	0,2096	0,4793	0,0466	0,9741	1,8938	1	1,89	H	G	F	E	E	G	D		
282	0,5547	0,2173	0,0380	0,2147	1,1295	2	2,26	H	H	G	F	F	H	F		
283	0,1058	0,1301	0,0000	0,1365	0,4179	3	1,25	H	H	G	F	F	H	G		
284	0,0000	0,0265	0,0000	0,0634	0,0899	5	0,45	H	H	H	H	G	H	G		
285	0,0000	0,0000	0,0000	0,0000	0,0000		0,00	G	G	F	E	E	G	D	0,3030	24,0620
286	0,5349	0,5812	0,2547	1,3309	3,3374	0	0,00	G	F	E	E	D	G	D	2,0880	17,5540
287	0,0000	0,0000	0,0000	0,0000	0,0000		0,00	G	G	E	E	E	G	E	0,2020	16,0010
288	0,3429	0,4653	0,0968	0,8968	2,1870	0	0,00	G	G	E	E	E	G	D	0,1010	19,5960

N	x4_44	x5_45	x6_46	x7_47	S_4Q	N0_4Q	s_N0_4Q	Demirjian_Estadio_3 1	Demirjian_Estadio_3 2	Demirjian_Estadio_3 3	Demirjian_Estadio_3 4	Demirjian_Estadio_3 5	Demirjian_Estadio_3 6	Demirjian_Estadio_3 7	medição_apex_3 1	comprimento_vertical_3 1
289	0,0000	0,0000	0,0000	0,0000	0,0000		0,00	G	G	F	F	F	H	F	0,2260	18,1820
290	0,1831	0,1980	0,0000	0,2187	0,9854	1	0,99	G	G	F	F	F	H	F	0,5440	20,7990
291	0,1397	0,1130	0,0000	0,1499	0,5736	3	1,72	H	G	G	F	F	H	G		
292	0,4845	0,7074	0,1832	0,9764	3,0957	0	0,00	G	F	E	E	E	G	D	1,5150	21,4270
293	0,1111	0,1538	0,0000	0,2479	0,6032	3	1,81	H	H	G	F	F	H	F		
294	0,5903	0,5477	0,1303	1,2862	3,2761	0	0,00	G	F	E	E	D	G	D	0,8080	22,4240
295	0,6998	0,5078	0,0921	0,7543	2,3442	0	0,00	G	G	F	E	E	G	D	0,7890	22,4750
296	0,3394	0,6584	0,1273	1,0492	2,5186	0	0,00	G	G	F	E	E	G	D	0,6060	25,5560
297	0,0000	0,0000	0,0000	0,0000	0,0000		0,00	H	H	G	F	F	G	F		
298	0,0000	0,0000	0,0000	0,0000	0,0000		0,00	H	H	G	G	F	H	E		
299	0,1822	0,1575	0,0167	0,3184	0,8532	1	0,85	H	G	G	F	F	H	E		
300	0,1371	0,1452	0,0000	0,2568	0,6855	3	2,06	H	H	G	F	F	H	F		
301	0,2751	0,2155	0,0440	0,3915	1,0737	2	2,15	H	H	G	F	F	H	E		
302	0,0000	0,0000	0,0000	0,0000	0,0000		0,00	H	G	G	G	F	G	E		
303	0,0490	0,1270	0,0000	0,2740	0,5338	3	1,60	H	H	G	G	F	H	F		
304	0,1354	0,1453	0,0478	0,2537	0,8387	2	1,68	H	H	G	G	F	G	F		
305	0,0337	0,1158	0,0000	0,1638	0,3631	3	1,09	H	H	G	G	G	H	G		
306	0,2858	0,4385	0,1340	0,6865	1,7198	1	1,72	H	G	G	E	E	G	E		
307	0,6406	0,8908	0,2796	1,4240	4,0856	0	0,00	G	F	D	D	D	G	D	1,3640	18,6360
308	0,4723	0,4906	0,0703	1,0248	2,5619	0	0,00	G	G	F	E	E	G	D	0,9580	19,2440
309	0,0849	0,1986	0,0000	0,2828	0,6471	3	1,94	H	H	G	F	F	H	G		
310	0,0000	0,1104	0,0000	0,0985	0,2089	5	1,04	H	H	H	H	G	H	G		
311	0,2029	0,2545	0,0349	0,3738	1,0928	0	0,00	G	H	F	F	F	G	E	0,2020	21,4140
312	0,5739	1,0589	0,0548	0,8192	2,8855	1	2,89	H	G	F	E	E	G	D		
313	0,2240	0,1829	0,0580	0,2721	0,9619	0	0,00	G	G	G	F	F	G	F	0,3600	20,3600
314	0,0000	0,0000	0,0000	0,0000	0,0000	7	0,00	H	H	H	H	H	H	H		
315	0,1405	0,2325	0,0000	0,2346	0,6830	3	2,05	H	H	G	F	F	H	F		
316	0,0142	0,1061	0,0000	0,1610	0,2813	4	1,13	H	H	H	G	G	H	G		
317	0,1677	0,3403	0,0892	0,3042	1,2454	0	0,00	G	G	G	F	F	G	E	0,6250	24,2040
318	0,1655	0,2062	0,0000	0,2259	0,8106	3	2,43	H	H	G	G	F	H	G		
319	0,5665	0,5012	0,1901	1,1036	2,7954	0	0,00	G	F	E	E	D	G	D	1,3130	20,8080
320	0,3246	0,4699	0,1025	0,2746	1,3824	0	0,00	G	G	G	E	E	G	F	0,1010	25,1520

N	x4_44	x5_45	x6_46	x7_47	S_4Q	N0_4Q	s_N0_4Q	Demirjian_Estadio_3 1	Demirjian_Estadio_3 2	Demirjian_Estadio_3 3	Demirjian_Estadio_3 4	Demirjian_Estadio_3 5	Demirjian_Estadio_3 6	Demirjian_Estadio_3 7	medição_apex_3 1	comprimento_vertical_3 1
321	0,0000	0,0000	0,0000	0,0000	0,0000		0,00	H	H	H	G	G	H	G		
322	0,2286	0,2433	0,0263	0,5191	1,1282	1	1,13	H	G	F	E	E	G	E		
323	0,0000	0,0000	0,0000	0,0516	0,0516	6	0,31	H	H	H	H	H	H	G		
324	0,4304	0,4557	0,1121	1,0078	2,5046	0	0,00	G	G	F	E	E	G	D	1,1540	23,6360
325	0,3453	0,3405	0,0646	0,5344	1,7002	0	0,00	G	G	F	E	E	G	D	0,2020	23,3230
326	0,3873	0,4562	0,0217	0,5535	1,7394	0	0,00	G	G	F	E	E	G	E	0,6390	20,8150
327	0,2942	0,2956	0,0929	0,4690	1,3230	1	1,32	H	H	F	E	E	G	E		
328	0,2916	0,4134	0,0711	0,7581	1,7775	1	1,78	G	G	F	E	E	G	D	0,1010	29,6590
329	0,3112	0,1549	0,0628	0,3959	1,1888	0	0,00	G	G	F	E	E	G	E	0,3030	24,1410
330	0,2935	0,4966	0,0241	0,8651	1,8721	1	1,87	G	G	F	E	E	G	D	1,0150	21,2120
331	0,0000	0,0000	0,0000	0,0000	0,0000		0,00	H	G	G	F	F	G	E		
332	0,3893	0,4544	0,0892	0,9091	2,1255	0	0,00	G	G	F	E	E	G	D	1,0000	22,2730
333	0,1848	0,2666	0,0000	0,2872	0,9095	2	1,82	H	G	G	F	F	H	G		
334	0,5581	0,6063	0,1614	0,7717	2,8256	0	0,00	G	G	E	E	E	G	D	0,5710	21,1580
335	0,3162	0,4719	0,0487	0,8980	2,2174	0	0,00	G	G	F	E	E	G	D	1,1820	20,2560
336	0,3226	0,4561	0,0000	0,5105	1,5269	1	1,53	G	G	F	E	E	G	E	0,1220	18,9020
337	0,3012	0,3061	0,0000	0,2371	1,1203	2	2,24	H	G	F	F	F	H	G		
338	0,5197	0,5582	0,2065	0,7563	2,9085	0	0,00	G	F	E	E	D	G	D	1,5990	17,1280
339	0,2665	0,4147	0,1454	0,8639	1,9051	1	1,91	H	G	F	E	E	G	E		
340	0,0000	0,0000	0,0000	0,0743	0,0743	6	0,45	H	H	H	H	H	H	G		
341	0,0000	0,0000	0,0000	0,0000	0,0000	7	0,00	H	H	H	H	H	H	G		
342	0,4084	0,7200	0,1352	0,9737	2,7364	0	0,00	G	F	E	E	E	G	D	1,2950	29,6970
343	0,0000	0,0000	0,0000	0,0000	0,0000		0,00	G	G	F	E	E	G	D	0,6730	17,9770
344	0,4727	0,6219	0,0470	0,7435	2,3616	0	0,00	G	G	F	E	D	G	D	0,3030	20,3030
345	0,0000	0,0000	0,0000	0,0000	0,0000		0,00	H	H	G	G	F	H	F		
346	0,8177	1,1315	0,2119	1,3678	4,6755	0	0,00	G	F	D	D	D	G	D	2,1210	18,7950
347	0,0194	0,0544	0,0000	0,0972	0,2179	3	0,65	H	H	G	G	G	H	G		
348	0,3142	0,3613	0,0607	1,0903	2,0540	0	0,00	G	G	F	E	E	G	D	0,3030	20,4900
349	0,0000	0,0472	0,0000	0,0573	0,1044	5	0,52	H	H	H	G	G	H	G		
350	0,1667	0,2946	0,0000	0,6937	1,3706	2	2,74	H	G	F	F	E	H	D		
351	0,5477	0,7477	0,1387	1,2904	3,1248	0	0,00	G	G	F	E	D	G	D	0,3390	25,5160
352	0,0618	0,1184	0,0000	0,2378	0,4715	3	1,41	H	H	G	G	F	H	G		

N	x4_44	x5_45	x6_46	x7_47	S_4Q	N0_4Q	s_N0_4Q	Demirjian_Estadio_3 1	Demirjian_Estadio_3 2	Demirjian_Estadio_3 3	Demirjian_Estadio_3 4	Demirjian_Estadio_3 5	Demirjian_Estadio_3 6	Demirjian_Estadio_3 7	medição_apex_3 1	comprimento_vertical_3 1
353	0,2483	0,3328	0,0639	0,7711	1,6602	0	0,00	G	G	F	E	E	G	D	0,1790	22,1430
354	0,1809	0,2650	0,0958	0,6494	1,4719	1	1,47	G	G	F	E	E	G	D	0,1520	22,3600
355	0,0848	0,2415	0,0000	0,1885	0,6792	3	2,04	H	H	G	G	G	H	G		
356	0,0000	0,0154	0,0000	0,0172	0,0326	5	0,16	H	H	H	G	G	H	G		
357	0,4674	0,7059	0,1587	1,3075	3,4427	0	0,00	G	F	E	E	D	G	D	3,2140	20,4550
358	0,0000	0,0000	0,0000	0,0000	0,0000	7	0,00	H	H	H	H	H	H	H		
359	0,0000	0,0000	0,0000	0,0000	0,0000	7	0,00	H	H	H	H	H	H	G		
360	0,3594	0,5022	0,1914	1,4197	2,9072	0	0,00	G	G	E	E	D	E	D	0,5050	16,8880
361	0,1054	0,1318	0,0000	0,2141	0,5074	2	1,01	H	G	G	F	G	H	G		
362	0,3763	0,5395	0,1268	1,1482	2,7812	0	0,00	G	F	E	E	E	G	D	1,2120	20,5000
363	0,1905	0,2136	0,0000	0,2532	0,7702	3	2,31	H	H	G	F	F	G	E		
364	0,6744	0,6660	0,1296	1,1780	3,5072	0	0,00	G	F	F	E	E	G	D	2,3160	22,9280
365	0,3387	0,5950	0,0000	1,1532	2,3213	1	2,32	G	G	F	E	D	G	D	0,2260	21,2120
366	0,1868	0,3446	0,1477	0,9882	1,9722	0	0,00	G	G	F	E	D	G	D	0,1010	24,4440
367	0,1861	0,3415	0,0543	0,7297	1,6126	1	1,61	H	G	F	E	E	G	D		
368	0,0000	0,0000	0,0000	0,0000	0,0000		0,00	H	H	F	F	F	G	E		
369	0,5094	0,5370	0,1511	0,9390	2,6898	0	0,00	G	G	F	D	D	G	D	0,6060	17,8810
370	0,4307	0,4221	0,0160	0,8162	2,0697	0	0,00	G	G	F	E	E	G	D	0,4290	21,1770
371	0,0954	0,0647	0,0000	0,0721	0,2937	3	0,88	H	H	G	G	G	H	G		
372	0,0000	0,0638	0,0000	0,0460	0,1860	4	0,74	H	H	G	G	G	H	G		
373	0,3759	0,4867	0,0814	1,0619	2,3136	0	0,00	G	G	F	E	D	G	D	0,1010	23,7510
374	0,4264	0,6511	0,0864	0,8072	2,2022	0	0,00	G	G	F	E	D	G	E	0,4550	22,0330
375	0,5071	0,4370	0,0765	0,5006	1,6547	2	3,31	H	H	G	F	E	G	D		
376	0,4597	0,3342	0,0890	0,9713	2,2908	0	0,00	G	G	E	E	E	G	D	0,3030	24,6020
377	0,0000	0,0227	0,0000	0,0184	0,0411	5	0,21	H	H	H	G	G	H	G		
378	0,0644	0,0752	0,0000	0,2442	0,4962	3	1,49	H	H	G	G	F	H	F		
379	0,0120	0,0231	0,0000	0,1840	0,3183	3	0,95	H	H	G	G	G	H	G		
380	0,1943	0,5997	0,0584	0,6563	1,8422	0	0,00	G	G	F	F	E	G	D	0,1630	25,3140
381	0,1603	0,3714	0,0000	0,3215	0,9387	3	2,82	H	H	G	F	F	H	F		
382	0,0114	0,2740	0,0000	0,2443	0,5493	3	1,65	H	H	G	G	G	H	G		
383	0,3482	0,2655	0,0423	0,4951	1,3013	1	1,30	G	F	F	E	E	G	E	0,1140	25,5810
384	0,3968	0,7325	0,1768	0,9928	2,7039	0	0,00	G	F	F	E	D	G	D	1,0770	21,5430

N	x4_44	x5_45	x6_46	x7_47	S_4Q	N0_4Q	s_N0_4Q	Demirjian_Estadio_3 1	Demirjian_Estadio_3 2	Demirjian_Estadio_3 3	Demirjian_Estadio_3 4	Demirjian_Estadio_3 5	Demirjian_Estadio_3 6	Demirjian_Estadio_3 7	medição_apex_3 1	comprimento_vertical_3 1
385	0,2049	0,3946	0,0193	0,7099	1,4241	2	2,85	H	G	F	F	F	G	E		
386	0,0000	0,0124	0,0000	0,0157	0,0669	4	0,27	H	H	G	H	G	H	G		
387	0,2429	0,3855	0,0216	0,4628	1,3776	1	1,38	H	G	F	F	E	H	E		
388	0,0707	0,1787	0,0540	0,7255	1,1787	1	1,18	H	G	G	G	F	G	D		
389	0,0000	0,0000	0,0000	0,0000	0,0000		0,00	G	F	F	E	D	G	D	0,9220	20,0570
390	0,0000	0,0000	0,0000	0,0000	0,0000		0,00	G	G	F	E	D	G	E	0,4460	23,5820
391	0,1375	0,4165	0,0134	0,3034	0,9532	2	1,91	H	H	F	F	E	H	F		
392	0,0571	0,3217	0,0000	0,2386	0,6842	3	2,05	H	H	G	G	F	H	F		
393	0,3141	0,4532	0,1005	0,6934	1,9056	0	0,00	G	G	E	E	E	G	D	0,3570	19,0820
394	0,0000	0,0000	0,0000	0,0000	0,0000	7	0,00	H	H	H	H	H	H	G		
395	0,0000	0,0000	0,0000	0,0000	0,0000	7	0,00	H	H	H	H	H	H	H		
396	0,2608	0,4593	0,1227	0,6839	2,0679	0	0,00	G	F	F	E	E	G	D	1,5000	20,0140
397	0,3963	0,6144	0,0167	0,4563	1,6062	2	3,21	H	G	F	E	E	G	E		
398	0,1563	0,3228	0,0063	0,2576	0,7782	2	1,56	H	H	G	F	E	G	F		
399	0,1389	0,3112	0,0000	0,1655	0,6249	3	1,87	H	H	G	G	F	H	G		
400	0,0573	0,1639	0,0000	0,1295	0,3507	4	1,40	H	H	G	G	F	H	G		
401	0,0000	0,1008	0,0000	0,0357	0,1365	5	0,68	H	H	H	H	G	H	G		
402	0,2749	0,2488	0,0000	0,4066	1,1676	3	3,50	H	H	F	F	F	H	E		
403	0,1130	0,1069	0,0000	0,1606	0,3851	3	1,16	H	H	G	G	F	H	G		
404	0,0175	0,0307	0,0000	0,0718	0,1298	3	0,39	H	H	G	G	G	H	G		
405	0,0094	0,0149	0,0105	0,0571	0,0983	2	0,20	H	H	G	H	G	H	G		
406	0,0000	0,0000	0,0000	0,0144	0,0144	6	0,09	H	H	H	H	H	H	G		
407	0,2686	0,3150	0,0180	0,7264	1,7737	0	0,00	G	G	F	E	E	G	D	0,1520	24,6210
408	0,2113	0,3202	0,0196	0,7106	1,6017	0	0,00	G	G	F	F	F	G	D	0,3030	27,7340
409	0,1508	0,2327	0,0121	0,7282	1,3031	2	2,61	H	G	F	F	F	G	D		
410	0,2159	0,2136	0,0088	0,2853	0,8303	1	0,83	G	H	F	F	E	G	D	0,4550	22,5550
411	0,0193	0,1291	0,0000	0,0625	0,2367	3	0,71	H	H	G	G	F	H	G		
412	0,0108	0,0961	0,0000	0,0474	0,1629	3	0,49	H	H	G	G	G	H	G		
413	0,0239	0,0805	0,0000	0,0610	0,1654	4	0,66	H	H	H	G	G	H	G		
414	0,0000	0,0171	0,0000	0,0355	0,0526	5	0,26	H	H	H	H	G	H	G		
415	0,3522	0,4120	0,0509	0,7564	2,1609	0	0,00	G	F	E	E	E	G	D	0,8880	21,3330
416	0,4336	0,4934	0,1485	0,9610	2,5751	0	0,00	F	F	E	E	D	G	D	1,3640	18,7500

N	x4_44	x5_45	x6_46	x7_47	S_4Q	N0_4Q	s_N0_4Q	Demirjian_Estadio_3 1	Demirjian_Estadio_3 2	Demirjian_Estadio_3 3	Demirjian_Estadio_3 4	Demirjian_Estadio_3 5	Demirjian_Estadio_3 6	Demirjian_Estadio_3 7	medição_apex_3 1	comprimento_vertical_3 1
417	0,2887	0,1709	0,0000	0,1759	0,9418	3	2,83	H	H	F	F	F	H	F		
418	0,0000	0,0000	0,0000	0,0000	0,0000		0,00	H	H	G	F	F	H	E		
419	0,0159	0,0407	0,0000	0,0964	0,1623	3	0,49	H	H	H	G	G	H	G		
420	0,5740	0,5787	0,0246	0,9056	2,4705	0	0,00	G	G	F	E	E	G	D	0,0760	20,3270
421	0,3768	0,7522	0,0448	1,0786	2,7259	0	0,00	G	G	E	E	E	G	D	0,4440	21,4100
422	0,1574	0,3693	0,0065	0,5036	1,2014	0	0,00	H	G	F	E	E	G	E		
423	0,2408	0,3644	0,0172	0,2859	1,1995	2	2,40	H	H	G	F	F	G	E		
424	0,2383	0,3605	0,0210	0,6366	1,5334	0	0,00	G	G	E	E	E	G	D	0,2020	19,2850
425	0,2610	0,5658	0,1013	0,9235	2,1932	0	0,00	G	F	E	E	D	F	D	0,6060	22,0450
426	0,3254	0,4730	0,0975	0,8111	2,0655	0	0,00	G	G	F	E	E	G	D	1,0710	21,8820
427	0,0000	0,0000	0,0000	0,0000	0,0000		0,00	H	H	G	F	F	H	F		
428	0,3213	0,4957	0,0506	0,9044	2,0768	0	0,00	G	G	F	E	D	G	D	0,3120	20,7290
429	0,0143	0,0359	0,0000	0,0639	0,1399	3	0,42	H	H	G	G	G	H	G		
430	0,8663	1,2264	0,1022	1,3248	4,0580	0	0,00	G	F	D	D	D	G	D	1,0450	20,1760
431	0,1585	0,3099	0,0228	0,5935	1,2882	0	0,00	H	G	F	F	F	G	D		
432	0,4223	0,9084	0,0599	0,7588	2,3479	0	0,00	G	G	E	E	D	G	D	0,1430	18,0860
433	0,2878	0,4083	0,0828	0,8030	2,1220	0	0,00	F	F	E	E	E	G	D	1,8310	20,7730
434	0,2455	0,3109	0,0471	0,6956	1,7123	0	0,00	F	F	E	E	E	G	D	1,0610	22,0950
435	0,0000	0,0000	0,0000	0,0293	0,0293	6	0,18	H	H	H	H	H	H	G		
436	0,0000	0,0000	0,0000	0,0000	0,0000	7	0,00	H	H	H	H	H	H	H		
437	0,4259	0,6084	0,0637	0,9132	2,3440	1	2,34	H	G	E	E	D	G	D		
438	0,0000	0,0000	0,0000	0,0077	0,0175	5	0,09	H	H	G	H	G	H	G		
439	0,0000	0,0000	0,0000	0,0448	0,0448	6	0,27	H	H	H	H	H	H	G		
440	0,0000	0,0000	0,0000	0,0258	0,0258	6	0,16	H	H	H	H	H	H	G		
441	0,5659	0,4836	0,0919	1,0622	2,7874	0	0,00	G	F	E	D	D	G	D	1,5820	21,1080
442	0,4023	0,2940	0,0285	0,6267	1,6912	0	0,00	G	G	F	E	E	G	D	0,2380	20,8330
443	0,0068	0,0084	0,0000	0,1599	0,1861	3	0,56	H	H	G	G	G	H	G		
444	0,0000	0,0080	0,0000	0,1018	0,1221	4	0,49	H	H	G	H	G	H	G		
445	0,0000	0,0000	0,0000	0,0369	0,0491	5	0,25	H	H	G	H	H	H	G		
446	0,0000	0,0000	0,0000	0,0391	0,0546	5	0,27	H	H	G	H	H	H	G		
447	0,0000	0,0000	0,0000	0,0213	0,0213	6	0,13	H	H	H	H	H	H	G		
448	0,0000	0,0000	0,0000	0,0000	0,0000	7	0,00	H	H	H	H	H	H	H		

N	x4_44	x5_45	x6_46	x7_47	S_4Q	N0_4Q	s_N0_4Q	Demirjian_Estadio_3 1	Demirjian_Estadio_3 2	Demirjian_Estadio_3 3	Demirjian_Estadio_3 4	Demirjian_Estadio_3 5	Demirjian_Estadio_3 6	Demirjian_Estadio_3 7	medição_apex_3 1	comprimento_vertical_3 1
449	0,5873	0,7179	0,1650	1,0403	2,8343	0	0,00	F	F	D	D	D	G	D	2,7270	19,6970
450	0,3442	0,2602	0,1203	0,7805	1,7801	0	0,00	G	G	F	E	E	G	D	0,4550	27,1320
451	0,2017	0,4223	0,0359	0,4882	1,3933	0	0,00	G	G	F	E	E	G	D	0,1520	25,7080
452	0,2064	0,3646	0,0348	0,5998	1,5359	0	0,00	G	G	F	E	E	G	D	0,2140	27,5760
453	0,3576	0,4855	0,0501	0,6730	2,0379	0	0,00	G	G	F	E	E	G	D	0,2260	25,4430
454	0,1761	0,4194	0,0354	0,5319	1,4644	0	0,00	G	G	F	F	F	G	D	0,1010	26,7860
455	0,0682	0,2348	0,0000	0,2223	0,6233	3	1,87	H	H	G	F	F	H	F		
456	0,3781	0,4311	0,0758	0,7716	2,1356	0	0,00	G	F	D	E	E	G	D	0,4290	20,9780
457	0,3750	0,8367	0,0639	1,0584	2,7070	0	0,00	G	G	F	E	D	G	D	0,2260	25,0560
458	0,2500	0,3877	0,0366	0,9168	1,9192	0	0,00	G	F	E	D	D	G	D	0,3990	23,2350
459	0,0000	0,0000	0,0000	0,0000	0,0000		0,00	G	F	D	D	D	G	D	1,5600	20,4470
460	0,1544	0,4033	0,0351	0,1800	1,0558	0	0,00	G	G	F	F	F	G	E	0,3120	28,1100
461	0,1939	0,4014	0,0438	0,6560	1,5382	0	0,00	G	G	F	E	E	G	D	0,2020	21,9740
462	0,1955	0,1820	0,0456	0,5475	1,1958	1	1,20	G	G	F	E	E	G	D	0,1700	18,7510
463	0,1002	0,1580	0,0000	0,2306	0,5710	3	1,71	H	H	F	F	F	H	F		
464	0,0000	0,0000	0,0000	0,0000	0,0000	7	0,00	H	H	H	H	H	H	H		
465	0,0000	0,0103	0,0000	0,0440	0,0840	4	0,34	H	H	H	G	H	H	G		
466	0,0059	0,0222	0,0000	0,0674	0,1071	3	0,32	H	H	G	G	G	H	G		
467	0,0000	0,0265	0,0000	0,0300	0,1147	4	0,46	H	H	H	H	H	H	G		
468	0,3485	0,4635	0,0372	1,0237	2,2216	0	0,00	G	G	F	E	E	G	D	0,3030	25,6510
469	0,0000	0,0000	0,0000	0,0000	0,0000		0,00	H	H	F	E	D	H	D		
470	0,0000	0,0000	0,0000	0,0000	0,0000		0,00	G	G	F	E	E	G	E	0,4790	25,4660
471	0,3040	0,4946	0,0653	1,1207	2,4429	0	0,00	G	G	E	D	D	G	D	0,3030	18,2380
472	0,3530	0,5023	0,0481	1,1553	2,3488	0	0,00	H	G	F	E	D	G	D		
473	0,0000	0,0000	0,0000	0,0000	0,0000		0,00	H	H	G	F	D	H	D		
474	0,3000	0,3952	0,0360	0,6900	1,7296	0	0,00	G	G	F	F	E	G	E	0,4550	22,7400
475	0,1567	0,4522	0,0287	0,4207	1,1309	2	2,26	H	G	G	F	E	G	E		
476	0,3004	0,5279	0,0707	1,0042	2,4038	0	0,00	G	F	E	E	E	G	D	0,4440	20,0500
477	0,2388	0,5181	0,0517	0,9684	2,2567	0	0,00	G	G	F	E	E	G	D	0,3030	19,6970
478	0,0803	0,1270	0,0000	0,6722	0,9167	3	2,75	H	H	G	G	F	H	F		
479	0,0000	0,0000	0,0000	0,0000	0,0000		0,00	H	H	G	G	F	H	E		
480	0,0667	0,0531	0,0000	0,0923	0,3040	3	0,91	H	H	F	F	F	H	F		

N	x4_44	x5_45	x6_46	x7_47	S_4Q	N0_4Q	s_N0_4Q	Demirjian_Estadio_3 1	Demirjian_Estadio_3 2	Demirjian_Estadio_3 3	Demirjian_Estadio_3 4	Demirjian_Estadio_3 5	Demirjian_Estadio_3 6	Demirjian_Estadio_3 7	medição_apex_3 1	comprimento_vertical_3 1
481	0,6427	0,7604	0,1739	0,6285	2,7588	0	0,00	F	E	E	E	D	G	D	3,0840	17,1720
482	0,5857	0,5269	0,0475	0,9472	2,6282	0	0,00	G	F	F	E	D	G	D	0,7730	23,9390
483	0,2096	0,4779	0,1380	0,9651	2,1160	0	0,00	F	F	F	E	D	F	D	1,6440	15,5940

N	medição_apex_3 2	comprimento_vertical_3 2	medição_apex_3 3	comprimento_vertical_3 3	medição_apex_3 4	comprimento_vertical_3 4	@1_34Bi	@2_34Bi	@3_34Bi	@4_34Bi	medição_apex_3 5	comprimento_vertical_3 5	@1_35Bi	@2_35Bi	@3_35Bi	@4_35Bi
1																
2																
3					0,7930	26,4790										
4			1,4340	25,7210	2,2650	21,4050					3,1520	18,1880				
5			1,2340	26,3800	2,2800	19,9700					2,6940	23,5690				
6																
7					1,1270	20,9920					1,2070	22,1120				
8																
9			4,6490	22,5350	3,7030	15,8340					3,1660	19,4070				
10			5,4980	21,1700	7,8190	18,1010					4,6420	20,3170				
11					0,9090	23,1770					3,4040	19,1640				
12					1,1540	24,1170					1,5860	21,1240				
13																
14			1,9720	34,4220	3,7050	29,0010					4,2910	26,1120				
15											1,5870	33,3270				
16			3,2870	26,9530	3,0270	21,7380					3,8490	16,4870				
17											0,9500	21,8920				
18					1,4180	22,3470					1,7200	24,9630				
19																
20			1,9120	25,8010			1,3560	1,0480	2,4040	18,9740	2,6010	18,4160				
21					1,3770	23,2930					1,5730	23,6470				
22					0,8960	22,5670					0,6330	26,9900				
23																
24	0,7140	20,8610	3,6980	18,6000	4,0690	14,3500					4,7680	12,5050				
25			2,9510	22,7230	2,1050	20117,0000					3,1910	19,3180				
26																
27			1,7700	31,3060	1,4470	26,4680					2,3680	21,3640				
28																
29			1,0000	23,4230	0,3750	23,4430					2,0950	22,0140				
30					0,5050	26,4820					0,6390	25,1250				
31	1,2700	22,1660	5,2950	19,6820	3,2390	15,4580					4,7850	13,9210				
32			4,1040	24,6650	1,7440	20,1760					4,1760	19,7610				

N	medição_apex_3 2	comprimento_vertical_3 2	medição_apex_3 3	comprimento_vertical_3 3	medição_apex_3 4	comprimento_vertical_3 4	@1_34Bi	@2_34Bi	@3_34Bi	@4_34Bi	medição_apex_3 5	comprimento_vertical_3 5	@1_35Bi	@2_35Bi	@3_35Bi	@4_35Bi
33			1,5000	28,2250	1,0000	25,8310					2,2350	24,7390				
34																
35																
36											1,4370	25,0690				
37			0,5360	24,5870	0,8370	22,2030					2,0400	22,5680				
38	1,0780	25,6000	3,5520	20,1680	4,7740	14,4320					5,5300	12,6010				
39	1,2700	21,9320	4,2590	14,9580	3,7380	10,4550					3,8700	10,1580				
40	0,6930	14,1180	2,7450	12,3560	3,3560	11,9620					5,4240	10,0980				
41	0,9520	20,9860	1,6840	25,0180	2,0340	18,8940					1,8600	16,5810				
42	2,3330	19,3090	5,9590	15,5370	4,8660	11,5930					6,2010	9,4630				
43	0,5480	26,0330	3,5560	23,2080	3,6270	20,1700					3,8740	17,5170				
44			2,1790	27,7030	0,5400	24,8630					2,4470	23,0800				
45			4,6990	28,8070	1,3640	28,6460					4,0120	25,5850				
46																
47	0,7140	23,1390	2,6190	19,0710	1,9630	17,6590					2,3810	18,2840				
48																
49																
50			1,3640	25,0040			0,5680	0,5680	1,1360	24,5980	1,6150	25,8080				
51											0,6900	28,7280				
52																
53	0,7910	24,7550	1,7500	20,3490	2,7500	16,0180					6,3250	13,1580				
54			2,6060	25,7760	0,8770	24,2500					2,2180	21,4340				
55			2,9890	23,1920	2,2840	19,7940					5,7000	14,1200				
56			1,2490	31,5680							1,8430	23,3160				
57	0,7140	23,6480	2,1950	25,4760	1,4290	21,4290					2,1860	20,8510				
58			2,1200	23,4480												
59											1,1270	25,2570				
60			2,2740	32,2100	1,2490	25,4230					3,1390	23,7750				
61	1,9660	20,9320	6,1900	14,6810	5,5200	11,6550					5,1870	9,6060				
62			0,9520	32,8170	1,1900	26,1950					2,1300	22,6640				
63	0,4840	24,3920	7,4150	16,3610	5,0560	12,7480					7,9880	4,5970				
64					1,0810	25,5120					5,2460	11,5040				

N	medição_apex_3 2	comprimento_vertical_3 2	medição_apex_3 3	comprimento_vertical_3 3	medição_apex_3 4	comprimento_vertical_3 4	@1_34Bi	@2_34Bi	@3_34Bi	@4_34Bi	medição_apex_3 5	comprimento_vertical_3 5	@1_35Bi	@2_35Bi	@3_35Bi	@4_35Bi
65											3,9860	17,7420				
66	0,7310	24,0190	5,1260	21,7010	3,7850	15,0720					5,6680	14,2010				
67			2,0100	30,6100	0,5880	25,2900					2,1400	22,1450				
68			1,8430	28,4910							1,2490	25,0800				
69			1,1900	20,0000	0,9520	17,1640					6,0220	16,5600				
70																
71			1,9990	22,7430	3,1610	18,9830					8,0330	9,9220				
72			0,4280	28,3690	2,7840	23,5380					8,4860	10,2020				
73			2,2000	22,0860	3,0950	17,6290					4,1100	15,9310				
74			2,8560	29,0740	2,4270	22,0840					3,3660	20,6080				
75																
76			0,8790	30,7520												
77	0,9590	20,4650	3,6760	16,6170	5,1990	12,1990					6,2600	9,9400				
78			0,9300	27,4540							0,6580	25,3210				
79	0,5130	23,5210	2,4330	26,1740	1,7950	24,1520					4,7280	22,1320				
80	4,2210	12,9430	7,5060	12,3990	6,5360	8,7070					6,8750	8,0430				
81			3,6520	25,3650	2,2390	22,8520					3,7050	19,5970				
82																
83	1,5380	24,6190	5,4370	17,4040	6,4850	11,3160					6,0330	10,7080				
84			5,9540	27,5140	2,1430	22,9700					2,7440	17,4020				
85			2,8210	24,8730	4,3820	18,7240					6,2860	14,5430				
86			1,1700	24,1590	2,1730	22,0200					4,4010	15,2140				
87											0,8830	25,3570				
88																
89	1,2820	23,7240	3,8100	20,0900	4,8150	14,6190					4,2830	19,5770				
90			1,2500	23,6730	1,9990	21,7790					1,5200	24,0250				
91																
92																
93			4,2190	24,1410	3,3670	16,5680					4,9080	14,2480				
94			1,0300	31,9990	2,0610	24,0560					2,0610	23,0100				
95																
96																

N	medição_apex_3 2	comprimento_vertical_3 2	medição_apex_3 3	comprimento_vertical_3 3	medição_apex_3 4	comprimento_vertical_3 4	@1_34Bi	@2_34Bi	@3_34Bi	@4_34Bi	medição_apex_3 5	comprimento_vertical_3 5	@1_35Bi	@2_35Bi	@3_35Bi	@4_35Bi
97	0,3570	27,5360	3,2220	24,4470	2,8660	16,2210					5,7190	13,4330				
98			2,0620	27,6130	1,8200	24,3320					4,4300	18,3750				
99	1,0530	21,3560	6,5840	15,5350	4,5050	12,8060					5,7470	10,5640				
100			3,0410	22,3900	3,7170	15,8900					6,1850	15,8370				
101	1,0650	21,8350	5,0900	16,2300	4,2270	13,9410					4,7100	12,8220				
102											1,3740	29,4020				
103											1,3550	30,2890				
104																
105											5,8290	12,2810				
106											4,4490	13,3970				
107	1,1110	18,1250	6,6000	14,0490	6,9470	11,7870					8,7810	11,6030				
108			1,2210	26,3530	2,1200	21,3580					2,8810	22,8300				
109	5,1520	18,8220	6,3860	14,5300	6,7290	11,4200					6,9480	9,8360				
110	0,5880	21,2180	5,1370	17,8310	4,4800	14,9770					7,1140	12,6330				
111			4,0200	21,9710	4,8490	17,9330					5,7760	16,0000				
112	1,9100	21,9330	4,7180	15,4850	3,8680	13,9580					5,7310	11,5040				
113			1,7180	25,7690	1,7810	23,9680					3,3390	22,6200				
114	1,3580	20,2670	5,0050	15,7040	4,7590	11,3600					5,6190	12,0980				
115			2,7980	25,9420	1,7710	22,6780					2,8970	22,2990				
116					0,9090	23,0710										
117			1,1290	29,9410							1,8640	30,6630				
118			1,1770	26,1310	0,5880	22,4100					2,2480	20,1410				
119											0,6060	24,5960				
120											0,8840	28,1050				
121	1,0810	13,7610	6,7780	18,8430	4,7990	11,1080					6,7780	9,8870				
122	0,7140	18,3530	7,0490	15,5180	4,5480	14,5510					5,2370	12,9990				
123			0,4390	19,3260	0,8780	18,6490					0,9810	18,0760				
124			5,9860	28,6190	3,8240	21,4230					6,3390	14,4820				
125	0,5080	22,6050	8,3350	15,6880	7,0600	13,6530					7,9680	12,0990				
126			2,5550	23,1710	2,8510	19,2520					2,8320	18,4090				
127			2,4650	30,9680									0,4540	0,6060	1,0600	27,3960
128	0,9520	22,6190	3,1040	17,0400	5,2600	12,2270					5,0230	9,2980				

N	medição_apex_3 2	comprimento_vertical_3 2	medição_apex_3 3	comprimento_vertical_3 3	medição_apex_3 4	comprimento_vertical_3 4	@1_34Bi	@2_34Bi	@3_34Bi	@4_34Bi	medição_apex_3 5	comprimento_vertical_3 5	@1_35Bi	@2_35Bi	@3_35Bi	@4_35Bi
129											1,4370	21,0380				
130																
131			0,7760	25,4700	0,9690	20,5830					1,5750	21,9920				
132	2,0130	20,5970	4,3590	13,8140	4,1180	11,9040					6,0750	11,4970				
133			0,4160	29,4950							1,8620	26,0980				
134	0,8540	20,6200	3,9340	19,3360	4,3560	15,4020					4,8930	12,3220				
135			1,4700	28,4820	0,5880	24,7230					1,5830	23,1210				
136	1,0400	25,4350	4,2440	20,1150	5,0090	15,0030					5,4240	13,2880				
137	0,8570	27,8660	3,4620	24,9000	2,2830	21,0850					0,8700	24,5170				
138			0,8570	27,8660	0,5460	27,5620										
139			1,7140	28,6690												
140			2,2750	30,4150							1,5930	28,2100				
141			2,8810	27,5440	1,3980	22,6380					3,4940	20,5510				
142																
143																
144			1,9170	21,8520	6,7280	13,0160					8,2430	13,7440				
145	0,7800	18,5100	1,1350	26,0880	3,8990	21,1660					5,0390	14,9970				
146			0,8570	21,4620	2,7940	19,2080					1,9170	17,8890				
147			4,4740	24,4740	4,4810	15,2290					6,6630	12,9590				
148			4,4450	22,6380	5,3700	17,8430					5,7490	13,3560				
149	3,9760	17,3820	7,0910	14,8360	7,3970	11,1250					7,2480	9,4090				
150			2,1200	28,4720	1,8420	24,9030					2,4980	19,6160				
151					1,3150	25,6490					1,8190	24,9780				
152	0,7140	19,2930	2,4850	16,0840	2,9440	11,6820					5,5720	9,5310				
153													0,7350	0,7690	1,5040	26,0130
154			1,8210	26,8930	0,7360	23,0490					1,7850	24,4550				
155			1,7940	32,3900	1,6570	26,0690					2,0060	28,3150				
156					0,9300	28,9190					0,6580	28,6810				
157	1,1290	30,2080	4,3220	22,1350	2,7890	17,6170					3,6110	17,8980				
158			1,2630	22,4760	1,8390	20,3180					3,7500	19,8250				
159			1,6840	21,2400	2,0820	19,6640					2,5000	19,5430				
160			1,5150	22,1050	2,1850	20,6990					1,8180	20,9090				

N	medição_apex_3 2	comprimento_vertical_3 2	medição_apex_3 3	comprimento_vertical_3 3	medição_apex_3 4	comprimento_vertical_3 4	@1_34Bi	@2_34Bi	@3_34Bi	@4_34Bi	medição_apex_3 5	comprimento_vertical_3 5	@1_35Bi	@2_35Bi	@3_35Bi	@4_35Bi
161			0,7350	22,1290	2,2110	18,9910					3,3860	16,6240				
162											0,7580	28,7390				
163																
164	0,5400	23,4240	4,9820	23,9750	2,7150	22,0220					2,3240	21,1790				
165											0,3490	25,9970				
166	1,0000	16,2670	4,3390	13,3820	5,3400	10,8860					6,3800	9,8880				
167			0,4550	22,4860	0,6060	20,3050					0,5460	21,9220				
168	0,2700	22,2640	6,0980	17,8890	5,8340	11,9680					6,0010	12,3530				
169	0,7360	25,0830	3,0410	25,1790	4,5530	17,4530					4,6360	15,4790				
170			2,7720	29,1420	3,1190	22,9870					3,8470	19,9620				
171	0,3030	21,0230	3,2140	20,8060	2,6460	20,7300					4,3730	17,9690				
172			2,1430	23,1070	2,1270	20,9510					2,9140	19,3140				
173			0,8950	23,0660	0,6060	24,8880					3,0320	23,0440				
174	0,4550	23,7060	2,6160	23,3650	3,7880	19,4060					4,6770	15,5090				
175	1,5000	23,0220	7,7010	19,9530	6,2700	15,4430					9,8230	12,8160				
176			2,8090	21,4440	4,0360	18,3040					5,2860	13,0930				
177			0,4540	29,7590	1,0600	25,4700					1,3030	20,7260				
178					0,8160	22,1700					2,2520	21,1000				
179					0,7570	23,1120					1,7270	25,2000				
180	1,0400	23,2360	5,7350	15,1230	4,6180	12,7700					6,1170	10,5100				
181			3,9170	27,6510	3,5230	21,4710					5,3940	18,3740				
182	1,8180	19,5670	7,1870	16,0710	6,8520	12,2580					7,9060	9,1620				
183	0,3030	19,1510	6,5060	18,7410	6,3270	14,5710					5,9690	12,2160				
184			2,1420	28,4730	1,9690	23,6530					3,5320	17,2220				
185	1,5000	18,2930	8,0350	13,0860	6,0210	10,3710					6,4080	9,3410				
186					0,5880	24,1330					0,7350	24,3750				
187			4,2300	26,5790	3,6070	18,3050					5,2520	18,4360				
188	0,4040	21,8910	1,8430	18,3710	4,5580	12,6330					5,4870	11,0690				
189			1,2120	22,2910	2,5760	16,3980					4,6680	12,3180				
190					0,7690	19,2460					2,6560	15,7400				
191					1,0710	20,4940					2,1410	19,3740				
192			3,1770	18,5380	3,6030	14,5350					6,7690	12,0260				

N	medição_apex_3 2	comprimento_vertical_3 2	medição_apex_3 3	comprimento_vertical_3 3	medição_apex_3 4	comprimento_vertical_3 4	@1_34Bi	@2_34Bi	@3_34Bi	@4_34Bi	medição_apex_3 5	comprimento_vertical_3 5	@1_35Bi	@2_35Bi	@3_35Bi	@4_35Bi
193	0,9580	23,2320	3,9390	17,9040	4,4460	12,2230					7,9380	9,8310				
194	0,5050	27,1280	1,1110	25,7580	1,8180	25,1520					7,5050	6,0640				
195	3,7170	19,7470	4,4870	17,0520	4,3860	11,9790					5,5880	10,5350				
196	0,2020	27,4750	3,2150	19,0950	3,3860	13,9690					5,2530	12,4910				
197	0,9310	22,1310	7,1890	16,1110	4,7770	11,7180					4,6480	13,1320				
198			1,5710	21,3910	2,7290	17,6770					4,8480	14,3440				
199	2,2250	13,5350	2,8300	12,0440	2,3650	9,7020					4,0230	8,5360				
200			5,4680	28,8290	3,0300	22,1210					2,9850	20,6180				
201			1,7980	31,0960	1,3130	27,4010					2,0730	25,2170				
202			3,2360	25,2910	4,3750	18,5420					3,5600	18,1920				
203			1,1460	27,7090	3,1250	21,2500					2,2530	21,1530				
204	1,2070	25,5430	6,8300	24,6600	4,2590	18,0560					5,7410	16,2040				
205	0,2260	26,7680	2,8920	31,7170	2,2220	24,2420							1,5810	1,6720	3,2530	23,1310
206	0,1010	26,1620	1,0100	33,7380	1,8180	26,4650							0,4290	1,2120	1,6410	24,3440
207	0,4040	23,8380	1,8290	30,0000	1,1160	28,8900							0,8080	0,6140	1,4220	29,5570
208	0,4650	24,6510	4,1110	21,4730	3,3330	15,0390					5,3990	12,4070				
209			4,1670	23,1060	2,0470	20,3790					5,0930	14,6230				
210			4,3860	22,7430	2,2700	21,5400					4,6790	14,7360				
211			1,5150	25,9600	0,7070	24,1430					4,5470	22,4240				
212			0,3640	30,7580	0,2260	28,9900					3,0320	26,3860				
213	1,0320	28,6510	4,0970	18,0060	3,8330	15,7870					5,6760	13,4200				
214			1,3740	31,5410	0,7070	28,2830					2,6260	27,5760				
215			1,1110	24,5550	1,1110	22,2220					1,8210	19,7140				
216			3,8020	23,5140	5,6120	15,2250					5,1350	14,0540				
217	1,0100	20,5300	1,5020	26,4160			0,1010	0,5440	0,6450	23,2490			1,2120	1,1290	2,3410	21,0510
218																
219																
220	0,1190	25,1200	4,0480	24,4050	2,7480	16,8450					6,1210	12,0700				
221	1,2380	21,4640	8,4070	14,2380	6,0170	12,4390					5,2850	17,2360				
222	2,4860	17,9760	4,5630	14,3830	5,1190	10,7140					6,9670	8,5720				
223	0,1430	23,1320	3,7050	17,1390	4,2400	12,5400					6,5270	11,5170				
224	0,8140	27,5010	1,7170	19,4950	3,7370	13,7380					6,9700	10,4050				

N	medição_apex_3 2	comprimento_vertical_3 2	medição_apex_3 3	comprimento_vertical_3 3	medição_apex_3 4	comprimento_vertical_3 4	@1_34Bi	@2_34Bi	@3_34Bi	@4_34Bi	medição_apex_3 5	comprimento_vertical_3 5	@1_35Bi	@2_35Bi	@3_35Bi	@4_35Bi
225			0,4160	23,5040	1,1110	19,6970					2,4660	17,1440				
226	1,6690	20,0880	5,3290	14,0660	5,1780	10,4390					6,9230	9,1230				
227	0,7070	22,5770	3,2150	17,8740	3,2320	12,4250					4,3450	13,3330				
228	2,1430	19,3660	5,5950	14,5240	5,7590	10,6930					6,6670	9,4450				
229	0,2330	26,8220	1,0080	23,8950	3,5670	16,9500					4,1090	15,1160				
230	0,8080	21,0100	3,4340	15,9600	3,5350	13,2330					5,0510	11,4140				
231	0,6390	23,3260	5,4550	20,9090	2,7480	18,7850					6,3640	14,1420				
232			3,5180	26,0610	0,6060	26,2630					2,7100	24,9500				
233			1,7290	38,0930							1,1110	32,1510				
234	2,5330	28,4150	3,9340	14,6130	4,9340	12,4240					5,9050	8,9710				
235			1,2120	29,3940	2,8300	24,3430					4,5680	18,1850				
236			1,4280	25,6580	0,5050	19,4950					3,5240	17,9480				
237	0,3570	22,5000	1,3310	17,4250	4,6440	13,4520					3,8100	10,3580				
238			1,1290	29,2930	1,5230	33,9720					2,6470	25,3010				
239	0,5440	20,4040	2,7270	14,1850	3,0900	11,7170					4,2420	11,2120				
240	0,6140	25,0020	10,0460	20,3030	3,3580	18,4010					4,3150	17,0880				
241	2,5640	19,8650	6,7320	16,6220	5,0070	12,7030					5,2700	11,7570				
242	0,7240	23,5720	3,1320	24,4050	3,4520	20,7150					6,9300	15,1190				
243	0,2660	20,7140	3,9910	18,4520	1,9200	15,9520					4,8470	13,9290				
244			0,3120	27,5080	0,4420	25,4290					0,7370	20,4070				
245	2,2700	25,4550	5,5560	18,6430	5,3340	15,7580					5,7800	13,8390				
246	2,4410	18,7880	5,6790	16,5240	4,9860	10,7070					6,8050	11,3130				
247	2,5500	19,7140	4,2500	16,4850	6,9030	11,1250					6,6450	11,4240				
248	0,1310	22,3620	3,2570	21,5140	2,7250	17,9280					4,5060	15,4240				
249					2,6440	20,1010					1,7200	23,0630				
250	0,5150	21,7010	4,4730	21,6160	5,2560	16,1620					5,8830	13,0160				
251			3,2280	25,0510	1,1290	23,6910					3,5280	18,6870				
252	1,2260	18,4150	6,3630	14,4060	4,6360	11,5850					5,8850	10,7320				
253			2,6750	25,2280	2,8920	18,5060					3,4510	18,9710				
254	0,7320	22,1140	5,2040	24,6340	3,0080	16,5760					4,2400	16,9920				
255	0,5860	24,3520	1,7880	28,3670	3,2460	21,3540					3,5490	21,8320				
256			1,5020	29,1920	1,2330	25,5950					0,4160	27,8310				

N	medição_apex_3 2	comprimento_vertical_3 2	medição_apex_3 3	comprimento_vertical_3 3	medição_apex_3 4	comprimento_vertical_3 4	@1_34Bi	@2_34Bi	@3_34Bi	@4_34Bi	medição_apex_3 5	comprimento_vertical_3 5	@1_35Bi	@2_35Bi	@3_35Bi	@4_35Bi
257	1,0080	20,9300	3,7470	18,3710	4,6520	12,4290					4,4360	10,9860				
258	0,1520	21,2880	4,1250	22,4490	3,3310	15,8920					3,5930	14,2340				
259			1,2210	22,8280							0,6140	22,1950				
260	3,4540	25,2380	4,8050	23,4050	3,5150	18,5900					4,4580	15,2220				
261	3,2570	17,1210	5,3570	14,8480	5,4480	10,2030					5,6600	10,2040				
262	1,8330	19,2500	4,4550	17,5370	4,5680	14,4530					4,9920	11,5630				
263			0,8080	28,3780							1,7640	30,9570				
264			0,7070	31,7370							1,5150	33,7590				
265	0,7070	24,2840	5,8310	19,4970	6,8750	14,2420					6,5660	13,6370				
266	0,3210	21,0610	3,5610	26,4750	3,1660	17,1060					3,0640	17,4240				
267			0,8330	20,8030	0,2380	23,6800					0,4290	26,6270				
268			1,6320	24,8990	0,5050	24,4450					1,7640	25,6410				
269			4,1600	21,8990	6,2140	15,1520					4,6080	14,1570				
270			2,0330	26,7520	3,0900	19,0710					3,3880	19,1080				
271											0,2860	23,8190				
272	2,4870	16,0750	4,2030	12,1440	4,9430	8,8210					5,7100	8,5080				
273	0,4040	23,8820	5,2390	25,1690	1,3740	25,0620					2,8710	24,6650				
274			2,1310	29,3430	0,8330	27,8160					0,5050	28,2690				
275	1,0610	21,5150	5,8310	16,1780	5,2070	12,8370					5,2250	11,9010				
276	0,3030	25,0550	4,7430	20,0760	5,7060	14,9110					4,2100	14,6040				
277	0,7190	20,3790	3,0700	17,8410	5,3490	11,0230					4,1690	11,4650				
278					0,5150	23,8690					0,3190	26,0850				
279	2,2250	22525,0000	4,8160	16,1620	6,3760	12,0200					5,6540	11,6170				
280			2,7570	19,3940	4,6460	13,1320					4,9540	13,6360				
281	0,1190	21,6670	3,1160	16,5680	3,1630	13,8390					5,8560	10,8080				
282			2,4080	22,0570	3,7820	18,5720					3,6210	14,0130				
283			1,3100	23,2150	2,1460	20,1250					2,2650	16,8370				
284											0,4290	23,4540				
285	1,1520	21,9690	6,0510	17,7190	5,5110	13,6820					6,5960	12,0160				
286	1,9200	17,9280	6,9556	13,0160	6,1160	10,8730					6,7340	10,8310				
287	0,6060	21,6320	4,3620	18,8430	3,8040	16,6670					5,4140	16,2680				
288	0,5150	19,7250	5,2500	12,8850	4,7740	11,1120					5,0320	9,6850				

N	medição_apex_3 2	comprimento_vertical_3 2	medição_apex_3 3	comprimento_vertical_3 3	medição_apex_3 4	comprimento_vertical_3 4	@1_34Bi	@2_34Bi	@3_34Bi	@4_34Bi	medição_apex_3 5	comprimento_vertical_3 5	@1_35Bi	@2_35Bi	@3_35Bi	@4_35Bi
289	0,1010	18,2830	3,9300	19,9090	2,7940	17,4520					3,2640	16,5730				
290	0,9030	22,1420	4,6610	23,1850	3,6420	19,5740					3,7140	19,2050				
291	0,1010	24,0010	4,2200	24,0730	3,2100	22,5630					3,1120	21,4340				
292	6,4600	17,0710	8,3120	13,9720	7,7090	11,6160					8,5860	11,0110				
293			3,0300	27,1720	1,8180	19,4950					2,8920	20,1280				
294	8,1870	16,6420	4,8160	13,6700	6,0010	10,3030					5,3540	10,0900				
295	2,3580	23,9900	3,2530	19,8340	5,0520	12,7770					4,7770	13,0600				
296	1,5290	24,8760	5,7890	18,2830	5,1210	12,1060					5,9600	10,3040				
297			3,2890	25,3570	3,8020	18,6610					5,5640	15,5560				
298			2,5940	25,7580	1,6940	21,8990					3,9420	18,2050				
299	0,1010	20,7740	3,9450	20,8490	3,4710	17,0760					5,2700	16,2480				
300			2,5890	24,8380	2,4260	17,9610					3,8460	18,4030				
301			2,6510	25,2000	3,8600	15,8620					2,9150	16,3080				
302	0,1430	24,4940	2,3580	22,5340	2,2220	18,8830					4,1460	15,3540				
303			1,3170	26,5660	1,7440	21,3130					2,6440	17,2280				
304			9,5510	23,9160	2,2900	21,7720					3,4850	21,1370				
305			2,2930	27,3880	1,3510	26,4860					3,2680	24,1560				
306	0,4160	18,8860	3,3350	21,6010	3,3330	14,5460					5,8780	13,6500				
307	3,2390	17,5760	7,1410	12,8150	6,1000	9,9600					7,4300	8,5310				
308	0,9150	19,3780	6,5940	16,6670	5,1550	11,9190					5,1870	11,6170				
309			1,4170	25,7060	1,5830	18,9730					3,6220	18,1300				
310											2,2180	24,3760				
311			4,9830	21,5840	3,5800	16,8410					4,4010	15,8740				
312	1,0000	25,3860	4,7910	18,8150	4,4380	14,6270					5,6660	11,0600				
313	0,7640	21,4760	3,7620	22,9210	3,4260	20,2700					2,9410	19,1220				
314																
315			0,7140	19,4980	1,9960	15,3610					3,7980	13,3050				
316					0,7140	18,0900					2,2460	18,1550				
317	0,6250	26,4340	3,1410	24,1450	3,8920	17,3790					4,3520	15,4380				
318			2,1270	23,7880	2,8790	19,6970					3,6430	17,3460				
319	2,4260	16,7680	4,4310	13,7440	5,2560	10,6060					4,7890	10,7020				
320	0,4040	24,7480	3,0320	23,2900	3,3390	15,0990					3,2980	13,3230				

N	medição_apex_3 2	comprimento_vertical_3 2	medição_apex_3 3	comprimento_vertical_3 3	medição_apex_3 4	comprimento_vertical_3 4	@1_34Bi	@2_34Bi	@3_34Bi	@4_34Bi	medição_apex_3 5	comprimento_vertical_3 5	@1_35Bi	@2_35Bi	@3_35Bi	@4_35Bi
321					0,4440	23,9470					2,1080	21,5370				
322	0,8130	21,8950	2,6020	17,9680	3,0960	18,9100					4,5540	13,4150				
323																
324	1,8240	22,1210	5,4370	16,5400	5,4370	11,9700					6,7280	11,0610				
325	1,1110	25,3540	6,1490	20,5860	5,2610	13,8380					6,5690	14,0710				
326	0,4520	19,6710	5,4670	20,0490	5,3000	13,5340					8,0640	14,6810				
327			3,8100	21,9050	5,3780	14,2640					4,3270	13940,0000				
328	0,9530	28,2970	6,2240	18,0040	6,4910	15,3740					5,4680	14,8060				
329	1,5970	24,1420	4,2970	19,7100	4,4550	15,4550					4,2850	14,6460				
330	0,1010	22,8560	5,6510	17,6770	5,6890	11,4150					4,7600	12,3320				
331	0,9520	20,0000	1,5880	24,0940	3,8760	16,5800					4,8870	13,6220				
332	0,7730	23,1820	5,0370	20,6000	4,7840	15,2790					5,4080	15,0210				
333	0,3190	26,8690	3,1820	27,2580	2,9140	21,8190					2,5760	22,1710				
334	1,5730	19,4610	8,1840	14,6350	5,9630	12,4240					4,8580	13,1870				
335	0,8970	22,1800	3,4210	16,3980	4,7870	11,6580					3,9220	9,9550				
336	0,9760	18,7480	3,4340	17,5610	3,9500	14,3560					6,3000	10,7390				
337	2,0210	17,6150	4,7360	19,3940	5,8950	17,2070					6,1530	16,2230				
338	1,9150	15,8510	3,9360	12,5530	4,7810	11,8740					4,3730	11,0640				
339	0,3030	24,3280	6,9100	18,2420	4,8480	15,7580					6,0910	13,3280				
340																
341																
342	2,4430	18,6340	6,6180	15,5180	6,9850	12,5760					9,2420	10,6060				
343	0,2380	17,5000	3,5790	17,6870	2,8620	12,7030					3,3160	11,1630				
344	1,4280	20,0000	6,2990	14,8180	4,9980	13,8620					6,1020	10,8250				
345			3,4050	23,5550	1,7280	22,6270					2,4290	17,5920				
346	4,0940	19,3800	6,9960	15,1860	6,2470	11,2010					7,4840	7,9090				
347			1,1790	29,0770	0,7580	27,0780					0,7990	25,5260				
348	1,2120	20,1520	3,5760	19,0930	4,6080	11,0850					5,4140	10,3650				
349					0,7730	24,2420					2,3960	23,5100				
350	0,3030	24,1630	4,4170	19,8850	4,9840	20,7580					5,6220	12,7270				
351	0,9090	22,9550	3,9510	17,8790	5,0370	13,1820					5,1720	10,1520				
352			2,3850	25,0740	1,6910	22,1220					2,2730	21,6100				

N	medição_apex_3 2	comprimento_vertical_3 2	medição_apex_3 3	comprimento_vertical_3 3	medição_apex_3 4	comprimento_vertical_3 4	@1_34Bi	@2_34Bi	@3_34Bi	@4_34Bi	medição_apex_3 5	comprimento_vertical_3 5	@1_35Bi	@2_35Bi	@3_35Bi	@4_35Bi
353	0,3990	22,1390	6,6670	20,4330	3,7670	17,3210					4,6430	15,3570				
354	0,7580	25,1130	4,9540	17,5290	3,6140	14,0550					6,0320	11,6820				
355			1,2490	25,2680	1,2120	22,7270					1,9170	21,2770				
356					3,4550	23,0300					1,2220	24,8130				
357	3,4880	16,6670	8,1720	12,6040	5,3050	10,6060					8,5290	8,8580				
358																
359																
360	0,5050	14,9360	4,5050	13,1820	4,7580	10,3030					5,4570	8,6360				
361	0,1010	22,5870	2,1100	26,9890	2,8310	22,6080					3,0190	23,9230				
362	2,8470	17,4900	5,4880	15,3030	8,4970	14,2520					7,0290	11,8180				
363			4,2690	23,6640	3,1960	19,2420					3,9660	16,9160				
364	5,2860	19,0000	6,6560	15,5610	5,9170	12,1680					5,3200	10,8760				
365	1,0610	19,8770	3,6870	17,9590	4,7070	13,7580					8,4900	11,0850				
366	0,3030	23,2540	5,2850	15,9600	3,8460	12,3720					5,0320	12,3570				
367	0,6060	24,2420	2,2060	20,2480	3,5370	13,5800					5,0370	14,2280				
368			1,6290	22,0260	2,1310	17,1210					4,5090	18,9420				
369	1,9400	16,5990	5,2700	15,7180	4,8860	11,6350					4,7070	9,3940				
370	1,1460	22,2620	3,9870	17,6910	3,9270	13,3810					4,1670	11,8260				
371			0,2020	30,0050	0,8630	24,2950					0,9580	22,9820				
372			2,2620	28,0130	0,9600	28,1600					1,8630	26,6380				
373	0,6060	18,5180	4,3380	15,0980	4,0450	11,0100					7,0160	8,3050				
374	0,4550	21,9450	3,8000	17,8980	3,8150	13,6360					4,2420	10,0000				
375			2,6440	21,4640	2,0820	15,5560					3,6210	11,3080				
376	1,0710	21,4070	4,4360	15,5800	6,4280	11,6670					6,6940	10,9090				
377					0,2020	24,1170					0,3190	26,4380				
378			2,3490	24,6950	1,6070	23,2580					3,7840	20,7670				
379			0,4790	26,5310	0,1520	24,6970					1,2490	25,1130				
380	0,8540	24,0390	3,4020	19,9230	4,3900	16,0980					4,8780	12,6830				
381			1,8090	27,7170	2,0000	19,7780					2,4550	18,4440				
382			0,8110	28,2080			0,2560	0,1280	0,3840	26,2220	2,3110	23,9510				
383	0,5680	21,5210	3,1900	18,5350	4,6720	14,4320					4,2430	12,9790				
384	1,0770	22,3610	4,6790	18,3310	4,4400	12,4960					4,9250	10,0000				

N	medição_apex_3 2	comprimento_vertical_3 2	medição_apex_3 3	comprimento_vertical_3 3	medição_apex_3 4	comprimento_vertical_3 4	@1_34Bi	@2_34Bi	@3_34Bi	@4_34Bi	medição_apex_3 5	comprimento_vertical_3 5	@1_35Bi	@2_35Bi	@3_35Bi	@4_35Bi
385	0,3260	23,1540	1,3440	19,7240	3,4940	13,7940					4,6830	12,8510				
386			0,9090	27,7540							0,2020	24,6310				
387	0,2870	22,6640	3,1430	20,4020	5,1380	16,1540					6,5500	13,7200				
388	0,2940	22,1290	1,7160	24,2520	1,1910	19,2100					3,1280	17,6630				
389	1,2950	20,7660	5,0370	15,1250	4,3620	9,8150					7,1280	8,9710				
390	1,4930	24,4780	3,7430	17,3850	3,6710	11,5920					4,6320	9,8460				
391			3,9100	19,8480	1,9280	18,3050					5,2920	14,7750				
392			1,6320	23,0300	0,8160	20,5640					1,9760	16,6210				
393	1,9380	19,8850	5,3350	17,8530	8,5920	13,9290					7,0730	12,6280				
394																
395																
396	2,4290	18,9390	3,3540	15,7500	4,6350	13,9740					6,0040	12,1210				
397	0,0930	22,6080	3,5200	20,4980	3,3650	13,4980					4,7800	10,3850				
398			2,6770	25,0260	2,5250	17,6680					3,6490	13,7840				
399			1,0290	26,5930	1,2240	21,2100					3,0370	15,8430				
400			0,1520	29,6170	0,3390	24,2860					2,3670	19,9550				
401											0,8630	25,2580				
402			5,3120	23,2290	3,6870	19,0910					4,8580	19,7550				
403			1,2200	27,9280	2,0190	22,3320					2,8700	21,3360				
404			2,2260	22,8060	0,3030	26,7530					1,2330	24,7580				
405			0,5810	23,9290							0,8390	24,3450				
406																
407	0,8870	22,8890	3,6780	18,7560	4,3940	15,1830					4,3470	13,1570				
408	0,6820	25,4040	3,4460	19,6160	4,9240	16,0610					4,3080	13,9200				
409	0,4550	28,8500	3,4300	21,1160	4,0500	17,8030					4,1000	15,2160				
410			8,4520	26,0680	6,2120	18,9390					6,8790	15,3660				
411			0,8540	30,9770	1,9550	25,1650					3,1350	22,1850				
412			0,6210	30,3400	0,1390	27,1430					1,6720	25,3010				
413					0,5580	26,3170					1,9160	25,3400				
414											0,9090	26,6090				
415	3,4690	20,6460	4,0540	14,9770	4,1750	14,3780					4,7810	12,0310				
416	2,5000	17,7270	4,9340	11,7830	4,3320	11,3190					4,3720	10,0060				

N	medição_apex_3 2	comprimento_vertical_3 2	medição_apex_3 3	comprimento_vertical_3 3	medição_apex_3 4	comprimento_vertical_3 4	@1_34Bi	@2_34Bi	@3_34Bi	@4_34Bi	medição_apex_3 5	comprimento_vertical_3 5	@1_35Bi	@2_35Bi	@3_35Bi	@4_35Bi
417			3,2710	22,1980	1,6670	16,5330					2,2730	18,0420				
418			1,2500	25,8980	0,7140	20,7420					2,1580	17,7320				
419					0,1520	29,1010					1,8180	25,9800				
420	0,8330	19,6690	4,3030	16,1760	6,0330	10,9010					5,3280	11,2910				
421	1,1540	17,5910	5,2020	14,0000	4,4500	11,5560					7,2220	11,3330				
422	0,2000	21,9420	3,5710	21,6600	1,9640	17,3540					5,3570	15,3570				
423			2,1850	22,8550	2,0610	17,4560					3,4180	14,8490				
424	0,9150	21,0220	3,6770	14,6970	3,4870	13,4320					3,9960	11,3390				
425	2,5800	19,0070	5,4630	15,9090	3,4850	12,7070					4,0120	8,7880				
426	1,2120	21,9880	3,4980	16,6150	3,8630	13,3550					4,1020	10,4550				
427			2,3880	27,9430	3,5950	19,6210					3,9180	19,4010				
428	0,7370	23,0290	4,7060	17,2680	5,1560	14,1700					4,7930	11,7710				
429			0,3190	21,6570	0,3190	20,6060					0,8080	20,3050				
430	5,7130	16,3350	3,3040	12,9600	3,7580	10,1490					6,0170	8,0940				
431	0,4500	20,4250	3,0220	21,1370	2,2970	16,6410					3,0820	14,8800				
432	0,4290	17,0720	5,8290	13,1780	2,1270	10,6230					3,6010	9,4390				
433	2,0210	19,5830	4,7460	15,3210	4,5480	13,3750					5,8290	10,1700				
434	1,5230	21,0000	5,1830	16,4200	4,0940	13,1820					6,7840	11,2500				
435																
436																
437	0,3190	16,9700	4,2420	14,6460	5,1320	10,0010					5,1530	11,4150				
438			0,6060	31,0540							0,1070	31,0960				
439																
440																
441	3,0900	18,6240	5,7580	14,3940	7,1470	11,5150					6,6570	9,3460				
442	0,3370	19,4540	5,2380	17,0390	5,1690	12,9130					5,3570	12,8580				
443			0,3030	29,5090	0,2140	23,3350					0,0760	26,5500				
444			1,0610	27,1820							0,3030	26,2340				
445			0,3290	31,4970												
446			0,3030	28,4630												
447																
448																

N	medição_apex_3 2	comprimento_vertical_3 2	medição_apex_3 3	comprimento_vertical_3 3	medição_apex_3 4	comprimento_vertical_3 4	@1_34Bi	@2_34Bi	@3_34Bi	@4_34Bi	medição_apex_3 5	comprimento_vertical_3 5	@1_35Bi	@2_35Bi	@3_35Bi	@4_35Bi
449	1,8180	17,7590	5,7890	9,4580	4,6010	10,6850					5,6610	9,1040				
450	0,6060	25,4620	3,9340	20,1550	3,7140	13,6750					4,1380	11,2620				
451	0,6060	22,1300	4,1600	19,2830	2,8750	12,2130					4,1380	10,0470				
452	0,1520	26,9710	3,8840	20,7110	3,4050	15,1550					4,1380	12,2390				
453	0,5050	22,6150	3,8810	20,6920	4,4380	13,0160					3,7590	12,2490				
454	0,1010	26,3190	2,7860	23,7150	2,5890	15,2380					3,4050	14,1000				
455			1,0610	28,3340	1,5150	19,7670					2,7860	17,7540				
456	1,5230	20,2760	6,0780	16,3700	4,8860	12,0040					5,1600	10,1920				
457	1,2490	21,4960	4,6160	18,3840	3,8000	15,2610					8,6790	11,0690				
458	1,0710	19,4960	4,1530	15,0250	4,0800	12,5930					5,0000	11,0710				
459	2,1270	17,2120	5,0000	13,6400	5,2250	12,7390					7,5230	11,2500				
460	0,9500	25,9700	2,9480	21,5440	2,3440	17,0320					2,5050	15,1630				
461	0,4550	23,1820	2,8950	17,9840	2,5760	15,0760					4,6350	13,9060				
462	0,1790	19,8730	3,0360	19,1750	3,0410	15,2160					3,1940	14,7960				
463			2,4260	26,2710	1,9010	20,9360					2,4260	17,9860				
464																
465					0,7580	28,5640										
466			0,3030	25,3190	0,3390	24,9330					0,7730	27,2850				
467																
468	0,9220	24,1390	6,1080	19,1610	4,2670	13,9390					5,4730	12,7600				
469			8,2950	21,8710	4,9980	17,0890					7,7670	13,2270				
470	0,6060	25,6170	4,3940	22,5800	4,0940	15,2600					4,8580	14,4730				
471	0,9090	16,9130	5,7120	13,1700	4,5860	11,2180					6,3270	10,5080				
472	0,4550	20,4550	4,0800	20,3310	4,2850	14,6780					8,0360	8,6360				
473			1,5150	24,8840	2,8790	19,2910					7,7810	10,8860				
474	0,6060	24,5680	4,3940	19,1110	3,3330	15,3150					4,0940	12,4250				
475	0,6060	24,5140	1,9700	26,6550	3,7880	22,5760					5,3030	17,2830				
476	2,9410	17,0990	3,8730	15,8110	4,1280	11,7650					4,3180	11,5250				
477	0,9090	20,0000	3,8950	18,3930	3,6360	13,1830					5,0020	12,5790				
478			1,0710	23,6670	1,5150	22,2750					1,9760	20,8370				
479			1,5000	24,9260	1,0610	23,6440					3,1850	20,0350				
480			2,7270	24,4010	1,2120	20,7860					2,1210	22,4430				

N	medição_apex_3 2	comprimento_vertical_3 2	medição_apex_3 3	comprimento_vertical_3 3	medição_apex_3 4	comprimento_vertical_3 4	@1_34Bi	@2_34Bi	@3_34Bi	@4_34Bi	medição_apex_3 5	comprimento_vertical_3 5	@1_35Bi	@2_35Bi	@3_35Bi	@4_35Bi
481	1,4140	15,5050	3,7060	13,8350	4,6350	9,5100					5,2530	8,1820				
482	2,4290	19,6970	5,2330	16,1970	6,2420	11,2950					5,5710	10,4620				
483	2,3710	17,5120	3,2490	15,0100	4,3720	11,4740					5,0000	9,4120				

N	medição_apexmesial1_36	mediçãoapexdistal2.1_36	mediçãoapexdistal2.2_36	@3somaapêxes_36	comprimentovertical4_36	Apex_36	Comp_36	medição_apexmesial1_37	mediçãoapexdistal2.1_37	mediçãoapexdistal2.2_37	@3somaapêxes_37	comprimentovertical4_37	Apex_37	Comp_37
1														
2														
3								1,5260		0,8170	2,3430	23,1030		
4	0,7620		0,7140	1,4760	25,6620			1,6740		2,3680	4,0420	15,8960		
5	1,7460		1,8600	3,6060	20,0630									
6														
7	0,2900		0,7910	1,0810	22,2710			4,1950		3,3110	7,5060	17,6510		
8								0,8380		0,6910	1,5290	23,9820		
9	0,5450		0,8010	1,3460	26,3730			3,3090		4,4000	7,7090	13,7560		
10	0,8180		0,7110	1,5290	28,5700								10,9890	13,5500
11								1,5150		1,4060	2,9210	19,4250		
12								0,4050		0,8110	1,2160	21,2470		
13								0,4000		0,3610	0,7610	28,1220		
14								2,7740		2,9000	5,6740	26,1590		
15								0,9560		0,7460	1,7020	29,8510		
16								1,2400		2,2620	3,5020	18,8170		
17								0,7810		0,7810	1,5620	22,3320		
18								1,4710		1,4070	2,8780	22,6170		
19								0,8010		0,9290	1,7300	23,6730		
20								1,3380		1,4140	2,7520	17,1590		
21								0,7770		0,9060	1,6830	21,0320		
22								0,3590		0,5800	0,9390	22,7340		
23														
24	0,4760		0,7990	1,2750	25,2970			2,8220		4,8870	7,7090	14,2460		
25	0,8790		0,7110	1,5900	26,0400			3,2000		3,2210	6,4210	16,1090		
26								0,2290		0,5800	0,8090	24,2230		
27								1,1840		2,3720	3,5560	20,8090		
28														
29								0,8000		1,3290	2,1290	19,1900		
30								0,5150		0,6390	1,1540	22,1240		
31	0,4880		0,6700	1,1580	25,6860								8,6900	14,7620
32								1,7810		2,1910	3,9720	18,9260		

N	medição_apexmesial1_36	mediçãoapexdistal2.1_36	mediçãoapexdistal2.2_36	@3somaapêxes_36	comprimentovertical4_36	Apex_36	Comp_36	medição_apexmesial1_37	mediçãoapexdistal2.1_37	mediçãoapexdistal2.2_37	@3somaapêxes_37	comprimentovertical4_37	Apex_37	Comp_37
33								0,9010		1,1520	2,0530	22,3270		
34								0,9430		0,9900	1,9330	26,6650		
35														
36								0,5050		0,9150	1,4200	26,4220		
37	0,3390		0,3120	0,6510	24,9890			2,3520		2,5910	4,9430	16,1240		
38	1,6270		1,8360	3,4630	26,3050								10,9110	12,9090
39	0,5080		0,4420	0,9500	20,2720								8,0350	9,7790
40	1,2750		1,4970	2,7720	18,6970								9,6030	8,1990
41	0,8420		0,7990	1,6410	21,2940								6,8230	14,6190
42	2,7020		1,9490	4,6510	19,1590								11,2960	9,5670
43	0,3290		0,4570	0,7860	28,4710			1,6790		2,5190	4,1980	17,0430		
44								1,2750		1,5820	2,8570	22,6590		
45								0,8570		1,2220	2,0790	23,3100		
46								0,4410		0,4650	0,9060	26,9630		
47	0,4760		0,4760	0,9520	25,0010			1,5970		2,5750	4,1720	16,5810		
48								0,4290		0,6250	1,0540	23,9090		
49														
50								0,8190		0,8650	1,6840	23,8520		
51								0,5440		0,8110	1,3550	24,9560		
52														
53	1,4140		1,2500	2,6640	26,1880			3,1620		4,5070	7,6690	14,8660		
54								1,3690		2,1690	3,5380	22,0420		
55	0,4550		0,6820	1,1370	25,8180								9,1730	12,6010
56								1,5150		1,5150	3,0300	24,3730		
57													4,5800	17,0920
58								1,7660		2,1420	3,9080	18,2360		
59								0,9110		0,7810	1,6920	22,4290		
60								1,5620		1,9750	3,5370	24,5350		
61	1,0340		1,4730	2,5070	20,7760								9,9010	11,7440
62								1,3880		1,5250	2,9130	21,5300		
63	1,3170		1,8630	3,1800	24,1860								12,7130	12,4060
64								2,7150		4,5960	7,3110	17,6610		

N	medição_apexmesial1_36	mediçãoapexdistal2.1_36	mediçãoapexdistal2.2_36	@3somaapêxes_36	comprimentovertical4_36	Apex_36	Comp_36	medição_apexmesial1_37	mediçãoapexdistal2.1_37	mediçãoapexdistal2.2_37	@3somaapêxes_37	comprimentovertical4_37	Apex_37	Comp_37
65								1,7140		2,1430	3,8570	24,1300		
66	1,0900		1,1850	2,2750	26,6710			3,0160		3,6250	6,6410	14,8500		
67								1,8820		1,9170	3,7990	22,5050		
68								0,5460		1,0930	1,6390	24,2590		
69								2,1950		3,0480	5,2430	14,0840		
70														
71	0,7070		0,5590	1,2660	26,9370								10,0530	14,6260
72								2,9250		3,9750	6,9000	16,8490		
73													8,0990	15,8020
74													11,0860	14,3860
75								0,4790		0,6780	1,1570	29,6630		
76								0,6900		0,8790	1,5690	23,4180		
77	0,6480		1,1620	1,8100	21,4100								9,7120	10,2400
78								1,0600		1,5840	2,6440	22,6930		
79								1,9530		2,2930	4,2460	19,9420		
80	1,4580		1,8700	3,3280	22,1920								12,3130	9,9930
81								1,1450		2,6200	3,7650	19,0850		
82								0,4860		0,3440	0,8300	25,9370		
83	1,1460		1,2820	2,4280	24,6730								12,1780	10,6120
84								2,7940		3,6620	6,4560	18,1240		
85	0,2560		1,0570	1,3130	27,1550								10,7140	11,0460
86													10,8100	12,1500
87								1,6390		1,9170	3,5560	22,3310		
88								1,4290		1,5820	3,0110	22,1900		
89	0,7530		0,6730	1,4260	25,6720								11,3190	12,7460
90								2,2350		2,5730	4,8080	18,2850		
91								0,3490		0,6440	0,9930	25,4510		
92														
93													10,0450	11,8430
94								1,8020		1,9030	3,7050	17,7940		
95								0,8320		0,6570	1,4890	23,9350		
96														

N	medição_apexmesial1_36	mediçãoapexdistal2.1_36	mediçãoapexdistal2.2_36	@3somaapêxes_36	comprimentovertical4_36	Apex_36	Comp_36	medição_apexmesial1_37	mediçãoapexdistal2.1_37	mediçãoapexdistal2.2_37	@3somaapêxes_37	comprimentovertical4_37	Apex_37	Comp_37
97	0,5320		0,7620	1,2940	29,0630			1,4910		3,2380	4,7290	14,8660		
98								1,5210		1,4140	2,9350	17,8970		
99	0,3720		1,1770	1,5490	26,4000								10,6570	11,2420
100								3,0210		3,5480	6,5690	14,9850		
101	0,5950		0,5050	1,1000	23,2140								10,0030	11,5480
102								0,5440		1,3740	1,9180	23,2340		
103								0,7580		1,0930	1,8510	24,2560		
104								0,5300		0,4160	0,9460	26,7440		
105								1,1830		1,4290	2,6120	24,2110		
106								0,5300		0,2940	0,8240	24,5060		
107	0,6210		1,2420	1,8630	24,2470								13,0530	10,8150
108	0,3390		0,4540	0,7930	11,4200			2,3120		2,8570	5,1690	19,3060		
109	0,9010		1,0600	1,9610	23,2480								10,1210	9,8360
110	0,2940		0,4050	0,6990	25,6080								9,1710	12,7910
111								1,5830		3,7650	5,3480	16,3290		
112	0,8540		0,8540	1,7080	21,2820								10,5090	10,7260
113								1,5380		2,2200	3,7580	18,3260		
114	0,3820		0,6890	1,0710	22,1920								11,0950	9,9720
115								1,3950		1,9170	3,3120	18,2850		
116														
117								0,8930		0,5050	1,3980	27,7150		
118								1,4890		1,5340	3,0230	18,0740		
119								0,1470		0,8570	1,0040	23,8860		
120								0,4420		0,6630	1,1050	26,0130		
121	1,2460		1,6270	2,8730	18,9370								9,9710	9,1020
122	0,3760		0,3760	0,7520	23,0120								10,4090	11,8970
123								1,2060		1,0550	2,2610	16,7020		
124								3,1470		3,1020	6,2490	18,4060		
125	0,4550		0,6820	1,1370	25,6660			3,8100		5,1530	8,9630	14,1510		
126								2,0080		2,4290	4,4370	17,2240		
127								0,6430		1,0160	1,6590	26,4830		
128	0,6730		0,7140	1,3870	21,9470								10,5760	9,2460

N	medição_apexmesial1_36	mediçãoapexdistal2.1_36	mediçãoapexdistal2.2_36	@3somaapêxes_36	comprimentovertical4_36	Apex_36	Comp_36	medição_apexmesial1_37	mediçãoapexdistal2.1_37	mediçãoapexdistal2.2_37	@3somaapêxes_37	comprimentovertical4_37	Apex_37	Comp_37
129								0,8830		1,2940	2,1770	19,8280		
130								0,4660		0,3290	0,7950	24,9960		
131								1,2880		1,8490	3,1370	16,3460		
132	0,2500		0,5580	0,8080	21,9770								10,3580	11,1360
133								0,5890		0,8390	1,4280	24,1690		
134								3,0800		3,6350	6,7150	13,1910		
135								1,0600		1,2490	2,3090	18,6700		
136													11,0480	12,4500
137								1,4920		2,1210	3,6130	17,2400		
138								0,7570		1,6310	2,3880	23,6380		
139								0,5460		0,6250	1,1710	24,7350		
140								2,0010		1,1270	3,1280	24,1170		
141								1,3260		2,7950	4,1210	20,8280		
142								0,4290		0,7580	1,1870	26,7020		
143								0,5300		0,4410	0,9710	21,3240		
144													9,6830	14,7740
145								0,8570		1,7670	2,6240	18,3460		
146								0,8570		1,7670	2,6240	15,9980		
147	0,8320		1,0850	1,9170	25,5710								8,9050	13,8980
148													11,8580	11,2750
149	1,2290		2,2630	3,4920	18,0070								11,3940	9,1890
150								1,3550		2,1420	3,4970	18,8990		
151								0,4160		0,8570	1,2730	25,2890		
152	1,4530		1,0640	2,5170	19,7210								8,4310	10,4280
153														
154								0,7570		0,2520	1,0090	25,0170		
155								1,1090		2,3430	3,4520	22,4470		
156								1,0600		1,2130	2,2730	24,8540		
157								1,8380		1,5150	3,3530	15,2530		
158								1,6850		1,5970	3,2820	16,6800		
159								1,5150		1,6840	3,1990	17,1670		
160								1,9400		1,2860	3,2260	16,9530		

N	medição_apexmesial1_36	mediçãoapexdistal2.1_36	mediçãoapexdistal2.2_36	@3somaapêxes_36	comprimentovertical4_36	Apex_36	Comp_36	medição_apexmesial1_37	mediçãoapexdistal2.1_37	mediçãoapexdistal2.2_37	@3somaapêxes_37	comprimentovertical4_37	Apex_37	Comp_37
161						0,2080	27,7260						0,2940	14,6780
162								0,6780		1,3970	2,0750	21,7520		
163								1,2200		0,9940	2,2140	24,2580		
164								1,3510		1,9480	3,2990	17,9860		
165								0,5630		0,8840	1,4470	22,2350		
166	0,6250		0,5590	1,1840	19,7270								11,5870	9,6350
167								0,4550		0,8160	1,2710	19,1640		
168	0,5410		0,2700	0,8110	23,3330			4,6500		2,7030	7,3530	14,0570		
169								2,7200		2,7780	5,4980	15,1290		
170								1,5150		2,2730	3,7880	19,6180		
171								1,0710		1,6110	2,6820	16,5120		
172								0,8570		1,1830	2,0400	18,6700		
173								0,5300		0,9870	1,5170	20,2950		
174								3,2390		3,4550	6,6940	16,6870		
175	0,7070		0,9010	1,6080	24,4960								11,8000	12,4550
176								1,6140		1,8050	3,4190	15,3150		
177														
178								0,4790		0,3030	0,7820	19,5270		
179														
180	0,4650		0,3290	0,7940	22,4270								9,6030	10,2410
181								1,3430		2,1010	3,4440	17,2450		
182	1,0160		1,6390	2,6550	21,8520								13,4990	10,4470
183	0,2730		0,6520	0,9250	27,3150								12,2310	12,8560
184								0,6770		1,7270	2,4040	20,3640		
185	0,5590		1,0680	1,6270	20,3590								11,0110	9,8520
186								0,7350		0,8820	1,6170	21,2960		
187								1,9890		1,5620	3,5510	21,5480		
188													9,7680	11,3220
189	0,3190		0,2860	0,6050	21,9450			3,3640		2,5890	5,9530	13,2170		
190								1,8720		1,3230	3,1950	16,4850		
191								1,1490		1,1860	2,3350	18,0780		
192								2,2140		2,9400	5,1540	15,2860		

N	medição_apexmesial1_36	mediçãoapexdistal2.1_36	mediçãoapexdistal2.2_36	@3somaapêxes_36	comprimentovertical4_36	Apex_36	Comp_36	medição_apexmesial1_37	mediçãoapexdistal2.1_37	mediçãoapexdistal2.2_37	@3somaapêxes_37	comprimentovertical4_37	Apex_37	Comp_37
193	0,8140		1,0740	1,8880	24,2780								9,3850	12,5220
194	1,1430		0,8080	1,9510	28,2810			2,1090		3,1430	5,2520	15,2860		
195	1,4360		2,1430	3,5790	24,2260								10,9000	11,8840
196	0,8140		1,7640	2,5780	26,4880								7,1290	13,8690
197	1,2120		1,0100	2,2220	27,3890			3,2320		3,9290	7,1610	14,5420		
198	0,5050		0,2260	0,7310	25,5270			2,0730		3,4280	5,5010	16,3210		
199	0,8690		1,4030	2,2720	20,7480								9,4550	7,8580
200								2,2700		2,4090	4,6790	20,7290		
201								1,3130		1,8210	3,1340	23,7910		
202								1,1460		2,8740	4,0200	15,3480		
203								0,9830		2,5870	3,5700	18,8390		
204	1,0230		1,3760	2,3990	30,0000			1,7620		3,6110	5,3730	17,0950		
205	0,3030		0,5050	0,8080	29,2630			2,3490		2,0450	4,3940	21,2800		
206								2,1430		2,8280	4,9710	22,6820		
207								0,1430		1,5020	1,6450	25,5970		
208	0,6670		0,8390	1,5060	26,0990			2,0870		3,2050	5,2920	15,9480		
209	0,3120		0,4420	0,7540	30,1190			2,0170		2,6810	4,6980	19,8360		
210	0,1430		0,3030	0,4460	29,7240			1,4460		2,0000	3,4460	20,5710		
211								0,1430		1,3720	1,5150	24,4660		
212								0,6780		0,7070	1,3850	26,7520		
213	0,6730		0,7940	1,4670	26,8330								9,5510	12,9220
214								1,7640		2,3060	4,0700	23,5000		
215	0,3030		0,7280	1,0310	24,6310			2,3950		3,0540	5,4490	16,0940		
216	0,7210		0,9410	1,6620	28,4350								9,8540	12,9820
217								1,0880		1,6930	2,7810	21,5480		
218								0,3640		0,4520	0,8160	23,5100		
219								0,4520		0,3190	0,7710	25,5740		
220	0,4290		1,0100	1,4390	25,1550			2,3570		3,1990	5,5560	15,2370		
221	1,4220		1,2650	2,6870	24,6390								10,9450	10,8620
222	1,1900		1,6020	2,7920	20,1710								10,7140	10,0770
223	0,4160		0,7140	1,1300	24,2550			3,7590		4,5730	8,3320	14,0250		
224	0,5050		1,4710	1,9760	26,9700			3,0900		3,4830	6,5730	15,7240		

N	medição_apexmesial1_36	mediçãoapexdistal2.1_36	mediçãoapexdistal2.2_36	@3somaapêxes_36	comprimentovertical4_36	Apex_36	Comp_36	medição_apexmesial1_37	mediçãoapexdistal2.1_37	mediçãoapexdistal2.2_37	@3somaapêxes_37	comprimentovertical4_37	Apex_37	Comp_37
225								2,5010		1,4950	3,9960	17,7340		
226	0,7070		2,2870	2,9940	21,4440								9,3650	10,6320
227	1,0400		0,7070	1,7470	25,8810			2,0820		3,0790	5,1610	15,0990		
228	2,1370		2,3340	4,4710	20,4050								12,2890	9,4670
229	1,1810		0,9300	2,1110	27,4410			0,7790		3,4420	4,2210	15,8120		
230	0,7140		0,6140	1,3280	25,5530								9,2190	10,2900
231	0,9310		0,5890	1,5200	30,1250			3,5710		4,7090	8,2800	15,6070		
232								1,4910		2,3560	3,8470	20,3890		
233								1,8570		3,4760	5,3330	29,2280		
234	1,6320		2,4430	4,0750	19,9800								10,3840	7,4340
235	0,5050		0,2260	0,7310	29,3810			4,0720		4,1460	8,2180	15,2690		
236								0,7140		2,3840	3,0980	17,8790		
237	0,9300		1,2260	2,1560	23,5110								9,9780	10,3950
238								1,8530		1,7540	3,6070	22,3840		
239	1,0100		1,1290	2,1390	24,7200								7,7940	11,1430
240	1,2160		1,4710	2,6870	25,0510			4,0930		4,5770	8,6700	16,4820		
241	1,2240		1,8820	3,1060	24,0560								11,1110	10,5130
242	1,0170		0,6940	1,7110	27,2360			2,8620		2,1100	4,9720	20,5150		
243								3,1770		3,9000	7,0770	12,7430		
244								1,3970		2,0620	3,4590	19,0710		
245	0,4520		1,1520	1,6040	25,6510								11,2260	11,5640
246	1,7260		1,0300	2,7560	23,4060								11,2380	9,3130
247	1,6300		2,4040	4,0340	21,7990								11,1640	9,9140
248	0,4630		0,9120	1,3750	27,0940			2,0310		3,0780	5,1090	14,8800		
249								2,4280		2,4430	4,8710	19,6520		
250	1,0740		0,1010	1,1750	26,0270			2,4600		4,7910	7,2510	15,2150		
251								1,0100		2,3490	3,3590	20,2900		
252	1,1240		1,6590	2,7830	21,5920								12,0740	10,6930
253								2,7860		2,8710	5,6570	18,1450		
254	1,7250		1,8050	3,5300	24,5060			4,2660		5,6390	9,9050	14,7410		
255	0,6550		1,0020	1,6570	27,1160			2,1620		3,4070	5,5690	18,0380		
256								1,0880	0,9580	3,1200	5,1660	24,7430		

N	medição_apexmesial1_36	mediçãoapexdistal2.1_36	mediçãoapexdistal2.2_36	@3somaapêxes_36	comprimentovertical4_36	Apex_36	Comp_36	medição_apexmesial1_37	mediçãoapexdistal2.1_37	mediçãoapexdistal2.2_37	@3somaapêxes_37	comprimentovertical4_37	Apex_37	Comp_37
257	1,2110		1,0540	2,2650	22,9970								8,3330	11,8420
258	0,5770		0,6110	1,1880	23,4380			2,5230		2,8370	5,3600	13,9390		
259														
260	0,7620		1,1900	1,9520	29,5490								9,0170	14,4800
261	2,4990		2,4090	4,9080	21,9790								11,5430	11,4300
262	1,0830		1,0870	2,1700	23,1820			3,2070		4,9000	8,1070	12,3320		
263								1,4570		1,3740	2,8310	28,6290		
264								0,4520		0,6780	1,1300			
265	0,3640		0,2020	0,5660	27,0880			2,5080		4,4250	6,9330	14,6370		
266	0,3210		0,4420	0,7630	28,6790			2,3730		2,2560	4,6290	16,0820		
267								0,2660		0,7620	1,0280	26,1450		
268								1,1780		1,3550	2,5330	24,0010		
269								3,0680		3,6430	6,7110	13,5150		
270								2,0050		2,0450	4,0500	16,1700		
271								0,4520		0,7140	1,1660	21,8130		
272	1,7170		2,1170	3,8340	19,4560								10,0540	7,9550
273								0,5150		2,4760	2,9910	22,9530		
274								0,5440		0,8140	1,3580	24,6330		
275	1,1830		1,5820	2,7650	25,3860								10,0910	11,4680
276	0,4550		1,0610	1,5160	27,9840			2,5400		4,4250	6,9650	15,1130		
277	0,4100		0,9370	1,3470	23,1950								10,3810	10,9290
278								0,5050		1,1110	1,6160	22,9740		
279	0,6060		1,1820	1,7880	23,8910								10,1920	9,9260
280	0,9090		1,0300	1,9390	26,6890								8,9190	12,2500
281	0,5950		0,5320	1,1270	24,5620								9,7420	10,7390
282								1,2140		2,0900	3,3040	17,8850		
283								2,0200		1,7900	3,8100	21,5120		
284								1,2650		0,5950	1,8600	26,4520		
285	1,3550		1,7670	3,1220	24,4410								11,4290	12,3770
286	2,6490		2,9280	5,5770	19,3320								12,4850	9,5570
287	0,7140		1,9610	2,6750	25,5040			2,3650		4,2460	6,6110	14,7360		
288	1,0930		0,9580	2,0510	22,9050								10,1830	10,6980

N	medição_apexmesial1_36	mediçãoapexdistal2.1_36	mediçãoapexdistal2.2_36	@3somaapêxes_36	comprimentovertical4_36	Apex_36	Comp_36	medição_apexmesial1_37	mediçãoapexdistal2.1_37	mediçãoapexdistal2.2_37	@3somaapêxes_37	comprimentovertical4_37	Apex_37	Comp_37
289								2,3490		2,5750	4,9240	16,4940		
290								1,9610		1,7170	3,6780	19,4800		
291								1,5970		1,5390	3,1360	23,1970		
292	3,5410		2,9770	6,5180	22,0890								12,1640	11,7870
293								2,6570		2,5750	5,2320	17,5880		
294	0,4160		1,7280	2,1440	20,1260								10,3410	8,2840
295	0,7140		0,9950	1,7090	26,3830								9,6540	12,0170
296	1,5970		1,7170	3,3140	23,1320								10,2150	10,8350
297	0,6440		0,3030	0,9470	29,3530			1,9930		3,4350	5,4280	17,5290		
298								2,0330		2,7310	4,7640	18,0190		
299								1,8540		3,1700	5,0240	14,9620		
300								0,8330		1,7170	2,5500	16,6390		
301								2,1850		2,8590	5,0440	15,6290		
302	0,3030		0,7140	1,0170	21,6930			2,4580		3,5010	5,9590	14,3680		
303								2,1310		4,4770	6,6080	18,5450		
304	1,0980		0,6070	1,7050	30,6190			1,0100		2,6750	3,6850	19,9650		
305								0,6760		1,7620	2,4380	22,6710		
306	0,0930		0,9310	1,0240	24,7650			2,9260		3,8570	6,7830	14,1360		
307	0,9090		3,7420	4,6510	21,8420								13,5320	8,6380
308	0,7140		0,9530	1,6670	24,8390								11,4850	10,8850
309								1,0610		1,1790	2,2400	19,8050		
310								0,4520		1,0740	1,5260	26,0540		
311	0,4040		0,5050	0,9090	25,7800			2,3050		3,0320	5,3370	14,7160		
312	0,5050		1,4280	1,9330	26,1550								7,8680	11,3940
313	0,0900		0,5100	0,6000	25,6710			1,4780		2,4980	3,9760	16,7210		
314														
315								2,2740		3,9270	6,2010	15,2760		
316								1,0650		2,2460	3,3110	19,7870		
317	0,4960		0,7980	1,2940	27,4380			2,0010		2,3540	4,3550	14,7200		
318								1,8490		2,3130	4,1620	20,0090		
319	1,2490		1,2330	2,4820	20,1570								9,6390	9,7310
320	0,7140		0,7350	1,4490	24,6700			1,8070		2,4950	4,3020	15,0600		

N	medição_apexmesial1_36	mediçãoapexdistal2.1_36	mediçãoapexdistal2.2_36	@3somaapêxes_36	comprimentovertical4_36	Apex_36	Comp_36	medição_apexmesial1_37	mediçãoapexdistal2.1_37	mediçãoapexdistal2.2_37	@3somaapêxes_37	comprimentovertical4_37	Apex_37	Comp_37
321													3,1310	21,8190
322	0,9920		0,9360	1,9280	23,7870			2,4390		3,1090	5,5480	15,1530		
323													0,9950	19,9090
324	0,9580		2,1100	3,0680	24,1550								10,8420	9,4860
325	0,7890		1,4460	2,2350	27,4650								10,2160	11,6070
326	0,5890		0,7580	1,3470	25,8150			3,3880		4,4040	7,7920	14,8410		
327	0,7620		0,9300	1,6920	26,5690			2,7290		4,8940	7,6230	13,5410		
328	1,1290		1,2330	2,3620	28,4800								9,7460	12,2160
329	1,6570		1,0100	2,6670	26,2150			2,5890		1,9760	4,5650	15,0610		
330	0,5150		0,3640	0,8790	27,7620								10,3000	11,2260
331	0,8580		0,3760	1,2340	24,7360			1,4340		1,6190	3,0530	14,5270		
332	0,6060		0,9580	1,5640	27,5980								10,3640	12,2430
333								1,8310		3,4050	5,2360	20,0580		
334	0,7140		1,7730	2,4870	22,9170								10,2460	11,3400
335	0,4620		0,8110	1,2730	23,0000								9,0020	9,8060
336	0,6100		0,4400	1,0500	21,6330			2,4870		3,1090	5,5960	13,5470		
337								1,6390		2,5760	4,2150	18,3940		
338	1,7610		2,4260	4,1870	21,1930								9,7090	10,0670
339	1,5450		1,8310	3,3760	26,2450			6,2780		5,1430	11,4210	14,4350		
340								0,7410		1,5280	2,2690	28,2710		
341								0,1280		0,3630	0,4910	22,5910		
342	1,7730		0,9580	2,7310	21,2180								11,1850	10,7870
343	0,3570		0,5050	0,8620	20,9880								7,4550	8,7840
344	1,7290		0,5460	2,2750	22,5560								9,2130	12,6110
345								1,3970		3,1090	4,5060	16,5990		
346	1,7140		2,1690	3,8830	22,7270								12,7710	9,4280
347								2,2590		1,0100	3,2690	26,5780		
348	0,8570		1,2860	2,1430	23,1620								10,9700	8,3660
349								0,3030		1,1030	1,4060	22,5940		
350													9,5470	11,0610
351	1,1030		1,6940	2,7970	21,8180								10,4720	10,3750
352								1,5710		2,1820	3,7530	18,8200		

N	medição_apexmesial1_36	mediçãoapexdistal2.1_36	mediçãoapexdistal2.2_36	@3somaapêxes_36	comprimentovertical4_36	Apex_36	Comp_36	medição_apexmesial1_37	mediçãoapexdistal2.1_37	mediçãoapexdistal2.2_37	@3somaapêxes_37	comprimentovertical4_37	Apex_37	Comp_37
353	0,3990		1,0710	1,4700	25,2180								9,9950	14,6930
354	0,4550		1,8490	2,3040	24,2930								9,9950	11,2830
355								1,9760		2,3080	4,2840	19,1640		
356								0,3390		0,4790	0,8180	24,6600		
357	1,6940		1,9700	3,6640	20,9690								12,3250	9,5150
358														
359													0,3190	24,3430
360	3,4980		2,0380	5,5360	2,0380								10,3030	8,7850
361								2,1050		2,4480	4,5530	21,3550		
362	1,2220		2,1430	3,3650	23,1900								13,3930	10,5520
363	1,5600		1,1030	2,6630	27,3590			2,9260		3,8330	6,7590	14,5010		
364	1,1030		1,4370	2,5400	21,5820								10,5160	8,3720
365	0,4290		0,4550	0,8840	23,8270								12,0840	10,7280
366	1,1780		1,6940	2,8720	23,0390								10,6110	10,2850
367	1,1540		0,4790	1,6330	25,4660								9,6600	10,5540
368	0,6060		0,1010	0,7070	28,4360			3,4050		3,0900	6,4950	13,6880		
369	1,0930		1,6320	2,7250	20,1810								9,7090	9,3550
370	0,5890		1,1070	1,6960	22,7880								7,8300	11,0520
371								0,5710		0,9950	1,5660	22,1490		
372								0,3570		0,4290	0,7860	22,7700		
373	0,7280		0,9090	1,6370	20,9880								9,0400	9,9920
374	0,3390		0,4550	0,7940	23,2980			2,3050		3,8570	6,1620	13,1540		
375	0,5440		0,1430	0,6870	21,4120								6,0950	10,2060
376	1,2220		1,6670	2,8890	19,8480								9,8520	10,0710
377								0,1430		0,5460	0,6890	24,9710		
378								1,1290		2,4020	3,5310	21,1240		
379								1,7670		1,9170	3,6840	23,3910		
380	0,4880		0,5450	1,0330	24,8790								8,8230	11,6800
381								2,3540		3,1820	5,5360	15,0760		
382								1,8260		2,4890	4,3150	18,8600		
383	0,3210		0,3410	0,6620	24,1660			2,9500		3,5360	6,4860	13,5690		
384	1,1720		1,9700	3,1420	21,3230								9,6570	11,0570

N	medição_apexmesial1_36	mediçãoapexdistal2.1_36	mediçãoapexdistal2.2_36	@3somaapêxes_36	comprimentovertical4_36	Apex_36	Comp_36	medição_apexmesial1_37	mediçãoapexdistal2.1_37	mediçãoapexdistal2.2_37	@3somaapêxes_37	comprimentovertical4_37	Apex_37	Comp_37
385	0,8490		0,1090	0,9580	25,1520			2,4790		3,7180	6,1970	13,2820		
386								0,1520		0,2140	0,3660	23,7060		
387								2,5540		2,9930	5,5470	13,7540		
388	0,2630		1,0020	1,2650	25,3430								7,9170	12,7370
389	0,3390		1,4290	1,7680	23,9400								10,5160	10,0730
390	0,2990		0,4480	0,7470	24,6970			2,4480		3,6440	6,0920	12,2140		
391								2,1050		3,0000	5,1050	15,8250		
392								2,1530		2,2520	4,4050	16,6050		
393	1,6580		1,9710	3,6290	22,1220								9,9730	12,2360
394								0,1150		0,2440	0,3590	24,1770		
395														
396	0,8160		2,1690	2,9850	23,3940								9,4500	12,7530
397	0,0930		0,2620	0,3550	25,8640			3,4050		4,4730	7,8780	13,5350		
398	0,1280		0,5440	0,6720	26,9490			1,2630		2,1830	3,4460	16,0640		
399								1,3310		1,7620	3,0930	18,5610		
400								1,0930		1,4920	2,5850	22,1610		
401								0,3640		0,3030	0,6670	25,5320		
402								1,6940		4,6080	6,3020	16,0960		
403								2,5110		1,9910	4,5020	18,7090		
404								0,6980		1,0930	1,7910	22,9600		
405								0,4190		1,2520	1,6710	23,9640		
406								0,0760		0,0760	0,1520	25,2090		
407	0,0760		0,1520	0,2280	26,3490								9,1380	12,8560
408	0,0760		0,0760	0,1520	26,4760								9,5410	13,0910
409	0,0760		0,0760	0,1520	27,1550								8,4770	13,5690
410	0,0760		0,1070	0,1830	31,6620								14,4140	11,3110
411								0,3450		2,0770	2,4220	23,4390		
412								0,1550		1,1950	1,3500	23,3310		
413								0,2940		1,3030	1,5970	23,7400		
414								0,3390		0,3030	0,6420	25,4100		
415	0,2440		0,4880	0,7320	24,1030								9,6060	12,4650
416	1,4370		1,1590	2,5960	21,0300								7,6820	10,6150

N	medição_apexmesial1_36	mediçãoapexdistal2.1_36	mediçãoapexdistal2.2_36	@3somaapêxes_36	comprimentovertical4_36	Apex_36	Comp_36	medição_apexmesial1_37	mediçãoapexdistal2.1_37	mediçãoapexdistal2.2_37	@3somaapêxes_37	comprimentovertical4_37	Apex_37	Comp_37
417								1,0710		1,9400	3,0110	17,6860		
418								1,1430		3,2190	4,3620	15,5590		
419								0,5460		2,1100	2,6560	23,2490		
420	0,3790		0,0760	0,4550	24,7760								9,5650	12,0070
421	0,2220		0,4970	0,7190	21,6240								10,5290	11,0040
422	0,1260		0,0890	0,2150	26,1480			1,3600		2,9720	4,3320	15,3660		
423	0,1690		0,2140	0,3830	26,8610			2,1210		2,5800	4,7010	14,0850		
424	0,2860		0,6470	0,9330	24,2200								7,6980	11,3460
425	1,1030		1,5000	2,6030	18,5130								8,1870	8,7880
426	1,8240		2,3960	4,2200	21,9590								9,1580	10,9280
427								1,9460		3,3840	5,3300	18,4480		
428	0,4660		0,9380	1,4040	24,5400								9,0140	10,7860
429								0,4520		0,7580	1,2100	17,8490		
430	1,0450		1,1370	2,1820	18,6810								8,8880	8,9760
431	0,4050		0,1350	0,5400	25,8390								8,3060	13,1630
432	0,1690		0,2400	0,4090	19,6770								7,0040	10,2870
433	0,6780		1,0160	1,6940	23,6490								9,7260	9,9780
434	0,7280		0,7580	1,4860	23,2860								9,4580	11,0970
435								0,4910		0,4290	0,9200	26,6680		
436														
437	0,7140		0,2140	0,9280	22,1040								11,0610	11,7680
438								0,0760		0,4080	0,4840	28,3260		
439								0,2330		0,6340	0,8670	27,6720		
440								0,0760		0,3790	0,4550	23,6570		
441	0,6260		1,4290	2,0550	22,6690								11,3350	9,4240
442	0,2660		0,1680	0,4340	22,1790								8,8230	13,1090
443								0,3390		0,9700	1,3090	21,7490		
444								0,6430		1,0160	1,6590	22,0010		
445								0,2330		0,3490	0,5820	23,7540		
446								0,1010		0,3390	0,4400	23,1900		
447								0,0760		0,2140	0,2900	24,4310		
448														

N	medição_apexmesial1_36	mediçãoapexdistal2.1_36	mediçãoapexdistal2.2_36	@3somaapêxes_36	comprimentovertical4_36	Apex_36	Comp_36	medição_apexmesial1_37	mediçãoapexdistal2.1_37	mediçãoapexdistal2.2_37	@3somaapêxes_37	comprimentovertical4_37	Apex_37	Comp_37
449	0,6780		0,7580	1,4360	20,9380								10,5020	10,2850
450	0,1520		1,3030	1,4550	24,8480								8,6580	13,3210
451	0,1520		0,7580	0,9100	24,4120								8,8500	13,0870
452	0,3030		0,3390	0,6420	25,8910								8,1210	13,5800
453	0,1430		0,4290	0,5720	26,3590								8,3590	12,7500
454	0,4040		0,3390	0,7430	26,2570								6,7510	14,0450
455								1,0930		3,1200	4,2130	18,0250		
456	0,3390		0,8570	1,1960	21,8650								9,7970	11,7300
457	0,4790		0,6780	1,1570	25,0110								12,7310	11,6030
458	1,3000		1,7590	3,0590	24,1360								12,9370	11,6990
459	1,5450		1,9760	3,5210	22,2350								12,1890	10,0930
460	1,0420		0,5950	1,6370	27,0290			1,1050		3,2170	4,3220	14,3010		
461	0,6430		0,6780	1,3210	23,7550								7,6930	12,3990
462	0,1790		0,2530	0,4320	23,8570								8,7080	12,8340
463								1,2200		0,6640	1,8840	18,2200		
464														
465								0,6250		0,7580	1,3830	23,7180		
466								0,2140		0,6780	0,8920	26,7660		
467								0,1520		0,3030	0,4550	22,0640		
468	0,4290		0,4550	0,8840	25,2030								12,1970	10,9770
469													10,1920	13,8240
470	0,6430		0,9220	1,5650	28,7980			3,5370		3,7510	7,2880	14,7730		
471	0,4290		1,0930	1,5220	22,9510								10,0610	10,5380
472	0,5460		0,3390	0,8850	23,7900								12,1890	10,2730
473													9,2830	13,4110
474	0,1520		0,7580	0,9100	26,2020			1,8430		5,1470	6,9900	14,6230		
475	0,1520		0,2140	0,3660	27,0470			2,7310		4,0940	6,8250	16,3420		
476	0,5880		1,0600	1,6480	21,5810								10,7060	9,3840
477	0,3030		0,4290	0,7320	21,6830								9,9400	10,2530
478								1,1030		2,2730	3,3760	17,6100		
479								2,0610		1,9280	3,9890	18,7860		
480								1,2860		2,0330	3,3190	18,1130		

N	medição_apexmesial1_36	mediçãoapexdistal2.1_36	mediçãoapexdistal2.2_36	@3somaapêxes_36	comprimentovertical4_36	Apex_36	Comp_36	medição_apexmesial1_37	mediçãoapexdistal2.1_37	mediçãoapexdistal2.2_37	@3somaapêxes_37	comprimentovertical4_37	Apex_37	Comp_37
481	2,4330		3,9600	6,3930	22,1760								10,3690	7,3570
482	0,7580		0,9700	1,7280	24,2920								11,9810	11,0980
483	1,0600		1,6640	2,7240	17,4820								9,4160	8,9280

N	mediçãoapex_41	comprimentovertical_41	mediçãoapex_42	comprimentovertical_42	mediçãoapex_43	comprimentovertical_43	@_1_44Bi	@_2_44Bi	@_3_44Bi	@_4_44Bi	@_1_44	@_4_44	@_1_45Bi	@_2_45Bi	@_3_45Bi	@_4_45Bi
1																
2																
3																
4					1,5900	27,0930					4,3300	23,1770				
5					1,6120	25,5060					1,3650	23,4540				
6																
7																
8																
9					1,2440	20,7540					4,1270	14,6860				
10					7,7280	21,5460					6,5350	18,4600				
11											1,1590	18,3710				
12																
13																
14					2,5510	34,6100					4,2250	27,4990				
15																
16					3,8490	26,6900					2,1080	21,8650				
17																
18																
19																
20					2,1830	25,5960					1,2670	20,2650				
21											1,4940	23,4870				
22											0,7610	25,5350				
23																
24			0,9820	19,7630	3,6290	18,9000					3,2050	16,4670				
25																
26																
27					2,1050	30,7640					1,8470	23,8450				
28																
29					1,8750	24,5460					0,7600	23,5030				
30											1,2120	23,1290				
31	0,5750	23,5790	1,0840	22,8680	7,3060	19,3640					4,1030	12,9250				
32					4,1040	26,0290					2,6950	22,9220				

N	mediçãoapex_41	comprimentovertical_41	mediçãoapex_42	comprimentovertical_42	mediçãoapex_43	comprimentovertical_43	@_1_44Bi	@_2_44Bi	@_3_44Bi	@_4_44Bi	@_1_44	@_4_44	@_1_45Bi	@_2_45Bi	@_3_45Bi	@_4_45Bi
33					4,2490	26,4920					2,1240	24,3570				
34																
35																
36																
37					1,2900	23,4090					1,3970	20,7570				
38			0,4550	23,1820	2,9550	17,2620					3,4090	13,7580				
39			0,8370	20,8690	3,3960	14,2590					6,4930	10,9240				
40			0,5960	13,9120	2,8580	12,0750					5,2700	11,5040				
41			0,9520	19,0160	2,7870	22,5900					2,3110	21,1940				
42	1,5110	22,9270	2,0670	20,4890	6,1050	15,3070					6,8220	12,2430				
43																
44					1,3780	27,8750					0,8220	26,6610				
45					5,3380	28,6460					1,5450	30,5280				
46																
47			0,2380	21,9680	1,9200	19,8130					2,8570	16,9650				
48																
49																
50																
51																
52																
53			1,2750	24,8660	2,2500	19,5260					2,7610	15,2500				
54					1,1760	24,9030					0,8770	21,6050				
55					2,2730	24,1940					2,5910	19,4580				
56					1,2120	32,1280					1,2120	23,6850				
57																
58																
59																
60																
61																
62					0,9520	31,4290					0,7140	26,7530				
63			0,6500	24,1800	5,2160	17,3780					4,1830	12,2410				
64											0,8110	24,9280				

N	mediçãoapex_41	comprimentovertical_41	mediçãoapex_42	comprimentovertical_42	mediçãoapex_43	comprimentovertical_43	@_1_44Bi	@_2_44Bi	@_3_44Bi	@_4_44Bi	@_1_44	@_4_44	@_1_45Bi	@_2_45Bi	@_3_45Bi	@_4_45Bi
65																
66			0,9750	24,6280	4,6390	20,5180					3,4910	16,5970				
67					1,4700	29,4120					0,8820	25,9310				
68					0,9090	31,0040										
69					0,9520	17,6490					3,8380	16,3270				
70																
71																
72					0,9090	26,3520					2,4230	19,8760				
73					3,3670	20,0030					3,0120	18,1720				
74					3,8160	28,3500					3,5780	20,1970				
75																
76																
77	0,5200	21,7520	1,2520	21,8220	4,4240	15,0260					4,8880	12,5630				
78																
79			0,5130	24,6610	3,3730	27,4160					3,0770	23,6120				
80	1,9570	17,3970	4,4020	12,9220	7,2920	12,1120					5,5040	8,0550				
81					3,2500	25,6680					2,2390	22,9730				
82																
83	0,7690	26,1570	1,0570	21,7150	9,5390	14,6800					7,7070	9,8610				
84					3,9510	29,3000					3,0450	24,4710				
85					3,2430	23,7900					3,9280	19,5290				
86					2,2690	26,1540					2,1730	23,7540				
87																
88																
89	0,4760	21,4290	0,9820	21,4620	2,8670	20,4890					5,4290	14,5690				
90					1,5060	27,1580					1,9990	21,0070				
91																
92																
93					3,6030	24,3430					4,9080	17,6590				
94					0,7500	32,5370					0,7500	24,9550				
95																
96																

N	mediçãoapex_41	comprimentovertical_41	mediçãoapex_42	comprimentovertical_42	mediçãoapex_43	comprimentovertical_43	@_1_44Bi	@_2_44Bi	@_3_44Bi	@_4_44Bi	@_1_44	@_4_44	@_1_45Bi	@_2_45Bi	@_3_45Bi	@_4_45Bi
97			0,4910	25,7480	3,0110	23,5660					4,4610	15,7260				
98					1,3460	26,7690					1,5000	21,3220				
99			1,9160	21,4470	7,6500	15,5290					6,2550	11,6860				
100					3,0100	22,3750					2,5120	16,9360				
101			0,6410	21,1310	4,4190	16,7900					5,8350	13,1000				
102																
103																
104																
105																
106																
107	0,2780	19,4450	1,1110	19,4390	7,4510	16,5160					6,6870	12,5810				
108																
109	1,2500	19,7230	1,9520	16,6160	7,0020	12,3710					7,6130	12,2540				
110			0,7350	21,2380	6,3350	17,1630					5,6290	14,4840				
111					3,7190	22,0490					4,5640	18,8250				
112	0,8110	21,3590	1,0810	18,3740	5,6740	15,6720					4,8930	13,1470				
113					1,8810	25,5940					0,6250	25,2260	0,9370	1,2590	2,1960	22,6890
114																
115					2,0000	26,6860					1,4780	23,8240				
116																
117					1,2500	30,8110										
118					1,0850	25,0010					0,8320	23,6810				
119																
120																
121	1,0810	18,6660	1,3580	18,2510	5,3100	12,7530					5,6470	11,3790				
122			0,4760	18,2150	5,1990	17,5900					6,8080	13,5260				
123					0,5850	21,6700					0,5850	19,8280				
124					6,5270	26,3930					3,2550	23,7200				
125			0,5080	24,3280	4,8590	15,8800					5,0000	14,3250				
126																
127					1,4370	32,0160										
128			0,8580	20,4110	4,0540	16,7750					4,3120	12,9650				

N	mediçãoapex_41	comprimentovertical_41	mediçãoapex_42	comprimentovertical_42	mediçãoapex_43	comprimentovertical_43	@_1_44Bi	@_2_44Bi	@_3_44Bi	@_4_44Bi	@_1_44	@_4_44	@_1_45Bi	@_2_45Bi	@_3_45Bi	@_4_45Bi
129																
130																
131					0,8480	24,4620					1,8210	19,2740				
132																
133					0,4690	29,6730					0,7960	26,2100				
134			0,5400	23,2490	4,7870	18,7120					4,5290	14,6220				
135					0,9300	27,0490					1,2420	23,6680				
136			0,9300	24,3760	6,2790	21,2440					5,1640	15,1750				
137																
138					1,8240	27,2610					0,6060	24,8040				
139					1,4290	28,7890										
140					1,8120	32,1890					0,9880	28,0980				
141					3,8650	27,0290					2,5000	23,7360				
142																
143																
144																
145											0,9860	25,4500				
146											1,5600	22,4180				
147					4,9930	23,8300					6,8620	18,4230				
148					4,3200	22,1030					5,1850	14,2540				
149	2,2510	19,4690	4,1030	17,0700	7,9630	13,9750					7,7110	10,7230				
150					3,3460	28,7890					2,1420	23,9030				
151																
152			0,4760	22,0380	3,1040	16,5080					4,4440	12,2790				
153																
154					2,3210	28,4820					0,7980	24,6010				
155					1,3140	30,9420					0,7840	26,6580				
156											0,4410	27,4340				
157																
158					1,8390	27,7220					2,9560	18,7060				
159					1,8980	26,1000					1,8980	20,0250				
160																

N	mediçãoapex_41	comprimentovertical_41	mediçãoapex_42	comprimentovertical_42	mediçãoapex_43	comprimentovertical_43	@_1_44Bi	@_2_44Bi	@_3_44Bi	@_4_44Bi	@_1_44	@_4_44	@_1_45Bi	@_2_45Bi	@_3_45Bi	@_4_45Bi
161					2,9450	23,7220					2,6510	17,2570				
162																
163																
164					4,4560	22,9660					1,3780	21,2130				
165																
166	0,2500	19,4010	1,0680	15,9340	4,2570	13,9030					4,9770	11,0350				
167					0,3030	22,8830					0,4550	20,7860				
168																
169			0,3570	24,4140	3,9290	24,3090					3,0410	17,1440				
170					2,1540	29,1620					2,7020	21,4350				
171					2,7270	23,7310					1,4920	20,3030				
172					1,3640	21,8220					0,9090	21,8570				
173					0,6580	25,2860					0,4650	24,7800				
174					2,2730	23,1820					2,7100	19,0550				
175	0,5000	23,2930	2,1210	20,7140	10,6890	14,2520					7,1160	14,6160				
176					4,0720	21,9840					1,7020	17,3540				
177					0,4540	27,8730					0,9580	25,0600				
178											0,9580	23,7760				
179											0,6240	26,1120				
180			0,5880	22,3630	5,7520	16,1930					6,1920	13,8270				
181					6,1370	26,2450					5,9430	22,9660				
182	0,7190	20,4100	2,5100	18,8690	8,4580	14,1800					7,0450	12,2750				
183			0,4550	19,8510	7,3230	19,3850					5,1780	14,5530				
184					1,0160	29,6640					1,0600	25,6390				
185	1,5210	18,5270	1,0000	19,5060	6,8240	13,5370					5,0560	10,4940				
186											0,5880	25,3940				
187					3,4520	28,3710					3,2510	20,5610				
188			0,3030	21,3960	2,1210	17,4220					4,7350	13,6760				
189					2,3180	23,7200					5,4880	18,6060				
190											1,0880	22,6200				
191																
192					3,9330	18,8350					4,9030	14,1350				

N	mediçãoapex_41	comprimentovertical_41	mediçãoapex_42	comprimentovertical_42	mediçãoapex_43	comprimentovertical_43	@_1_44Bi	@_2_44Bi	@_3_44Bi	@_4_44Bi	@_1_44	@_4_44	@_1_45Bi	@_2_45Bi	@_3_45Bi	@_4_45Bi
193	0,3030	24,7470	0,7140	23,5700	3,5060	20,1480					4,2850	12,5740				
194																
195	0,5050	21,7580	2,5310	22,0770	11,3930	13,6360					7,1720	12,1210				
196			0,2860	27,2170	4,7900	16,9700					4,0400	14,2420				
197	0,5150	21,9010	0,3030	22,5150	2,6280	18,9820					2,7270	10,1020				
198					2,4600	19,2460					1,7140	19,1190				
199	0,9310	19,9490	0,9530	22,1540	3,3090	11,4150					3,2530	8,7880				
200					3,5800	27,0270					3,8380	21,9190				
201					2,2430	28,3550					0,7350	25,8920				
202					2,9350	23,6880					3,9580	20,2080				
203					3,1750	26,0010					1,6700	24,4210				
204	0,1850	24,4090	1,1150	24,9510	5,2780	26,2960					3,7050	17,9630				
205	0,3190	25,0620	0,2860	27,4070	3,1380	32,4880					2,5270	23,8390				
206	0,2860	24,3430	0,0760	26,3710	1,7200	30,8720					1,3130	27,4750				
207	0,2860	20,8080	0,4040	22,6660	0,5050	30,0000					0,5710	29,3700				
208					4,2640	20,4650					3,1010	15,8140				
209					3,9550	22,7730					1,3640	20,8330				
210					3,9410	21,5150					1,8210	21,2120				
211					0,6140	28,0020					0,8080	24,5660				
212					0,7070	27,6770										
213	0,6350	28,9660	1,2700	27,6190	5,3170	18,0260					5,4770	15,1590				
214					1,2290	33,0300					1,7200	28,3840				
215					0,8330	27,4750					1,5150	22,6260				
216					4,1440	23,3780					5,6190	16,6670				
217	1,4140	18,3840	1,6160	17,6770	2,7290	26,5010	0,3030	0,5150	0,8180	22,3600			1,2660	0,6140	1,8800	20,9840
218																
219																
220																
221	0,4880	21,3010	1,0570	21,1380	4,0240	17,0750					4,3710	13,1920				
222	0,4760	20,0000	2,1950	20,0000	3,6900	14,4050					3,2140	10,1190				
223	0,5050	25,1520	0,5710	21,5150	3,1700	15,8510					3,5370	12,7270				
224			0,9090	25,1520	2,0130	20,4880					2,4850	16,0460				

N	mediçãoapex_41	comprimentovertical_41	mediçãoapex_42	comprimentovertical_42	mediçãoapex_43	comprimentovertical_43	@_1_44Bi	@_2_44Bi	@_3_44Bi	@_4_44Bi	@_1_44	@_4_44	@_1_45Bi	@_2_45Bi	@_3_45Bi	@_4_45Bi
225																
226	0,4390	19,4740	2,2360	18,1460	4,6100	14,3530					5,4390	10,4390				
227	0,3030	22,3230	0,9090	22,3230	4,4720	17,4830					4,5470	13,3330				
228	1,1900	26,7460	3,3330	18,8100	5,0450	13,9380					5,1020	11,0320				
229			0,5480	22,8190	2,4030	22,0160					3,6190	16,2790				
230	0,3030	23,3330	1,2660	19,5460	4,8480	14,6460					3,9390	12,2230				
231	0,1010	28,3620	1,7170	24,6460	4,5380	19,0120					3,5530	15,9490				
232					6,3990	25,5560					0,5150	26,2270				
233					2,0230	34,0400										
234	0,7070	23,9390	1,2160	22,7080	2,7270	15,4600					4,4380	11,0180				
235					1,0100	30,0510					0,7070	23,2320				
236					0,9090	25,4550					1,3290	21,1610				
237	0,3570	23,5710	0,8420	20,7150	2,7380	17,9760					4,4050	12,6190				
238					1,2160	30,3030					0,8140	28,5680				
239	0,3030	17,9800	0,2260	19,0850	5,9830	12,1210					6,3280	9,2990				
240	0,3030	26,3630	2,3560	20,6560	7,3740	19,2930					4,0720	15,8590				
241	0,2700	21,6390	3,3890	18,9520	8,4650	16,6850					7,4920	12,5680				
242	0,2660	21,9050	0,3570	23,9290	2,9180	25,8330					3,6920	19,8810				
243					2,5030	20,4760					4,7100	16,7860				
244																
245			1,2160	27,1050	3,6870	20,2330					5,5000	15,7580				
246	0,6060	19,7980	1,8180	19,0910	5,8560	16,1780					5,7650	11,9360				
247	1,6250	22,1250	7,2670	17,3000	4,4760	17,2310					4,9450	12,2180				
248	0,0930	21,3890			2,1110	24,7000					2,0030	17,4490				
249											0,3030	22,2520				
250			0,8690	22,6620	4,3640	20,6860					5,8660	15,1520				
251					4,0330	23,4950					4,5680	19,0910				
252	0,6220	20,9760	1,2560	20,1830	5,3670	14,5900					5,3880	12,1950				
253					2,3320	25,3990					3,0130	18,7000				
254	1,0690	21,0570	0,8010	22,6250	5,7970	24,0650					4,0940	16,9360				
255	0,6210	22,7780	0,4630	24,4440	2,7340	26,7590					2,8700	21,9440				
256					2,8300	26,9600										

N	mediçãoapex_41	comprimentovertical_41	mediçãoapex_42	comprimentovertical_42	mediçãoapex_43	comprimentovertical_43	@_1_44Bi	@_2_44Bi	@_3_44Bi	@_4_44Bi	@_1_44	@_4_44	@_1_45Bi	@_2_45Bi	@_3_45Bi	@_4_45Bi
257	0,5200	21,0850	0,6580	19,7190	4,8860	18,7990					5,0030	12,8270				
258	0,0760	22,8790	0,2730	22,1850	5,0710	20,9850					3,2160	16,0810				
259					0,9950	24,9660										
260	0,7140	26,0710	2,2620	25,3570	4,1650	22,2020					6,2090	18,2770				
261	0,8140	18,1310	5,6290	16,6440	6,5960	14,5830					5,8730	11,3130				
262	0,7680	21,8330	2,0020	18,8330	5,0170	16,6070					3,1010	14,1250				
263					1,2660	30,5970					1,7640	28,6240				
264					1,8290	29,0910										
265	0,1430	24,1420	1,6660	22,8360	5,3460	19,2170					3,2570	15,7910				
266	0,3790	18,5610	1,1980	16,5810	3,2580	26,2120					4,1600	16,5890				
267					1,0980	24,2860					0,1680	22,8160				
268					1,4360	28,0530					0,3030	25,5890				
269					4,1160	23,7720					5,3030	16,3980				
270					3,2720	26,9500					3,1720	21,5130				
271																
272	0,9820	17,6340	2,1450	17,5310	5,6500	13,4820					5,6360	8,7500				
273	0,1010	23,1310	0,2020	25,2530	2,1240	27,0180					1,1520	25,3780				
274					1,8870	29,1920					0,3190	27,1390				
275	0,8080	23,0300	1,2780	20,9090	6,7530	15,9060					5,2000	13,0040				
276			0,4160	25,0510	5,1480	19,2470					5,0480	15,9280				
277			1,1420	23,5620	2,8110	17,5060					3,0680	11,4770				
278																
279	0,4040	25,0510	1,6190	23,6360	4,0860	16,4730					6,9820	12,4020				
280					3,7580	17,6770					3,8020	14,2420				
281			0,1680	19,6430	3,0610	17,4250					2,8990	13,8310				
282					2,2650	21,6070					9,8390	17,7380				
283					1,0980	24,1670					2,0270	19,1670				
284																
285																
286	1,3520	15,8730	1,5870	15,7830	6,3530	14,1180					5,8280	10,8960				
287																
288	0,4160	20,0000	0,4040	17,5320	4,9900	14,6140					3,6710	10,7070				

N	mediçãoapex_41	comprimentovertical_41	mediçãoapex_42	comprimentovertical_42	mediçãoapex_43	comprimentovertical_43	@_1_44Bi	@_2_44Bi	@_3_44Bi	@_4_44Bi	@_1_44	@_4_44	@_1_45Bi	@_2_45Bi	@_3_45Bi	@_4_45Bi
289																
290	1,7170	20,3040	0,6060	19,6900	6,3020	23,3200					3,9030	21,3220				
291					4,1270	24,1310					3,2780	23,4710				
292	1,2160	21,7260	5,0480	16,0140	5,8800	15,7580					5,8730	12,1230				
293					2,4260	26,8690					2,2220	20,0000				
294	0,9090	24,2420	4,1650	18,0810	7,1720	15,8080					6,0820	10,3030				
295	0,2020	25,1000	1,1290	24,4960	4,6960	19,8980					7,6350	10,9100				
296	0,5050	25,1520	1,2160	22,3230	5,0150	18,5860					4,2580	12,5450				
297																
298																
299			0,6780	20,9090	3,1460	21,5740					3,0390	16,6750				
300					3,4480	23,5350					2,4760	18,0610				
301					3,6210	24,5450					4,7160	17,1420				
302																
303					2,2430	26,7870					1,0740	21,9200				
304					6,6550	25,9520					2,9760	21,9790				
305					1,5110	30,2950					0,8550	25,4050				
306			0,2020	17,9180	3,5060	21,4140					4,3010	15,0510				
307	2,7270	17,1210	2,7270	17,5760	6,8370	12,7530					6,2120	9,6970				
308	0,7070	20,5050	0,7070	18,4850	6,8600	15,9100					5,7650	12,2050				
309					2,1730	26,9080					1,7180	20,2420				
310																
311	0,5050	22,1210	0,2020	22,0870	4,4380	22,7900					3,2320	15,9280				
312			0,5890	22,8650	6,0610	17,1720					7,7680	13,5360				
313	0,0900	18,6490	0,1270	21,4790	4,9880	23,2880					3,8740	17,2980				
314																
315					1,3310	17,6610					2,1430	15,2480				
316											0,2580	18,1960				
317	0,3880	22,6700	1,7070	21,6070	6,2090	25,0440					3,0860	18,4050				
318					4,9840	23,4040					3,4180	20,6530				
319	2,3650	24,9450	0,8140	16,3420	4,1130	14,2120					6,0040	10,5980				
320	0,2020	24,9490	0,6060	23,9510	4,0670	22,9290					4,9510	15,2530				

N	mediçãoapex_41	comprimentovertical_41	mediçãoapex_42	comprimentovertical_42	mediçãoapex_43	comprimentovertical_43	@_1_44Bi	@_2_44Bi	@_3_44Bi	@_4_44Bi	@_1_44	@_4_44	@_1_45Bi	@_2_45Bi	@_3_45Bi	@_4_45Bi
321																
322			0,1150	25,4530	2,1530	20,2440					3,8320	16,7610				
323																
324	0,7580	22,7780	2,1270	22,9510	6,3800	17,1210					5,1520	11,9700				
325	0,2020	22,1210	1,4140	23,7380	6,9820	20,1390					4,9540	14,3460				
326	0,2020	21,0100	0,1010	20,5050	6,2020	20,2560					5,4880	14,1700				
327			0,3370	20,8820	3,4540	22,2460					4,0980	13,9290				
328			1,2210	26,0460	4,3150	21,9610					5,1520	17,6660				
329	0,6470	22,0200	0,8140	24,7970	3,9790	19,7110					4,9660	15,9600				
330			0,5050	18,8890	3,3710	20,3030					3,8240	13,0300				
331																
332	0,6470	23,0300	0,9950	24,6460	4,4490	20,6910					5,7650	14,8090				
333			0,2020	24,3430	4,5470	27,9610					4,0930	22,1470				
334	1,9300	118,5860	1,6160	18,6870	9,4420	15,0980					6,9690	12,4880				
335	0,2560	20,0000	0,8970	20,5130	6,6970	15,7170					3,9930	12,6290				
336	0,1220	17,9270	0,6100	19,2020	3,5450	17,8050					4,6420	14,3900				
337	0,1520	15,9810			5,0810	19,0750					5,0910	16,9050				
338	1,5990	17,4470	3,8720	14,0270	5,9610	11,9160					5,4210	10,4320				
339			0,4550	24,3940	3,9660	20,2520					4,1360	15,5180				
340																
341																
342	0,9700	28,2860	2,7650	205,0000	6,7910	15,0450					5,3570	13,1180				
343																
344	0,6140	18,8660	0,5890	18,6000	6,6050	16,0220					5,9770	12,6440				
345																
346	1,9930	18,8270	6,6740	17,4240	9,6420	14,6590					8,8670	10,8440				
347					1,3880	29,6430					0,5050	25,9660				
348	0,1520	19,3300	0,3390	19,5100	3,7880	18,7270					3,8330	12,2000				
349																
350			0,4290	24,7140	4,0120	20,2350					2,8790	17,2730				
351	1,1030	24,6630	0,3390	19,8550	5,7700	17,0510					6,3730	11,6350				
352					1,3470	25,1760					1,4460	23,4050				

N	mediçãoapex_41	comprimentovertical_41	mediçãoapex_42	comprimentovertical_42	mediçãoapex_43	comprimentovertical_43	@_1_44Bi	@_2_44Bi	@_3_44Bi	@_4_44Bi	@_1_44	@_4_44	@_1_45Bi	@_2_45Bi	@_3_45Bi	@_4_45Bi
353	0,2660	21,6670	0,2380	22,9760	4,9040	22,1430					4,2860	17,2620				
354			0,4550	23,9390	4,5200	17,2730					2,5760	14,2420				
355					3,8000	23,1280					1,8740	22,0880				
356																
357	1,3640	17,4240	2,7650	17,8790	7,2870	12,7790					4,8580	10,3930				
358																
359																
360	0,4550	17,1210	0,6060	17,3150	4,7550	12,7530					3,6490	10,1520				
361			0,3030	23,6050	1,1290	26,1310					2,4600	23,3420				
362	1,3640	21,5910	2,6460	14,6970	5,3120	15,3030					5,3030	14,0910				
363					2,9140	25,8020					3,5760	18,7740				
364	1,6940	24,4110	4,2850	19,5130	8,2130	14,4060					7,8470	11,6350				
365	0,2020	20,7070	0,3030	19,2850	3,7060	17,7420					4,3540	12,8560				
366	0,1010	24,8480	0,7350	21,7170	4,7040	17,6180					2,4280	12,9950				
367			0,7580	25,0220	5,4760	20,2330					2,7440	14,7460				
368																
369	0,7580	19,6160	3,6140	17,2130	5,1540	16,9160					5,7890	11,3640				
370	0,4290	22,7780	1,0620	20,2460	5,3120	16,9470					5,7750	13,4090				
371					1,7290	28,0810					2,3250	24,3740				
372					2,0790	27,2690										
373	0,6140	18,2930	0,8080	18,9970	3,6100	15,5850					4,7000	12,5040				
374	0,3190	22,7500	0,2020	21,5240	3,8990	18,7690					5,6790	13,3180				
375					2,3250	17,4310					7,1720	14,1430				
376	0,4550	24,1390	2,7940	20,6780	4,1020	14,5080					5,1540	11,2120				
377																
378					2,6550	23,6140					1,4400	22,3670				
379					2,5080	25,3070					0,2860	23,7660				
380	0,6500	21,9610	0,5750	20,5580	5,8970	21,3690					3,3010	16,9920				
381					1,7250	20,1630					2,3360	14,5710				
382					0,5130	26,1590					0,2560	22,4200				
383			0,4690	24,4580	2,6360	20,1140					5,2380	15,0430				
384	0,7690	21,0500	1,5690	21,4820	4,7720	16,1540					5,3850	13,5700				

N	mediçãoapex_41	comprimentovertical_41	mediçãoapex_42	comprimentovertical_42	mediçãoapex_43	comprimentovertical_43	@_1_44Bi	@_2_44Bi	@_3_44Bi	@_4_44Bi	@_1_44	@_4_44	@_1_45Bi	@_2_45Bi	@_3_45Bi	@_4_45Bi
385					1,8350	19,2400					2,6820	13,0890				
386					0,9950	25,6230										
387			0,1280	23,3510	5,0150	19,3440					3,7530	15,4490				
388			1,1910	21,4700	2,0800	22,0510					1,3160	18,6090				
389																
390																
391					1,8180	22,0580					2,5760	18,7400				
392					1,5450	23,1280					1,2120	21,2120				
393	0,4760	17,7440	1,0710	19,5240	5,0130	19,0820					4,1540	13,2250				
394																
395																
396	2,1850	18,6370	3,4180	19,5270	3,7880	15,2120					3,9510	15,1520				
397					2,5590	20,9020					5,6510	14,2590				
398					0,8800	24,9670					2,8210	18,0510				
399					0,2740	29,4200					2,9850	21,4870				
400											1,3970	24,4010				
401																
402					5,4550	22,9910					4,9980	18,1820				
403					0,1220	26,9250					2,4870	22,0090				
404					0,2270	23,3330					0,4420	25,2700				
405					0,1550	24,5880					0,2450	26,0040				
406																
407	0,1520	24,1980	0,9150	21,1160	7,0650	17,8380					4,7150	17,5550				
408	0,1520	26,8200	0,4550	25,6550	6,0780	19,1990					4,0270	19,0560				
409					3,9520	22,0390					3,0160	19,9940				
410			0,1520	25,1520	2,9420	29,2480					4,1600	19,2640				
411					0,7320	28,3520					0,4880	25,2940				
412					0,2780	31,8170					0,2780	25,8330				
413											0,6140	25,7020				
414																
415	0,7420	21,3500	2,0440	19,2860	6,8560	15,2830					5,0530	14,3450				
416	1,1360	19,5780	2,0450	17,1200	4,7960	13,2840					4,7960	11,0600				

N	mediçãoapex_41	comprimentovertical_41	mediçãoapex_42	comprimentovertical_42	mediçãoapex_43	comprimentovertical_43	@_1_44Bi	@_2_44Bi	@_3_44Bi	@_4_44Bi	@_1_44	@_4_44	@_1_45Bi	@_2_45Bi	@_3_45Bi	@_4_45Bi
417					5,8940	19,2420					3,8630	13,3820				
418																
419					0,3030	32,4240					0,4550	28,6940				
420	0,0760	19,9490	0,7580	19,4790	5,2580	15,2450					6,5240	11,3660				
421	0,9160	22,6940	1,7780	18,9220	4,9320	14,5420					4,4280	11,7530				
422	0,3570	21,3660	0,3570	24,9310	3,2460	24,3150					2,5770	16,3740				
423					5,5150	18,9390					3,9770	16,5150				
424	0,2020	21,4430	0,6140	22,0260	4,0370	16,8340					3,1640	13,2800				
425	0,6060	23,1020	1,6740	19,4150	3,8000	16,5860					2,9140	11,1660				
426	1,6390	23,2690	0,9090	22,5240	4,0030	16,1630					4,3390	13,3330				
427																
428	0,3290	20,4170	0,3120	20,6250	4,8830	17,8540					4,4060	13,7130				
429					0,6060	23,4450					0,3030	21,1230				
430	0,5970	20,3530	1,9460	17,4940	4,3920	11,0450					8,2750	9,5520				
431	0,0900	19,9150	0,2010	20,0010	3,9650	20,9740					2,7560	17,3870				
432	0,6390	17,7030	0,2020	16,1320	2,0450	13,6370					3,5830	8,4850				
433	1,8430	20,3030	2,8310	19,8280	4,8150	15,7120					3,7140	12,9030				
434	1,2120	20,0000	1,6670	21,1150	4,6340	16,9330					3,3640	13,7040				
435																
436																
437			0,3190	16,1870	4,7520	15,1790					4,5170	10,6070				
438					0,3030	30,8500										
439																
440																
441	1,1030	21,8440	3,6490	18,9420	5,0370	14,7910					6,6820	11,8070				
442	0,2660	20,4790	0,6070	20,5880	4,8460	16,3060					5,1970	12,9190				
443					0,3030	27,3270					0,1690	24,9520				
444					0,3390	27,4940										
445					0,3760	30,8800										
446					0,4160	26,7870										
447																
448																

N	mediçãoapex_41	comprimentovertical_41	mediçãoapex_42	comprimentovertical_42	mediçãoapex_43	comprimentovertical_43	@_1_44Bi	@_2_44Bi	@_3_44Bi	@_4_44Bi	@_1_44	@_4_44	@_1_45Bi	@_2_45Bi	@_3_45Bi	@_4_45Bi
449	0,2260	21,5440	1,3130	17,9820	3,5470	14,7590					6,5430	11,1400				
450	0,4550	27,4510	1,0710	23,8110	4,2670	20,0000					5,1110	14,8480				
451	0,3030	25,4560	0,7580	21,5680	3,8950	19,6600					2,5890	12,8360				
452	0,1520	28,4130	1,2220	26,8370	6,0980	21,8180					3,0640	14,8480				
453	0,2020	24,4140	1,1780	22,5400	8,1420	19,8040					4,4830	12,5350				
454	0,1010	26,3860	0,4520	26,6840	6,5540	23,3410					2,8290	16,0610				
455					2,5890	26,4050					1,3970	20,4770				
456	0,1320	22,1230	2,8310	18,5740	4,8340	15,0700					4,6970	12,4240				
457	0,5150	24,0760	0,9220	21,6820	5,6950	18,4230					4,8790	13,0100				
458	0,3570	21,4470	1,0710	20,3640	3,9290	15,1790					3,2140	12,8570				
459																
460	0,3220	27,5370	0,9380	26,0900	5,0020	21,2500					2,6560	17,1990				
461	0,1520	22,4660	0,7730	22,3490	3,4850	17,2730					2,8790	14,8480				
462			0,1790	19,7080	4,2860	19,8420					2,8630	14,6430				
463					2,0550	25,0120					2,0370	20,3340				
464																
465					0,9580	32,2110										
466					0,3030	25,9090					0,1520	25,7970				
467					1,2120	20,8240										
468	0,3390	22,1840	0,9090	23,6990	5,6310	19,0850					4,8580	13,9390				
469																
470																
471	0,4560	18,3230	1,3720	18,1220	4,8340	13,5130					3,4550	11,3640				
472	0,9090	17,2730	0,3390	20,4850	4,6080	20,8660					5,0820	14,3950				
473																
474	0,3030	22,8970	0,9090	23,1420	5,0020	19,5460					4,5450	15,1520				
475					1,8240	25,1170					3,1820	20,3030				
476	0,2940	19,8530	1,5200	18,2350	6,0570	15,0500					3,5200	11,7170				
477	0,3390	20,9090	1,3970	19,6300	6,0640	15,4550					3,0390	12,7270				
478					0,9220	24,6970					1,8240	22,7270				
479																
480					2,4240	26,3640					1,5150	22,7100				

N	mediçãoapex_41	comprimentovertical_41	mediçãoapex_42	comprimentovertical_42	mediçãoapex_43	comprimentovertical_43	@_1_44Bi	@_2_44Bi	@_3_44Bi	@_4_44Bi	@_1_44	@_4_44	@_1_45Bi	@_2_45Bi	@_3_45Bi	@_4_45Bi
481	1,1820	19,0910	2,1760	17,7920	3,8400	10,4040					6,8810	10,7070				
482	1,3720	23,4440	2,1690	20,9750	5,7120	15,9120					6,2120	10,6060				
483	0,6060	17,5150	1,7890	16,4760	2,3580	12,9410					1,9120	9,1220				

N	@_1_45	@_4_45	mediçãoapexmesial_4 6	mediçãoapexdistal_4 6	mediçãoapexdistal_46_ A	somaapêxes_46	comprimentovertical_4 6	Apex_46	Comp_46	mediçãoapexmesial_4 7	mediçãoapexdistal_4 7	mediçãoapexdistal_47_ A	somaapêxes_47	comprimentovertical_4 7	Apex_47	Comp_47
1																
2																
3																
4	4,2960	19,7850	0,6100		1,1040	1,7140	26,8110			2,3460		2,8150	5,1610	16,5160		
5	2,2880	22,3270								1,4970		1,9030	3,4000	20,7290		
6																
7																
8										1,0130		0,7500	1,7630	24,4170		
9	4,3120	15,9390	0,4600		0,7670	1,2270	28,4240			3,1880		4,2560	7,4440	14,4630		
10	6,2370	16,3520	0,6220		0,6900	1,3120	27,9260								10,9110	14,2410
11	1,2240	17,6470								0,9650		1,0160	1,9810	19,3990		
12	2,0070	22,4220								0,6410		1,0010	1,6420	22,9270		
13										0,7810		0,5000	1,2810	24,1400		
14	5,8000	27,2250								1,5840		2,4070	3,9910	25,8050		
15	1,6140	32,4510								1,2750		1,0760	2,3510	28,8450		
16	4,4700	15,9350								2,1560		3,5380	5,6940	18,0510		
17	0,7970	24,4440								0,6250		0,7810	1,4060	24,9500		
18																
19																
20	2,8110	20,5720								1,6920		2,1570	3,8490	17,7740		
21	0,8790	24,7110								0,6680		0,9950	1,6630	21,3730		
22	0,6670	26,3850								1,6080		0,7610	2,3690	22,7310		
23																
24	4,7170	13,6290	0,6940		1,0100	1,7040	24,3330			4,1530		3,8870	8,0400	13,3910		
25																
26																
27	2,2520	19,4560								1,5400		3,9120	5,4520	19,4270		
28																
29	2,0350	22,5780								1,0310		2,2950	3,3260	18,0730		
30	1,8530	21,9690								1,0870		1,5140	2,6010	21,9260		
31	6,0870	13,2420	0,6190		0,6700	1,2890	28,4270								8,1290	14,8650
32	4,7010	20,3520								1,5650		2,1140	3,6790	20,2100		

N	@_1_45	@_4_45	mediçãoapexmesial_4_6	mediçãoapexdistal_4_6	mediçãoapexdistal_46_A	somaapêxes_46	comprimentovertical_4_6	Apex_46	Comp_46	mediçãoapexmesial_4_7	mediçãoapexdistal_4_7	mediçãoapexdistal_47_A	somaapêxes_47	comprimentovertical_4_7	Apex_47	Comp_47
33	2,0190	26,6650								0,8380		1,2560	2,0940	25,3490		
34										0,9430		1,0000	1,9430	26,0760		
35																
36																
37	2,9880	17,3680	0,6520		0,8640	1,5160	24,8990			2,0400		2,8190	4,8590	17,1660		
38	3,8640	12,4380	1,3680		1,1700	2,5380	24,4480								9,2830	11,4030
39	5,9170	10,4850	1,2900		1,1590	2,4490	22,4640								10,9200	10,3910
40	4,9030	9,9040	1,2560		1,3660	2,6220	19,1430								10,2100	8,4840
41	3,1320	18,3150	0,5080		0,5320	1,0400	22,4310								7,3540	14,3500
42	8,1630	8,3910	2,1790		2,2970	4,4760	20,3570								10,8180	10,3900
43																
44	2,3130	23,6800								1,1620		1,9670	3,1290	21,9200		
45	2,2780	28,4880								0,6780		2,1680	2,8460	22,7110		
46															1,7710	26,5680
47	2,6300	17,8590	0,5320		0,5320	1,0640	25,2260			2,1300		2,5310	4,6610	16,1900		
48										0,6430		0,4290	1,0720	24,0620		
49																
50																
51																
52																
53	5,0250	13,7700	1,0310		1,2750	2,3060	25,1060								9,6500	13,2000
54	0,7840	22,3680								0,8770		1,8880	2,7650	20,8670		
55	4,3240	14,3180	1,1360		1,3640	2,5000	25,1000								8,4550	13,4230
56	1,4090	21,0380								1,5150		1,2490	2,7640	19,5380		
57																
58										1,2850		1,9390	3,2240	17,0830		
59																
60																
61																
62	2,0340	22,8340								1,2820		1,3470	2,6290	20,3780		
63	6,2960	10,2010	0,8930		1,2630	2,1560	23,0000								11,3500	9,3740
64	3,6500	16,4460								1,9480		3,7850	5,7330	17,1750		

N	@_1_45	@_4_45	mediçãoapexmesial_4 6	mediçãoapexdistal_4 6	mediçãoapexdistal_46_ A	somaapêxes_46	comprimentovertical_4 6	Apex_46	Comp_46	mediçãoapexmesial_4 7	mediçãoapexdistal_4 7	mediçãoapexdistal_47_ A	somaapêxes_47	comprimentovertical_4 7	Apex_47	Comp_47
65	1,3550	25,4010								1,9170		1,7670	3,6840	24,0140		
66	4,1520	13,6890	0,8790		0,8790	1,7580	25,4260			2,6260		4,5350	7,1610	14,6140		
67	1,8590	24,0730								1,3150		2,1200	3,4350	21,4370		
68	1,6320	26,9770								0,9580		1,7140	2,6720	24,2360		
69	5,3700	14,9520								2,4270		3,3660	5,7930	13,5260		
70																
71																
72	7,3090	11,3870								2,3560		4,2890	6,6450	15,5420		
73	3,9910	16,7210													7,4710	14,5940
74	5,0490	18,5880													10,2600	14,6150
75										0,4790		0,5460	1,0250	27,7180		
76																
77	6,4310	10,2540	0,8380		1,1620	2,0000	22,4130								9,4070	10,2400
78																
79	3,0980	22,9940								3,3730		3,2840	6,6570	21,6180		
80	5,9340	8,1860	1,1710		1,2680	2,4390	20,1330								10,9150	7,8770
81	3,2380	19,5320								1,7560		2,0210	3,7770	19,3220		
82										0,4860		0,6150	1,1010	25,7440		
83	7,7070	11,6370	1,0250		2,2930	3,3180	26,7420								13,6910	11,1290
84	4,1220	19,7550								2,7940		3,7480	6,5420	18,1840		
85	4,9320	16,7160	0,5130		0,5730	1,0860	27,1210								8,7180	10,3230
86	3,4020	18,9290													8,1930	12,5780
87	0,9220	28,6490								0,5460		1,5230	2,0690	24,0000		
88										0,6780		1,4370	2,1150	24,1550		
89	5,3240	16,0410	0,4760		0,6730	1,1490	24,2310								9,8170	12,7540
90	2,0150	24,5740								2,0150		4,1890	6,2040	17,2360		
91										0,4940		0,3120	0,8060	24,9340		
92																
93	5,7590	12,9360													10,0110	12,6010
94	2,0150	20,5440								1,2500		1,9520	3,2020	18,3310		
95										0,7350		0,4650	1,2000	24,1270		
96																

N	@_1_45	@_4_45	mediçãoapexmesial_4_6	mediçãoapexdistal_4_6	mediçãoapexdistal_46_A	somaapêxes_46	comprimentovertical_4_6	Apex_46	Comp_46	mediçãoapexmesial_4_7	mediçãoapexdistal_4_7	mediçãoapexdistal_47_A	somaapêxes_47	comprimentovertical_4_7	Apex_47	Comp_47
97	6,3360	15,1290	1,0240		1,1900	2,2140	30,4540			4,7160		2,8960	7,6120	14,9880		
98	2,0160	19,7520								1,7680		2,1210	3,8890	17,4450		
99	7,4110	10,6640	0,9490		1,6850	2,6340	26,5060								11,2210	9,7900
100	5,7010	14,1880							2,5500			3,4730	6,0230	14,7840		
101	4,7170	12,3910	1,2880		1,4920	2,7800	23,5480								10,0240	11,3550
102	0,7350	27,0140							1,0400			1,2490	2,2890	22,5910		
103	0,9580	29,7610							1,2220			0,8160	2,0380	22,8550		
104									0,7350			0,8570	1,5920	25,1340		
105	3,4180	15,7650							0,5460			0,6780	1,2240	22,7900		
106	1,6170	17,4480							0,2080			0,3290	0,5370	23,8730		
107	9,1930	10,8290	0,5550		1,3880	1,9430	25,4930								11,9430	11,2350
108																
109	8,6320	10,8620	0,5000		1,1180	1,6180	24,6900								12,0220	10,5470
110	7,4010	12,7540	0,1470		0,4650	0,6120	26,1820								9,9710	11,9520
111	5,4050	14,7960							1,8590			3,5890	5,4480	14,4770		
112	6,2140	11,6210	0,2700		0,6040	0,8740	22,7540								11,0800	9,9630
113			1,2200		2,8710	4,0910	18,8710									
114																
115	3,9600	21,9430							1,5140			2,6510	4,1650	18,3960		
116																
117	1,4400	30,7190														
118	0,7890	23,6430							2,6450			2,6320	5,2770	17,4740		
119	0,5880	24,8250							0,3290			1,0290	1,3580	24,1520		
120	0,4690	27,5890							0,6990			0,4940	1,1930	28,1680		
121	7,0850	10,0450	1,7620		1,1140	2,8760	19,7250								10,4260	8,6340
122	4,8550	13,6240	0,2660		0,4290	0,6950	22,1910								9,4160	12,0910
123	1,1140	21,8670							0,7880			0,8530	1,6410	15,7030		
124	5,8270	15,7470							2,3940			2,7750	5,1690	18,0260		
125	5,7230	12,2750	0,2270		1,3250	1,5520	22,9980		3,0320			3,2140	6,2460	13,1110		
126																
127	1,2940	29,9680							0,2860			1,3960	1,6820	26,0360		
128	5,9520	10,0110	0,4760		0,7530	1,2290	22,7030								11,1930	9,1630

N	@_1_45	@_4_45	mediçãoapexmesial_4_6	mediçãoapexdistal_4_6	mediçãoapexdistal_47_A	somaapêxes_46	comprimentovertical_4_6	Apex_46	Comp_46	mediçãoapexmesial_4_7	mediçãoapexdistal_4_7	mediçãoapexdistal_47_A	somaapêxes_47	comprimentovertical_4_7	Apex_47	Comp_47
129	1,2210	22,0510								0,9700		1,9390	2,9090	19,0950		
130										0,5310		0,5610	1,0920	25,6450		
131	0,7370	21,1460								1,2170		1,8450	3,0620	15,4610		
132																
133	0,6250	24,9120								1,3970		1,7250	3,1220	23,7470		
134	5,5100	13,1940								3,4170		4,3980	7,8150	13,6720		
135	1,3150	25,1190								1,3150		1,8590	3,1740	19,2180		
136	7,0730	14,4580													9,9540	12,7720
137																
138	1,0160	26,3370								0,7720		1,3630	2,1350	22,8370		
139	0,6250	28,1740								0,5460		1,0160	1,5620	24,1230		
140	1,9010	30,0990								1,5620		2,5000	4,0620	24,8830		
141	3,2170	21,9820								1,2880		4,4190	5,7070	18,3340		
142										0,8570		1,1830	2,0400	25,1650		
143										0,5300		0,5300	1,0600	22,3980		
144																
145	3,9270	18,8070						5,1080	15,7200	2,3860		2,4660	4,8520	18,1980		
146	2,4240	18,0460	2,0610		2,5890	4,6500	18,3990			1,2490		2,0380	3,2870	15,6180		
147	7,7400	13,5650	0,5880		1,4170	2,0050	26,1940								8,9360	13,9180
148	4,8120	12,5840													9,2750	12,4990
149	6,7640	8,8770	1,2050		2,9750	4,1800	19,1090								12,1490	10,0280
150	3,2620	25,1310								1,9750		2,9830	4,9580	19,9680		
151	0,7920	25,1900								0,5300		1,0400	1,5700	25,5060		
152	6,9400	9,6780	1,0780	1,3150	1,5470	3,9400	19,8930								9,7850	10,0940
153																
154	1,3600	24,8330								0,5050		0,7980	1,3030	24,4340		
155	1,1720	27,9280								1,8530		2,5610	4,4140	21,1440		
156	0,6580	28,7140								1,2650		2,2500	3,5150	22,8980		
157																
158	4,2860	18,6130								1,5360		2,1500	3,6860	16,3950		
159	3,2190	18,5410								2,0200		2,2370	4,2570	16,5510		
160																

N	@_1_45	@_4_45	mediçãoapexmesial_4_6	mediçãoapexdistal_4_6	mediçãoapexdistal_46_A	somaapêxes_46	comprimentovertical_4_6	Apex_46	Comp_46	mediçãoapexmesial_4_7	mediçãoapexdistal_4_7	mediçãoapexdistal_47_A	somaapêxes_47	comprimentovertical_4_7	Apex_47	Comp_47
161	4,1590	16,9180								1,1760		2,7900	3,9660	14,9880		
162	0,6250	28,5530								0,8160		1,0610	1,8770	22,9390		
163										1,1510		1,3470	2,4980	26,1590		
164	2,7150	20,9710								1,0810		2,5630	3,6440	17,9720		
165	0,8410	26,5310								0,6630		0,9500	1,6130	24,4420		
166	6,1450	9,7060	0,5000		0,5000	1,0000	18,7190								10,3300	9,3680
167	0,3030	22,7600								0,3390		0,6780	1,0170	19,6600		
168																
169	6,3410	14,7250								1,7860		3,1930	4,9790	14,9570		
170	3,2590	20,3890								0,6440		1,4400	2,0840	19,9650		
171	4,0000	19,5500								1,6940		2,4480	4,1420	17,8480		
172	2,5940	21,0570								0,6430		0,9700	1,6130	17,2330		
173	1,5000	22,7950								0,5300		0,7350	1,2650	18,9270		
174	3,5920	18,7940								2,7650		3,1530	5,9180	16,5340		
175	9,1720	10,9910	0,7070		1,1180	1,8250	24,8420								12,9740	11,4040
176	4,0450	14,7760								0,9700		2,6640	3,6340	15,3150		
177	0,9580	20,6430														
178	1,3720	25,0000								0,4790		1,3970	1,8760	21,8490		
179	0,7570	26,3120								0,4280		0,6240	1,0520	22,6150		
180	5,4430	11,0540	0,4650		0,7350	1,2000	21,8080								10,7060	10,5690
181	6,4710	19,4890								2,2200		2,7630	4,9830	18,2480		
182	7,8370	9,1620	1,8320		2,0950	3,9270	22,3530								13,0520	9,5890
183	7,1520	12,1300	0,2260		0,6390	0,8650	25,8860								10,4590	11,6070
184	3,5230	19,9940								1,3960		2,5070	3,9030	19,6030		
185	6,1750	10,3080	0,3000		0,6350	0,9350	20,3590								10,9570	9,8620
186	0,5880	25,8460								0,4160		1,3560	1,7720	20,5460		
187	3,9530	19,1830								1,5390		2,9360	4,4750	20,3340		
188	6,2410	9,4040													8,9440	10,9760
189	5,2920	18,1700	0,2020		0,2260	0,4280	27,7720			2,4240		3,7640	6,1880	15,2380		
190	1,4180	22,9620								1,1200		1,7940	2,9140	17,1260		
191	0,6060	23,7220								1,3950		1,0400	2,4350	17,4530		
192	7,7030	12,8820													7,6870	15,4200

N	@_1_45	@_4_45	mediçãoapexmesial_4_6	mediçãoapexdistal_4_6	mediçãoapexdistal_46_A	somaapêxes_46	comprimentovertical_4_6	Apex_46	Comp_46	mediçãoapexmesial_4_7	mediçãoapexdistal_4_7	mediçãoapexdistal_47_A	somaapêxes_47	comprimentovertical_4_7	Apex_47	Comp_47
193	4,2400	11,1540	0,6470		0,7350	1,3820	24,3340								9,5320	10,9440
194																
195	8,6870	10,9100	0,6780		1,2860	1,9640	24,8540								11,1690	12,0830
196	5,6570	12,0210	0,5050		0,1010	0,6060	27,6620								8,7330	13,3960
197	2,4240	10,2030	0,5890		0,9310	1,5200	26,5440			1,9190		3,3580	5,2770	13,8620		
198	2,9310	16,2910								1,7170		3,0000	4,7170	14,7140		
199	7,2730	8,8890	1,7200		2,1850	3,9050	21,5660								9,1440	10,0010
200	2,8590	20,5390								0,4040		2,3650	2,7690	19,7110		
201	0,8140	26,8800								0,5050		1,1110	1,6160	24,4010		
202	3,5430	17,6740								0,6340		2,4320	3,0660	15,4510		
203	3,4260	21,8410								1,2540		2,5430	3,7970	19,7600		
204	5,7410	16,0130	0,5240		1,0230	1,5470	29,0000			1,7000		3,4460	5,1460	16,8420		
205	4,6480	22,2220	0,2260		1,1520	1,3780	20,4580			1,3170		2,5330	3,8500	21,3540		
206	3,5530	24,8490	0,3030		0,3640	0,6670	31,3170			0,3640		2,4260	2,7900	21,8500		
207	1,7260	27,3480	0,4290		0,6140	1,0430	31,5690			0,7890		1,2940	2,0830	23,9190		
208	5,9140	12,9610	0,3470		0,8670	1,2140	29,0120			3,3180		3,7120	7,0300	16,5040		
209	3,7740	16,9510	0,3790		0,1070	0,4860	27,6640			1,5620		2,3960	3,9580	20,2450		
210	4,6790	18,2830	0,2260		0,3640	0,5900	29,3790			2,6840		2,5750	5,2590	22,1360		
211	1,8180	20,4640								1,0150		1,1160	2,1310	23,6670		
212	2,0230	25,4160								0,3190		1,0150	1,3340	26,4720		
213	5,2390	14,4440	0,3370		1,3520	1,6890	29,4730								13,1110	12,7070
214	2,6280	28,6870								0,4160		2,4990	2,9150	23,0310		
215	1,3130	19,3740	0,3030		0,5710	0,8740	23,0370			1,8540		2,2700	4,1240	15,7220		
216	4,3240	15,4050	0,6560		0,8160	1,4720	27,1240								8,4210	12,6130
217										2,2150		2,0820	4,2970	23,7300		
218										0,7890		0,5890	1,3780	22,6880		
219										0,8140		0,1010	0,9150	23,3740		
220																
221	4,5530	12,0330	0,8790		1,0190	1,8980	22,7220								9,1190	10,4290
222	9,4290	8,9100	3,0510		2,2590	5,3100	20,8060								12,6530	10,0370
223	6,7150	10,4870	1,2120		1,3130	2,5250	24,4610			2,8590		4,3580	7,2170	13,5470		
224	6,6210	12,8760	2,3230		1,4280	3,7510	26,6460			1,7200		2,6840	4,4040	14,9020		

N	@_1_45	@_4_45	mediçãoapexmesial_4_6	mediçãoapexdistal_4_6	mediçãoapexdistal_46_A	somaapêxes_46	comprimentovertical_4_6	Apex_46	Comp_46	mediçãoapexmesial_4_7	mediçãoapexdistal_4_7	mediçãoapexdistal_47_A	somaapêxes_47	comprimentovertical_4_7	Apex_47	Comp_47
225																
226	4,2340	11,5810	0,9810		0,9030	1,8840	21,8320								8,7880	9,9250
227	4,0210	12,7980	0,1430		0,1010	0,2440	24,4490			1,6320		3,5010	5,1330	12,8190		
228	5,1590	9,3650	1,2090		2,2480	3,4570	19,7860								10,3480	8,6250
229	4,5740	15,3490	0,6050		0,6200	1,2250	27,6560			2,0170		3,5770	5,5940	14,9850		
230	4,2400	11,0100	0,8690		1,1780	2,0470	24,9110								10,2510	9,0710
231	3,3330	12,5250	0,5050		0,2020	0,7070	27,8730								9,1650	11,5190
232	1,8630	22,7860								2,1400		2,5090	4,6490	18,6120		
233	1,0150	31,7350								1,1780		1,4030	2,5810	26,5890		
234	6,1020	9,3940	1,9510		2,1760	4,1270	24,9800								10,1240	10,8630
235	4,6510	20,4040	0,2860		0,3190	0,6050	28,2660			2,2700		2,9730	5,2430	19,7630		
236	2,7270	18,9780								0,8140		2,4280	3,2420	16,2760		
237	4,8810	11,1900	0,4290		1,0980	1,5270	23,0530								10,3020	9,9780
238	2,1210	23,7200								1,5020		1,7640	3,2660	21,6110		
239	7,0820	11,6160	2,3060		1,6290	3,9350	26,7370			3,5010		4,1640	7,6650	14,4290		
240	5,9670	15,7580	1,3130		2,1210	3,4340	23,3670			1,5150		5,6860	7,2010	15,6570		
241	6,0810	12,1620	1,6270		0,8220	2,4490	23,1650								11,1380	11,0000
242	6,5480	15,0000	0,8420		1,3150	2,1570	27,1570			1,6540		3,9570	5,6110	19,2550		
243	6,4690	13,4520	1,4340		1,4530	2,8870	26,1540			3,1700		4,0480	7,2180	14,4640		
244																
245	5,5370	14,3220	0,1430		0,2860	0,4290	25,0870								10,6160	11,9900
246	6,7380	10,2620	1,2160		1,4570	2,6730	21,6840								10,3590	9,2900
247	7,7110	11,1250	0,7680		0,0830	0,8510	25,1710								8,4890	12,3190
248	2,6920	18620,0000	0,1850		0,5930	0,7780	25,5500			1,7980		1,7570	3,5550	22,1310		
249	1,3740	24,6600								0,1010		1,2160	1,3170	24,2880		
250	7,6000	13,4350	0,9030		0,6470	1,5500	27,3740								10,4510	13,7040
251	6,7000	17,9800								1,7640		3,5710	5,3350	19,9610		
252	5,7970	11,3410	3,0590		2,9670	6,0260	21,9850								10,9300	10,7300
253	3,2280	19,3570								1,8540		2,2430	4,0970	18,9520		
254	4,5540	17,3170	1,3800		1,9580	3,3380	24,6720			2,9190		3,7080	6,6270	14,6900		
255	3,6310	22,1050	1,1150		1,4930	2,6080	26,3150			1,8520		3,4450	5,2970	17,3390		
256	0,5890	27,6550								2,0230		1,6290	3,6520	25,3410		

N	@_1_45	@_4_45	mediçãoapexmesial_4_6	mediçãoapexdistal_4_6	mediçãoapexdistal_46_A	somaapêxes_46	comprimentovertical_4_6	Apex_46	Comp_46	mediçãoapexmesial_4_7	mediçãoapexdistal_4_7	mediçãoapexdistal_47_A	somaapêxes_47	comprimentovertical_4_7	Apex_47	Comp_47
257	5,3850	11,5510	0,9710		1,0340	2,0050	23,0050			3,5420		3,7340	7,2760	13,4020		
258	3,9390	14,5450	0,7500		0,6060	1,3560	24,5130			2,6900		2,5760	5,2660	15,4500		
259	0,4290	23,5510														
260	6,3270	14,6470	1,0240		1,4530	2,4770	30,0910								9,1660	15,5520
261	4,5580	11,6160	3,9510		1,8980	5,8490	21,7540								12,9300	12,1320
262	5,6920	12,8670	0,7860		0,7170	1,5030	21,7330								8,8370	10,4830
263	2,4990	30,5710								0,3640		1,2940	1,6580	28,1850		
264	0,5050	31,1830								0,4160		0,2020	0,6180	27,2830		
265	6,0610	14,2430	1,3740		0,8630	2,2370	26,1160			2,4850		3,8860	6,3710	13,7880		
266	3,6900	18,7800	0,9120		0,6110	1,5230	28,8230			2,3500		2,7160	5,0660	17,3180		
267	0,1190	26,8160								0,1680		0,2380	0,4060	26,0100		
268	1,9510	24,7200	0,5050		0,4520	0,9570	25,0200			0,5050		0,9150	1,4200	22,5590		
269	4,2850	14,0910								2,6980		4,1800	6,8780	13,5090		
270	2,9290	19,7810								1,7900		2,9710	4,7610	17,7100		
271										1,1520		1,2330	2,3850	24,8460		
272	6,7790	7,2010	1,9600		0,8930	2,8530	19,7650								9,3980	9,1140
273	1,9920	24,5170								1,4360		1,2940	2,7300	22,9330		
274	0,5890	27,3920								1,0880		1,4180	2,5060	24,2480		
275	5,7960	11,1800	0,8690		0,7280	1,5970	24,1880								11,1110	10,1070
276	3,0920	15,9290	0,7140		0,6390	1,3530	26,2250								8,2430	13,8390
277	5,6220	12,6870	0,5790		0,7280	1,3070	24,0830			4,5510		4,9340	9,4850	13,5320		
278	0,2860	27,0510								0,8140		1,4140	2,2280	22,9110		
279	4,8020	11,5160	2,2590		0,9090	3,1680	24,6040								10,1730	10,8140
280	4,6260	13,4350	0,7350		0,5050	1,2400	26,7870			3,9380		3,9340	7,8720	14,5010		
281	5,3840	11,2340	0,5050		0,6070	1,1120	23,8550								9,0730	9,3140
282	3,2380	14,9000	0,6180		0,4290	1,0470	27,5480			1,6190		2,1300	3,7490	17,4630		
283	2,3840	18,3190								1,0650		1,6190	2,6840	19,6580		
284	0,6510	24,5650								0,7240		0,8330	1,5570	24,5420		
285																
286	6,4770	11,1450	1,7100		3,2320	4,9420	19,4020								12,4030	9,3190
287																
288	4,7470	10,2030	1,2490		0,9150	2,1640	22,3620								9,6450	10,7550

N	@_1_45	@_4_45	mediçãoapexmesial_4 6	mediçãoapexdistal_4 6	mediçãoapexdistal_46_ A	somaapêxes_46	comprimentovertical_4 6	Apex_46	Comp_46	mediçãoapexmesial_4 7	mediçãoapexdistal_4 7	mediçãoapexdistal_47_ A	somaapêxes_47	comprimentovertical_4 7	Apex_47	Comp_47
289																
290	3,1460	15,8850								2,4330		2,0000	4,4330	20,2670		
291	2,5550	22,6090								1,7930		1,3680	3,1610	21,0820		
292	8,0030	11,3140	2,6950		1,3590	4,0540	22,1310								10,6320	10,8890
293	2,8280	18,3840								1,6570		2,3080	3,9650	15,9920		
294	5,2530	9,5910	0,5150		1,9300	2,4450	18,7600								11,4960	8,9380
295	7,0560	13,8960	0,7280		1,8210	2,5490	27,6670								10,1140	13,4080
296	6,5500	9,9490	1,1820		1,6720	2,8540	22,4270								10,1450	9,6690
297																
298																
299	2,5970	16,4840	0,3030		0,1010	0,4040	24,1500			1,4460		3,0300	4,4760	14,0580		
300	2,7200	18,7390								1,7170		2,4090	4,1260	16,0670		
301	3,4400	15,9600	0,5050		0,5150	1,0200	23,1720			2,4280		3,3640	5,7920	14,7930		
302																
303	2,5890	20,3840								2,9410		2,2900	5,2310	19,0900		
304	2,8790	19,8130	0,6940		0,5950	1,2890	26,9540			2,9060		1,4530	4,3590	17,1800		
305	2,8410	24,5330								2,0090		1,4620	3,4710	21,1960		
306	6,0680	13,8380	2,1810		1,2160	3,3970	25,3500								9,6720	14,0880
307	7,7910	8,7460	2,6160		2,8310	5,4470	19,4800								12,4470	8,7410
308	5,8910	12,0080	0,4290		1,2780	1,7070	24,2730								11,6600	11,3780
309	3,7270	18,7620								2,3830		3,0740	5,4570	19,2950		
310	2,7740	25,1280								0,4290		2,0730	2,5020	25,3970		
311	4,1860	16,4510	0,2020		0,7070	0,9090	26,0680			1,7260		3,9300	5,6560	15,1300		
312	10,0930	9,5320	1,2860		0,2020	1,4880	27,1450								9,6380	11,7650
313	3,2630	17,8390	0,6860		0,7700	1,4560	25,1190			1,5290		2,7580	4,2870	15,7540		
314																
315	3,6210	15,5730								1,1900		2,4430	3,6330	15,4880		
316	2,0240	19,0690								1,3570		1,6920	3,0490	18,9390		
317	4,2490	12,4850	1,3870		1,1810	2,5680	28,8030			2,4820		2,3730	4,8550	15,9620		
318	3,6900	17,8950								1,6110		3,0300	4,6410	20,5440		
319	5,3620	10,6980	2,1810		1,8450	4,0260	21,1790								10,7300	9,7230
320	7,0560	15,0160	1,3170		1,3480	2,6650	25,9990			1,7980		2,3490	4,1470	15,1000		

N	@_1_45	@_4_45	mediçãoapexmesial_4_6	mediçãoapexdistal_4_6	mediçãoapexdistal_46_A	somaapêxes_46	comprimentovertical_4_6	Apex_46	Comp_46	mediçãoapexmesial_4_7	mediçãoapexdistal_4_7	mediçãoapexdistal_47_A	somaapêxes_47	comprimentovertical_4_7	Apex_47	Comp_47
321																
322	3,3820	13,9010	0,3450		0,2440	0,5890	22,4070								6,6700	12,8490
323															1,0880	21,1040
324	5,4550	11,9700	1,2120		1,5450	2,7570	24,6000								10,4370	10,3560
325	4,6340	13,6090	0,9950		0,7140	1,7090	26,4590			3,1940		4,0720	7,2660	13,5970		
326	7,0560	15,4660	0,1070		0,4420	0,5490	25,3460			3,4900		4,2750	7,7650	14,0280		
327	3,8780	13,1210	0,7240		1,6840	2,4080	25,9300			2,9760		3,0490	6,0250	12,8470		
328	6,4720	15,6570	0,6140		1,4030	2,0170	28,3650								10,0770	13,2930
329	3,1330	20,2290	0,9030		0,8630	1,7660	28,1330			3,1380		3,2530	6,3910	16,1430		
330	5,5470	11,1690	0,3640		0,2860	0,6500	27,0030								9,3640	10,8240
331																
332	7,1600	15,7580	0,9150		1,5810	2,4960	27,9900								11,9380	13,1310
333	5,6170	21,0690								2,5250		2,8300	5,3550	18,6450		
334	7,7780	12,8290	2,0430		1,8290	3,8720	23,9850								10,0330	13,0010
335	4,9540	10,4980	0,4620		0,6410	1,1030	22,6320								8,9610	9,9790
336	5,6310	12,3470								2,8470		4,2050	7,0520	13,8130		
337	4,9630	16,2120								1,5150		2,4430	3,9580	16,6920		
338	5,7600	10,3190	1,6820		2,4930	4,1750	20,2210								8,3230	11,0050
339	5,6240	13,5600	1,6160		2,1310	3,7470	25,7760								11,0230	12,7590
340										0,9450		1,3100	2,2550	30,3530		
341																
342	8,1820	11,3640	1,3720		1,4290	2,8010	20,7150								10,8430	11,1360
343																
344	6,5910	10,5980	0,5890		0,5050	1,0940	23,2670								9,3060	12,5160
345																
346	10,4370	9,2240	2,2930		2,5940	4,8870	23,0660								14,2210	10,3970
347	1,4480	26,6190								1,3310		1,3310	2,6620	27,3830		
348	4,1600	11,5150	0,5460		0,8830	1,4290	23,5450								9,1240	8,3680
349	1,1030	23,3910								0,1010		1,0930	1,1940	20,8480		
350	4,0800	13,8500													8,3060	11,9740
351	7,2740	9,7280	0,8160		2,1690	2,9850	21,5150								12,6860	9,8310
352	2,5150	21,2500								2,0050		2,6620	4,6670	19,6220		

N	@_1_45	@_4_45	mediçãoapexmesial_4_6	mediçãoapexdistal_4_6	mediçãoapexdistal_46_A	somaapêxes_46	comprimentovertical_4_6	Apex_46	Comp_46	mediçãoapexmesial_4_7	mediçãoapexdistal_4_7	mediçãoapexdistal_47_A	somaapêxes_47	comprimentovertical_4_7	Apex_47	Comp_47
353	4,9520	14,8810	0,8420		0,7140	1,5560	24,3350								10,1640	13,1820
354	3,3330	12,5760	0,8570		1,3550	2,2120	23,0780								7,4380	11,4530
355	4,2850	17,7400								1,2220		2,1050	3,3270	17,6470		
356	0,4290	27,8240								0,2860		0,1430	0,4290	24,9980		
357	6,2290	8,8240	1,5230		1,4920	3,0150	19,0030								12,0070	9,1830
358																
359																
360	4,8700	9,6970	1,2220		2,1530	3,3750	17,6340								10,9940	7,7440
361	3,0920	23,4510								1,8540		2,2180	4,0720	19,0210		
362	6,4510	11,9570	0,9090		1,8740	2,7830	21,9400								11,9940	10,4460
363	3,3640	15,7500								1,2220		2,5890	3,8110	15,0490		
364	7,0560	10,5940	1,8310		0,8570	2,6880	20,7420								10,9400	9,2870
365	6,5190	10,9560													12,2610	10,6320
366	4,3650	12,6670	1,2160		2,0200	3,2360	21,9080								9,1050	9,2140
367	4,8510	14,2040	0,8570		0,4790	1,3360	24,6040								7,8570	10,7670
368																
369	5,6140	10,4550	0,5050		2,7200	3,2250	21,3420								9,7150	10,3460
370	5,2310	12,3920	0,0840		0,2950	0,3790	23,6660								9,2310	11,3100
371	1,5450	23,8700								0,3640		1,2940	1,6580	23,0080		
372	1,6670	26,1490								0,2660		0,6940	0,9600	20,8860		
373	4,5580	9,3660	0,6060		1,1520	1,7580	21,5940								9,8060	9,2340
374	6,8310	10,4920	0,6780		1,1780	1,8560	21,4880								8,7190	10,8010
375	5,0150	11,4750	0,8330		1,1520	1,9850	25,9310			2,8080		4,6560	7,4640	14,9090		
376	3,7880	11,3350	0,4550		1,5150	1,9700	22,1460								9,6830	9,9690
377	0,5440	23,9790								0,0760		0,3640	0,4400	23,9400		
378	1,7860	23,7500								1,8390		2,7950	4,6340	18,9790		
379	0,6060	26,2630								2,0050		2,4330	4,4380	24,1140		
380	6,4850	10,8130	0,9090		0,5210	1,4300	24,5060								8,0520	12,2680
381	4,8740	13,1250								2,4390		3,0020	5,4410	16,9240		
382	4,8720	17,7830								2,1490		3,0010	5,1500	21,0820		
383	3,8790	14,6110	0,4690		0,5790	1,0480	24,7570			3,0600		3,7100	6,7700	13,6750		
384	8,0010	10,9230	2,0060		1,9280	3,9340	22,2520								11,1870	11,2680

N	@_1_45	@_4_45	mediçãoapexmesial_4_6	mediçãoapexdistal_4_6	mediçãoapexdistal_46_A	somaapêxes_46	comprimentovertical_4_6	Apex_46	Comp_46	mediçãoapexmesial_4_7	mediçãoapexdistal_4_7	mediçãoapexdistal_47_A	somaapêxes_47	comprimentovertical_4_7	Apex_47	Comp_47
385	4,8030	12,1720	0,2670		0,2170	0,4840	25,0470								8,2420	11,6100
386	0,3190	25,7940								0,3030		0,1010	0,4040	25,6630		
387	5,5850	14,4870	0,1280		0,3850	0,5130	23,8000			2,5960		3,6310	6,2270	13,4540		
388	3,1820	17,8090	0,3720		1,0020	1,3740	25,4410								8,7160	12,0130
389																
390																
391	5,6950	13,6730	0,1430		0,2020	0,3450	25,8060			1,7670		2,7860	4,5530	15,0060		
392	5,5150	17,1420								1,6110		2,3960	4,0070	16,7970		
393	5,4220	11,9640	0,5320		1,5880	2,1200	21,0870								8,2690	11,9250
394																
395																
396	5,7060	12,4240	1,0160		1,6940	2,7100	22,0870								8,0990	11,8420
397	6,5680	10,6900	0,2070		0,2620	0,4690	28,0660			2,5610		4,1830	6,7440	14,7790		
398	4,2620	13,2050	0,0910		0,0850	0,1760	27,8280			1,6330		2,7800	4,4130	17,1320		
399	4,7320	15,2080								1,4620		1,9210	3,3830	20,4380		
400	3,0340	18,5070								1,2950		1,6940	2,9890	23,0730		
401	2,5270	25,0670								0,4160		0,5050	0,9210	25,8070		
402	5,0000	20,0970								2,6460		4,0770	6,7230	16,5340		
403	2,3460	21,9390								1,0350		1,9850	3,0200	18,7990		
404	0,7800	25,3790								0,6060		1,0190	1,6250	22,6190		
405	0,3880	26,0020	0,1100		0,1730	0,2830	26,8320			0,5200		0,8390	1,3590	23,7820		
406										0,0760		0,3120	0,3880	26,9920		
407	4,7370	15,0370	0,1070		0,3790	0,4860	27,0040								9,4550	13,0160
408	4,9240	15,3770	0,2260		0,3030	0,5290	26,9740								9,2450	13,0100
409	3,8220	16,4270	0,1070		0,2270	0,3340	27,5380								9,7540	13,3950
410	3,7970	17,7790	0,1520		0,1070	0,2590	29,4210			1,9310		3,4230	5,3540	18,7650		
411	2,7000	20,9120								0,3450		1,0350	1,3800	22,0900		
412	2,1880	22,7760								0,3930		0,7860	1,1790	24,8960		
413	1,8420	22,8920								0,0660		1,3960	1,4620	23,9590		
414	0,4550	26,5320								0,1010		0,8570	0,9580	27,0070		
415	5,2790	12,8140	0,2440		0,9520	1,1960	23,4870								9,0320	11,9400
416	5,0460	10,2270	1,6550		1,5160	3,1710	21,3500								9,0230	9,3890

N	@_1_45	@_4_45	mediçãoapexmesial_4_6	mediçãoapexdistal_4_6	mediçãoapexdistal_46_A	somaapêxes_46	comprimentovertical_4_6	Apex_46	Comp_46	mediçãoapexmesial_4_7	mediçãoapexdistal_4_7	mediçãoapexdistal_47_A	somaapêxes_47	comprimentovertical_4_7	Apex_47	Comp_47
417	3,1640	18,5130								0,8160		2,1850	3,0010	17,0610		
418																
419	1,0610	26,0900								0,9700		1,0930	2,0630	21,3970		
420	6,6680	11,5230	0,3790		0,2140	0,5930	24,0840								10,1370	11,1940
421	7,3570	9,7800	0,2220		0,7030	0,9250	20,6400								10,8530	10,0620
422	5,7050	15,4470	0,0840		0,0840	0,1680	25,7550								7,0790	14,0560
423	5,6060	15,3830	0,3640		0,1430	0,5070	29,4100			1,0400		3,5970	4,6370	16,2210		
424	3,5970	9,9790	0,1070		0,3640	0,4710	22,3960								7,1370	11,2120
425	4,9470	8,7430	0,7580		1,2220	1,9800	19,5410								7,8220	8,4700
426	5,3030	11,2120	1,0930		1,0710	2,1640	22,1840								9,1580	11,2910
427																
428	5,9380	11,9790	0,4420		0,8400	1,2820	25,3330								9,3990	10,3920
429	0,7140	19,9050								0,5890		0,5890	1,1780	18,4490		
430	11,2190	9,1480	0,9080		1,0550	1,9630	19,2020								10,7670	8,1270
431	3,7880	12,2250	0,2700		0,2850	0,5550	24,3670								8,0920	13,6350
432	6,7150	7,3920	0,6140		0,6780	1,2920	21,5830								8,3770	11,0400
433	4,2670	10,4500	1,3170		0,4290	1,7460	21,0760								7,8570	9,7850
434	3,4550	11,1130	0,2260		0,8140	1,0400	22,0790								7,2870	10,4760
435										0,2660		0,5050	0,7710	26,3540		
436																
437	6,3400	10,4200	0,9310		0,5050	1,4360	22,5270								10,8550	11,8870
438										0,1070		0,1070	0,2140	27,8400		
439										0,3910		0,8730	1,2640	28,2160		
440										0,1430		0,4790	0,6220	24,0650		
441	5,0820	10,5080	0,9580		1,0880	2,0460	22,2690								10,2070	9,6090
442	3,5710	12,1450	0,4760		0,1680	0,6440	22,5910								7,7380	12,3470
443	0,2270	27,0590								0,6860		2,7880	3,4740	21,7300		
444	0,2020	25,3220								0,5440		1,5780	2,1220	20,8400		
445										0,2820		0,5690	0,8510	23,0430		
446										0,2860		0,6470	0,9330	23,8630		
447										0,2140		0,3210	0,5350	25,0830		
448																

N	@_1_45	@_4_45	mediçãoapexmesial_4_6	mediçãoapexdistal_4_6	mediçãoapexdistal_46_A	somaapêxes_46	comprimentovertical_4_6	Apex_46	Comp_46	mediçãoapexmesial_4_7	mediçãoapexdistal_4_7	mediçãoapexdistal_47_A	somaapêxes_47	comprimentovertical_4_7	Apex_47	Comp_47
449	7,3520	10,2410	2,0130		1,6820	3,6950	22,3960								11,3950	10,9540
450	2,8380	10,9090	1,5150		1,3970	2,9120	24,2070								9,4500	12,1070
451	4,5170	10,6950	0,4290		0,4290	0,8580	23,9070								6,1210	12,5390
452	4,5860	12,5770	0,3390		0,5460	0,8850	25,4120								8,3060	13,8490
453	5,5560	11,4430	0,3190		1,0400	1,3590	27,1270								8,9920	13,3610
454	5,2530	12,5250	0,3790	0,2400	0,3190	0,9380	26,4770								8,2130	15,4410
455	4,0910	17,4240								1,2950		2,7310	4,0260	18,1120		
456	4,2450	9,8480	0,7580		0,7580	1,5160	20,0010								8,0700	10,4590
457	9,6650	11,5520	0,5460		1,0710	1,6170	25,3100								12,2760	11,5990
458	4,6430	11,9760	0,3990		0,3990	0,7980	21,7960								10,1080	11,0250
459																
460	6,2500	15,4990	0,5630		0,4690	1,0320	29,3770			2,2530		3,0340	5,2870	29,3770		
461	5,4400	13,5540	0,6430		0,4290	1,0720	24,4550								7,9960	12,1890
462	2,8790	15,8150	0,2530	0,4440	0,3990	1,0960	24,0380								7,3480	13,4200
463	2,9690	18,7920								1,2200		3,0060	4,2260	18,3240		
464																
465	0,3030	29,4190								0,8160		0,3390	1,1550	26,2680		
466	0,6250	28,1940								1,3970		0,4290	1,8260	27,1060		
467	0,6430	24,2590								0,4290		0,2140	0,6430	21,4640		
468	5,7580	12,4240	0,7580		0,2140	0,9720	26,1140								11,8630	11,5880
469																
470																
471	4,4560	9,0100	0,6430		0,6430	1,2860	19,7030								9,9510	8,8790
472	5,7850	11,5160	0,6780		0,4790	1,1570	24,0640								12,3330	10,6750
473																
474	4,7550	12,0310	0,6780		0,2140	0,8920	24,8100								8,9600	12,9850
475	7,1280	15,7640	0,4290		0,3030	0,7320	25,4950			4,2020		2,1210	6,3230	15,0310		
476	6,0300	11,4220	0,8320		0,6580	1,4900	21,0820								9,6560	9,6160
477	6,5150	12,5760	0,7580		0,4290	1,1870	22,9530								10,5810	10,9260
478	2,4240	19,0910													8,9740	13,3510
479																
480	1,2120	22,8260								1,2490		0,6780	1,9270	20,8870		

N	@_1_45	@_4_45	mediçãoapexmesial_4 6	mediçãoapexdistal_4 6	mediçãoapexdistal_46_ A	somaapéxes_46	comprimentovertical_4 6	Apex_46	Comp_46	mediçãoapexmesial_4 7	mediçãoapexdistal_4 7	mediçãoapexdistal_47_ A	somaapéxes_47	comprimentovertical_4 7	Apex_47	Comp_47
481	6,0680	7,9800	1,2160		2,2790	3,4950	20,0920								5,0550	8,0430
482	5,5590	10,5510	0,5460		0,5460	1,0920	22,9990								9,8480	10,3970
483	4,5680	9,5590	2,3020		0,2940	2,5960	18,8080								9,1600	9,4910

Anexo 5 – Caracterização da Amostra

I – Caracterização da Amostra por paciente

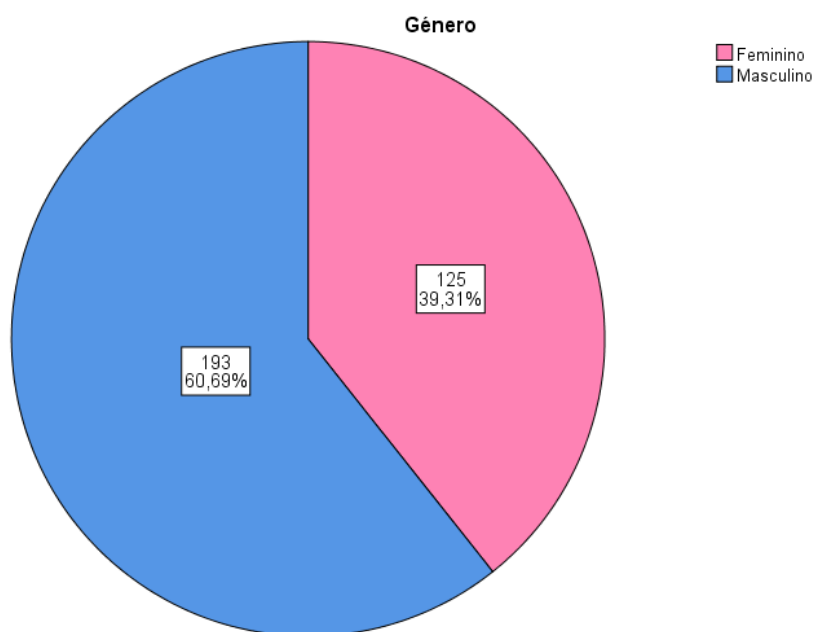
II – Caracterização da Amostra por ortopantomografia

III – Distribuição da Amostra por idade e género

IV – Caracterização da Amostra pelos Estádios de Demirjian

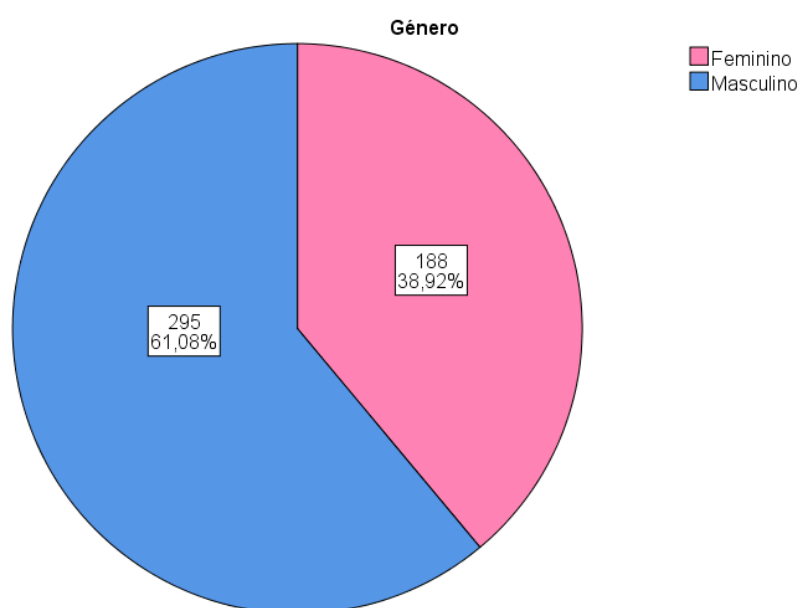
I – Caracterização da Amostra por paciente

		Gênero			
		Frequência	Porcentagem	Porcentagem válida	Porcentagem acumulativa
Válido	Feminino	125	39,3	39,3	39,3
	Masculino	193	60,7	60,7	100,0
	Total	318	100,0	100,0	



II – Caracterização da Amostra por ortopantomografia

		Gênero			
		Frequência	Porcentagem	Porcentagem válida	Porcentagem acumulativa
Válido	Feminino	188	38,9	38,9	38,9
	Masculino	295	61,1	61,1	100,0
	Total	483	100,0	100,0	



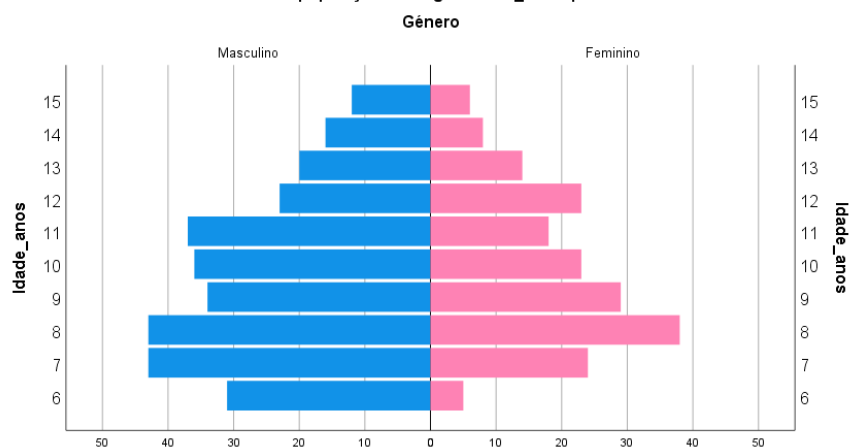
III – Distribuição da Amostra por idade e género

Tabulação cruzada Idade_anos * Género

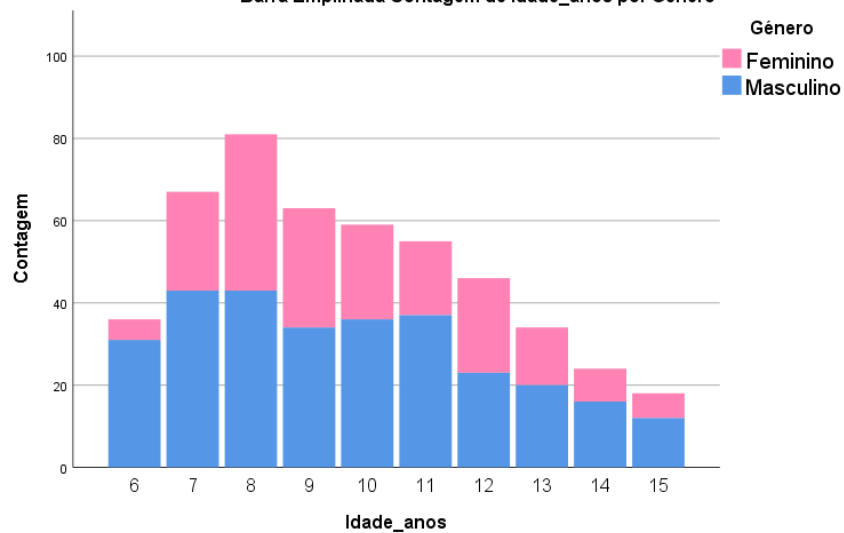
Contagem

		Género		Total
		Feminino	Masculino	
Idade_anos	6	5	31	36
	7	24	43	67
	8	38	43	81
	9	29	34	63
	10	23	36	59
	11	18	37	55
	12	23	23	46
	13	14	20	34
	14	8	16	24
	15	6	12	18
Total		188	295	483

Pirâmide de população Contagem Idade_anos por Género



Barra Empilhada Contagem de Idade_anos por Género



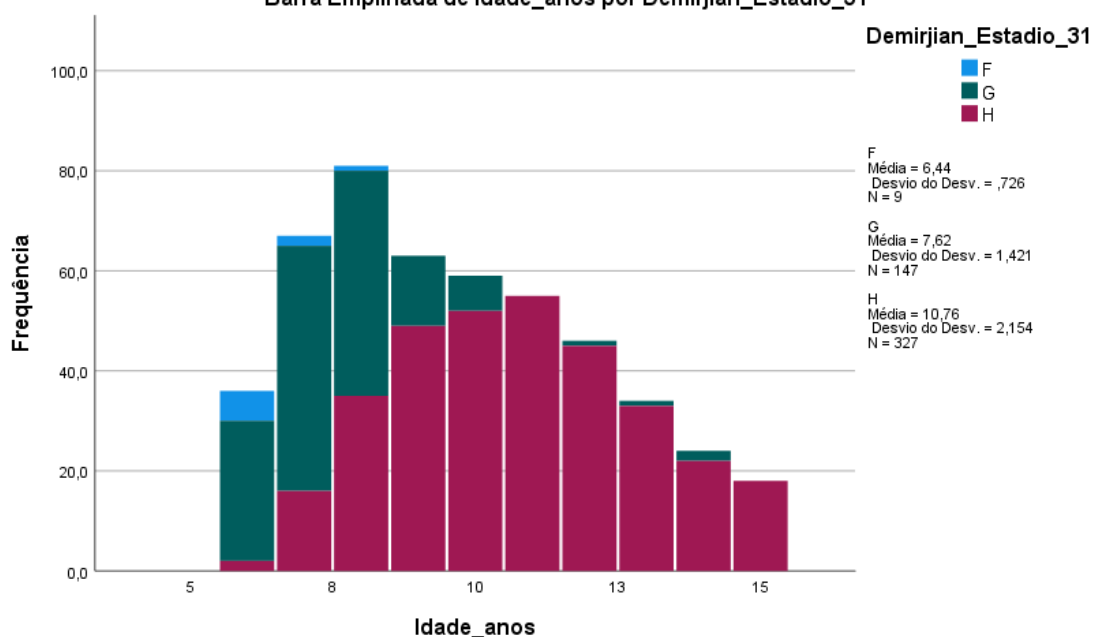
IV – Caracterização da Amostra pelos Estádios de Demirjian

Tabulação cruzada Demirjian_Estadio_31 * Idade_anos

Contagem

		Idade_anos										Total
		6	7	8	9	10	11	12	13	14	15	
Demirjian_Estadio_31	F	6	2	1	0	0	0	0	0	0	0	9
	G	28	49	45	14	7	0	1	1	2	0	147
	H	2	16	35	49	52	55	45	33	22	18	327
Total		36	67	81	63	59	55	46	34	24	18	483

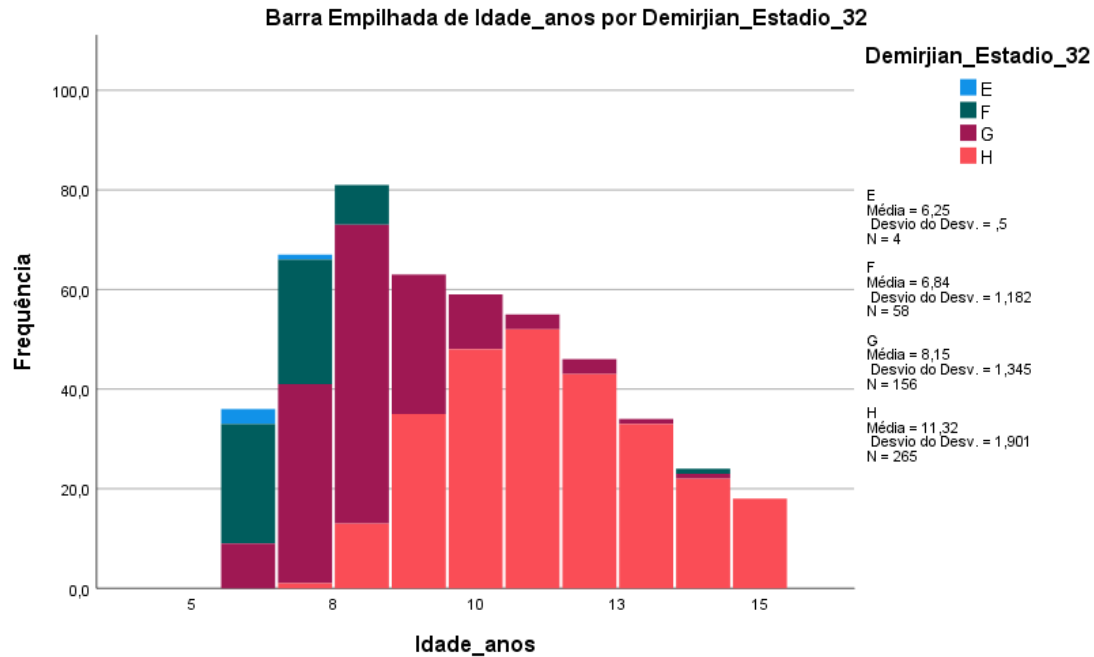
Barra Empilhada de Idade_anos por Demirjian_Estadio_31



Tabulação cruzada Demirjian_Estadio_32 * Idade_anos

Contagem

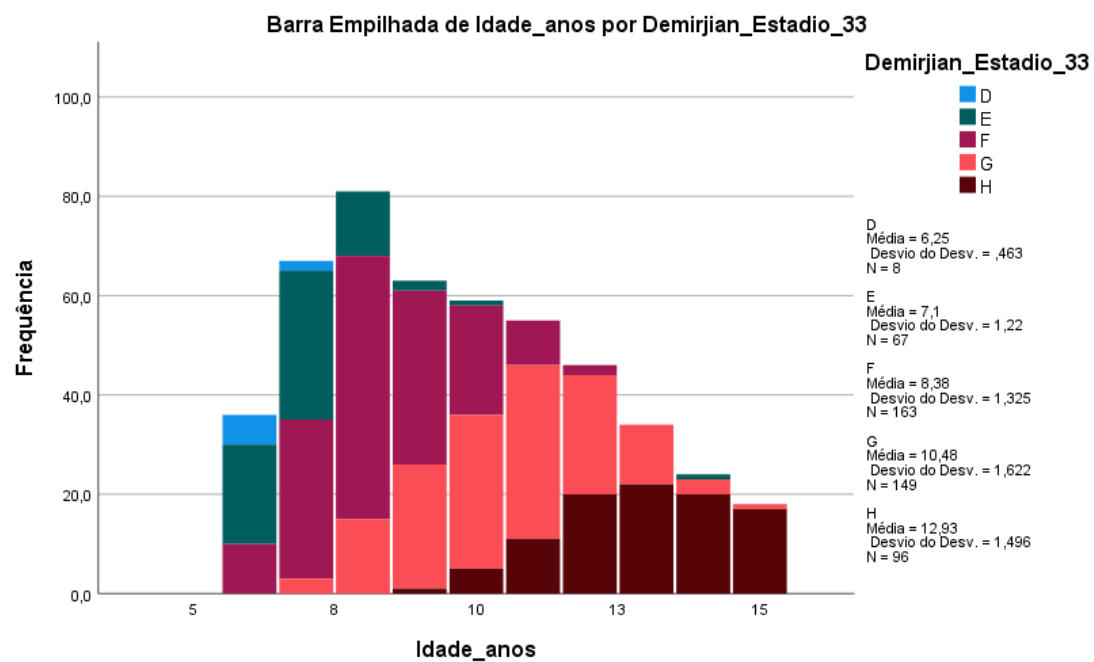
		Idade_anos										Total
		6	7	8	9	10	11	12	13	14	15	
Demirjian_Estadio_32	E	3	1	0	0	0	0	0	0	0	0	4
	F	24	25	8	0	0	0	0	0	1	0	58
	G	9	40	60	28	11	3	3	1	1	0	156
	H	0	1	13	35	48	52	43	33	22	18	265
Total		36	67	81	63	59	55	46	34	24	18	483



Tabulação cruzada Demirjian_Estadio_33 * Idade_anos

Contagem

		Idade_anos										Total
		6	7	8	9	10	11	12	13	14	15	
Demirjian_Estadio_33	D	6	2	0	0	0	0	0	0	0	0	8
	E	20	30	13	2	1	0	0	0	1	0	67
	F	10	32	53	35	22	9	2	0	0	0	163
	G	0	3	15	25	31	35	24	12	3	1	149
	H	0	0	0	1	5	11	20	22	20	17	96
Total		36	67	81	63	59	55	46	34	24	18	483

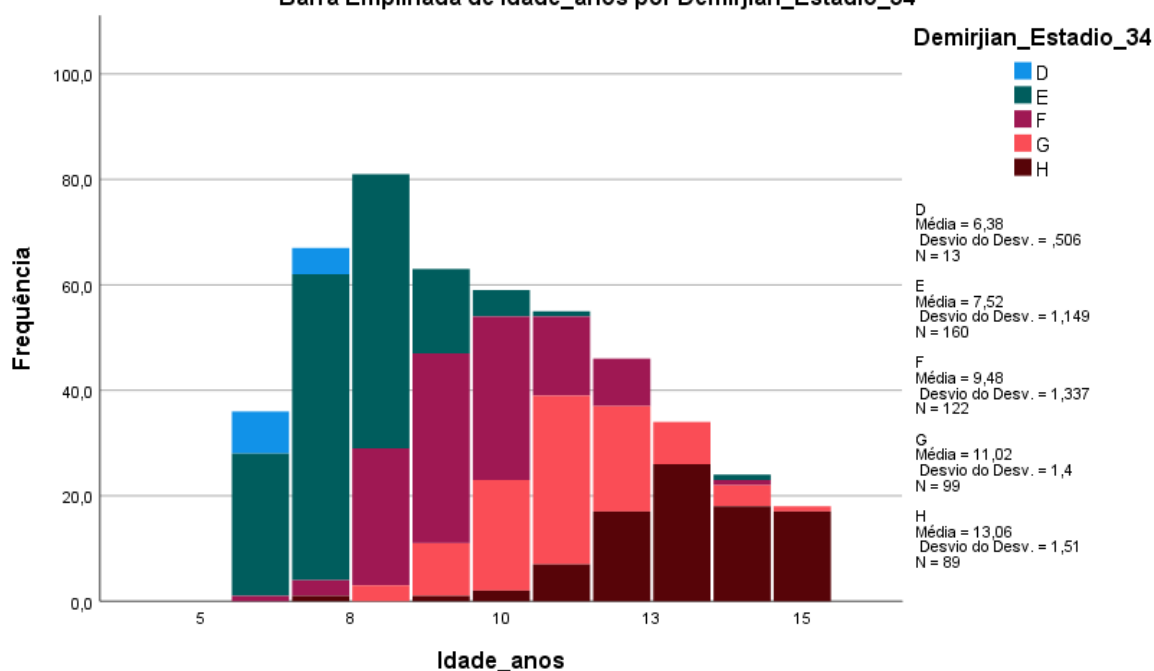


Tabulação cruzada Demirjian_Estadio_34 * Idade_anos

Contagem

		Idade_anos										Total
		6	7	8	9	10	11	12	13	14	15	
Demirjian_Estadio_34	D	8	5	0	0	0	0	0	0	0	0	13
	E	27	58	52	16	5	1	0	0	1	0	160
	F	1	3	26	36	31	15	9	0	1	0	122
	G	0	0	3	10	21	32	20	8	4	1	99
	H	0	1	0	1	2	7	17	26	18	17	89
Total		36	67	81	63	59	55	46	34	24	18	483

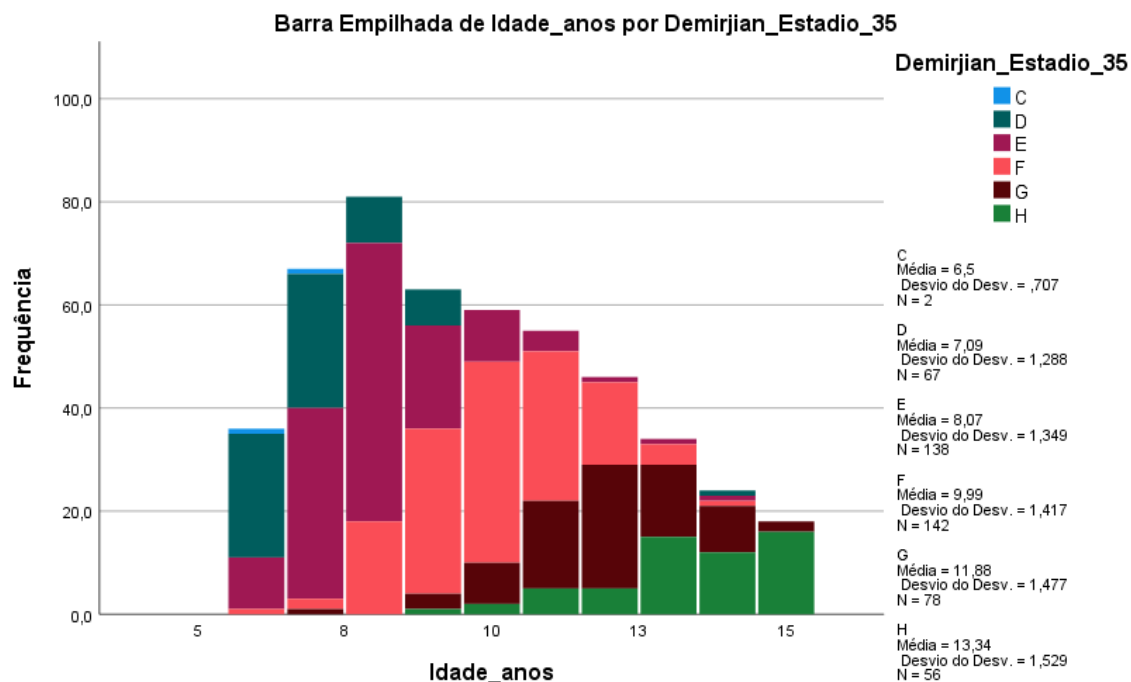
Barra Empilhada de Idade_anos por Demirjian_Estadio_34



Tabulação cruzada Demirjian_Estadio_35 * Idade_anos

Contagem

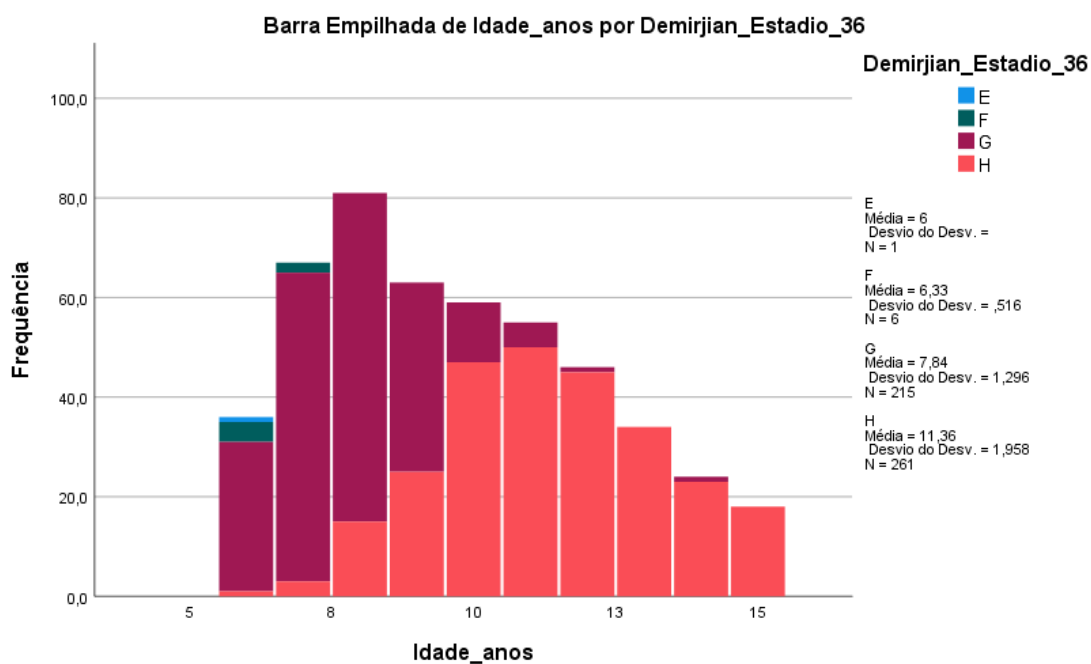
		Idade_anos										Total
		6	7	8	9	10	11	12	13	14	15	
Demirjian_Estadio_35	C	1	1	0	0	0	0	0	0	0	0	2
	D	24	26	9	7	0	0	0	0	1	0	67
	E	10	37	54	20	10	4	1	1	1	0	138
	F	1	2	18	32	39	29	16	4	1	0	142
	G	0	1	0	3	8	17	24	14	9	2	78
	H	0	0	0	1	2	5	5	15	12	16	56
Total		36	67	81	63	59	55	46	34	24	18	483



Tabulação cruzada Demirjian_Estadio_36 * Idade_anos

Contagem

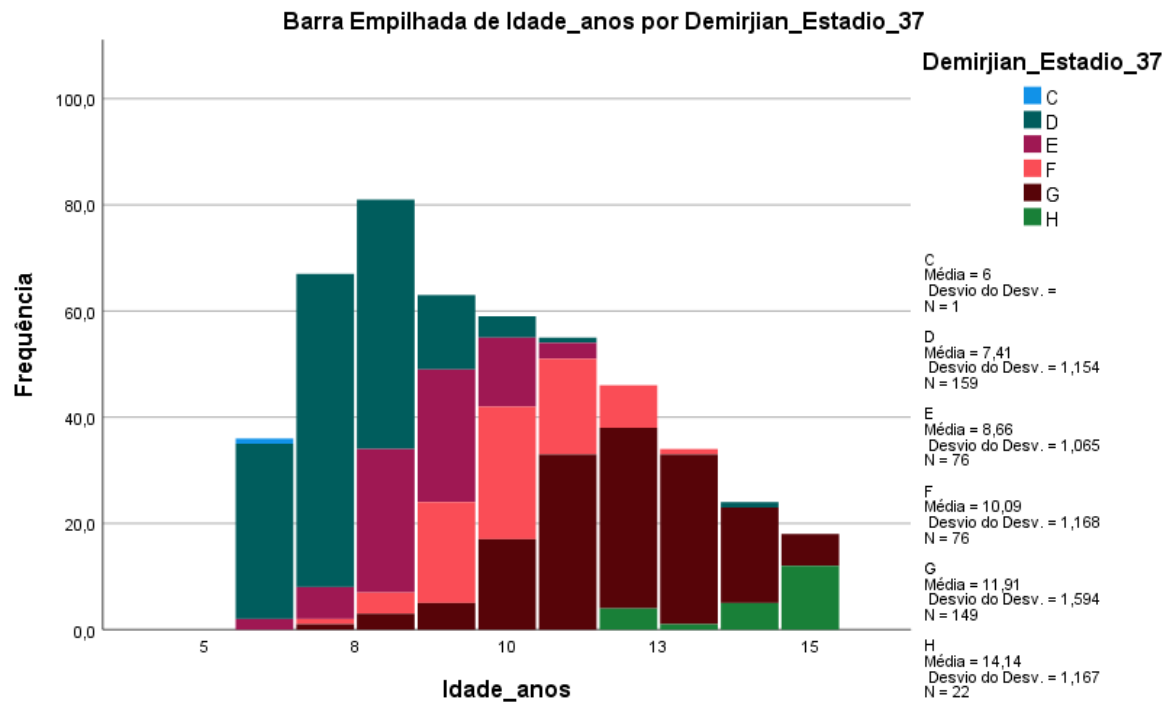
		Idade_anos										Total
		6	7	8	9	10	11	12	13	14	15	
Demirjian_Estadio_36	E	1	0	0	0	0	0	0	0	0	0	1
	F	4	2	0	0	0	0	0	0	0	0	6
	G	30	62	66	38	12	5	1	0	1	0	215
	H	1	3	15	25	47	50	45	34	23	18	261
Total		36	67	81	63	59	55	46	34	24	18	483



Tabulação cruzada Demirjian_Estadio_37 * Idade_anos

Contagem

		Idade_anos										Total
		6	7	8	9	10	11	12	13	14	15	
Demirjian_Estad io_37	C	1	0	0	0	0	0	0	0	0	0	1
	D	33	59	47	14	4	1	0	0	1	0	159
	E	2	6	27	25	13	3	0	0	0	0	76
	F	0	1	4	19	25	18	8	1	0	0	76
	G	0	1	3	5	17	33	34	32	18	6	149
	H	0	0	0	0	0	0	4	1	5	12	22
Total		36	67	81	63	59	55	46	34	24	18	483



Anexo 6 – Validação de dados

I – Validação Intra-Observador

II – Validação Interobservador

I – Validação Intra-Observador

Coefficiente de correlação intraclasse para o Ápex do Dente 31

	Correlação intraclasse ^b	Intervalo de Confiança 95%		Teste F com Valor True0			
		Limite inferior	Limite superior	Valor	df1	df2	Sig
Medidas únicas	,879 ^a	,687	,957	15,858	14	14	,000
Medidas médias	,936 ^c	,814	,978	15,858	14	14	,000

Modelo de efeitos mistos bidirecional em que os efeitos das pessoas são aleatórios e os das medidas são fixos.

- a. O estimador é o mesmo, esteja o efeito de interação presente ou não.
- b. Os coeficientes de correlação intraclasse tipo A que usam uma definição de concordância absoluta.
- c. Essa estimativa é calculada considerando que o efeito de interação esteja ausente, porque ele não pode ser estimado de outra forma.

Coefficiente de correlação intraclasse para o Comprimento Vertical do Dente 31

	Correlação intraclasse ^b	Intervalo de Confiança 95%		Teste F com Valor True0			
		Limite inferior	Limite superior	Valor	df1	df2	Sig
Medidas únicas	,931 ^a	,808	,976	26,334	14	14	,000
Medidas médias	,964 ^c	,894	,988	26,334	14	14	,000

Modelo de efeitos mistos bidirecional em que os efeitos das pessoas são aleatórios e os das medidas são fixos.

- a. O estimador é o mesmo, esteja o efeito de interação presente ou não.
- b. Os coeficientes de correlação intraclasse tipo A que usam uma definição de concordância absoluta.
- c. Essa estimativa é calculada considerando que o efeito de interação esteja ausente, porque ele não pode ser estimado de outra forma.

Coefficiente de correlação intraclasse para o Ápex do Dente 32

	Correlação intraclasse ^b	Intervalo de Confiança 95%		Teste F com Valor True0			
		Limite inferior	Limite superior	Valor	df1	df2	Sig
Medidas únicas	,944 ^a	,863	,978	36,665	18	18	,000
Medidas médias	,971 ^c	,926	,989	36,665	18	18	,000

Modelo de efeitos mistos bidirecional em que os efeitos das pessoas são aleatórios e os das medidas são fixos.

- a. O estimador é o mesmo, esteja o efeito de interação presente ou não.
- b. Os coeficientes de correlação intraclasse tipo A que usam uma definição de concordância absoluta.
- c. Essa estimativa é calculada considerando que o efeito de interação esteja ausente, porque ele não pode ser estimado de outra forma.

Coefficiente de correlação intraclasse para o Comprimento Vertical do Dente 32

	Correlação intraclasse ^b	Intervalo de Confiança 95%		Teste F com Valor True0			
		Limite inferior	Limite superior	Valor	df1	df2	Sig
Medidas únicas	,986 ^a	,965	,995	140,840	18	18	,000
Medidas médias	,993 ^c	,982	,997	140,840	18	18	,000

Modelo de efeitos mistos bidirecional em que os efeitos das pessoas são aleatórios e os das medidas são fixos.

- a. O estimador é o mesmo, esteja o efeito de interação presente ou não.
- b. Os coeficientes de correlação intraclasse tipo A que usam uma definição de concordância absoluta.
- c. Essa estimativa é calculada considerando que o efeito de interação esteja ausente, porque ele não pode ser estimado de outra forma.

Coefficiente de correlação intraclasse para o Ápex do Dente 33

	Correlação intraclasse ^b	Intervalo de Confiança 95%		Teste F com Valor True0			
		Limite inferior	Limite superior	Valor	df1	df2	Sig
Medidas únicas	,963 ^a	,930	,981	56,729	38	38	,000
Medidas médias	,981 ^c	,964	,990	56,729	38	38	,000

Modelo de efeitos mistos bidirecional em que os efeitos das pessoas são aleatórios e os das medidas são fixos.

- a. O estimador é o mesmo, esteja o efeito de interação presente ou não.
- b. Os coeficientes de correlação intraclasse tipo A que usam uma definição de concordância absoluta.
- c. Essa estimativa é calculada considerando que o efeito de interação esteja ausente, porque ele não pode ser estimado de outra forma.

Coefficiente de correlação intraclasse para o Comprimento Vertical do Dente 33

	Correlação intraclasse ^b	Intervalo de Confiança 95%		Teste F com Valor True0			
		Limite inferior	Limite superior	Valor	df1	df2	Sig
Medidas únicas	,988 ^a	,977	,993	157,729	38	38	,000
Medidas médias	,994 ^c	,988	,997	157,729	38	38	,000

Modelo de efeitos mistos bidirecional em que os efeitos das pessoas são aleatórios e os das medidas são fixos.

- a. O estimador é o mesmo, esteja o efeito de interação presente ou não.
- b. Os coeficientes de correlação intraclasse tipo A que usam uma definição de concordância absoluta.
- c. Essa estimativa é calculada considerando que o efeito de interação esteja ausente, porque ele não pode ser estimado de outra forma.

Coeficiente de correlação intraclasse para o Ápex do Dente 34

	Correlação intraclasse ^b	Intervalo de Confiança 95%		Teste F com Valor True0			
		Limite inferior	Limite superior	Valor	df1	df2	Sig
Medidas únicas	,980 ^a	,962	,989	100,719	38	38	,000
Medidas médias	,990 ^c	,981	,995	100,719	38	38	,000

Modelo de efeitos mistos bidirecional em que os efeitos das pessoas são aleatórios e os das medidas são fixos.

- a. O estimador é o mesmo, esteja o efeito de interação presente ou não.
- b. Os coeficientes de correlação intraclasse tipo A que usam uma definição de concordância absoluta.
- c. Essa estimativa é calculada considerando que o efeito de interação esteja ausente, porque ele não pode ser estimado de outra forma.

Coeficiente de correlação intraclasse para o Comprimento Vertical do Dente 34

	Correlação intraclasse ^b	Intervalo de Confiança 95%		Teste F com Valor True0			
		Limite inferior	Limite superior	Valor	df1	df2	Sig
Medidas únicas	,988 ^a	,977	,994	159,488	38	38	,000
Medidas médias	,994 ^c	,988	,997	159,488	38	38	,000

Modelo de efeitos mistos bidirecional em que os efeitos das pessoas são aleatórios e os das medidas são fixos.

- a. O estimador é o mesmo, esteja o efeito de interação presente ou não.
- b. Os coeficientes de correlação intraclasse tipo A que usam uma definição de concordância absoluta.
- c. Essa estimativa é calculada considerando que o efeito de interação esteja ausente, porque ele não pode ser estimado de outra forma.

Coeficiente de correlação intraclasse para o Ápex do Dente 35

	Correlação intraclasse ^b	Intervalo de Confiança 95%		Teste F com Valor True0			
		Limite inferior	Limite superior	Valor	df1	df2	Sig
Medidas únicas	,984 ^a	,970	,991	128,056	44	44	,000
Medidas médias	,992 ^c	,985	,996	128,056	44	44	,000

Modelo de efeitos mistos bidirecional em que os efeitos das pessoas são aleatórios e os das medidas são fixos.

- a. O estimador é o mesmo, esteja o efeito de interação presente ou não.
- b. Os coeficientes de correlação intraclasse tipo A que usam uma definição de concordância absoluta.
- c. Essa estimativa é calculada considerando que o efeito de interação esteja ausente, porque ele não pode ser estimado de outra forma.

Coefficiente de correlação intraclasse para o Comprimento Vertical do Dente 35

	Correlação intraclasse ^b	Intervalo de Confiança 95%		Teste F com Valor True0			Sig
		Limite inferior	Limite superior	Valor	df1	df2	
Medidas únicas	,996 ^a	,992	,998	462,412	44	44	,000
Medidas médias	,998 ^c	,996	,999	462,412	44	44	,000

Modelo de efeitos mistos bidirecional em que os efeitos das pessoas são aleatórios e os das medidas são fixos.

- O estimador é o mesmo, esteja o efeito de interação presente ou não.
- Os coeficientes de correlação intraclasse tipo A que usam uma definição de concordância absoluta.
- Essa estimativa é calculada considerando que o efeito de interação esteja ausente, porque ele não pode ser estimado de outra forma.

Coefficiente de correlação intraclasse para o Ápex Mesial do Dente 36

	Correlação intraclasse ^b	Intervalo de Confiança 95%		Teste F com Valor True0			Sig
		Limite inferior	Limite superior	Valor	df1	df2	
Medidas únicas	,864 ^a	,700	,942	13,789	20	20	,000
Medidas médias	,927 ^c	,824	,970	13,789	20	20	,000

Modelo de efeitos mistos bidirecional em que os efeitos das pessoas são aleatórios e os das medidas são fixos.

- O estimador é o mesmo, esteja o efeito de interação presente ou não.
- Os coeficientes de correlação intraclasse tipo A que usam uma definição de concordância absoluta.
- Essa estimativa é calculada considerando que o efeito de interação esteja ausente, porque ele não pode ser estimado de outra forma.

Coefficiente de correlação intraclasse para o Ápex Distal do Dente 36

	Correlação intraclasse ^b	Intervalo de Confiança 95%		Teste F com Valor True0			Sig
		Limite inferior	Limite superior	Valor	df1	df2	
Medidas únicas	,910 ^a	,794	,962	21,042	20	20	,000
Medidas médias	,953 ^c	,885	,981	21,042	20	20	,000

Modelo de efeitos mistos bidirecional em que os efeitos das pessoas são aleatórios e os das medidas são fixos.

- O estimador é o mesmo, esteja o efeito de interação presente ou não.
- Os coeficientes de correlação intraclasse tipo A que usam uma definição de concordância absoluta.
- Essa estimativa é calculada considerando que o efeito de interação esteja ausente, porque ele não pode ser estimado de outra forma.

Coefficiente de correlação intraclasse para o Comprimento Vertical do Dente 36

	Correlação intraclasse ^b	Intervalo de Confiança 95%		Teste F com Valor True0			
		Limite inferior	Limite superior	Valor	df1	df2	Sig
Medidas únicas	,642 ^a	,297	,838	4,447	20	20	,001
Medidas médias	,782 ^c	,458	,912	4,447	20	20	,001

Modelo de efeitos mistos bidirecional em que os efeitos das pessoas são aleatórios e os das medidas são fixos.

- a. O estimador é o mesmo, esteja o efeito de interação presente ou não.
- b. Os coeficientes de correlação intraclasse tipo A que usam uma definição de concordância absoluta.
- c. Essa estimativa é calculada considerando que o efeito de interação esteja ausente, porque ele não pode ser estimado de outra forma.

Coefficiente de correlação intraclasse para o Ápex Mesial do Dente 37

	Correlação intraclasse ^b	Intervalo de Confiança 95%		Teste F com Valor True0			
		Limite inferior	Limite superior	Valor	df1	df2	Sig
Medidas únicas	,909 ^a	,816	,956	20,335	28	28	,000
Medidas médias	,952 ^c	,898	,978	20,335	28	28	,000

Modelo de efeitos mistos bidirecional em que os efeitos das pessoas são aleatórios e os das medidas são fixos.

- a. O estimador é o mesmo, esteja o efeito de interação presente ou não.
- b. Os coeficientes de correlação intraclasse tipo A que usam uma definição de concordância absoluta.
- c. Essa estimativa é calculada considerando que o efeito de interação esteja ausente, porque ele não pode ser estimado de outra forma.

Coefficiente de correlação intraclasse para o Ápex Distal do Dente 37

	Correlação intraclasse ^b	Intervalo de Confiança 95%		Teste F com Valor True0			
		Limite inferior	Limite superior	Valor	df1	df2	Sig
Medidas únicas	,931 ^a	,844	,968	32,049	28	28	,000
Medidas médias	,964 ^c	,915	,984	32,049	28	28	,000

Modelo de efeitos mistos bidirecional em que os efeitos das pessoas são aleatórios e os das medidas são fixos.

- a. O estimador é o mesmo, esteja o efeito de interação presente ou não.
- b. Os coeficientes de correlação intraclasse tipo A que usam uma definição de concordância absoluta.
- c. Essa estimativa é calculada considerando que o efeito de interação esteja ausente, porque ele não pode ser estimado de outra forma.

Coeficiente de correlação intraclasse para o Comprimento Vertical do Dente 37

	Correlação intraclasse ^b	Intervalo de Confiança 95%		Teste F com Valor True0			Sig
		Limite inferior	Limite superior	Valor	df1	df2	
Medidas únicas	,960 ^a	,918	,981	50,149	28	28	,000
Medidas médias	,980 ^c	,957	,990	50,149	28	28	,000

Modelo de efeitos mistos bidirecional em que os efeitos das pessoas são aleatórios e os das medidas são fixos.

- O estimador é o mesmo, esteja o efeito de interação presente ou não.
- Os coeficientes de correlação intraclasse tipo A que usam uma definição de concordância absoluta.
- Essa estimativa é calculada considerando que o efeito de interação esteja ausente, porque ele não pode ser estimado de outra forma.

Coeficiente de correlação intraclasse para o Ápex do Dente 37 (monorradicular)

	Correlação intraclasse ^b	Intervalo de Confiança 95%		Teste F com Valor True0			Sig
		Limite inferior	Limite superior	Valor	df1	df2	
Medidas únicas	,944 ^a	,862	,978	33,446	18	18	,000
Medidas médias	,971 ^c	,926	,989	33,446	18	18	,000

Modelo de efeitos mistos bidirecional em que os efeitos das pessoas são aleatórios e os das medidas são fixos.

- O estimador é o mesmo, esteja o efeito de interação presente ou não.
- Os coeficientes de correlação intraclasse tipo A que usam uma definição de concordância absoluta.
- Essa estimativa é calculada considerando que o efeito de interação esteja ausente, porque ele não pode ser estimado de outra forma.

Coeficiente de correlação intraclasse para o Comprimento Vertical do Dente 37 (monorradicular)

	Correlação intraclasse ^b	Intervalo de Confiança 95%		Teste F com Valor True0			Sig
		Limite inferior	Limite superior	Valor	df1	df2	
Medidas únicas	,932 ^a	,796	,975	35,429	18	18	,000
Medidas médias	,965 ^c	,886	,987	35,429	18	18	,000

Modelo de efeitos mistos bidirecional em que os efeitos das pessoas são aleatórios e os das medidas são fixos.

- O estimador é o mesmo, esteja o efeito de interação presente ou não.
- Os coeficientes de correlação intraclasse tipo A que usam uma definição de concordância absoluta.
- Essa estimativa é calculada considerando que o efeito de interação esteja ausente, porque ele não pode ser estimado de outra forma.

Coefficiente de correlação intraclasse para o Ápex do Dente 41

	Correlação intraclasse ^b	Intervalo de Confiança 95%		Teste F com Valor True0			Sig
		Limite inferior	Limite superior	Valor	df1	df2	
Medidas únicas	,710 ^a	,308	,897	5,659	13	13	,002
Medidas médias	,830 ^c	,471	,945	5,659	13	13	,002

Modelo de efeitos mistos bidirecional em que os efeitos das pessoas são aleatórios e os das medidas são fixos.

- a. O estimador é o mesmo, esteja o efeito de interação presente ou não.
- b. Os coeficientes de correlação intraclasse tipo A que usam uma definição de concordância absoluta.
- c. Essa estimativa é calculada considerando que o efeito de interação esteja ausente, porque ele não pode ser estimado de outra forma.

Coefficiente de correlação intraclasse para o Comprimento Vertical do Dente 41

	Correlação intraclasse ^b	Intervalo de Confiança 95%		Teste F com Valor True0			Sig
		Limite inferior	Limite superior	Valor	df1	df2	
Medidas únicas	,926 ^a	,789	,975	24,836	13	13	,000
Medidas médias	,961 ^c	,882	,988	24,836	13	13	,000

Modelo de efeitos mistos bidirecional em que os efeitos das pessoas são aleatórios e os das medidas são fixos.

- a. O estimador é o mesmo, esteja o efeito de interação presente ou não.
- b. Os coeficientes de correlação intraclasse tipo A que usam uma definição de concordância absoluta.
- c. Essa estimativa é calculada considerando que o efeito de interação esteja ausente, porque ele não pode ser estimado de outra forma.

Coefficiente de correlação intraclasse para o Ápex do Dente 42

	Correlação intraclasse ^b	Intervalo de Confiança 95%		Teste F com Valor True0			Sig
		Limite inferior	Limite superior	Valor	df1	df2	
Medidas únicas	,852 ^a	,660	,940	12,359	18	18	,000
Medidas médias	,920 ^c	,795	,969	12,359	18	18	,000

Modelo de efeitos mistos bidirecional em que os efeitos das pessoas são aleatórios e os das medidas são fixos.

- a. O estimador é o mesmo, esteja o efeito de interação presente ou não.
- b. Os coeficientes de correlação intraclasse tipo A que usam uma definição de concordância absoluta.
- c. Essa estimativa é calculada considerando que o efeito de interação esteja ausente, porque ele não pode ser estimado de outra forma.

Coeficiente de correlação intraclasse para o Comprimento Vertical do Dente 42

	Correlação intraclasse ^b	Intervalo de Confiança 95%		Teste F com Valor True0			
		Limite inferior	Limite superior	Valor	df1	df2	Sig
Medidas únicas	,978 ^a	,944	,991	87,552	18	18	,000
Medidas médias	,989 ^c	,971	,996	87,552	18	18	,000

Modelo de efeitos mistos bidirecional em que os efeitos das pessoas são aleatórios e os das medidas são fixos.

- a. O estimador é o mesmo, esteja o efeito de interação presente ou não.
- b. Os coeficientes de correlação intraclasse tipo A que usam uma definição de concordância absoluta.
- c. Essa estimativa é calculada considerando que o efeito de interação esteja ausente, porque ele não pode ser estimado de outra forma.

Coeficiente de correlação intraclasse para o Ápex do Dente 43

	Correlação intraclasse ^b	Intervalo de Confiança 95%		Teste F com Valor True0			
		Limite inferior	Limite superior	Valor	df1	df2	Sig
Medidas únicas	,971 ^a	,943	,985	65,877	34	34	,000
Medidas médias	,985 ^c	,971	,993	65,877	34	34	,000

Modelo de efeitos mistos bidirecional em que os efeitos das pessoas são aleatórios e os das medidas são fixos.

- a. O estimador é o mesmo, esteja o efeito de interação presente ou não.
- b. Os coeficientes de correlação intraclasse tipo A que usam uma definição de concordância absoluta.
- c. Essa estimativa é calculada considerando que o efeito de interação esteja ausente, porque ele não pode ser estimado de outra forma.

Coeficiente de correlação intraclasse para o Comprimento Vertical do Dente 43

	Correlação intraclasse ^b	Intervalo de Confiança 95%		Teste F com Valor True0			
		Limite inferior	Limite superior	Valor	df1	df2	Sig
Medidas únicas	,976 ^a	,953	,988	80,235	34	34	,000
Medidas médias	,988 ^c	,976	,994	80,235	34	34	,000

Modelo de efeitos mistos bidirecional em que os efeitos das pessoas são aleatórios e os das medidas são fixos.

- a. O estimador é o mesmo, esteja o efeito de interação presente ou não.
- b. Os coeficientes de correlação intraclasse tipo A que usam uma definição de concordância absoluta.
- c. Essa estimativa é calculada considerando que o efeito de interação esteja ausente, porque ele não pode ser estimado de outra forma.

Coeficiente de correlação intraclasse para o Ápex do Dente 44

	Correlação intraclasse ^b	Intervalo de Confiança 95%		Teste F com Valor True0			
		Limite inferior	Limite superior	Valor	df1	df2	Sig
Medidas únicas	,970 ^a	,940	,985	72,117	35	35	,000
Medidas médias	,985 ^c	,969	,992	72,117	35	35	,000

Modelo de efeitos mistos bidirecional em que os efeitos das pessoas são aleatórios e os das medidas são fixos.

- a. O estimador é o mesmo, esteja o efeito de interação presente ou não.
- b. Os coeficientes de correlação intraclasse tipo A que usam uma definição de concordância absoluta.
- c. Essa estimativa é calculada considerando que o efeito de interação esteja ausente, porque ele não pode ser estimado de outra forma.

Coeficiente de correlação intraclasse para o Comprimento Vertical do Dente 44

	Correlação intraclasse ^b	Intervalo de Confiança 95%		Teste F com Valor True0			
		Limite inferior	Limite superior	Valor	df1	df2	Sig
Medidas únicas	,988 ^a	,977	,994	164,168	35	35	,000
Medidas médias	,994 ^c	,988	,997	164,168	35	35	,000

Modelo de efeitos mistos bidirecional em que os efeitos das pessoas são aleatórios e os das medidas são fixos.

- a. O estimador é o mesmo, esteja o efeito de interação presente ou não.
- b. Os coeficientes de correlação intraclasse tipo A que usam uma definição de concordância absoluta.
- c. Essa estimativa é calculada considerando que o efeito de interação esteja ausente, porque ele não pode ser estimado de outra forma.

Coeficiente de correlação intraclasse para o Ápex do Dente 45

	Correlação intraclasse ^b	Intervalo de Confiança 95%		Teste F com Valor True0			
		Limite inferior	Limite superior	Valor	df1	df2	Sig
Medidas únicas	,986 ^a	,975	,993	143,475	41	41	,000
Medidas médias	,993 ^c	,987	,996	143,475	41	41	,000

Modelo de efeitos mistos bidirecional em que os efeitos das pessoas são aleatórios e os das medidas são fixos.

- a. O estimador é o mesmo, esteja o efeito de interação presente ou não.
- b. Os coeficientes de correlação intraclasse tipo A que usam uma definição de concordância absoluta.
- c. Essa estimativa é calculada considerando que o efeito de interação esteja ausente, porque ele não pode ser estimado de outra forma.

Coeficiente de correlação intraclasse para o Comprimento Vertical do Dente 45

	Correlação intraclasse ^b	Intervalo de Confiança 95%		Teste F com Valor True0			
		Limite inferior	Limite superior	Valor	df1	df2	Sig
Medidas únicas	,995 ^a	,990	,997	369,176	41	41	,000
Medidas médias	,997 ^c	,995	,999	369,176	41	41	,000

Modelo de efeitos mistos bidirecional em que os efeitos das pessoas são aleatórios e os das medidas são fixos.

- a. O estimador é o mesmo, esteja o efeito de interação presente ou não.
- b. Os coeficientes de correlação intraclasse tipo A que usam uma definição de concordância absoluta.
- c. Essa estimativa é calculada considerando que o efeito de interação esteja ausente, porque ele não pode ser estimado de outra forma.

Coeficiente de correlação intraclasse para o Ápex Mesial do Dente 46

	Correlação intraclasse ^b	Intervalo de Confiança 95%		Teste F com Valor True0			
		Limite inferior	Limite superior	Valor	df1	df2	Sig
Medidas únicas	,789 ^a	,487	,917	10,352	18	18	,000
Medidas médias	,882 ^c	,655	,957	10,352	18	18	,000

Modelo de efeitos mistos bidirecional em que os efeitos das pessoas são aleatórios e os das medidas são fixos.

- a. O estimador é o mesmo, esteja o efeito de interação presente ou não.
- b. Os coeficientes de correlação intraclasse tipo A que usam uma definição de concordância absoluta.
- c. Essa estimativa é calculada considerando que o efeito de interação esteja ausente, porque ele não pode ser estimado de outra forma.

Coeficiente de correlação intraclasse para o Ápex Distal do Dente 46

	Correlação intraclasse ^b	Intervalo de Confiança 95%		Teste F com Valor True0			
		Limite inferior	Limite superior	Valor	df1	df2	Sig
Medidas únicas	,603 ^a	,227	,824	4,052	18	18	,002
Medidas médias	,752 ^c	,370	,904	4,052	18	18	,002

Modelo de efeitos mistos bidirecional em que os efeitos das pessoas são aleatórios e os das medidas são fixos.

- a. O estimador é o mesmo, esteja o efeito de interação presente ou não.
- b. Os coeficientes de correlação intraclasse tipo A que usam uma definição de concordância absoluta.
- c. Essa estimativa é calculada considerando que o efeito de interação esteja ausente, porque ele não pode ser estimado de outra forma.

Coefficiente de correlação intraclasse para o Comprimento Vertical do Dente 46

	Correlação intraclasse ^b	Intervalo de Confiança 95%		Teste F com Valor True0			
		Limite inferior	Limite superior	Valor	df1	df2	Sig
Medidas únicas	,963 ^a	,848	,988	75,396	18	18	,000
Medidas médias	,981 ^c	,917	,994	75,396	18	18	,000

Modelo de efeitos mistos bidirecional em que os efeitos das pessoas são aleatórios e os das medidas são fixos.

- a. O estimador é o mesmo, esteja o efeito de interação presente ou não.
- b. Os coeficientes de correlação intraclasse tipo A que usam uma definição de concordância absoluta.
- c. Essa estimativa é calculada considerando que o efeito de interação esteja ausente, porque ele não pode ser estimado de outra forma.

Coefficiente de correlação intraclasse para o Ápex Mesial do Dente 47

	Correlação intraclasse ^b	Intervalo de Confiança 95%		Teste F com Valor True0			
		Limite inferior	Limite superior	Valor	df1	df2	Sig
Medidas únicas	,902 ^a	,791	,956	18,770	24	24	,000
Medidas médias	,949 ^c	,883	,977	18,770	24	24	,000

Modelo de efeitos mistos bidirecional em que os efeitos das pessoas são aleatórios e os das medidas são fixos.

- a. O estimador é o mesmo, esteja o efeito de interação presente ou não.
- b. Os coeficientes de correlação intraclasse tipo A que usam uma definição de concordância absoluta.
- c. Essa estimativa é calculada considerando que o efeito de interação esteja ausente, porque ele não pode ser estimado de outra forma.

Coefficiente de correlação intraclasse para o Ápex Distal do Dente 47

	Correlação intraclasse ^b	Intervalo de Confiança 95%		Teste F com Valor True0			
		Limite inferior	Limite superior	Valor	df1	df2	Sig
Medidas únicas	,933 ^a	,800	,974	38,357	24	24	,000
Medidas médias	,966 ^c	,889	,987	38,357	24	24	,000

Modelo de efeitos mistos bidirecional em que os efeitos das pessoas são aleatórios e os das medidas são fixos.

- a. O estimador é o mesmo, esteja o efeito de interação presente ou não.
- b. Os coeficientes de correlação intraclasse tipo A que usam uma definição de concordância absoluta.
- c. Essa estimativa é calculada considerando que o efeito de interação esteja ausente, porque ele não pode ser estimado de outra forma.

Coefficiente de correlação intraclasse para o Comprimento Vertical do Dente 47

	Correlação intraclasse ^b	Intervalo de Confiança 95%		Teste F com Valor True0			
		Limite inferior	Limite superior	Valor	df1	df2	Sig
Medidas únicas	,970 ^a	,933	,987	63,813	24	24	,000
Medidas médias	,985 ^c	,965	,993	63,813	24	24	,000

Modelo de efeitos mistos bidirecional em que os efeitos das pessoas são aleatórios e os das medidas são fixos.

- a. O estimador é o mesmo, esteja o efeito de interação presente ou não.
- b. Os coeficientes de correlação intraclasse tipo A que usam uma definição de concordância absoluta.
- c. Essa estimativa é calculada considerando que o efeito de interação esteja ausente, porque ele não pode ser estimado de outra forma.

Coefficiente de correlação intraclasse para o Ápex do Dente 47 (monorradicular)

	Correlação intraclasse ^b	Intervalo de Confiança 95%		Teste F com Valor True0			
		Limite inferior	Limite superior	Valor	df1	df2	Sig
Medidas únicas	,932 ^a	,839	,972	29,225	19	19	,000
Medidas médias	,965 ^c	,912	,986	29,225	19	19	,000

Modelo de efeitos mistos bidirecional em que os efeitos das pessoas são aleatórios e os das medidas são fixos.

- a. O estimador é o mesmo, esteja o efeito de interação presente ou não.
- b. Os coeficientes de correlação intraclasse tipo A que usam uma definição de concordância absoluta.
- c. Essa estimativa é calculada considerando que o efeito de interação esteja ausente, porque ele não pode ser estimado de outra forma.

Coefficiente de correlação intraclasse para o Comprimento Vertical do Dente 47 (monorradicular)

	Correlação intraclasse ^b	Intervalo de Confiança 95%		Teste F com Valor True0			
		Limite inferior	Limite superior	Valor	df1	df2	Sig
Medidas únicas	,976 ^a	,928	,991	103,194	19	19	,000
Medidas médias	,988 ^c	,963	,996	103,194	19	19	,000

Modelo de efeitos mistos bidirecional em que os efeitos das pessoas são aleatórios e os das medidas são fixos.

- a. O estimador é o mesmo, esteja o efeito de interação presente ou não.
- b. Os coeficientes de correlação intraclasse tipo A que usam uma definição de concordância absoluta.
- c. Essa estimativa é calculada considerando que o efeito de interação esteja ausente, porque ele não pode ser estimado de outra forma.

II – Validação Interobservador

Coeficiente de correlação intraclasse para o Ápex do Dente 31

	Correlação intraclasse ^b	Intervalo de Confiança 95%		Teste F com Valor True0			
		Limite inferior	Limite superior	Valor	df1	df2	Sig
Medidas únicas	,825 ^a	,555	,938	11,614	14	14	,000
Medidas médias	,904 ^c	,714	,968	11,614	14	14	,000

Modelo de efeitos mistos bidirecional em que os efeitos das pessoas são aleatórios e os das medidas são fixos.

- a. O estimador é o mesmo, esteja o efeito de interação presente ou não.
- b. Os coeficientes de correlação intraclasse tipo A que usam uma definição de concordância absoluta.
- c. Essa estimativa é calculada considerando que o efeito de interação esteja ausente, porque ele não pode ser estimado de outra forma.

Coeficiente de correlação intraclasse para o Comprimento Vertical do Dente 31

	Correlação intraclasse ^b	Intervalo de Confiança 95%		Teste F com Valor True0			
		Limite inferior	Limite superior	Valor	df1	df2	Sig
Medidas únicas	,591 ^a	,115	,843	3,697	14	14	,010
Medidas médias	,743 ^c	,206	,915	3,697	14	14	,010

Modelo de efeitos mistos bidirecional em que os efeitos das pessoas são aleatórios e os das medidas são fixos.

- a. O estimador é o mesmo, esteja o efeito de interação presente ou não.
- b. Os coeficientes de correlação intraclasse tipo A que usam uma definição de concordância absoluta.
- c. Essa estimativa é calculada considerando que o efeito de interação esteja ausente, porque ele não pode ser estimado de outra forma.

Coeficiente de correlação intraclasse para o Ápex do Dente 32

	Correlação intraclasse ^b	Intervalo de Confiança 95%		Teste F com Valor True0			
		Limite inferior	Limite superior	Valor	df1	df2	Sig
Medidas únicas	,959 ^a	,792	,987	74,732	17	17	,000
Medidas médias	,979 ^c	,884	,994	74,732	17	17	,000

Modelo de efeitos mistos bidirecional em que os efeitos das pessoas são aleatórios e os das medidas são fixos.

- a. O estimador é o mesmo, esteja o efeito de interação presente ou não.
- b. Os coeficientes de correlação intraclasse tipo A que usam uma definição de concordância absoluta.
- c. Essa estimativa é calculada considerando que o efeito de interação esteja ausente, porque ele não pode ser estimado de outra forma.

Coefficiente de correlação intraclasse para o Comprimento Vertical do Dente 32

	Correlação intraclasse ^b	Intervalo de Confiança 95%		Teste F com Valor True0			
		Limite inferior	Limite superior	Valor	df1	df2	Sig
Medidas únicas	,980 ^a	,949	,993	98,285	17	17	,000
Medidas médias	,990 ^c	,974	,996	98,285	17	17	,000

Modelo de efeitos mistos bidirecional em que os efeitos das pessoas são aleatórios e os das medidas são fixos.

- O estimador é o mesmo, esteja o efeito de interação presente ou não.
- Os coeficientes de correlação intraclasse tipo A que usam uma definição de concordância absoluta.
- Essa estimativa é calculada considerando que o efeito de interação esteja ausente, porque ele não pode ser estimado de outra forma.

Coefficiente de correlação intraclasse para o Ápex do Dente 33

	Correlação intraclasse ^b	Intervalo de Confiança 95%		Teste F com Valor True0			
		Limite inferior	Limite superior	Valor	df1	df2	Sig
Medidas únicas	,927 ^a	,864	,961	25,588	38	38	,000
Medidas médias	,962 ^c	,927	,980	25,588	38	38	,000

Modelo de efeitos mistos bidirecional em que os efeitos das pessoas são aleatórios e os das medidas são fixos.

- O estimador é o mesmo, esteja o efeito de interação presente ou não.
- Os coeficientes de correlação intraclasse tipo A que usam uma definição de concordância absoluta.
- Essa estimativa é calculada considerando que o efeito de interação esteja ausente, porque ele não pode ser estimado de outra forma.

Coefficiente de correlação intraclasse para o Comprimento Vertical do Dente 33

	Correlação intraclasse ^b	Intervalo de Confiança 95%		Teste F com Valor True0			
		Limite inferior	Limite superior	Valor	df1	df2	Sig
Medidas únicas	,977 ^a	,956	,988	83,542	38	38	,000
Medidas médias	,988 ^c	,978	,994	83,542	38	38	,000

Modelo de efeitos mistos bidirecional em que os efeitos das pessoas são aleatórios e os das medidas são fixos.

- O estimador é o mesmo, esteja o efeito de interação presente ou não.
- Os coeficientes de correlação intraclasse tipo A que usam uma definição de concordância absoluta.
- Essa estimativa é calculada considerando que o efeito de interação esteja ausente, porque ele não pode ser estimado de outra forma.

Coefficiente de correlação intraclasse para o Ápex do Dente 34

	Correlação intraclasse ^b	Intervalo de Confiança 95%		Teste F com Valor True0			
		Limite inferior	Limite superior	Valor	df1	df2	Sig
Medidas únicas	,951 ^a	,907	,974	41,984	38	38	,000
Medidas médias	,975 ^c	,951	,987	41,984	38	38	,000

Modelo de efeitos mistos bidirecional em que os efeitos das pessoas são aleatórios e os das medidas são fixos.

- a. O estimador é o mesmo, esteja o efeito de interação presente ou não.
- b. Os coeficientes de correlação intraclasse tipo A que usam uma definição de concordância absoluta.
- c. Essa estimativa é calculada considerando que o efeito de interação esteja ausente, porque ele não pode ser estimado de outra forma.

Coefficiente de correlação intraclasse para o Comprimento Vertical do Dente 34

	Correlação intraclasse ^b	Intervalo de Confiança 95%		Teste F com Valor True0			
		Limite inferior	Limite superior	Valor	df1	df2	Sig
Medidas únicas	,979 ^a	,960	,989	94,985	38	38	,000
Medidas médias	,989 ^c	,979	,994	94,985	38	38	,000

Modelo de efeitos mistos bidirecional em que os efeitos das pessoas são aleatórios e os das medidas são fixos.

- a. O estimador é o mesmo, esteja o efeito de interação presente ou não.
- b. Os coeficientes de correlação intraclasse tipo A que usam uma definição de concordância absoluta.
- c. Essa estimativa é calculada considerando que o efeito de interação esteja ausente, porque ele não pode ser estimado de outra forma.

Coefficiente de correlação intraclasse para o Ápex do Dente 35

	Correlação intraclasse ^b	Intervalo de Confiança 95%		Teste F com Valor True0			
		Limite inferior	Limite superior	Valor	df1	df2	Sig
Medidas únicas	,981 ^a	,967	,990	106,622	44	44	,000
Medidas médias	,991 ^c	,983	,995	106,622	44	44	,000

Modelo de efeitos mistos bidirecional em que os efeitos das pessoas são aleatórios e os das medidas são fixos.

- a. O estimador é o mesmo, esteja o efeito de interação presente ou não.
- b. Os coeficientes de correlação intraclasse tipo A que usam uma definição de concordância absoluta.
- c. Essa estimativa é calculada considerando que o efeito de interação esteja ausente, porque ele não pode ser estimado de outra forma.

Coefficiente de correlação intraclasse para o Comprimento Vertical do Dente 35

	Correlação intraclasse ^b	Intervalo de Confiança 95%		Teste F com Valor True0			Sig
		Limite inferior	Limite superior	Valor	df1	df2	
Medidas únicas	,993 ^a	,987	,996	280,643	44	44	,000
Medidas médias	,996 ^c	,994	,998	280,643	44	44	,000

Modelo de efeitos mistos bidirecional em que os efeitos das pessoas são aleatórios e os das medidas são fixos.

- O estimador é o mesmo, esteja o efeito de interação presente ou não.
- Os coeficientes de correlação intraclasse tipo A que usam uma definição de concordância absoluta.
- Essa estimativa é calculada considerando que o efeito de interação esteja ausente, porque ele não pode ser estimado de outra forma.

Coefficiente de correlação intraclasse para o Ápex Mesial do Dente 36

	Correlação intraclasse ^b	Intervalo de Confiança 95%		Teste F com Valor True0			Sig
		Limite inferior	Limite superior	Valor	df1	df2	
Medidas únicas	,815 ^a	,598	,921	10,593	20	20	,000
Medidas médias	,898 ^c	,748	,959	10,593	20	20	,000

Modelo de efeitos mistos bidirecional em que os efeitos das pessoas são aleatórios e os das medidas são fixos.

- O estimador é o mesmo, esteja o efeito de interação presente ou não.
- Os coeficientes de correlação intraclasse tipo A que usam uma definição de concordância absoluta.
- Essa estimativa é calculada considerando que o efeito de interação esteja ausente, porque ele não pode ser estimado de outra forma.

Coefficiente de correlação intraclasse para o Ápex Distal do Dente 36

	Correlação intraclasse ^b	Intervalo de Confiança 95%		Teste F com Valor True0			Sig
		Limite inferior	Limite superior	Valor	df1	df2	
Medidas únicas	,761 ^a	,402	,905	9,714	20	20	,000
Medidas médias	,864 ^c	,573	,950	9,714	20	20	,000

Modelo de efeitos mistos bidirecional em que os efeitos das pessoas são aleatórios e os das medidas são fixos.

- O estimador é o mesmo, esteja o efeito de interação presente ou não.
- Os coeficientes de correlação intraclasse tipo A que usam uma definição de concordância absoluta.
- Essa estimativa é calculada considerando que o efeito de interação esteja ausente, porque ele não pode ser estimado de outra forma.

Coefficiente de correlação intraclasse para o Comprimento Vertical do Dente 36

	Correlação intraclasse ^b	Intervalo de Confiança 95%		Teste F com Valor True0			
		Limite inferior	Limite superior	Valor	df1	df2	Sig
Medidas únicas	,955 ^a	,793	,985	67,899	20	20	,000
Medidas médias	,977 ^c	,885	,993	67,899	20	20	,000

Modelo de efeitos mistos bidirecional em que os efeitos das pessoas são aleatórios e os das medidas são fixos.

- O estimador é o mesmo, esteja o efeito de interação presente ou não.
- Os coeficientes de correlação intraclasse tipo A que usam uma definição de concordância absoluta.
- Essa estimativa é calculada considerando que o efeito de interação esteja ausente, porque ele não pode ser estimado de outra forma.

Coefficiente de correlação intraclasse para o Ápex Mesial do Dente 37

	Correlação intraclasse ^b	Intervalo de Confiança 95%		Teste F com Valor True0			
		Limite inferior	Limite superior	Valor	df1	df2	Sig
Medidas únicas	,664 ^a	,402	,826	4,958	28	28	,000
Medidas médias	,798 ^c	,574	,905	4,958	28	28	,000

Modelo de efeitos mistos bidirecional em que os efeitos das pessoas são aleatórios e os das medidas são fixos.

- O estimador é o mesmo, esteja o efeito de interação presente ou não.
- Os coeficientes de correlação intraclasse tipo A que usam uma definição de concordância absoluta.
- Essa estimativa é calculada considerando que o efeito de interação esteja ausente, porque ele não pode ser estimado de outra forma.

Coefficiente de correlação intraclasse para o Ápex Distal do Dente 37

	Correlação intraclasse ^b	Intervalo de Confiança 95%		Teste F com Valor True0			
		Limite inferior	Limite superior	Valor	df1	df2	Sig
Medidas únicas	,832 ^a	,545	,930	14,895	28	28	,000
Medidas médias	,908 ^c	,706	,964	14,895	28	28	,000

Modelo de efeitos mistos bidirecional em que os efeitos das pessoas são aleatórios e os das medidas são fixos.

- O estimador é o mesmo, esteja o efeito de interação presente ou não.
- Os coeficientes de correlação intraclasse tipo A que usam uma definição de concordância absoluta.
- Essa estimativa é calculada considerando que o efeito de interação esteja ausente, porque ele não pode ser estimado de outra forma.

Coefficiente de correlação intraclasse para o Comprimento Vertical do Dente 37

	Correlação intraclasse ^b	Intervalo de Confiança 95%		Teste F com Valor True0			
		Limite inferior	Limite superior	Valor	df1	df2	Sig
Medidas únicas	,985 ^a	,964	,993	151,830	28	28	,000
Medidas médias	,992 ^c	,982	,997	151,830	28	28	,000

Modelo de efeitos mistos bidirecional em que os efeitos das pessoas são aleatórios e os das medidas são fixos.

- a. O estimador é o mesmo, esteja o efeito de interação presente ou não.
- b. Os coeficientes de correlação intraclasse tipo A que usam uma definição de concordância absoluta.
- c. Essa estimativa é calculada considerando que o efeito de interação esteja ausente, porque ele não pode ser estimado de outra forma.

Coefficiente de correlação intraclasse para o Ápex do Dente 37 (monorradicular)

	Correlação intraclasse ^b	Intervalo de Confiança 95%		Teste F com Valor True0			
		Limite inferior	Limite superior	Valor	df1	df2	Sig
Medidas únicas	,900 ^a	,494	,970	32,904	17	17	,000
Medidas médias	,947 ^c	,661	,985	32,904	17	17	,000

Modelo de efeitos mistos bidirecional em que os efeitos das pessoas são aleatórios e os das medidas são fixos.

- a. O estimador é o mesmo, esteja o efeito de interação presente ou não.
- b. Os coeficientes de correlação intraclasse tipo A que usam uma definição de concordância absoluta.
- c. Essa estimativa é calculada considerando que o efeito de interação esteja ausente, porque ele não pode ser estimado de outra forma.

Coefficiente de correlação intraclasse para o Comprimento Vertical do Dente 37 (monorradicular)

	Correlação intraclasse ^b	Intervalo de Confiança 95%		Teste F com Valor True0			
		Limite inferior	Limite superior	Valor	df1	df2	Sig
Medidas únicas	,949 ^a	,868	,980	35,981	17	17	,000
Medidas médias	,974 ^c	,930	,990	35,981	17	17	,000

Modelo de efeitos mistos bidirecional em que os efeitos das pessoas são aleatórios e os das medidas são fixos.

- a. O estimador é o mesmo, esteja o efeito de interação presente ou não.
- b. Os coeficientes de correlação intraclasse tipo A que usam uma definição de concordância absoluta.
- c. Essa estimativa é calculada considerando que o efeito de interação esteja ausente, porque ele não pode ser estimado de outra forma.

Coeficiente de correlação intraclasse para o Ápex do Dente 41

	Correlação intraclasse ^b	Intervalo de Confiança 95%		Teste F com Valor True0			
		Limite inferior	Limite superior	Valor	df1	df2	Sig
Medidas únicas	,523 ^a	,050	,813	3,364	13	13	,018
Medidas médias	,687 ^c	,095	,897	3,364	13	13	,018

Modelo de efeitos mistos bidirecional em que os efeitos das pessoas são aleatórios e os das medidas são fixos.

- a. O estimador é o mesmo, esteja o efeito de interação presente ou não.
- b. Os coeficientes de correlação intraclasse tipo A que usam uma definição de concordância absoluta.
- c. Essa estimativa é calculada considerando que o efeito de interação esteja ausente, porque ele não pode ser estimado de outra forma.

Coeficiente de correlação intraclasse para o Comprimento Vertical do Dente 41

	Correlação intraclasse ^b	Intervalo de Confiança 95%		Teste F com Valor True0			
		Limite inferior	Limite superior	Valor	df1	df2	Sig
Medidas únicas	,818 ^a	,474	,940	12,570	13	13	,000
Medidas médias	,900 ^c	,643	,969	12,570	13	13	,000

Modelo de efeitos mistos bidirecional em que os efeitos das pessoas são aleatórios e os das medidas são fixos.

- a. O estimador é o mesmo, esteja o efeito de interação presente ou não.
- b. Os coeficientes de correlação intraclasse tipo A que usam uma definição de concordância absoluta.
- c. Essa estimativa é calculada considerando que o efeito de interação esteja ausente, porque ele não pode ser estimado de outra forma.

Coeficiente de correlação intraclasse para o Ápex do Dente 42

	Correlação intraclasse ^b	Intervalo de Confiança 95%		Teste F com Valor True0			
		Limite inferior	Limite superior	Valor	df1	df2	Sig
Medidas únicas	,890 ^a	,702	,958	20,850	18	18	,000
Medidas médias	,942 ^c	,825	,979	20,850	18	18	,000

Modelo de efeitos mistos bidirecional em que os efeitos das pessoas são aleatórios e os das medidas são fixos.

- a. O estimador é o mesmo, esteja o efeito de interação presente ou não.
- b. Os coeficientes de correlação intraclasse tipo A que usam uma definição de concordância absoluta.
- c. Essa estimativa é calculada considerando que o efeito de interação esteja ausente, porque ele não pode ser estimado de outra forma.

Coefficiente de correlação intraclasse para o Comprimento Vertical do Dente 42

	Correlação intraclasse ^b	Intervalo de Confiança 95%		Teste F com Valor True0			
		Limite inferior	Limite superior	Valor	df1	df2	Sig
Medidas únicas	,963 ^a	,907	,985	51,394	18	18	,000
Medidas médias	,981 ^c	,951	,993	51,394	18	18	,000

Modelo de efeitos mistos bidirecional em que os efeitos das pessoas são aleatórios e os das medidas são fixos.

- a. O estimador é o mesmo, esteja o efeito de interação presente ou não.
- b. Os coeficientes de correlação intraclasse tipo A que usam uma definição de concordância absoluta.
- c. Essa estimativa é calculada considerando que o efeito de interação esteja ausente, porque ele não pode ser estimado de outra forma.

Coefficiente de correlação intraclasse para o Ápex do Dente 43

	Correlação intraclasse ^b	Intervalo de Confiança 95%		Teste F com Valor True0			
		Limite inferior	Limite superior	Valor	df1	df2	Sig
Medidas únicas	,962 ^a	,926	,981	52,980	33	33	,000
Medidas médias	,981 ^c	,962	,990	52,980	33	33	,000

Modelo de efeitos mistos bidirecional em que os efeitos das pessoas são aleatórios e os das medidas são fixos.

- a. O estimador é o mesmo, esteja o efeito de interação presente ou não.
- b. Os coeficientes de correlação intraclasse tipo A que usam uma definição de concordância absoluta.
- c. Essa estimativa é calculada considerando que o efeito de interação esteja ausente, porque ele não pode ser estimado de outra forma.

Coefficiente de correlação intraclasse para o Comprimento Vertical do Dente 43

	Correlação intraclasse ^b	Intervalo de Confiança 95%		Teste F com Valor True0			
		Limite inferior	Limite superior	Valor	df1	df2	Sig
Medidas únicas	,932 ^a	,869	,966	27,932	33	33	,000
Medidas médias	,965 ^c	,930	,983	27,932	33	33	,000

Modelo de efeitos mistos bidirecional em que os efeitos das pessoas são aleatórios e os das medidas são fixos.

- a. O estimador é o mesmo, esteja o efeito de interação presente ou não.
- b. Os coeficientes de correlação intraclasse tipo A que usam uma definição de concordância absoluta.
- c. Essa estimativa é calculada considerando que o efeito de interação esteja ausente, porque ele não pode ser estimado de outra forma.

Coeficiente de correlação intraclasse para o Ápex do Dente 44

	Correlação intraclasse ^b	Intervalo de Confiança 95%		Teste F com Valor True0			
		Limite inferior	Limite superior	Valor	df1	df2	Sig
Medidas únicas	,927 ^a	,859	,963	25,727	33	33	,000
Medidas médias	,962 ^c	,924	,981	25,727	33	33	,000

Modelo de efeitos mistos bidirecional em que os efeitos das pessoas são aleatórios e os das medidas são fixos.

- a. O estimador é o mesmo, esteja o efeito de interação presente ou não.
- b. Os coeficientes de correlação intraclasse tipo A que usam uma definição de concordância absoluta.
- c. Essa estimativa é calculada considerando que o efeito de interação esteja ausente, porque ele não pode ser estimado de outra forma.

Coeficiente de correlação intraclasse para o Comprimento Vertical do Dente 44

	Correlação intraclasse ^b	Intervalo de Confiança 95%		Teste F com Valor True0			
		Limite inferior	Limite superior	Valor	df1	df2	Sig
Medidas únicas	,982 ^a	,962	,991	117,824	33	33	,000
Medidas médias	,991 ^c	,981	,995	117,824	33	33	,000

Modelo de efeitos mistos bidirecional em que os efeitos das pessoas são aleatórios e os das medidas são fixos.

- a. O estimador é o mesmo, esteja o efeito de interação presente ou não.
- b. Os coeficientes de correlação intraclasse tipo A que usam uma definição de concordância absoluta.
- c. Essa estimativa é calculada considerando que o efeito de interação esteja ausente, porque ele não pode ser estimado de outra forma.

Coeficiente de correlação intraclasse para o Ápex do Dente 45

	Correlação intraclasse ^b	Intervalo de Confiança 95%		Teste F com Valor True0			
		Limite inferior	Limite superior	Valor	df1	df2	Sig
Medidas únicas	,976 ^a	,955	,987	85,865	39	39	,000
Medidas médias	,988 ^c	,977	,994	85,865	39	39	,000

Modelo de efeitos mistos bidirecional em que os efeitos das pessoas são aleatórios e os das medidas são fixos.

- a. O estimador é o mesmo, esteja o efeito de interação presente ou não.
- b. Os coeficientes de correlação intraclasse tipo A que usam uma definição de concordância absoluta.
- c. Essa estimativa é calculada considerando que o efeito de interação esteja ausente, porque ele não pode ser estimado de outra forma.

Coefficiente de correlação intraclasse para o Comprimento Vertical do Dente 45

	Correlação	Intervalo de Confiança 95%		Teste F com Valor True0			
	intraclasse ^b	Limite inferior	Limite superior	Valor	df1	df2	Sig
Medidas únicas	,996 ^a	,993	,998	549,500	39	39	,000
Medidas médias	,998 ^c	,997	,999	549,500	39	39	,000

Modelo de efeitos mistos bidirecional em que os efeitos das pessoas são aleatórios e os das medidas são fixos.

- a. O estimador é o mesmo, esteja o efeito de interação presente ou não.
- b. Os coeficientes de correlação intraclasse tipo A que usam uma definição de concordância absoluta.
- c. Essa estimativa é calculada considerando que o efeito de interação esteja ausente, porque ele não pode ser estimado de outra forma.

Coefficiente de correlação intraclasse para o Ápex Mesial do Dente 46

	Correlação	Intervalo de Confiança 95%		Teste F com Valor True0			
	intraclasse ^b	Limite inferior	Limite superior	Valor	df1	df2	Sig
Medidas únicas	,802 ^a	,206	,939	16,478	17	17	,000
Medidas médias	,890 ^c	,342	,968	16,478	17	17	,000

Modelo de efeitos mistos bidirecional em que os efeitos das pessoas são aleatórios e os das medidas são fixos.

- a. O estimador é o mesmo, esteja o efeito de interação presente ou não.
- b. Os coeficientes de correlação intraclasse tipo A que usam uma definição de concordância absoluta.
- c. Essa estimativa é calculada considerando que o efeito de interação esteja ausente, porque ele não pode ser estimado de outra forma.

Coefficiente de correlação intraclasse para o Ápex Distal do Dente 46

	Correlação	Intervalo de Confiança 95%		Teste F com Valor True0			
	intraclasse ^b	Limite inferior	Limite superior	Valor	df1	df2	Sig
Medidas únicas	,779 ^a	,489	,912	9,239	17	17	,000
Medidas médias	,876 ^c	,657	,954	9,239	17	17	,000

Modelo de efeitos mistos bidirecional em que os efeitos das pessoas são aleatórios e os das medidas são fixos.

- a. O estimador é o mesmo, esteja o efeito de interação presente ou não.
- b. Os coeficientes de correlação intraclasse tipo A que usam uma definição de concordância absoluta.
- c. Essa estimativa é calculada considerando que o efeito de interação esteja ausente, porque ele não pode ser estimado de outra forma.

Coeficiente de correlação intraclasse para o Comprimento Vertical do Dente 46

	Correlação intraclasse ^b	Intervalo de Confiança 95%		Teste F com Valor True0			Sig
		Limite inferior	Limite superior	Valor	df1	df2	
Medidas únicas	,976 ^a	,939	,991	80,115	17	17	,000
Medidas médias	,988 ^c	,968	,996	80,115	17	17	,000

Modelo de efeitos mistos bidirecional em que os efeitos das pessoas são aleatórios e os das medidas são fixos.

- O estimador é o mesmo, esteja o efeito de interação presente ou não.
- Os coeficientes de correlação intraclasse tipo A que usam uma definição de concordância absoluta.
- Essa estimativa é calculada considerando que o efeito de interação esteja ausente, porque ele não pode ser estimado de outra forma.

Coeficiente de correlação intraclasse para o Ápex Mesial do Dente 47

	Correlação intraclasse ^b	Intervalo de Confiança 95%		Teste F com Valor True0			Sig
		Limite inferior	Limite superior	Valor	df1	df2	
Medidas únicas	,854 ^a	,669	,937	14,508	22	22	,000
Medidas médias	,921 ^c	,802	,968	14,508	22	22	,000

Modelo de efeitos mistos bidirecional em que os efeitos das pessoas são aleatórios e os das medidas são fixos.

- O estimador é o mesmo, esteja o efeito de interação presente ou não.
- Os coeficientes de correlação intraclasse tipo A que usam uma definição de concordância absoluta.
- Essa estimativa é calculada considerando que o efeito de interação esteja ausente, porque ele não pode ser estimado de outra forma.

Coeficiente de correlação intraclasse para o Ápex Distal do Dente 47

	Correlação intraclasse ^b	Intervalo de Confiança 95%		Teste F com Valor True0			Sig
		Limite inferior	Limite superior	Valor	df1	df2	
Medidas únicas	,930 ^a	,844	,969	27,474	22	22	,000
Medidas médias	,964 ^c	,915	,984	27,474	22	22	,000

Modelo de efeitos mistos bidirecional em que os efeitos das pessoas são aleatórios e os das medidas são fixos.

- O estimador é o mesmo, esteja o efeito de interação presente ou não.
- Os coeficientes de correlação intraclasse tipo A que usam uma definição de concordância absoluta.
- Essa estimativa é calculada considerando que o efeito de interação esteja ausente, porque ele não pode ser estimado de outra forma.

Coeficiente de correlação intraclasse para o Comprimento Vertical do Dente 47

	Correlação intraclasse ^b	Intervalo de Confiança 95%		Teste F com Valor True0			Sig
		Limite inferior	Limite superior	Valor	df1	df2	
Medidas únicas	,988 ^a	,973	,995	164,213	22	22	,000
Medidas médias	,994 ^c	,986	,998	164,213	22	22	,000

Modelo de efeitos mistos bidirecional em que os efeitos das pessoas são aleatórios e os das medidas são fixos.

- O estimador é o mesmo, esteja o efeito de interação presente ou não.
- Os coeficientes de correlação intraclasse tipo A que usam uma definição de concordância absoluta.
- Essa estimativa é calculada considerando que o efeito de interação esteja ausente, porque ele não pode ser estimado de outra forma.

Coeficiente de correlação intraclasse para o Ápex do Dente 47 (monorradicular)

	Correlação intraclasse ^b	Intervalo de Confiança 95%		Teste F com Valor True0			Sig
		Limite inferior	Limite superior	Valor	df1	df2	
Medidas únicas	,815 ^a	,147	,946	20,053	18	18	,000
Medidas médias	,898 ^c	,256	,972	20,053	18	18	,000

Modelo de efeitos mistos bidirecional em que os efeitos das pessoas são aleatórios e os das medidas são fixos.

- O estimador é o mesmo, esteja o efeito de interação presente ou não.
- Os coeficientes de correlação intraclasse tipo A que usam uma definição de concordância absoluta.
- Essa estimativa é calculada considerando que o efeito de interação esteja ausente, porque ele não pode ser estimado de outra forma.

Coeficiente de correlação intraclasse para o Comprimento Vertical do Dente 47 (monorradicular)

	Correlação intraclasse ^b	Intervalo de Confiança 95%		Teste F com Valor True0			Sig
		Limite inferior	Limite superior	Valor	df1	df2	
Medidas únicas	,964 ^a	,910	,986	52,261	18	18	,000
Medidas médias	,982 ^c	,953	,993	52,261	18	18	,000

Modelo de efeitos mistos bidirecional em que os efeitos das pessoas são aleatórios e os das medidas são fixos.

- O estimador é o mesmo, esteja o efeito de interação presente ou não.
- Os coeficientes de correlação intraclasse tipo A que usam uma definição de concordância absoluta.
- Essa estimativa é calculada considerando que o efeito de interação esteja ausente, porque ele não pode ser estimado de outra forma.

Anexo 7 – Correlação entre idade, género e variáveis

I – Correlação entre idade e variáveis de Cameriere

II – Correlação entre idade, género e variáveis de Demirjian

I – Correlação entre idade e variáveis de Cameriere

		Correlações para o 3º Quadrante										
		Idade_me	x1_31	x2_32	x3_33	x4_34	x5_35	x6_36	x7_37	S_3Q	N0_3Q	s_N0_3
		ses										Q
Idade_mes	Correlação de Pearson	1	-,486**	-,541**	-,763**	-,807**	-,758**	-,328**	-,813**	-,829**	,858**	-,007
	Sig. (2 extremidades)		,000	,000	,000	,000	,000	,000	,000	,000	,000	,885
	N	483	483	483	483	483	483	483	483	483	483	483
x1_31	Correlação de Pearson	-,486**	1	,701**	,609**	,605**	,515**	,316**	,602**	,652**	-,489**	-,372**
	Sig. (2 extremidades)	,000		,000	,000	,000	,000	,000	,000	,000	,000	,000
	N	483	483	483	483	483	483	483	483	483	483	483
x2_32	Correlação de Pearson	-,541**	,701**	1	,652**	,680**	,575**	,286**	,656**	,711**	-,519**	-,315**
	Sig. (2 extremidades)	,000	,000		,000	,000	,000	,000	,000	,000	,000	,000
	N	483	483	483	483	483	483	483	483	483	483	483
x3_33	Correlação de Pearson	-,763**	,609**	,652**	1	,874**	,773**	,345**	,831**	,896**	-,764**	-,122**
	Sig. (2 extremidades)	,000	,000	,000		,000	,000	,000	,000	,000	,000	,007
	N	483	483	483	483	483	483	483	483	483	483	483
x4_34	Correlação de Pearson	-,807**	,605**	,680**	,874**	1	,825**	,369**	,895**	,942**	-,780**	-,072
	Sig. (2 extremidades)	,000	,000	,000	,000		,000	,000	,000	,000	,000	,114
	N	483	483	483	483	483	483	483	483	483	483	483
x5_35	Correlação de Pearson	-,758**	,515**	,575**	,773**	,825**	1	,336**	,833**	,904**	-,734**	,065
	Sig. (2 extremidades)	,000	,000	,000	,000	,000		,000	,000	,000	,000	,156
	N	483	483	483	483	483	483	483	483	483	483	483
x6_36	Correlação de Pearson	-,328**	,316**	,286**	,345**	,369**	,336**	1	,387**	,499**	-,309**	-,158**
	Sig. (2 extremidades)	,000	,000	,000	,000	,000	,000		,000	,000	,000	,000
	N	483	483	483	483	483	483	483	483	483	483	483
x7_37	Correlação de Pearson	-,813**	,602**	,656**	,831**	,895**	,833**	,387**	1	,962**	-,775**	-,052
	Sig. (2 extremidades)	,000	,000	,000	,000	,000	,000	,000		,000	,000	,255

	N	483	483	483	483	483	483	483	483	483	483	483
S_3Q	Correlação de Pearson	-,829**	,652**	,711**	,896**	,942**	,904**	,499**	,962**	1	-,801**	-,081
	Sig. (2 extremidades)	,000	,000	,000	,000	,000	,000	,000	,000		,000	,075
	N	483	483	483	483	483	483	483	483	483	483	483
N0_3Q	Correlação de Pearson	,858**	-,489**	-,519**	-,764**	-,780**	-,734**	-,309**	-,775**	-,801**	1	,131**
	Sig. (2 extremidades)	,000	,000	,000	,000	,000	,000	,000	,000	,000		,004
	N	483	483	483	483	483	483	483	483	483	483	483
s_N0_3Q	Correlação de Pearson	-,007	-,372**	-,315**	-,122**	-,072	,065	-,158**	-,052	-,081	,131**	1
	Sig. (2 extremidades)	,885	,000	,000	,007	,114	,156	,000	,255	,075	,004	
	N	483	483	483	483	483	483	483	483	483	483	483

**. A correlação é significativa no nível 0,01 (2 extremidades).

Correlações para o 4º Quadrante

		Idade_mes	x1_41	x2_42	x3_43	x4_44	x5_45	x6_46	x7_47	S_4Q	N0_4Q	s_N0_4Q
Idade_mes	Correlação de Pearson	1	-,465**	-,508**	-,692**	-,739**	-,722**	-,589**	-,749**	-,765**	,850**	-,053
	Sig. (2 extremidades)		,000	,000	,000	,000	,000	,000	,000	,000	,000	,249
	N	483	483	483	483	483	483	483	483	483	440	483
x1_41	Correlação de Pearson	-,465**	1	,755**	,632**	,611**	,579**	,624**	,599**	,667**	-,498**	-,327**
	Sig. (2 extremidades)	,000		,000	,000	,000	,000	,000	,000	,000	,000	,000
	N	483	483	483	483	483	483	483	483	483	440	483
x2_42	Correlação de Pearson	-,508**	,755**	1	,677**	,657**	,604**	,630**	,636**	,710**	-,514**	-,266**
	Sig. (2 extremidades)	,000	,000		,000	,000	,000	,000	,000	,000	,000	,000
	N	483	483	483	483	483	483	483	483	483	440	483
x3_43	Correlação de Pearson	-,692**	,632**	,677**	1	,884**	,841**	,650**	,854**	,922**	-,763**	-,029
	Sig. (2 extremidades)	,000	,000	,000		,000	,000	,000	,000	,000	,000	,523
	N	483	483	483	483	483	483	483	483	483	440	483
x4_44	Correlação de Pearson	-,739**	,611**	,657**	,884**	1	,897**	,697**	,887**	,953**	-,767**	,046
	Sig. (2 extremidades)	,000	,000	,000	,000		,000	,000	,000	,000	,000	,309
	N	483	483	483	483	483	483	483	483	483	440	483
x5_45	Correlação de Pearson	-,722**	,579**	,604**	,841**	,897**	1	,690**	,889**	,949**	-,767**	,108*
	Sig. (2 extremidades)	,000	,000	,000	,000	,000		,000	,000	,000	,000	,018
	N	483	483	483	483	483	483	483	483	483	440	483
x6_46	Correlação de Pearson	-,589**	,624**	,630**	,650**	,697**	,690**	1	,711**	,761**	-,605**	-,162**
	Sig. (2 extremidades)	,000	,000	,000	,000	,000	,000		,000	,000	,000	,000
	N	483	483	483	483	483	483	483	483	483	440	483
x7_47	Correlação de Pearson	-,749**	,599**	,636**	,854**	,887**	,889**	,711**	1	,968**	-,788**	,045
	Sig. (2 extremidades)	,000	,000	,000	,000	,000	,000	,000		,000	,000	,328
	N	483	483	483	483	483	483	483	483	483	440	483

S_4Q	Correlação de Pearson	-,765**	,667**	,710**	,922**	,953**	,949**	,761**	,968**	1	-,812**	,017
	Sig. (2 extremidades)	,000	,000	,000	,000	,000	,000	,000	,000		,000	,703
	N	483	483	483	483	483	483	483	483	483	440	483
N0_4Q	Correlação de Pearson	,850**	-,498**	-,514**	-,763**	-,767**	-,767**	-,605**	-,788**	-,812**	1	,063
	Sig. (2 extremidades)	,000	,000	,000	,000	,000	,000	,000	,000	,000		,190
	N	440	440	440	440	440	440	440	440	440	440	440
s_N0_4Q	Correlação de Pearson	-,053	-,327**	-,266**	-,029	,046	,108*	-,162**	,045	,017	,063	1
	Sig. (2 extremidades)	,249	,000	,000	,523	,309	,018	,000	,328	,703	,190	
	N	483	483	483	483	483	483	483	483	483	440	483

** . A correlação é significativa no nível 0,01 (2 extremidades).

* . A correlação é significativa no nível 0,05 (2 extremidades).

II – Correlação entre idade, género e variáveis de Demirjian

Correlações de Pearson

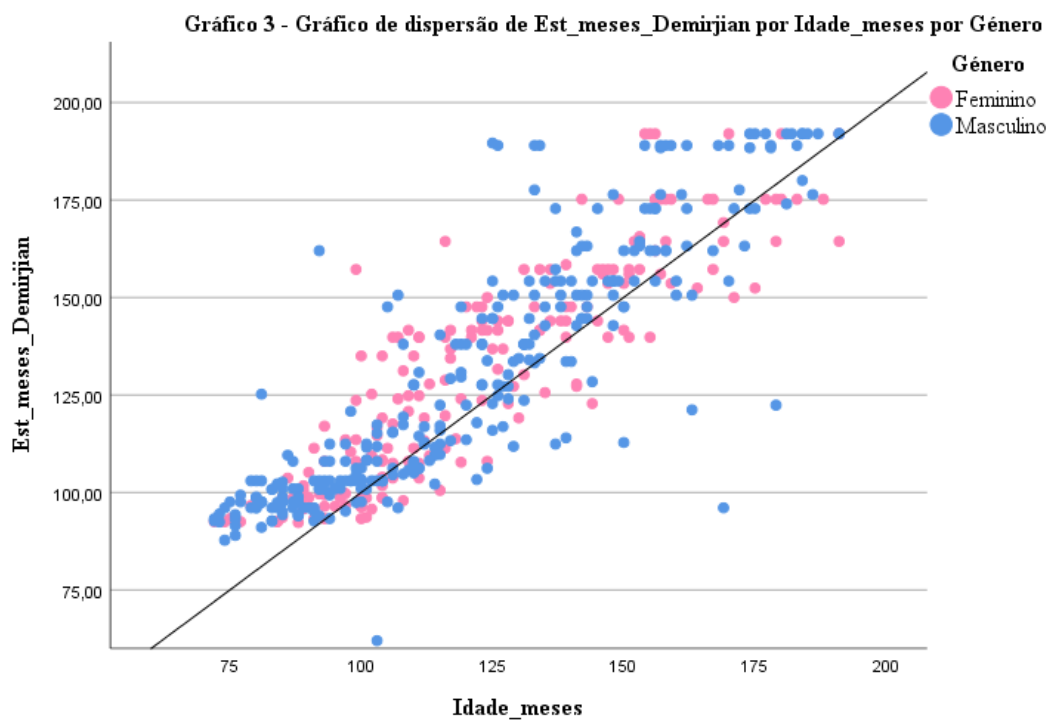
		Idade_meses	Soma 7 dentes
Idade_meses	Correlação de Pearson	1	,748**
	Sig. (2 extremidades)		,000
	N	483	483
Soma 7 dentes	Correlação de Pearson	,748**	1
	Sig. (2 extremidades)	,000	
	N	483	483

**. A correlação é significativa no nível 0,01 (2 extremidades).

Correlações de Spearman

		Idade_meses	Soma 7 dentes
rô de Spearman	Idade_meses	Coeficiente de Correlação	1,000
		Sig. (2 extremidades)	.
		N	483
	Soma 7 dentes	Coeficiente de Correlação	,880**
		Sig. (2 extremidades)	,000
		N	483

**. A correlação é significativa no nível 0,01 (2 extremidades).



Anexo 8 – Ponto de Corte aos 8 anos

I – Curva ROC e Ponto de Corte pela Fórmula de Regressão Dentária Europeia

II – Curva ROC e Ponto de Corte pelo Método de Estádios de Demirjian

I – Curva ROC e Ponto de Corte pela Fórmula de Regressão Dentária Europeia

Tabela de Classificação^{a,b}

		Previsto		Porcentagem correta
		anos8	anos8	
Etapa 0	Observado	,00	1,00	
	anos8	,00	0	103
		1,00	0	380
Porcentagem global				78,7

a. A constante está incluída no modelo.

b. O valor de recorte é ,500

Resumo do modelo

Etapa	Verossimilhança de log -2	R quadrado Cox & Snell	R quadrado Nagelkerke
1	224,672 ^a	,435	,674

a. Estimação finalizada no número de iteração 7 porque as estimativas de parâmetro mudaram foram alteradas para menos de ,001.

Área sob a curva

Variável(eis) de resultado de teste: S_3Q

Área	Erro Erro ^a	Sig. assintótico ^b	Intervalo de Confiança 95% Assintótico	
			Limite inferior	Limite superior
,946	,012	,000	,924	,969

a. Sob a suposição não paramétrica

b. Hipótese nula: área verdadeira = 0,5

Tabela de Classificação^a

		Previsto		Porcentagem correta
		anos8	anos8	
Etapa 1	Observado	,00	1,00	
	anos8	,00	73	30
		1,00	22	358
Porcentagem global				89,2

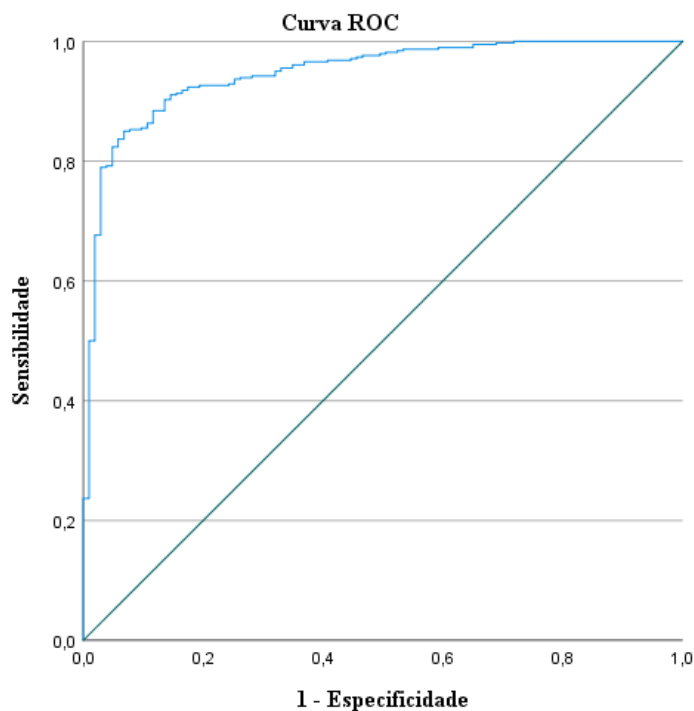
a. O valor de recorte é ,500

Coordenadas da curva

Variável(eis) de resultado de teste: S_3Q

Positivo se menor ou igual a ^a	Sensibilidade	1 - Especificidade
2,080558	,942	,282
2,098573	,942	,291

a. O menor valor de corte é o valor mínimo de teste observado menos 1, e o maior valor de corte é o valor máximo de teste observado mais 1. Todos os outros valores de corte são as médias de dois valores de teste observados ordenados consecutivos.



II – Curva ROC e Ponto de Corte pelo Método de Estádios de Demirjian

Tabela de Classificação^a

				Previsto	
		anos8		Porcentagem	
Observado		,00		1,00	correta
Etapa 1	anos8	,00	67	36	65,0
		1,00	13	367	96,6
	Porcentagem global				89,9

a. O valor de recorte é ,500

Resumo do modelo

Etapa	Verossimilhança de log -2	R quadrado Cox & Snell	R quadrado Nagelkerke
1	268,238 ^a	,382	,592

a. Estimação finalizada no número de iteração 7 porque as estimativas de parâmetro mudaram foram alteradas para menos de ,001.

Coordenadas da curva

Variável(eis) de resultado de teste: Soma 7 dentes

Positivo se maior ou igual a ^a	Sensibilidade	1 - Especificidade
78,450000	,966	,359
78,850000	,966	,350

A variável ou variáveis de resultado de teste: Soma 7 dentes possuem pelo menos um empate entre o grupo de estado real positivo e o grupo de estado real negativo.

a. O menor valor de corte é o valor mínimo de teste observado menos 1, e o maior valor de corte é o valor máximo de teste observado mais 1. Todos os outros valores de corte são as médias de dois valores de teste observados ordenados consecutivos.

Área sob a curva

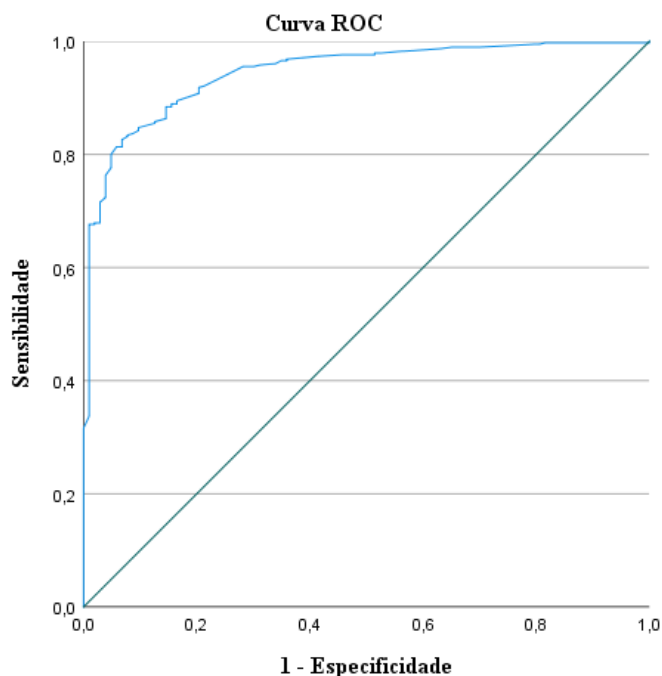
Variável(eis) de resultado de teste: Soma 7 dentes

Área	Erro Erro ^a	Sig. assintótico ^b	Intervalo de Confiança 95% Assintótico	
			Limite inferior	Limite superior
,944	,011	,000	,923	,966

A variável ou variáveis de resultado de teste: Soma 7 dentes possuem pelo menos um empate entre o grupo de estado real positivo e o grupo de estado real negativo. As estatísticas podem ser enviesadas.

a. Sob a suposição não paramétrica

b. Hipótese nula: área verdadeira = 0,5



Os segmentos diagonais são produzidos por empates.

Anexo 9 – Ponto de Corte aos 9 anos

I – Curva ROC e Ponto de Corte pela Fórmula de Regressão Dentária Europeia

II – Curva ROC e Ponto de Corte pelo Método de Estádios de Demirjian

I – Curva ROC e Ponto de Corte pela Fórmula de Regressão Dentária Europeia

Tabela de Classificação^{a,b}

		Previsto		Porcentagem correta
		anos9	anos9	
Etapa 0	Observado	,00	1,00	
	anos9	,00	0	184
		1,00	0	299
Porcentagem global				61,9

a. A constante está incluída no modelo.

b. O valor de recorte é ,500

Tabela de Classificação^a

		Previsto		Porcentagem correta
		anos9	anos9	
Etapa 1	Observado	,00	156	28
	anos9	,00	156	28
		1,00	24	275
Porcentagem global				89,2

a. O valor de recorte é ,500

Resumo do modelo

Etapa	Verossimilhança de log -2	R quadrado Cox & Snell	R quadrado Nagelkerke
1	256,580 ^a	,550	,748

a. Estimação finalizada no número de iteração 6 porque as estimativas de parâmetro mudaram foram alteradas para menos de ,001.

Coordenadas da curva

Variável(eis) de resultado de teste: S_3Q

Positivo se menor ou igual a ^a	Sensibilidade	1 - Especificidade
1,330282	,920	,147
1,345915	,920	,152

a. O menor valor de corte é o valor mínimo de teste observado menos 1, e o maior valor de corte é o valor máximo de teste observado mais 1. Todos os outros valores de corte são as médias de dois valores de teste observados ordenados consecutivos.

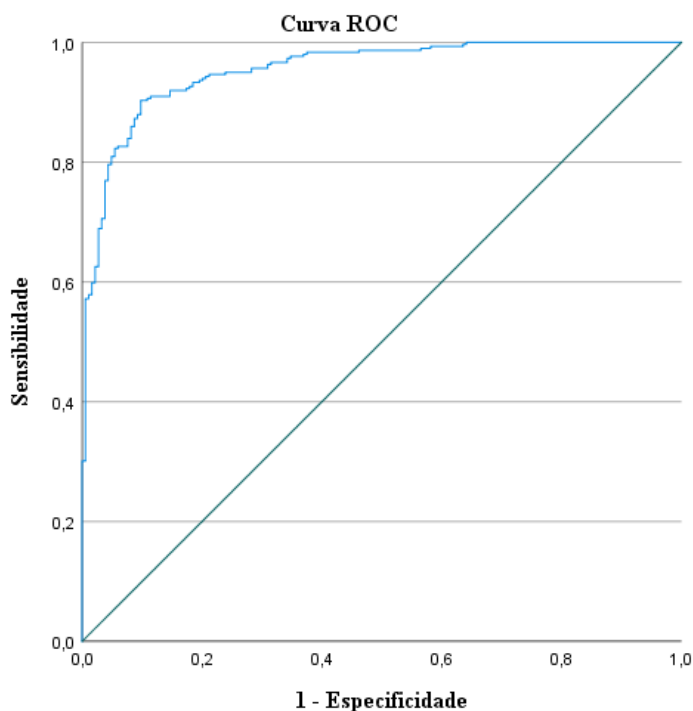
Área sob a curva

Variável(eis) de resultado de teste: S_3Q

Área	Erro Erro ^a	Sig. assintótico ^b	Intervalo de Confiança 95% Assintótico	
			Limite inferior	Limite superior
,955	,009	,000	,937	,972

a. Sob a suposição não paramétrica

b. Hipótese nula: área verdadeira = 0,5



II – Curva ROC e Ponto de Corte pelo Método de Estádios de Demirjian

Tabela de Classificação^a

		Previsto		Porcentagem correta
		anos9 ,00	anos9 1,00	
Etapa 1	anos9 ,00	151	33	82,1
	anos9 1,00	23	276	92,3
	Porcentagem global			88,4

Resumo do modelo

Etapa	Verossimilhança de log -2	R quadrado Cox & Snell	R quadrado Nagelkerke
1	318,956 ^a	,488	,663

a. Estimação finalizada no número de iteração 6 porque as estimativas de parâmetro mudaram foram alteradas para menos de ,001.

a. O valor de recorte é ,500

Coordenadas da curva

Variável(eis) de resultado de teste: Soma 7 dentes

Positivo se maior ou igual a ^a	Sensibilidade	1 - Especificidade
85,900000	,933	,196
86,100000	,923	,179

A variável ou variáveis de resultado de teste: Soma 7 dentes possuem pelo menos um empate entre o grupo de estado real positivo e o grupo de estado real negativo.

a. O menor valor de corte é o valor mínimo de teste observado menos 1, e o maior valor de corte é o valor máximo de teste observado mais 1.

Todos os outros valores de corte são as médias de dois valores de teste observados ordenados consecutivos.

Área sob a curva

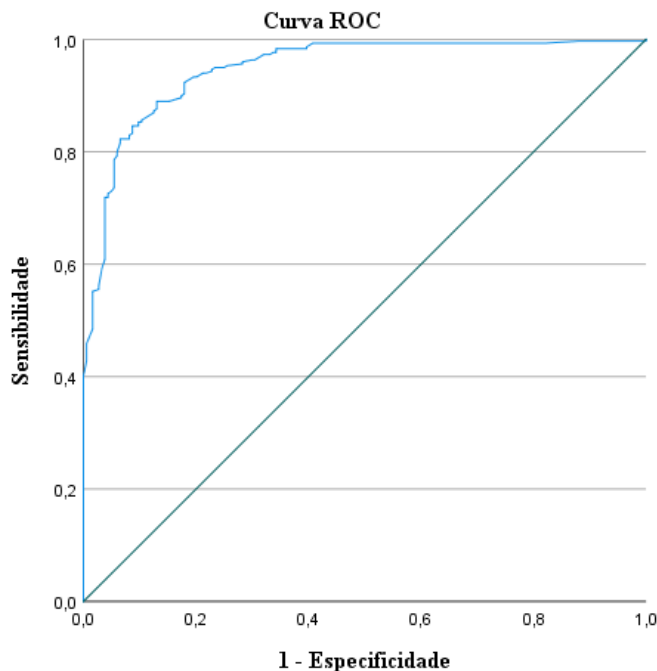
Variável(eis) de resultado de teste: Soma 7 dentes

Área	Erro Erro ^a	Sig. assintótico ^b	Intervalo de Confiança 95% Assintótico	
			Limite inferior	Limite superior
,948	,010	,000	,929	,967

A variável ou variáveis de resultado de teste: Soma 7 dentes possuem pelo menos um empate entre o grupo de estado real positivo e o grupo de estado real negativo. As estatísticas podem ser enviesadas.

a. Sob a suposição não paramétrica

b. Hipótese nula: área verdadeira = 0,5



Os segmentos diagonais são produzidos por empates.

Anexo 10 – Ponto de Corte aos 10 anos

I – Curva ROC e Ponto de Corte pela Fórmula de Regressão Dentária Europeia

II – Curva ROC e Ponto de Corte pelo Método de Estádios de Demirjian

I – Curva ROC e Ponto de Corte pela Fórmula de Regressão Dentária Europeia

Tabela de Classificação^{a,b}

	Observado	Previsto		Porcentagem correta
		anos10 ,00	1,00	
Etapa 0	anos10 ,00	247	0	100,0
	1,00	236	0	,0
	Porcentagem global			51,1

a. A constante está incluída no modelo.

b. O valor de recorte é ,500

Tabela de Classificação^a

	Observado	Previsto		Porcentagem m correta
		anos10 ,00	1,00	
Etapa 1	anos1 ,00	210	37	85,0
	0 1,00	23	213	90,3
	Porcentagem global			87,6

a. O valor de recorte é ,500

Resumo do modelo

Etapa	Verossimilhança a de log -2	R quadrado Cox & Snell	R quadrado Nagelkerke
1	259,204 ^a	,572	,763

a. Estimação finalizada no número de iteração 7 porque as estimativas de parâmetro mudaram foram alteradas para menos de ,001.

Coordenadas da curva

Variável(eis) de resultado de teste: S_3Q

Positivo se menor ou igual a ^a	Sensibilidade	1 - Especificidade
,867120	,903	,146
,873609	,903	,150

a. O menor valor de corte é o valor mínimo de teste observado menos 1, e o maior valor de corte é o valor máximo de teste observado mais 1. Todos os outros valores de corte são as médias de dois valores de teste observados ordenados consecutivos.

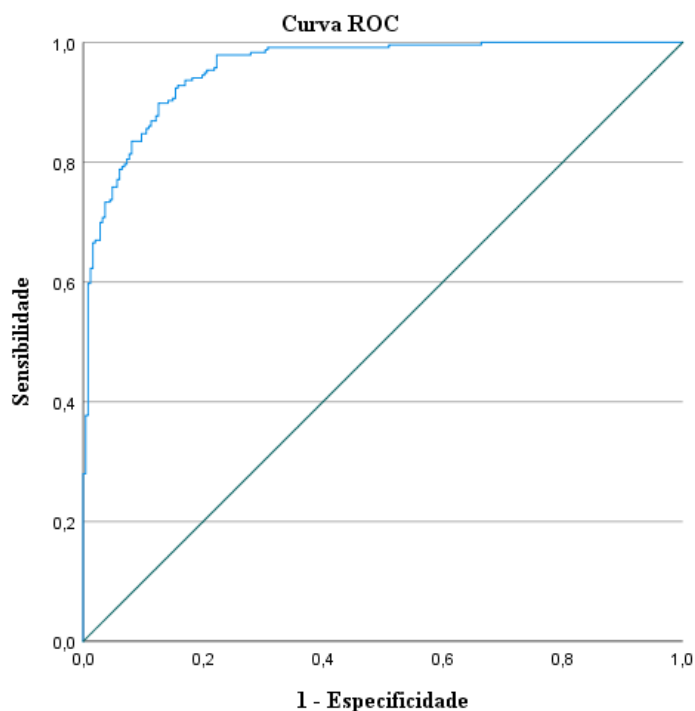
Área sob a curva

Variável(eis) de resultado de teste: S_3Q

Área	Erro Erro ^a	Sig. assintótico ^b	Intervalo de Confiança 95% Assintótico	
			Limite inferior	Limite superior
,957	,008	,000	,942	,973

a. Sob a suposição não paramétrica

b. Hipótese nula: área verdadeira = 0,5



II – Curva ROC e Ponto de Corte pelo Método de Estádios de Demirjian

Tabela de Classificação^a

		Previsto		Porcentagem correta
		anos10	anos10	
Etapa 1	Observado	,00	1,00	
	anos10	,00	206	41
		1,00	18	218
Porcentagem global				87,8

a. O valor de recorte é ,500

Resumo do modelo

Etapa	Verossimilhança de log -2	R quadrado Cox & Snell	R quadrado Nagelkerke
1	289,751 ^a	,544	,726

a. Estimação finalizada no número de iteração 7 porque as estimativas de parâmetro mudaram foram alteradas para menos de ,001.

Coordenadas da curva

Variável(eis) de resultado de teste: Soma 7 dentes

Positivo se maior ou igual a ^a	Sensibilidade	1 - Especificidade
90,600000	,924	,170
90,850000	,924	,166

A variável ou variáveis de resultado de teste: Soma 7 dentes possuem pelo menos um empate entre o grupo de estado real positivo e o grupo de estado real negativo.

a. O menor valor de corte é o valor mínimo de teste observado menos 1, e o maior valor de corte é o valor máximo de teste observado mais 1. Todos os outros valores de corte são as médias de dois valores de teste observados ordenados consecutivos.

Área sob a curva

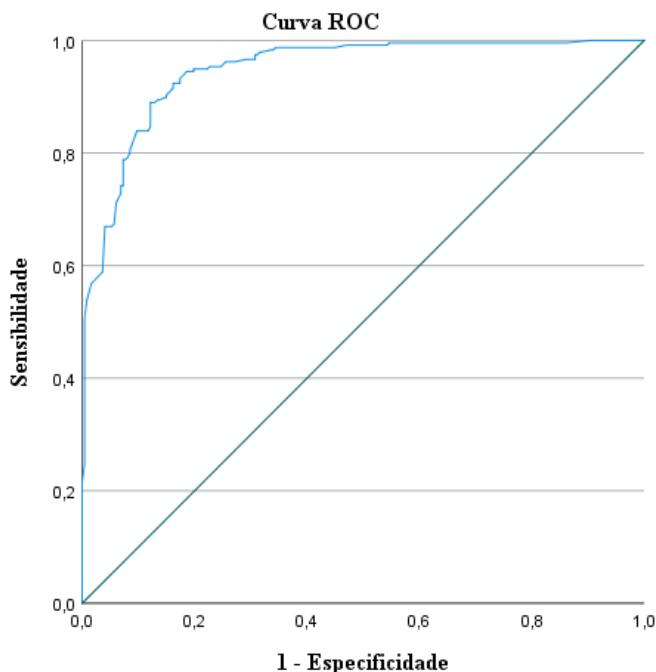
Variável(eis) de resultado de teste: Soma 7 dentes

Área	Erro Erro ^a	Sig. assintótico ^b	Intervalo de Confiança 95% Assintótico	
			Limite inferior	Limite superior
,947	,009	,000	,929	,966

A variável ou variáveis de resultado de teste: Soma 7 dentes possuem pelo menos um empate entre o grupo de estado real positivo e o grupo de estado real negativo. As estatísticas podem ser enviesadas.

a. Sob a suposição não paramétrica

b. Hipótese nula: área verdadeira = 0,5



Os segmentos diagonais são produzidos por empates.

Anexo 11 – Ponto de Corte aos 11 anos

I – Curva ROC e Ponto de Corte pela Fórmula de Regressão Dentária Europeia

II – Curva ROC e Ponto de Corte pelo Método de Estádios de Demirjian

I – Curva ROC e Ponto de Corte pela Fórmula de Regressão Dentária Europeia

Tabela de Classificação^{a,b}

		Previsto		Porcentagem correta
		anos11 ,00	1,00	
Etapa 0	anos11 ,00	306	0	100,0
	1,00	177	0	,0
	Porcentagem global			63,4

a. A constante está incluída no modelo.

b. O valor de recorte é ,500

Tabela de Classificação^a

		Previsto		Porcentagem correta
		anos11 ,00	1,00	
Etapa 1	anos11 ,00	269	37	87,9
	1,00	22	155	87,6
	Porcentagem global			87,8

a. O valor de recorte é ,500

Resumo do modelo

Etapa	Verossimilhança de log -2	R quadrado Cox & Snell	R quadrado Nagelkerke
1	262,995 ^a	,537	,734

a. Estimação finalizada no número de iteração 8 porque as estimativas de parâmetro mudaram foram alteradas para menos de ,001.

Coordenadas da curva

Variável(eis) de resultado de teste: S_3Q

Positivo se menor ou igual a ^a	Sensibilidade	1 - Especificidade
,518353	,876	,118
,526990	,876	,121

a. O menor valor de corte é o valor mínimo de teste observado menos 1, e o maior valor de corte é o valor máximo de teste observado mais 1. Todos os outros valores de corte são as médias de dois valores de teste observados ordenados consecutivos.

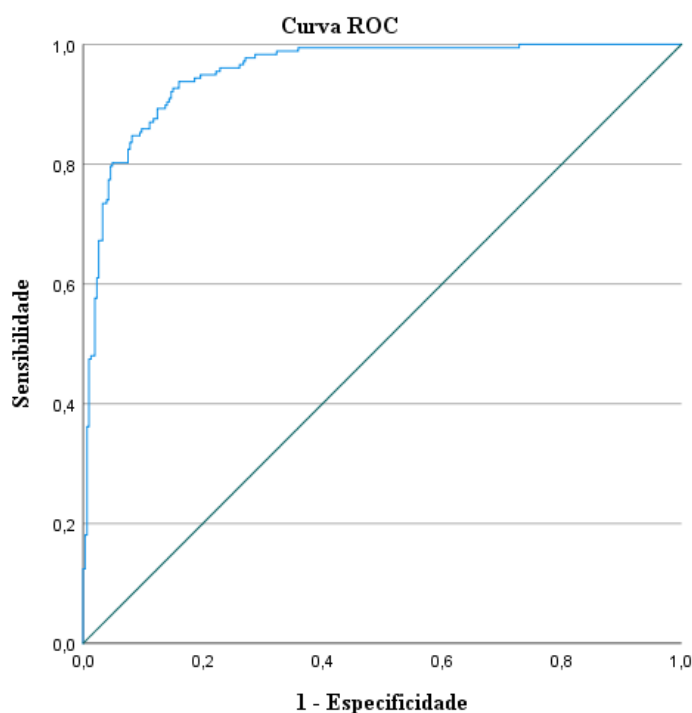
Área sob a curva

Variável(eis) de resultado de teste: S_3Q

Área	Erro Erro ^a	Sig. assintótico ^b	Intervalo de Confiança 95% Assintótico	
			Limite inferior	Limite superior
,954	,009	,000	,937	,971

a. Sob a suposição não paramétrica

b. Hipótese nula: área verdadeira = 0,5



II – Curva ROC e Ponto de Corte pelo Método de Estádios de Demirjian

Tabela de Classificação^a

				Previsto	
		anos11		Porcentagem	
	Observado	,00	1,00	correta	
Etapa 1	anos11	,00	261	45	85,3
		1,00	21	156	88,1
	Porcentagem global				86,3

a. O valor de recorte é ,500

Resumo do modelo

Etapa	Verossimilhança de log -2	R quadrado Cox & Snell	R quadrado Nagelkerke
1	306,443 ^a	,493	,674

a. Estimação finalizada no número de iteração 8 porque as estimativas de parâmetro mudaram foram alteradas para menos de ,001.

Coordenadas da curva

Variável(eis) de resultado de teste: Soma 7 dentes

Positivo se maior ou igual a ^a	Sensibilidade	1 - Especificidade
94,000000	,881	,147
94,100000	,881	,147

A variável ou variáveis de resultado de teste: Soma 7 dentes possuem pelo menos um empate entre o grupo de estado real positivo e o grupo de estado real negativo.

a. O menor valor de corte é o valor mínimo de teste observado menos 1, e o maior valor de corte é o valor máximo de teste observado mais 1. Todos os outros valores de corte são as médias de dois valores de teste observados ordenados consecutivos.

Área sob a curva

Variável(eis) de resultado de teste: Soma 7 dentes

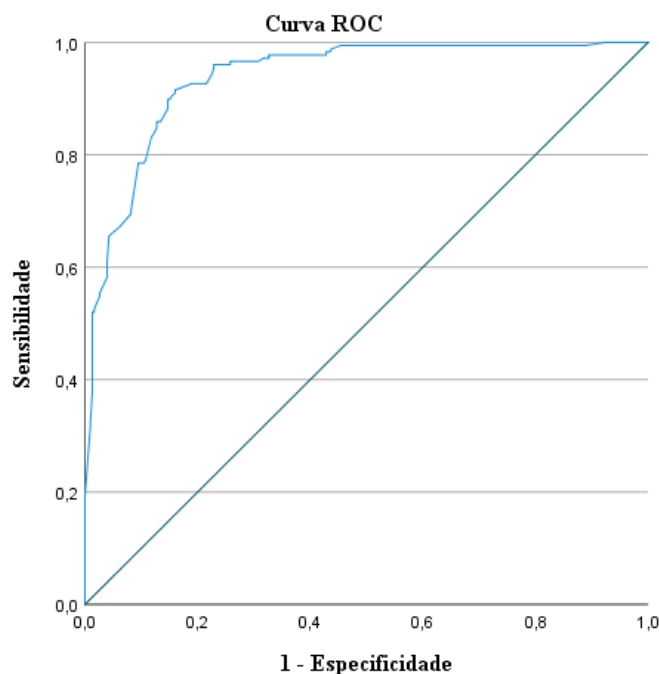
Área	Erro Erro ^a	Sig. assintótico ^b	Intervalo de Confiança 95% Assintótico	
			Limite inferior	Limite superior
,938	,011	,000	,917	,959

A variável ou variáveis de resultado de teste:

Soma 7 dentes possuem pelo menos um empate entre o grupo de estado real positivo e o grupo de estado real negativo. As estatísticas podem ser enviesadas.

a. Sob a suposição não paramétrica

b. Hipótese nula: área verdadeira = 0,5



Os segmentos diagonais são produzidos por empates.

Anexo 12 – Ponto de Corte aos 12 anos

I – Curva ROC e Ponto de Corte pela Fórmula de Regressão Dentária Europeia

II – Curva ROC e Ponto de Corte pelo Método de Estádios de Demirjian

I – Curva ROC e Ponto de Corte pela Fórmula de Regressão Dentária Europeia

Tabela de Classificação^{a,b}

		Previsto		Porcentagem correta
		anos12	anos12	
Etapa 0	Observado	,00	1,00	
	anos12	,00	361	0
		1,00	122	0
Porcentagem global				74,7

a. A constante está incluída no modelo.

b. O valor de recorte é ,500

Tabela de Classificação^a

		Previsto		Porcentagem correta
		anos12	anos12	
Etapa 1	Observado	,00	1,00	
	anos12	,00	330	31
		1,00	22	100
Porcentagem global				89,0

a. O valor de recorte é ,500

Resumo do modelo

Etapa	Verossimilhança de log -2	R quadrado Cox & Snell	R quadrado Nagelkerke
1	256,617 ^a	,451	,666

a. Estimação finalizada no número de iteração 8 porque as estimativas de parâmetro mudaram foram alteradas para menos de ,001.

Coordenadas da curva

Variável(eis) de resultado de teste: S_3Q

Positivo se menor ou igual a ^a	Sensibilidade	1 - Especificidade
,271812	,820	,083
,283041	,820	,086

a. O menor valor de corte é o valor mínimo de teste observado menos 1, e o maior valor de corte é o valor máximo de teste observado mais 1. Todos os outros valores de corte são as médias de dois valores de teste observados ordenados consecutivos.

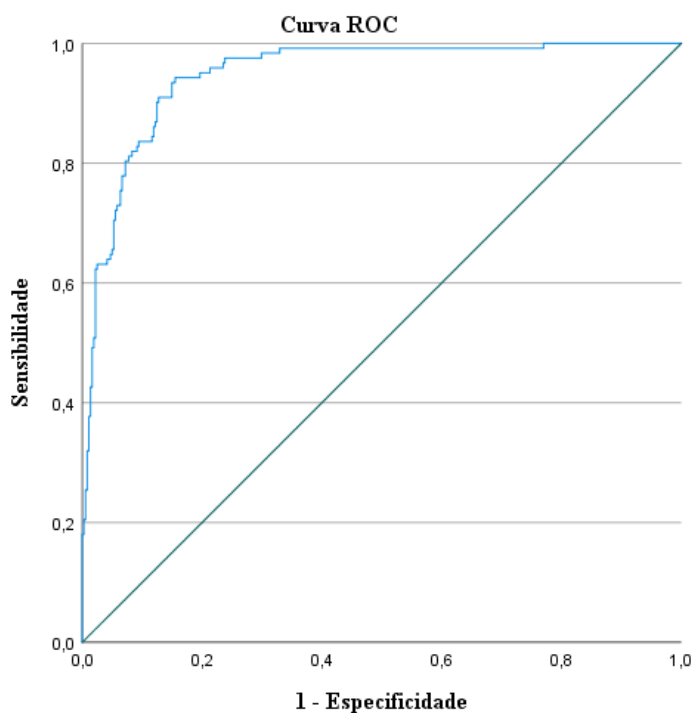
Área sob a curva

Variável(eis) de resultado de teste: S_3Q

Área	Erro Erro ^a	Sig. assintótico ^b	Intervalo de Confiança 95% Assintótico	
			Limite inferior	Limite superior
,948	,010	,000	,928	,968

a. Sob a suposição não paramétrica

b. Hipótese nula: área verdadeira = 0,5



II – Curva ROC e Ponto de Corte pelo Método de Estádios de Demirjian

Tabela de Classificação^a

		Previsto		Porcentagem correta
		anos12	anos12	
Etapa 1	Observado	,00	1,00	
	anos12	,00	332	29
		1,00	36	86
Porcentagem global				86,5

Resumo do modelo

Etapa	Verossimilhança de log -2	R quadrado Cox & Snell	R quadrado Nagelkerke
1	296,041 ^a	,404	,597

a. Estimação finalizada no número de iteração 8 porque as estimativas de parâmetro mudaram foram alteradas para menos de ,001.

a. O valor de recorte é ,500

Coordenadas da curva

Variável(eis) de resultado de teste: Soma 7 dentes

Positivo se maior ou igual a ^a	Sensibilidade	1 - Especificidade
96,150000	,730	,086
96,250000	,705	,080

A variável ou variáveis de resultado de teste: Soma 7 dentes possuem pelo menos um empate entre o grupo de estado real positivo e o grupo de estado real negativo.

a. O menor valor de corte é o valor mínimo de teste observado menos 1, e o maior valor de corte é o valor máximo de teste observado mais 1. Todos os outros valores de corte são as médias de dois valores de teste observados ordenados consecutivos.

Área sob a curva

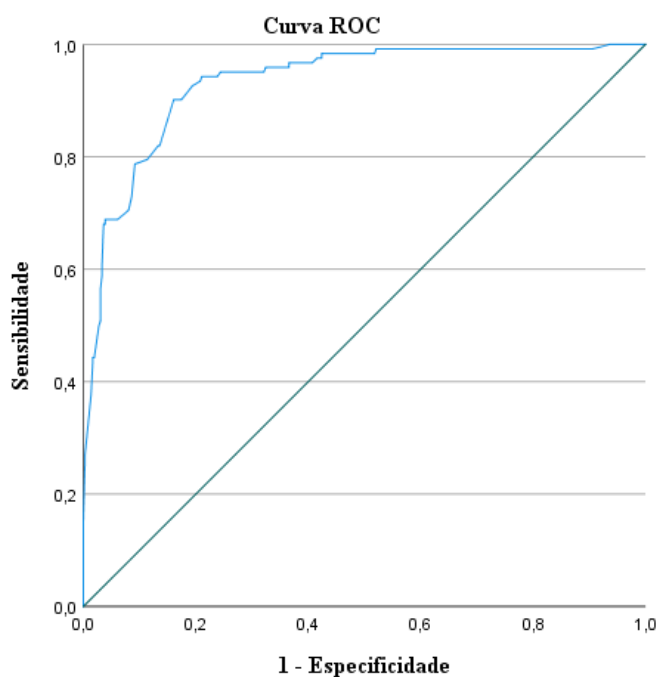
Variável(eis) de resultado de teste: Soma 7 dentes

Área	Erro Erro ^a	Sig. assintótico ^b	Intervalo de Confiança 95% Assintótico	
			Limite inferior	Limite superior
,932	,013	,000	,907	,957

A variável ou variáveis de resultado de teste: Soma 7 dentes possuem pelo menos um empate entre o grupo de estado real positivo e o grupo de estado real negativo. As estatísticas podem ser enviesadas.

a. Sob a suposição não paramétrica

b. Hipótese nula: área verdadeira = 0,5



Os segmentos diagonais são produzidos por empates.

Anexo 13 – Tabelas do INE para cálculo do PPB

Dados demográficos de 2019 para a população portuguesa dos 6 aos 15 anos

População Portuguesas entre os 6 e os 15 anos			
	2019 - População		
	Total	Masculino	Feminino
6 anos	84015	42812	41203
7 anos	90829	46674	44155
8 anos	96802	49613	47189
9 anos	100550	50851	49699
10 anos	96939	49319	47620
11 anos	100969	51702	49267
12 anos	99152	50604	48548
13 anos	101890	51780	50110
14 anos	105990	54353	51637
15 anos	104572	53283	51289
Total	981708	500991	480717